

สำนักหอสมุดกลาง พระจอมเกล้าลาดกระบัง

**การเพาะเลี้ยงเนื้อเยื่อและการถ่ายยีน ANTISENSE DFR เข้าสู่บัวหลวงพันธุ์
บุนทริกโดยวิธีการยิงอนุภาค**

**TISSUE CULTURE AND TRANSFORMATION OF ANTISENSE DFR
GENE INTO *Nelumbo nucifera* Gaertn. CV. BUNTHARIK BY
PARTICLE BOMBARDMENT**



T117029

รวีรัฐ บัวทอง

RAVEEVATOO BUATHONG

ร.ว.
ร 1๒๖ ๓
๒๕๕๔

เลขหมู่.....
เลขทะเบียน.....**117029**
วันเดือนปี.....**21 ส.ค. 2554**

๑.....
๒.....**12331673**
๓.....

วิทยานิพนธ์นี้เป็นส่วนหนึ่งของการศึกษาตามหลักสูตรปริญญาวิทยาศาสตรมหาบัณฑิต
สาขาวิชาเทคโนโลยีชีวภาพทางการเกษตร
คณะเทคโนโลยีการเกษตร
สถาบันเทคโนโลยีพระจอมเกล้าเจ้าคุณทหารลาดกระบัง
พ.ศ. 2554

KMITL-2011-AG-M-101-081

เอกสารนี้เป็นเอกสารที่สงวนไว้สำหรับการใช้งานเพื่อการศึกษาเท่านั้น ไม่อนุญาตให้นำไปใช้ประโยชน์ด้านการค้า
ไม่ว่ากรณีใดๆ ทั้งสิ้น อีกทั้งห้ามมิให้ดัดแปลงเนื้อหา และต้องอ้างอิงถึงเจ้าของเอกสารทุกครั้งที่มีการนำไปใช้

**TISSUE CULTURE AND TRANSFORMATION OF ANTISENSE DFR
GENE INTO *Nelumbo nucifera* Gaertn. CV. BUNTHARIK BY
PARTICLE BOMBARDMENT**



**A THESIS SUBMITTED IN PARTIAL FULLFILMENT
OF THE REQUIRMENT FOR THE DEGREE OF
MASTER OF SCIENCE IN AGRICULTURAL BIOTECHNOLOGY
FACULTY OF AGRICULTURAL TECHNOLOGY
KING MONGKUT'S INSTITUTE OF TECHNOLOGY LADKRABANG**

2011

เอกสารนี้เป็นเอกสารที่สงวนไว้สำหรับใช้ภายในห้องสมุดของสถาบันฯ ไม่อนุญาตให้นำไปใช้ประโยชน์ด้านการค้า
ไม่ว่ากรณีใดๆ ทั้งสิ้น อีกทั้งห้ามมิให้ตัดแปลงเนื้อหา และต้องอ้างอิงถึงเจ้าของเอกสารทุกครั้งที่มีการนำไปใช้



COPYRIGHT 2011

FACULTY OF AGRICULTURAL TECHNOLOGY

KING MONGKUT'S INSTITUTE OF TECHNOLOGY LADKRABANG

เอกสารนี้เป็นเอกสารที่สงวนไว้สำหรับการใช้งานเพื่อการศึกษาเท่านั้น ไม่อนุญาตให้นำไปใช้ประโยชน์ด้านการค้า
ไม่ว่ากรณีใดๆ ทั้งสิ้น อีกทั้งห้ามมิให้ดัดแปลงเนื้อหา และต้องอ้างอิงถึงเจ้าของเอกสารทุกครั้งที่มีการนำไปใช้

หัวข้อวิทยานิพนธ์ การเพาะเลี้ยงเนื้อเยื่อและการถ่ายยีน antisense DFR เข้าสู่บัวหลวงพันธุ์บุณชกริกโดยวิธีการยิงอนุภาค

นักศึกษา นางสาววิรัช บัวทอง

รหัสประจำตัว 50065810

ปริญญา วิทยาศาสตร์มหาบัณฑิต

สาขาวิชา เทคโนโลยีชีวภาพทางการเกษตร

พ.ศ. 2554

อาจารย์ที่ปรึกษาวิทยานิพนธ์ ผศ.ดร. กัญญา แซ่เตียว

อาจารย์ที่ปรึกษาวิทยานิพนธ์ร่วม รศ.ดร.สุเม อรัญนารถ
ดร.ศาลักษณ์ พรรณศิริ

บทคัดย่อ

จากการศึกษาชิ้นส่วนเริ่มต้น และสารควบคุมการเจริญเติบโตที่เหมาะสมต่อการเกิดแคลลัสของบัวหลวงพันธุ์บุณชกริก โดยนำชิ้นส่วนก้านใบจากคัพภะ ตายอดจากคัพภะที่มีขนาด 3 มิลลิเมตร และชิ้นส่วนเนื้อเยื่อเจริญปลายยอด ที่มีขนาด 0.5 มิลลิเมตร มาเพาะเลี้ยงบนอาหารแข็งสูตร MS (Murashige and Skoog, 1962) ที่เติมสารควบคุมการเจริญเติบโตชนิดต่างๆ มาเพาะเลี้ยงภายใต้แสง เป็นเวลา 16 ชั่วโมงต่อวัน นาน 8 สัปดาห์ พบว่าชิ้นส่วนตายอดจากคัพภะที่มีขนาด 3 มิลลิเมตร สามารถชักนำให้เกิดเอ็มบริโอจินิกแคลลัสได้ โดยเอ็มบริโอจินิกแคลลัสสามารถเจริญเติบโตได้ดีที่สุดเมื่อเพาะเลี้ยงบนอาหารสูตรที่มี NAA ความเข้มข้น 40 ไมโครโมลาร์ ร่วมกับ TDZ ความเข้มข้น 0.5 ไมโครโมลาร์ สามารถชักนำให้เกิดเอ็มบริโอจินิกแคลลัสได้ 43.33 เปอร์เซ็นต์ และมีค่าเฉลี่ยคะแนนการเจริญเติบโตสูงที่สุด 2.43 คะแนน

การศึกษาผลของสารควบคุมการเจริญเติบโตต่อการเกิดยอด จากชิ้นส่วนแคลลัสของบัวหลวงพันธุ์บุณชกริก โดยนำชิ้นส่วนเอ็มบริโอจินิกแคลลัสที่เคยเพาะเลี้ยงบนอาหารแข็งสูตร MS ที่เติม NAA ความเข้มข้น 40 ไมโครโมลาร์ ร่วมกับ TDZ ความเข้มข้น 0.5 ไมโครโมลาร์ เป็นเวลา 8 สัปดาห์ มาเลี้ยงบนอาหารแข็งสูตร MS ที่เติม BA ที่ระดับความเข้มข้น 0, 40, 50 และ 60 ไมโครโมลาร์ มาเพาะเลี้ยงภายใต้แสง เป็นเวลา 16 ชั่วโมงต่อวัน นาน 8 สัปดาห์ พบว่าอาหารสูตรที่เติม BA ความเข้มข้น 50 ไมโครโมลาร์ มีค่าเฉลี่ยจำนวนยอดสูงที่สุด 8.67 ยอด มีค่าเฉลี่ยขนาดเอ็มบริโอจินิกแคลลัสสูงที่สุด 1.19 เซนติเมตร และมีค่าเฉลี่ยจำนวนใบสูงที่สุด 4.84 ใบ

การศึกษากการถ่ายยีนเข้าสู่ชิ้นส่วนยอดและชิ้นส่วนตายอดจากคัพภะที่มีขนาด 3 มิลลิเมตร โดยใช้เครื่องยิงอนุภาคชนิด Biolistic® PDS-1000/He Particle Delivery System (BioRad) เพื่อถ่ายพลาสมิด pCAMBIA2301anti-DFR ที่มียีน *GUS* เป็นยีนรายงานผล ยีน *NPTII* เป็นยีนคัดเลือกที่

เอกสารนี้เป็นเอกสารที่สงวนไว้สำหรับการใช้งานเพื่อการศึกษาเท่านั้น ไม่อนุญาตให้นำไปใช้ประโยชน์ด้านการค้า
ไม่ว่ากรณีใดๆ ทั้งสิ้น อีกทั้งห้ามมิให้ดัดแปลงเนื้อหา และต้องอ้างอิงถึงเจ้าของเอกสารทุกครั้งที่มีการนำไปใช้

ด้านทานต่อสารปฏิชีวนะ kanamycin และยีน Antisense Dihydroflavonol 4-Reductase (anti-DFR) เป็นยีนที่สนใจ โดยชิ้นส่วนยอดที่ใช้ได้มาจากการเพาะเลี้ยงชิ้นส่วนตายอดจากคัพภะที่มีขนาด 3 มิลลิเมตร บนอาหารแข็งสูตร MS ที่เติม NAA ความเข้มข้น 40 ไมโครโมลาร์ ร่วมกับ TDZ ความเข้มข้น 0.5 ไมโครโมลาร์ เป็นเวลา 8 สัปดาห์ แล้วย้ายมาเพาะเลี้ยงบนอาหารแข็งสูตร MS ที่เติม BA ความเข้มข้น 50 ไมโครโมลาร์ นาน 8 สัปดาห์ จากนั้นนำชิ้นส่วนยอดและตายอดจากคัพภะที่มีขนาด 3 มิลลิเมตร มาถ่ายยีนด้วยวิธีการยิงอนุภาค โดยใช้แรงดันก๊าซฮีเลียม ขนาด 1,100 และ 1,350 ปอนด์ต่อตารางนิ้ว ร่วมกับระยะห่างของเนื้อเยื่อเป้าหมาย 6 และ 9 เซนติเมตร พบว่าชิ้นส่วนยอดที่ใช้แรงดันก๊าซฮีเลียมขนาด 1,100 ปอนด์ต่อตารางนิ้ว ร่วมกับระยะห่างของเนื้อเยื่อเป้าหมาย 6 เซนติเมตร ให้จำนวนจุดสีน้ำเงิน 4.80 จุดต่อชิ้นเนื้อเยื่อ ด้วยเทคนิค GUS histochemical assay แบบ transient expression ส่วนการใช้แรงดันก๊าซฮีเลียมขนาด 1,100 ปอนด์ต่อตารางนิ้ว ร่วมกับระยะห่างของเนื้อเยื่อเป้าหมาย 9 เซนติเมตร ให้ผลการถ่ายยีนแบบถาวรได้ (stable transformation) โดยยืนยันการเข้าร่วมตัวของยีนที่ถ่ายเข้าไปกับจีโนมของบัวหลวงพันธุ์ภูมขจร ด้วยเทคนิค Polymerase chain reaction และ Reverse transcription polymerase chain reaction พบว่ามีการเข้าร่วมตัวของยีนรายงานผล ยีนคัดเลือก และยีนที่สนใจ



Thesis Title Tissue Culture and Transformation of antisense DFR gene into *Nelumbonucifera* Gaertn. cv. Buntharik by Particle Bombardment

Student Miss Raveevatoo Buathong

Student ID 50065810

Degree Master of Science

Program Agricultural Biotechnology

Year 2011

Thesis Advisor Assist. Prof. Dr. Kanjana Saetiew

Thesis Co Advisor Assoc. Prof. Dr. Sumay Arunyanart
Dr. Salak Punsiri

ABSTRACT

Effect of explants and plant growth regulators on callus induction of Lotus (*Nelumbo nucifera* Gaertn.) cv. Buntharik was studied. The petioles from embryos, the apical buds from embryos (size 3.00 mm) and shoot tips (size 0.5 mm) were cultured on MS (Murashige and Skoog, 1962) medium containing several plant growth regulators for 8 weeks under 16-h photoperiods. It was found that apical buds from embryos (size 3.00 mm) formed embryogenic callus. However, the best score of growth (2.43) and the maximum percentage of explants formed embryogenic callus (43.33) were achieved from medium supplemented with 40 μ M NAA and 0.5 μ M TDZ when cultured for 8 weeks of incubation.

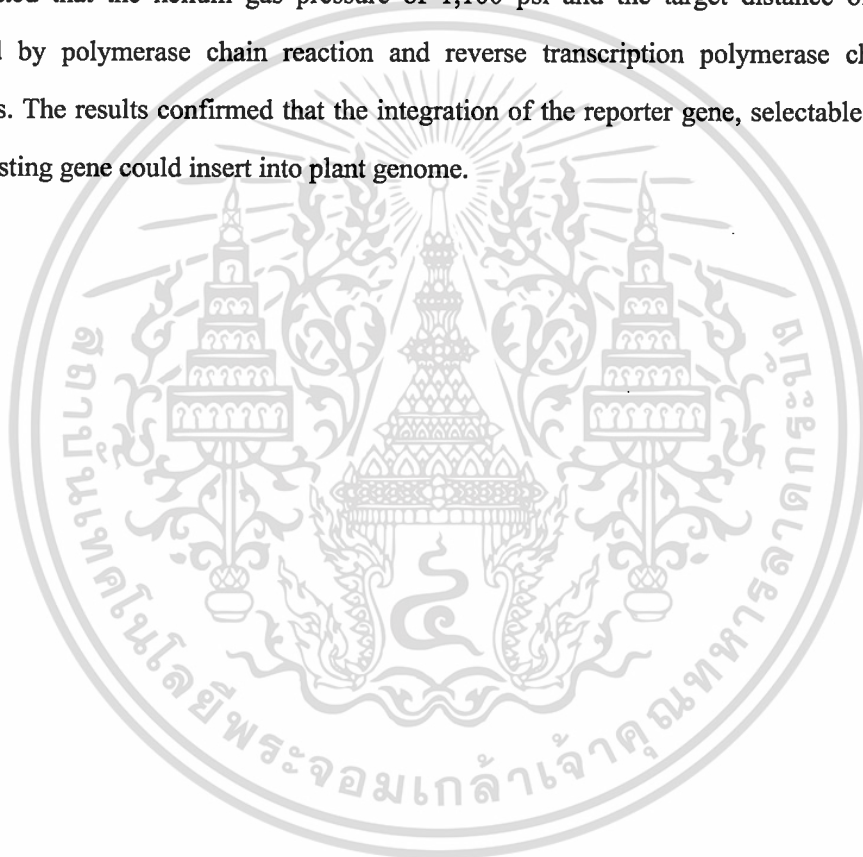
Effect of plant growth regulators on induction of plant regeneration from callus was studied. The embryogenic callus was cultured on MS medium containing 40 μ M NAA and 0.5 μ M TDZ for 8 weeks under 16-h photoperiods. After 8 weeks of incubation, all embryogenic calluses were transferred to MS medium supplemented BA 0, 40, 50 and 60 μ M for 8 weeks. It was found that embryogenic calluses formed shoots. The number of shoots (8.67), embryogenic callus length (1.19 cm) and number of leaves (4.84) were achieved from medium supplemented with 50 μ M BA when cultured for 8 weeks of incubation.

The transformation of lotus (*Nelumbo nucifera* Gaertn.) cv. Buntharik by particle bombardment device model Biolistic[®] PDS-1000/He Particle Delivery System (BioRad) was optimized using two explants, the shoot cluster and apical buds from embryos (size 3.00 mm). The plasmid pCAMBIA2301anti-DFR contained *GUS* as a reporter gene, *NPTII* as a selectable marker gene (kanamycin resistance) and Antisense Dihydroflavonol 4-Reductase (anti-DFR) as an

เอกสารนี้เป็นลิขสิทธิ์ของมหาวิทยาลัยเทคโนโลยีพระจอมเกล้าธนบุรี

ไม่ว่ากรณีใดๆ ทั้งสิ้น อีกทั้งห้ามมิให้ดัดแปลงเนื้อหา III ต้องอ้างอิงถึงเจ้าของเอกสารทุกครั้งที่มีการนำไปใช้

interesting gene. The shoot cluster developed from the apical buds from embryo (size 3.00 mm) were cultured on MS medium containing 40 μ M NAA and 0.5 μ M TDZ for 8 weeks for embryogenic callus induction. All embryogenic calluses were transferred to MS medium supplemented BA 50 μ M for 8 weeks. Biolistic transformation condition for the shoot cluster and apical buds from embryos (size 3.00 mm) was bombarded under pressure of 1,100 and 1,350 psi at the target distance of 6 and 9 cm. The result of particle bombardment procedure demonstrated that the helium gas pressure of 1,100 psi and the target distance of 6 cm yielded the number of blue spots (4.8 spots/shoot cluster). Stable transformation of particle bombardment procedure demonstrated that the helium gas pressure of 1,100 psi and the target distance of 9 cm were confirmed by polymerase chain reaction and reverse transcription polymerase chain reaction techniques. The results confirmed that the integration of the reporter gene, selectable marker gene and interesting gene could insert into plant genome.



กิตติกรรมประกาศ

วิทยานิพนธ์ฉบับนี้สามารถประสบความสำเร็จได้ เนื่องจากได้รับความอนุเคราะห์จาก ผศ. ดร.กัญญา แซ่เตียว ผู้เป็นอาจารย์ที่ปรึกษา รศ.ดร.สุเม อรัญนารถ และ ดร.ศาลักษณ์ พรรณศิริ เป็นอาจารย์ที่ปรึกษาร่วม จึงขอกราบขอบพระคุณเป็นอย่างสูง ที่ได้เสียสละเวลาอันมีค่ามาให้ความรู้ ข้อเสนอแนะ ตลอดจนแนวทางในการแก้ไขปัญหาที่เป็นประโยชน์ระหว่างการค้นคว้าวิจัย รวมทั้งได้กรุณาตรวจทานแก้ไขวิทยานิพนธ์ฉบับนี้ให้ถูกต้องและสมบูรณ์

ขอกราบขอบพระคุณ ดร.ศาลักษณ์ พรรณศิริ ที่ให้คำปรึกษา และ เอื้อเฟื้ออุปการะ ตลอดจนการอำนวยความสะดวกต่างๆระหว่างการทำงานวิจัยของห้องปฏิบัติการเพาะเลี้ยงเนื้อเยื่อพืช สถาบันวิจัยและพัฒนาแห่งมหาวิทยาลัยเกษตรศาสตร์

ขอขอบคุณ คุณสุนิสา บุญใช้ เจ้าหน้าที่ห้องปฏิบัติการเพาะเลี้ยงเนื้อเยื่อพืชสวน ภาควิชาเทคโนโลยีการผลิตพืช หลักสูตรพืชสวน สถาบันเทคโนโลยีพระจอมเกล้าเจ้าคุณทหารลาดกระบัง ที่ช่วยอำนวยความสะดวกในการใช้ห้องปฏิบัติการ

ขอขอบคุณ คุณวิทิตา สาริตโกวิทชัย และคุณวิลาสินี ลีทวีทรัพย์ ที่คอยช่วยเหลือให้คำปรึกษา แนะนำวิธีการศึกษาทางอณูชีววิทยา ให้ความช่วยเหลือ จนวิทยานิพนธ์ฉบับนี้เสร็จสมบูรณ์ด้วยดี

สุดท้ายนี้ขอกราบขอบพระคุณกำลังใจจากคุณพ่อ คุณแม่ พี่ชาย ตลอดจนเพื่อนๆ น้องๆ นักศึกษาทุกคน ที่เป็นกำลังใจและสนับสนุนช่วยเหลือต่างๆเสมอมา

วิทยานิพนธ์นี้ได้รับการสนับสนุนส่วนหนึ่งจากศูนย์ความเป็นเลิศด้านเทคโนโลยีชีวภาพเกษตร สำนักพัฒนาบัณฑิตศึกษาและวิจัยด้านวิทยาศาสตร์และเทคโนโลยี สำนักงานคณะกรรมการการอุดมศึกษา กระทรวงศึกษาธิการ (AG-BIO/PERDO-CHE)

รวีรัฐ บัวทอง

สารบัญ

	หน้า
บทคัดย่อภาษาไทย.....	I
บทคัดย่อภาษาอังกฤษ.....	III
กิตติกรรมประกาศ.....	V
สารบัญ.....	VI
สารบัญตาราง.....	IX
สารบัญภาพ.....	XII
คำย่อและสัญลักษณ์.....	XIV
บทที่ 1 บทนำ.....	1
1.1 ความเป็นมาและความสำคัญของปัญหา.....	1
1.2 วัตถุประสงค์การศึกษา.....	2
1.3 ขอบเขตการศึกษา.....	2
1.4 ขั้นตอนการศึกษา.....	2
1.5 ผลที่คาดว่าจะได้รับ.....	3
บทที่ 2 ทฤษฎีและงานวิจัยที่เกี่ยวข้อง.....	4
2.1 ลักษณะทางพฤกษศาสตร์ของบัวหลวงพันธุ์บุญทริก.....	4
2.2 ความรู้เกี่ยวกับแคลลัสเอ็มบริโอจีนีซิส.....	6
2.2.1 แคลลัส.....	6
2.2.2 เอ็มบริโอจีนีซิส.....	7
2.3 ยีนควบคุมสีดอก dihydroflavonol 4-reductase (DFR).....	9
2.4 การถ่ายยีนเข้าสู่พืช.....	11
2.4.1 เทคนิคการถ่ายยีน.....	11
2.4.2 ยีนเครื่องหมายและยีนรายงานผลที่ใช้ในพืช.....	12
2.4.3 การตรวจสอบพืชแปลงพันธุ์ (transgenic plant).....	13
2.5 งานวิจัยที่เกี่ยวข้อง.....	13
2.5.1 งานวิจัยที่เกี่ยวข้องกับการเพาะเลี้ยงเนื้อเยื่อพืช.....	11
2.5.2 งานวิจัยที่เกี่ยวข้องกับยีนควบคุมสีดอก.....	19
2.5.3 งานวิจัยที่เกี่ยวข้องกับการถ่ายยีนเข้าสู่พืชโดยวิธีการยิงอนุภาค.....	

เอกสารนี้เป็นเอกสารที่สงวนไว้สำหรับการใช้งานเพื่อการศึกษาเท่านั้น ไม่อนุญาตให้นำไปใช้ประโยชน์ด้านการค้า
ไม่ว่ากรณีใดๆ ทั้งสิ้น อีกทั้งห้ามมิให้ตัดแปลงเนื้อหา VI ต้องอ้างอิงถึงเจ้าของเอกสารทุกครั้งที่มีการนำไปใช้

สารบัญ (ต่อ)

	หน้า
บทที่ 3 วิธีดำเนินงานวิจัย.....	24
3.1 เครื่องมือและวิธีการ.....	24
3.2 สถานที่ดำเนินงาน.....	26
3.3 ระยะเวลาที่ทำการทดลอง.....	26
3.4 วิธีการดำเนินงาน.....	26
3.4.1 การเตรียมอาหาร.....	26
3.4.2 การฟอกฆ่าเชื้อเมล็ดบัวหลวงพันธุ์มณฑริก.....	26
3.4.3 วิธีการทดลอง.....	27
3.4.4 การเพิ่มปริมาณพลาสมิด pCAMBIA2301DFR.....	32
3.4.5 การถ่ายยีนเข้าสู่พืชทดลองด้วยเครื่องยิงอนุภาคแบบ PDS-1000/He.....	34
3.4.6 การตรวจสอบการถ่ายยีนเข้าสู่พืช.....	38
3.5 การบันทึกผลและการวิเคราะห์ข้อมูล.....	42
บทที่ 4 ผลการทดลอง.....	43
4.1 ศึกษาชิ้นส่วนเริ่มต้นและสูตรอาหารที่เหมาะสมต่อการเกิดแคลลัสของบัวหลวงพันธุ์มณฑริก.....	43
4.2 ศึกษาสูตรอาหารที่เหมาะสมต่อการเกิดยอดจากชิ้นส่วนแคลลัสของบัวหลวงพันธุ์มณฑริก.....	56
4.3 ศึกษาสถานะที่เหมาะสมต่อการถ่ายยีน Antisense Dihydroflavonol 4-Reductase (DFR) เข้าสู่บัวหลวงพันธุ์มณฑริก.....	60
4.4 วิจัยผลผลการทดลอง.....	86
บทที่ 5 สรุปผลการทดลอง	91
บรรณานุกรม.....	93

สารบัญ (ต่อ)

	หน้า
ภาคผนวก.....	101
ภาคผนวก ก.....	102
ภาคผนวก ข.....	103
ประวัติผู้เขียน.....	106



สารบัญตาราง

ตารางที่	หน้า
3.1	ไพรเมอร์ที่ใช้ในการทำปฏิกิริยาพีซีอาร์เพื่อตรวจสอบยีน anti-DFR ยีน <i>NPTII</i> และยีน <i>GUS</i> 40
3.2	ไพรเมอร์ที่ใช้ในการทำปฏิกิริยา Reverse transcription polymerase chain reaction (RT-PCR) เพื่อตรวจสอบยีน anti-DFR และยีน <i>NPTII</i> 41
4.1	คะแนนการเจริญเติบโตของชิ้นส่วน เเปอร์เซ็นต์การเกิดแคลลัส และขนาดของแคลลัส จากการเพาะเลี้ยงชิ้นส่วนก้านใบจากคัพภะบนอาหารแข็งสูตร MS (1962) ที่เติมสารควบคุมการเจริญเติบโตชนิดต่างๆ..... 45
4.2	คะแนนการเจริญเติบโตของชิ้นส่วน เเปอร์เซ็นต์การเกิดเอ็มบริโอจินิกแคลลัส จำนวนยอด ความยาวยอด จำนวนราก และความยาวราก จากการเพาะเลี้ยงชิ้นส่วนตายอดจากคัพภะที่มีขนาด 3 มิลลิเมตร บนอาหารแข็งสูตร MS (1962) ที่เติมสารควบคุมการเจริญเติบโตชนิดต่างๆ เป็นเวลา 4 สัปดาห์..... 49
4.3	คะแนนการเจริญเติบโตของชิ้นส่วน เเปอร์เซ็นต์การเกิดเอ็มบริโอจินิกแคลลัส จำนวนยอด ความยาวยอด จำนวนราก และความยาวราก จากการเพาะเลี้ยงชิ้นส่วนตายอดจากคัพภะที่มีขนาด 3 มิลลิเมตร บนอาหารแข็งสูตร MS (1962) ที่เติมสารควบคุมการเจริญเติบโตชนิดต่างๆ เป็นเวลา 8 สัปดาห์..... 50
4.4	ขนาดของแคลลัส จำนวนยอด และความยาวยอด จากการเพาะเลี้ยงชิ้นส่วนตายอดจากคัพภะที่มีขนาด 3 มิลลิเมตรบนอาหารแข็งสูตร MS (1962) ที่เติมสารควบคุมการเจริญเติบโตชนิดต่างๆ..... 53
4.5	คะแนนการเจริญเติบโตและขนาดแคลลัสจากการเพาะเลี้ยงชิ้นส่วนเนื้อเยื่อเจริญปลายยอดที่มีขนาด 0.5 มิลลิเมตร บนอาหารสูตร MS (1962) ที่เติมสารควบคุมการเจริญเติบโตชนิดต่างๆ..... 55
4.6	ขนาดเอ็มบริโอจินิกแคลลัส จำนวนยอด ความยาวยอด จำนวนใบ และความยาวใบ จากการเพาะเลี้ยงชิ้นส่วนเอ็มบริโอจินิกแคลลัสที่ได้จากการเพาะเลี้ยงบนอาหารสูตร MS (1962) ที่เติม NAA 40 ไมโครโมลาร์ ร่วมกับ TDZ 0.5 ไมโครโมลาร์ เป็นเวลา 8 สัปดาห์ แล้วนำมาเพาะเลี้ยงบนอาหารแข็งสูตร MS (1962) ที่เติมสารควบคุมการเจริญเติบโตชนิดต่างๆ..... 59
4.7	การแสดงออกของยีน <i>GUS</i> แบบ transient expression ของเนื้อเยื่อส่วนยอดของบัวหลวงพันธุ์บุณชกรที่ถ่ายยีนด้วยเครื่องยิงอนุภาคแบบ PDS-1000/He..... 61

เอกสารนี้เป็นเอกสารที่สงวนไว้สำหรับการใช้งานเพื่อการศึกษาเท่านั้น ไม่อนุญาตให้นำไปใช้ประโยชน์ด้านการค้า

ไม่ว่ากรณีใดๆ ทั้งสิ้น อีกทั้งห้ามมิให้ดัดแปลงเนื้อหา IX นี้ต้องอ้างอิงถึงเจ้าของเอกสารทุกครั้งที่มีการนำไปใช้

สารบัญตาราง (ต่อ)

ตารางที่		หน้า
4.8	จำนวนยอด ความยาวยอด และเปอร์เซ็นต์การตายของชิ้นส่วน จากการเพาะเลี้ยงชิ้นส่วนแคลลัสที่ได้จากการเพาะเลี้ยงบนอาหารแข็งสูตร MS (1962) 50 ไมโครโมลาร์เป็นเวลา 8 สัปดาห์ แล้วนำมาเพาะเลี้ยงบนอาหารคัดเลือกสูตร MS (1962) ที่เติม kanamycin 50 มิลลิกรัมต่อลิตร ร่วมกับ BA 50 ไมโครโมลาร์.....	65
4.9	คะแนนการเจริญเติบโตของชิ้นส่วน จำนวนยอด ความยาวยอด และเปอร์เซ็นต์การรอดชีวิตของชิ้นส่วน จากการเพาะเลี้ยงชิ้นส่วนยอดที่ได้จากการเพาะเลี้ยงบนอาหารคัดเลือกสูตร MS (1962) ที่เติม kanamycin 50 มิลลิกรัมต่อลิตร ร่วมกับ BA 50 ไมโครโมลาร์ เป็นเวลา 8 สัปดาห์ แล้วนำมาเพาะเลี้ยงในอาหารเหลวบนอาหารแข็งสูตร MS (1962) ที่เติม BA 4.44 ไมโครโมลาร์ ร่วมกับ NAA 0.54 ไมโครโมลาร์.....	69
4.10	การแสดงออกของยีน <i>GUS</i> แบบ transient expression ของเนื้อเยื่อส่วนตายอด จากคัพภะของบัวหลวงพันธุ์บุณชกริกที่ถ่ายยีนด้วยเครื่องยิงอนุภาคแบบ PDS-1000/He.....	70
4.11	จำนวนยอด ความยาวยอด และเปอร์เซ็นต์การตายของชิ้นส่วน จากการเพาะเลี้ยงชิ้นส่วนตายอดจากคัพภะที่มีขนาด 3 มิลลิเมตร มาเพาะเลี้ยงบนอาหารแข็งสูตร MS (1962) ที่เติม kanamycin 50 มิลลิกรัมต่อลิตร ร่วมกับ BA 4.44 ไมโครโมลาร์ ร่วมกับ NAA 0.54 ไมโครโมลาร์.....	74
4.12	คะแนนการเจริญเติบโตของชิ้นส่วน จำนวนยอด ความยาวยอด และเปอร์เซ็นต์การรอดชีวิตของชิ้นส่วน จากการเพาะเลี้ยงชิ้นส่วนตายอดจากคัพภะที่ได้จากการเพาะเลี้ยงบนอาหารคัดเลือกสูตร MS (1962) ที่เติม kanamycin 50 มิลลิกรัมต่อลิตร ร่วมกับ BA 4.44 ไมโครโมลาร์ ร่วมกับ NAA 0.54 ไมโครโมลาร์ เป็นเวลา 8 สัปดาห์ แล้วนำมาเพาะเลี้ยงในอาหารเหลวบนอาหารแข็งสูตร MS (1962) ที่เติม BA 4.44 ไมโครโมลาร์ ร่วมกับ NAA 0.54 ไมโครโมลาร์.....	78
4.13	จำนวนต้นบัวหลวงพันธุ์บุณชกริกที่ชักนำได้จากการถ่ายยีนเข้าสู่เนื้อเยื่อยอด และตายอดจากคัพภะ โดยใช้เครื่องยิงอนุภาคแบบ PDS-1000/He.....	82
4.14	ผลการตรวจสอบยีน <i>GUS</i> ยีน <i>NPTII</i> ยีน anti-DFR ที่ชักนำได้ จากการถ่ายยีนเข้าสู่เนื้อเยื่อยอด โดยใช้เครื่องยิงอนุภาคแบบ PDS-1000/He.....	82
4.15	ผลการตรวจสอบยีน <i>GUS</i> ยีน <i>NPTII</i> ยีน anti-DFR ที่ชักนำได้ จากการถ่ายยีนเข้าสู่เนื้อเยื่อตายอดจากคัพภะ โดยใช้เครื่องยิงอนุภาคแบบ PDS-1000/He.....	83

เอกสารนี้เป็นเอกสารที่สงวนไว้สำหรับการใช้งานเพื่อการศึกษาเท่านั้น ไม่อนุญาตให้นำไปใช้ประโยชน์ด้านการค้า

ไม่ว่ากรณีใดๆ ทั้งสิ้น อีกทั้งห้ามมิให้ดัดแปลงเนื้อหา X ต้องอ้างอิงถึงเจ้าของเอกสารทุกครั้งที่มีการนำไปใช้

สารบัญตาราง (ต่อ)

ตารางที่	หน้า	
4.16	ผลการตรวจสอบการแสดงออกของยีน <i>NPTII</i> ยีน <i>anti-DFR</i> ด้วยเทคนิค RT-PCR ที่ชักนำได้จากการถ่ายยีนเข้าสู่เนื้อเยื่อยอด โดยใช้เครื่องยิงอนุภาคแบบ PDS-1000/He.....	84
ก.1	สูตรอาหาร Murashige and skoog (1962).....	102



เอกสารนี้เป็นเอกสารที่สงวนไว้สำหรับการใช้งานเพื่อการศึกษาเท่านั้น ไม่อนุญาตให้นำไปใช้ประโยชน์ด้านการค้า
ไม่ว่ากรณีใดๆ ทั้งสิ้น อีกทั้งห้ามมิให้ดัดแปลงเนื้อหา **XI** ต้องอ้างอิงถึงเจ้าของเอกสารทุกครั้งที่มีการนำไปใช้

สารบัญภาพ

ภาพที่	หน้า
2.1	กระบวนการสังเคราะห์ Flavonoids..... 10
3.1	การตัดชิ้นส่วนเริ่มต้นก้านใบจากคัพภะของบัวหลวงพันธุ์บุณทริก..... 27
3.2	คะแนนการเจริญเติบโตของชิ้นส่วนก้านใบจากคัพภะของบัวหลวงพันธุ์บุณทริก..... 28
3.3	การตัดชิ้นส่วนเริ่มต้นตายอดจากคัพภะของบัวหลวงพันธุ์บุณทริก..... 29
3.4	คะแนนการเจริญเติบโตของชิ้นส่วนตายอดจากคัพภะของบัวหลวงพันธุ์บุณทริก..... 30
3.5	คะแนนการเจริญเติบโตของชิ้นส่วนเนื้อเยื่อเจริญปลายยอดของบัวหลวงพันธุ์บุณทริก..... 31
3.6	แสดงโครงสร้างพลาสมิด pCAMBIA2301anti-DFR..... 34
3.7	คะแนนการเจริญเติบโตของชิ้นส่วนยอดของบัวหลวงพันธุ์บุณทริก..... 38
4.1	ลักษณะแคลลัสที่ได้จากการเพาะเลี้ยงชิ้นส่วนก้านใบจากคัพภะบนอาหารแข็งสูตร MS (1962) ที่เติม 2,4-D ความเข้มข้น 4.52 ไมโครโมลาร์ ร่วมกับ TDZ ความเข้มข้น 0.45 ไมโครโมลาร์ (5.00X)..... 44
4.2	ลักษณะแคลลัสที่ได้จากการเพาะเลี้ยงชิ้นส่วนตายอดจากคัพภะที่มีขนาด 3 มิลลิเมตรบนอาหารแข็งสูตร MS (1962) ที่เติม NAA ความเข้มข้น 40 ไมโครโมลาร์ ร่วมกับ TDZ ความเข้มข้น 0.5 ไมโครโมลาร์ (2.85X) เป็นเวลา 8 สัปดาห์..... 47
4.3	ลักษณะยอดที่ได้จากการเพาะเลี้ยงชิ้นส่วนตายอดจากคัพภะที่มีขนาด 3 มิลลิเมตรบนอาหารแข็งสูตร MS (1962) ที่เติม picloram 4.14 ไมโครโมลาร์ ร่วมกับ kinetin 4.64 ไมโครโมลาร์ (3.29X) เป็นเวลา 8 สัปดาห์..... 47
4.4	ลักษณะยอดที่ได้จากการเพาะเลี้ยงชิ้นส่วนตายอดจากคัพภะที่มีขนาด 3 มิลลิเมตรบนอาหารแข็งสูตร MS (1962) ที่เติม picloram 12.4 ไมโครโมลาร์ (2.56X) เป็นเวลา 8 สัปดาห์..... 54
4.5	ลักษณะแคลลัสที่เลี้ยงชิ้นส่วนเนื้อเยื่อเจริญปลายยอดที่มีขนาด 0.5 มิลลิเมตรบนอาหารแข็งสูตร MS (1962) ที่เติม Picloram 24.8 ไมโครโมลาร์ (3.9X)..... 56
4.6	ลักษณะยอดที่ได้จากการเพาะเลี้ยงชิ้นส่วนแคลลัสบนอาหารแข็งสูตร MS (1962) ที่เติม BA 50 ไมโครโมลาร์ เป็นเวลา 8 สัปดาห์ a คือลักษณะกลุ่มยอดเล็กๆสีเขียวอ่อนที่เกิดขึ้น (3.33X) b คือยอดสีเขียวที่มีใบเกิดขึ้น (2.78X)..... 58

สารบัญภาพ (ต่อ)

ภาพที่	หน้า
4.7	ตำแหน่งการตัดด้วยเอนไซม์ตัดจำเพาะ <i>EcoRI</i> และ <i>HindIII</i> ในพลาสมิด pCAMBIA2301anti-DFR..... 61
4.8	การตรวจสอบพลาสมิด pCAMBIA2301anti-DFR หลังจากการเชื่อมต่อกับ การตัดด้วยเอนไซม์ตัดจำเพาะ <i>EcoRI</i> และ <i>HindIII</i> 62
4.9	การแสดงออกของยีน <i>GUS</i> บนชิ้นส่วนยอดของบัวหลวงพันธุ์มณฑลศรีสะเกษที่ได้รับ การถ่ายยีนด้วยเครื่องยิงอนุภาคแบบ PDS-1000/He ตรวจสอบด้วยวิธี <i>GUS</i> histochemical assay ภายหลังจากถ่ายยีนเป็นเวลา 3 วัน..... 63
4.10	การแสดงออกของยีน <i>GUS</i> บนชิ้นส่วนตายอดจากคัพภะของบัวหลวงพันธุ์มณฑลศรีสะเกษ ที่ได้รับการถ่ายยีนด้วยเครื่องยิงอนุภาคแบบ PDS-1000/He ตรวจสอบด้วยวิธี <i>GUS</i> histochemical assay ภายหลังจากถ่ายยีนเป็นเวลา 3 วัน..... 64
4.11	ตำแหน่งการเข้าจับของคู่ไพรมอร์ต่างๆของยีน <i>NPTII</i> ยีน <i>GUS</i> และ ยีน anti-DFR ในการทำปฏิกิริยาลูคิเฟอไรเซชัน..... 79
4.12	ผลการตรวจสอบการมีอยู่ของยีน โดยใช้ไพรมอร์ <i>GUS</i> และ ไพรมอร์ <i>NPTII</i> 80
4.13	ผลการตรวจสอบการมีอยู่ของยีน โดยใช้ไพรมอร์ <i>CaMV35S</i> และ <i>NOS</i> 81
4.14	ผลการตรวจสอบการมีอยู่ของยีน โดยใช้ไพรมอร์ <i>NPTII</i> และ ไพรมอร์ <i>DFR</i> 85

คำย่อและสัญลักษณ์

α	alpha
IAA	indole-3-acetic acid
NAA	α -naphthalene acetic acid
2,4-D	2,4-dichlorophenoxy acetic acid
2iP	<i>N</i> ⁶ -isopentenylamino purine
BA	benzyladenine
TDZ	1-phenyl-3-(1,2,3-thiadiazol-5-yl)-urea
μ M	micromolar



เอกสารนี้เป็นเอกสารที่สงวนไว้สำหรับการใช้งานเพื่อการศึกษาเท่านั้น ไม่อนุญาตให้นำไปใช้ประโยชน์ด้านการค้า
ไม่ว่ากรณีใดๆ ทั้งสิ้น อีกทั้งห้ามมิให้ตัดแปลงเนื้อหา และต้องอ้างอิงถึงเจ้าของเอกสารทุกครั้งที่มีการนำไปใช้

บทที่ 1

บทนำ

1.1 ความเป็นมาและความสำคัญของปัญหา

บัวหลวง (*Nelumbo nucifera* Gaertn.) เป็นพืชน้ำ อยู่ในวงศ์ Nymphaeaceae (สุชาติ ศรีเพ็ญ, 2542) มีถิ่นกำเนิดในเอเชียตะวันออกเฉียงใต้ (คณิตา เลขะกุล, 2535) อินเดีย เปอร์เซีย ตะวันออก ออสเตรเลียเหนือ (สุเม อนุรักษ์, 2537) จีน ไทย ทิเบต (Core, 1995) เป็นพันธุ์ไม้ที่ มีการเจริญเติบโตอยู่ใต้น้ำบางส่วนและเหนือน้ำบางส่วน หรือ emerged plant (สุชาติ ศรีเพ็ญ, 2542) ลักษณะใบชูพื้นน้ำ ดอกมีขนาดใหญ่ ดอกตูมเป็นรูปไข่ ปลายเรียว ปัจจุบันนิยมปลูกเป็นการค้า นอกจากนี้ส่วนอื่นของบัวยังนำไปใช้ประโยชน์ เช่น ใบใช้ห่อของแทนใบตอง ไหล่นำมาประกอบอาหาร เกสรตัวผู้ใช้เป็นยาขับปัสสาวะ กลีบดอกชั้นในใช้เป็นยาแก้ท้องร่วง เป็นต้น (เสริมลาภ วสุวัต, 2537) เป็นบัวหลวงพันธุ์หนึ่งที่นิยมใช้ในพิธีกรรมทางศาสนา และยังสามารถนำมาใช้เพื่อวัตถุประสงค์อื่นๆได้เช่นเดียวกับบัวหลวงพันธุ์อื่นๆ ซึ่งในประเทศไทยมีบัวหลวงเพียงชนิดเดียว มี 4 สายพันธุ์ คือ บุนนาค มีดอกแหลมสีขาว กลีบดอกไม่ซ้อน ปรพม มีดอกแหลมสีชมพู กลีบดอกไม่ซ้อน สัตตบงกช มีดอกป้อมสีชมพู กลีบดอกซ้อนมาก และสัตตบงกช ดอกป้อมสีขาวกลีบดอกซ้อนมาก ซึ่งมีเพียง 2 สีเท่านั้นคือสีขาวและชมพู นอกจากนี้ยังมีรูปทรงเพียง 2 แบบเท่านั้น (ปริมลภ ชูเกียรติมั่น และเสริมลาภ วสุวัต, 2547) ถึงอย่างไรก็ตามแม้ว่าจะมีประโยชน์ในหลายๆ ด้านแต่ยังมีปัญหาบางประการ เช่น กลีบดอกจะเหี่ยวและร่วงเร็ว (สายชล เกตุษา, 2531) ทำให้มีปัญหาในด้านการใช้ประโยชน์ได้น้อยวัน (จินตนา ไทยลิมทอง และลาวัลย์ สุชนมนตรี, 2536) รูปทรงของดอกและสีสันทันมีให้เลือกจำกัด (จารีย์ หอยทอง, 2519) ทำให้ไม่สามารถพัฒนาสายพันธุ์บัวหลวงให้มีดอกสีอื่นๆด้วยวิธีการผสมพันธุ์ในธรรมชาติได้ (conventional breeding) จากปัญหาด้านคุณภาพและปริมาณการผลิตดังกล่าว จึงจำเป็นต้องมีการพัฒนาสายพันธุ์บัวหลวงให้มีคุณภาพด้านสี สัน รูปทรงดอก เพื่อตอบสนองต่อความต้องการในการปลูกเป็นการค้าของเกษตรกร

จากสภาพปัญหาที่กล่าวมาจึงได้นำเทคนิคการเพาะเลี้ยงเนื้อเยื่อ มาใช้ในการปรับปรุงพันธุ์ ซึ่งการเพาะเลี้ยงแคลลัสเป็นหนึ่งในเทคนิคการเพาะเลี้ยงเนื้อเยื่อ ที่สามารถช่วยในการปรับปรุงพันธุ์ได้ เนื่องจากแคลลัสเป็นเนื้อเยื่อที่มีความเหมาะสม สำหรับนำมาใช้ในการปรับปรุงพันธุ์โดยการถ่ายยีนต่อไปในอนาคต แต่การชักนำให้เกิดแคลลัสและเกิดยอดมีปัจจัยที่เกี่ยวข้องด้วยกันหลายอย่างจึงจำเป็นต้องมีการศึกษาปัจจัยต่างๆที่มีผลต่อการชักนำแคลลัสและชักนำยอด เพื่อนำไปใช้ประโยชน์ในการปรับปรุงพันธุ์บัวหลวงพันธุ์บุนนาคต่อไป

ดังนั้นการเลือกใช้เทคโนโลยีชีวภาพ จึงเป็นแนวทางหนึ่งที่จะช่วยในการตัดต่อยีนที่เกี่ยวข้องกับการสังเคราะห์สารในกลุ่ม flavonoid ที่ชื่อ aurone ซึ่งเป็นองค์ประกอบสำคัญในการสร้างรงควัตถุสีเหลืองของพืชหลายชนิด (Nakayama *et al.* 2000) เข้าสู่บัวหลวงสายพันธุ์มณฑริก เพื่อให้บัวหลวงสีขาวสามารถสร้างรงควัตถุสีเหลือง งานวิจัยนี้จึงทำการศึกษาวิธีการถ่ายยีนที่ได้รับการตัดแต่งพันธุกรรมเข้าไปในบัวหลวง โดยวิธีการยิงอนุภาคเพื่อสร้างพืชพันธุ์ใหม่

1.2 วัตถุประสงค์การศึกษา

1.2.1 เพื่อศึกษาผลของชิ้นส่วนเริ่มต้นและสารควบคุมการเจริญเติบโตที่มีต่อการชักนำการเกิดแคลลัสและการเกิดยอดของบัวหลวงพันธุ์มณฑริก

1.2.2 เพื่อศึกษาสภาวะที่เหมาะสมในการถ่ายยีน antisense Dihydroflavonol-4-Reductase (anti-DFR) เข้าสู่บัวหลวงพันธุ์มณฑริก โดยวิธีการยิงอนุภาค

1.2.3 เพื่อตรวจสอบผลการแสดงออกของยีน anti-DFR ที่ถ่ายเข้าสู่บัวหลวงพันธุ์มณฑริก

1.3 ขอบเขตการศึกษา

ศึกษาผลของสารควบคุมการเจริญเติบโตต่อการเกิดแคลลัสของบัวหลวงพันธุ์มณฑริก โดยใช้ชิ้นส่วนก้านใบ ตายอดจากคัพภะ และเนื้อเยื่อเจริญปลายยอด และศึกษาผลของสารควบคุมการเจริญเติบโตต่อการชักนำให้เกิดยอด จากชิ้นส่วนแคลลัสของบัวหลวงพันธุ์มณฑริก นอกจากนี้ยังทำการศึกษาสภาวะที่เหมาะสมในการถ่ายยีน antisense Dihydroflavonol-4-Reductase (anti-DFR) เข้าสู่บัวหลวงพันธุ์มณฑริก โดยวิธีการยิงอนุภาค และคัดเลือกต้นที่ได้รับการถ่ายยีนเพื่อใช้สำหรับศึกษาการแสดงออกของยีน anti-DFR ของต้นที่ได้รับการถ่ายยีนเข้าไป

1.4 ขั้นตอนการศึกษา

1.4.1 ศึกษาผลของชิ้นส่วนเริ่มต้นและสารควบคุมการเจริญเติบโตต่อการเกิดแคลลัสของบัวหลวงพันธุ์มณฑริก

1.4.2 ศึกษาผลของสารควบคุมการเจริญเติบโตต่อการพัฒนาเป็นต้นจากชิ้นส่วนแคลลัสของบัวหลวงพันธุ์มณฑริก

1.4.3 ศึกษาชิ้นส่วนและวิธีการที่เหมาะสมต่อการถ่ายยีนเข้าสู่บัวหลวงพันธุ์มณฑริก

1.4.4 ศึกษาการแสดงออกของยีน anti-DFR ของต้นที่ได้รับการถ่ายยีนเข้าไป

1.5 ผลที่คาดว่าจะได้รับ

- 1.5.1 ทราบชิ้นส่วนและสูตรอาหารที่เหมาะสมต่อการชักนำแคลลัสของบัวหลวงพันธุ์มณฑริก
- 1.5.2 ทราบสูตรอาหารที่เหมาะสมต่อการชักนำยอดของบัวหลวงพันธุ์มณฑริก
- 1.5.3 ทราบชิ้นส่วนและวิธีการที่เหมาะสมต่อการถ่ายยีนเข้าสู่บัวหลวงพันธุ์มณฑริก
- 1.5.4 ทราบผลของการแสดงออกของยีน anti-DFR ที่ถ่ายเข้าสู่บัวหลวงพันธุ์มณฑริก



เอกสารนี้เป็นเอกสารที่สงวนไว้สำหรับการใช้งานเพื่อการศึกษาเท่านั้น ไม่อนุญาตให้นำไปใช้ประโยชน์ด้านการค้า
ไม่ว่ากรณีใดๆ ทั้งสิ้น อีกทั้งห้ามมิให้ดัดแปลงเนื้อหา และต้องอ้างอิงถึงเจ้าของเอกสารทุกครั้งที่มีการนำไปใช้

บทที่ 2

ทฤษฎีและงานวิจัยที่เกี่ยวข้อง

2.1 ลักษณะทางพฤกษศาสตร์ของบัวหลวงพันธุ์บุณชกริก

บัวหลวงเป็นพืชในอันดับ (Order) Ranales วงศ์ (Family) Nymphaeaceae (ณพพร ดำรงศิริ. 2530) มีชื่อวิทยาศาสตร์ว่า *Nelumbo nucifera* Gaertn. ซึ่งเป็นวงศ์ของพืชล้มลุกพืชในวงศ์นี้มีทั้งหมด 8 สกุล (Genus) 50 ชนิด (Species) ประเทศไทยมีเพียง 3 สกุล คือ *Nelumbo*, *Nymphaea* และ *Victoria* (สุชาดา ศรีเพ็ญ. 2530 ; เสริมลาภ วสุวัต. 2537)

บัวหลวงเป็นพืชที่อยู่ในสกุล *Nelumbo* Adans. (Backer and Bakhuizen. 1963) พืชในสกุลนี้พบได้ทั่วไป มีทั้งหมด 2 ชนิดคือ *Nelumbo nucifera* Gaertn. และ *Nelumbo lutea* Pers. (Core. 1995 ; Burkill. 1966) แต่ที่พบในประเทศไทย มีเพียงชนิดเดียว คือ *Nelumbo nucifera* Gaertn. (สุชาดา ศรีเพ็ญ. 2530 ; ไชยา-ลาวัลย์. 2533)

Nelumbo nucifera Gaertn. หรือ *Nelumbium speciosum* Willd. หรือ *Nelumbo indica* Pers. หรือ *Nelumbium nelumbo* (L.) Druce มีชื่อสามัญว่า Sacred lotus, Egyptian lotus (สมาคมไม้ดอกไม้ประดับแห่งประเทศไทย. 2520) ซึ่งมีถิ่นกำเนิดในเอเชียตะวันออกเฉียงใต้ (คณิตา เลขะกุล. 2535) อินเดีย เปอร์เซียตะวันออก ออสเตรเลียเหนือ (สุเม อรัญนารถ. 2537) จีน ไทย ทิเบต (Core. 1995) และอาจพบได้ในรัฐฮาวาย (Gilbert. 1982) สำหรับในประเทศไทยตามรายงานพบพืชสกุลบัวหลวงเพียงชนิดเดียวคือ *Nelumbo nucifera* Gaertn. ซึ่งเรียกโดยทั่วไปว่า “บัวหลวง หรือปทุมชาติ” (สุชาดา ศรีเพ็ญ. 2530 ; ไชยา-ลาวัลย์. 2533) บัวสกุลนี้อาจจำแนกได้เป็น 8 พันธุ์ โดยอาศัยหลักเกณฑ์ของวิชาพฤกษ-อนุกรมวิธาน และพันธุศาสตร์ ดังนี้ (สมาคมไม้ดอกไม้ประดับแห่งประเทศไทย. 2520 ; ณพพร ดำรงศิริ. 2530)

พันธุ์ที่ 1 มีชื่อว่า บัวหลวงชมพู ปทุม ประทุม ปทุมมาลย์ โภกกระณต โภกนุท บัวแหลมแดง บัวหลวงแดง หรือ ปัทมา ดอกมีขนาดใหญ่ ดอกตูมเป็นรูปไข่ ปลายเรียว ดอกรา กลีบสีชมพู

พันธุ์ที่ 2 มีชื่อว่า บุนชกริก บุนชกริก บัวหลวงขาว หรือบัวแหลมขาว ดอกมีขนาดใหญ่ ลักษณะใบและรูปทรงดอกเหมือนบัวปทุมแต่กลีบสีขาว

พันธุ์ที่ 3 มีชื่อว่า สัตตบงกช บัวหลวงชมพูซ้อน บัวหลวงป้อมแดง บัวฉัตรแดง หรือบัวฉัตรชมพู ดอกมีขนาดใหญ่ ดอกตูมทรงป้อมเวลาดอกบานจะเห็นกลีบเล็กๆสีขาวปนชมพูซ้อนอยู่ข้างในใกล้ฝัก

พันธุ์ที่ 4 มีชื่อว่า สัตตบุษย์ บัวหลวงขาวซ้อน บัวฉัตรขาว หรือบัวป้อมขาว ดอกมีขนาดใหญ่ ดอกตูมทรงป้อมเช่นเดียวกับสัตตบงกช กลีบดอกสีขาว

พันธุ์ที่ 5 มีชื่อว่า บัวเข็มสีชมพู ดอกขนาดกลาง ดอกตูมรูปไข่ ดอกสีชมพู

พันธุ์ที่ 6 มีชื่อว่า บัวเข็มสีขาว ดอกขนาดกลาง ดอกตูมรูปไข่ ดอกสีขาว

พันธุ์ที่ 7 มีชื่อว่า บัวหลวงจีน บัวหลวงจีนสีชมพู บัวปักกิ่งชมพู ดอกขนาดเล็ก ดอกตูมรูปไข่ ดอกสีชมพู กลีบน้อย บานเบะ และโรยเร็ว

พันธุ์ที่ 8 มีชื่อว่า บัวปักกิ่งขาว บัวไต้หวัน หรือบัวหลวงจีนขาว ดอกขนาดเล็ก ดอกตูมรูปไข่ ดอกสีขาว กลีบน้อย บานเบะ และโรยเร็ว

Nelumbo lutea Pers. มีแหล่งกำเนิดในอเมริกาเหนือ ลักษณะดอกคล้ายดอกบัวหลวงในประเทศไทยแต่ดอกมีสีเหลืองอ่อนขนาด 6-10 นิ้ว ดอกจะชูขึ้น 3 ฟุตจากพื้นน้ำ ใบมีสีน้ำเงินอมเขียว และกว้าง 1-2 ฟุต ผลย่อยลักษณะค่อนข้างกลม (Gilbert. 1982 ; คณิตา เลขะกุล. 2535) เคยมีผู้พยายามนำมาปลูกในเมืองไทย แต่ปรากฏว่าทนสภาพแวดล้อมไม่ได้จึงสูญพันธุ์ไป (กลิน สุวตะพันธุ์. 2500 ; คณิตา เลขะกุล. 2535.)

การจำแนกอนุกรมวิธานของบัวหลวง โดย Singh (2004)

Class	Magnoliophyta (ใบเลี้ยงคู่)
Subclass	Nelumboniadae
Order	Nelumbonales
Family	Nelumbonaceae
Genus	Nelumbo

ลักษณะประจำพันธุ์ของบัวหลวงพันธุ์บุณฑริก (เสริมลาภ วสุวัต. 2537)

ชื่อวิทยาศาสตร์ *Nelumbo nucifera* Gaertn.

ชื่อสามัญ HINDU LOTUS

ชื่อวงศ์ NYMPHAEACEAE

ชื่อไทย บุณฑริก บุณฑริก บัวหลวงขาว บัวแหลมขาว

ลักษณะทั่วไป (วาสนา มิตรานนท์. 2527)

ลำต้น มีลักษณะเป็นเหง้า (rhizome) อยู่ใต้ดินลึกประมาณ 5-15 เซนติเมตร มีช่องอากาศ (air canal) ตามความยาวของเหง้า ตรงข้อมีกาบใบลักษณะเป็นแผ่นเล็กๆ บางๆ ในลำต้นมีน้ำยางสีขาวขุ่น

ใบ เป็นใบเดี่ยว ออกจากข้อของลำต้นแบบสลับ ตั้งตรงชูขึ้นเหนือน้ำโดยจะชูใบเหนือน้ำหลายระดับ ผิวใบมีนวล ใบอ่อนมีว่น ใบที่โตเต็มที่มีรูปร่างเกือบกลม (suborbicular) เป็นแบบ peltate leaf ขอบใบเรียบ หรือเป็นคลื่นเล็กน้อย ผิวใบด้านบนมีสีเขียวเข้ม ผิวใบด้านล่างสีเขียว

เอกสารนี้เป็นเอกสารที่สงวนไว้สำหรับการใช้งานเพื่อการศึกษาเท่านั้น ไม่อนุญาตให้นำไปใช้ประโยชน์ด้านการค้า ไม่ว่าจะกรณีใดๆ ทั้งสิ้น อีกทั้งห้ามมิให้ดัดแปลงเนื้อหา และต้องอ้างอิงถึงเจ้าของเอกสารทุกครั้งที่มีการนำไปใช้

อ่อน ไม่มีหูใบ ก้านใบแข็งมีหนามสั้นๆ ขนาดเล็กสีน้ำตาลประปราย ในก้านใบมีน้ำยางสีขาวเมื่อถูกอากาศจะเหนียวเป็นเส้น เส้นใบออกจากจุดกึ่งกลางที่ติดกับก้านใบ

ราก เป็นแบบรากฝอย เกิดตรงบริเวณส่วนข้อของลำต้น รากอ่อนมีสีขาว หมวกรากใหญ่ เมื่อแก่เปลี่ยนเป็นสีน้ำตาล

ดอก เป็นดอกเดี่ยว ขนาดใหญ่ ก้านดอกมีลักษณะใกล้เคียงกับก้านใบ แข็ง และมีหนามสั้นๆ ขนาดเล็กสีน้ำตาลประปราย และจำนวนของหนามลดน้อยลงในตอนโคนก้านดอก โดยทั่วไป ก้านดอกมีสีเขียว แต่ส่วนที่อยู่ใต้น้ำมีสีจางลง เป็นดอกสมบูรณ์เพศ มีกลิ่นหอม กลีบดอกชั้นนอกมี 4-5 กลีบเรียงตัวเป็น 2 ชั้นสลับหว่างกัน ด้านนอกของกลีบมีสีเขียวปนขาว มีเส้นกลีบจำนวนมากแต่ไม่ขนเด่นชัด มีรูปร่างโค้งป้อม กลีบดอกชั้นกลางมีขนาดใหญ่รูปไข่เห็นเส้นบนกลีบใบชัดเจนมีสีขาวนวลทั้งด้านนอกและด้านใน ยกเว้นส่วนที่ติดกับฐานรองดอกมีสีเหลือง กลีบดอกชั้นในเรียงตัวเป็นชั้นประมาณ 8 ชั้น รอบฐานรองดอก มีเกสรตัวผู้ยื่นเหนือกลีบดอกชั้นใน ก้านเกสรเรียวเล็กมีสีเหลืองนวล ตอนบนมีอับเรณูสีเหลืองสดติดตามความยาวของแกนเหนืออับเรณูขึ้นไปมีส่วนปลายสีขาวขุ่น ความยาว 0.25-0.30 เซนติเมตร เกสรตัวผู้มีกลิ่นหอม รังไข่มีสีเหลืองนวลผนังหนาฝังอยู่ส่วนบนของฐานรองดอก ลักษณะเป็นรูปกรวย ก้านชูเกสรตัวเมียสั้น เกสรตัวเมียกลมแบน สีเหลืองเป็นมันแข็ง ในหนึ่งดอกจะมี carpel 15-30 อัน อยู่กระจายไม่ติดกัน ภายในแต่ละรังไข่จะมีไข่ออยู่ 1 อัน (จารีย์ หอยทอง. 2519)

กลีบเลี้ยง มี 4-5 กลีบหรือมากกว่า ลักษณะเป็นรูปไข่รีสีขาวอมเขียว เขียวและร่วงง่าย กลีบเลี้ยงและกลีบดอกรูปร่างคล้ายกันมาก แบ่งแยกกันได้ง่าย

ผล เป็นผลกลุ่ม (aggregate fruit) มักเรียกว่าฝัก ประกอบด้วยผลย่อยๆ ผลย่อยแต่ละผลเมื่อแก่แล้วไม่แตก เปลือกแข็ง (nut) มีรูปร่างคล้ายรูปไข่

เมล็ด มีเปลือกหุ้มบางๆ สีขาวเป็นเปลือกชั้นนอกที่อ่อนนุ่มห่อหุ้ม ภายในมีใบเลี้ยงสีขาวนวล 2 ใบ ไม่มี endosperm ต้นอ่อนสีเขียวเข้มมักเรียกกันว่าคิบัว

2.2 ความรู้เกี่ยวกับแคลลัสและเอ็มบริโอจีนิซิส

2.2.1 แคลลัส (callus) หมายถึง กลุ่มเซลล์พาราเรโนไคมา (parenchyma) เป็นเนื้อเยื่อถาวรเชิงเดี่ยวที่มีชีวิต และยังไม่มีการเปลี่ยนแปลงเป็นเนื้อเยื่อหรืออวัยวะอื่นๆ สามารถแบ่งเซลล์ได้อย่างต่อเนื่องภายในเซลล์มีแวคิวโอ (vacuole) จำนวนมาก เซลล์มีรูปร่างไม่แน่นอน มีรูปร่างหลายแบบแตกต่างกันไปตามตำแหน่งที่อยู่และหน้าที่พิเศษ (ประศาสตร์ เกี่ยมณี. 2538 ; รังสฤษฏ์ กาวีติ๊ะ. 2540 ; ภูวคต บุตรรัตน์. 2538) ลักษณะของแคลลัสแบ่งได้เป็น 2 แบบ คือ แคลลัสชนิดที่เซลล์เกาะกันอยู่หลวมๆ แยกจากกันได้ง่าย เรียกว่า friable callus, soft callus หรือ non-embryogenic callus ซึ่งมีการเจริญรวดเร็ว และอีกแคลลัสที่เซลล์เกาะกันแน่น แยกจากกันได้ง่ายเรียกว่า compact callus,

เอกสารนี้เป็นเอกสารที่สงวนไว้สำหรับการใช้งานเพื่อการศึกษาเท่านั้น ไม่อนุญาตให้นำไปใช้ประโยชน์ด้านการค้า ไม่ว่าจะกรณีใดๆ ทั้งสิ้น อีกทั้งห้ามมิให้ดัดแปลงเนื้อหา และต้องอ้างอิงถึงเจ้าของเอกสารทุกครั้งที่มีการนำไปใช้

hard callus เป็นแคลลัสที่มีการเจริญเติบโตช้า และสามารถที่จะมีการพัฒนาโครงสร้างเป็นออร์กาโนเจนีซิสและออบริโอเจนีซิสได้ต่อไป (Dixon and Gonzales. 1994) ทุกส่วนที่มีชีวิตของพืชสามารถชักนำให้เกิดแคลลัสได้ โดยส่วนที่ประสบความสำเร็จมากที่สุดในพืชใบเลี้ยงคู่คือ คัพภะ (embryo) ใบเลี้ยง (cotyledon) ลำต้น (stem) ส่วนเหนือใบเลี้ยง (epicotyl) ส่วนใต้ใบเลี้ยง (hypocotyls) และราก (root) ส่วนพืชใบเลี้ยงเดี่ยวส่วนที่นำมาเลี้ยงให้ประสบความสำเร็จคือ แคมเบียม (cambium) คอร์เทกซ์ (cortex) ไม้ (pith) ท่อลำเลียงอาหาร (phloem) (ประศาสตร์ เกี่ยมณี. 2538 ; รังสฤษฏ์ กาวีตะ. 2540 ; บุญยีน กิจวิจารณ์. 2540) และส่วนหัวของพืช เช่น มันเทศ แครอท ก็สามารถชักนำให้เกิดแคลลัสได้ (Dodds and Roberts. 1995)

ปัจจัยที่มีผลต่อการเกิดแคลลัสในการเพาะเลี้ยงเนื้อเยื่อพืช (ประศาสตร์ เกี่ยมณี. 2538; รังสฤษฏ์ กาวีตะ. 2540)

1. ขนาดและรูปร่างของชิ้นส่วน (size and shape) ขึ้นอยู่กับชนิดของพืช และมีขนาดพอเหมาะ เช่น ขนาดแครอทที่มีน้ำหนักประมาณ 3.8 กรัม สามารถเกิดแคลลัสได้ดี
2. สารควบคุมการเจริญเติบโต (growth regulators) การพัฒนาเป็นแคลลัสขึ้นอยู่กับความสมดุลของออกซิน (auxin) และไซโตไคนิน (cytokinin) ถ้าออกซินสูงไซโตไคนินต่ำชิ้นส่วนจะพัฒนาไปเป็นรากหรือแคลลัส ถ้าออกซินต่ำไซโตไคนินสูงชิ้นส่วนจะพัฒนาไปเป็นยอด ออกซินที่อยู่ในช่วงที่เหมาะสมคือ 0.1-10.0 มิลลิกรัมต่อลิตร
3. ธาตุอาหาร (nutrients) นอกจากส่วนประกอบทั่วไปในสูตรอาหารแล้ว พวกกรดอะมิโน เช่น กลูตามีน (glutamine) แอสปาราจีน (asparagines) อาร์จินีน (arginine) พิวรีน (purine) และไพริมิดีน (pyrimidine) สารสกัดจากมอลต์ (malt extract) และน้ำมะพร้าว (coconut milk) มีส่วนสำคัญต่อการกระตุ้นให้เกิดแคลลัส
4. แหล่งคาร์บอน (carbon source) ได้แก่ น้ำตาลกลูโคส (glucose) ซูโครส (sucrose) และแมนนิทอล (mannitol) ความเข้มข้น 2-4 เปอร์เซ็นต์
5. สิ่งแวดล้อม (environmental factor) แคลลัสเจริญเติบโตในอาหารเหลวได้ดีกว่าอาหารแข็ง

2.2.2 ออบริโอเจนีซิส (Embryogenesis) เป็นการพัฒนาชิ้นส่วนเริ่มต้นไปเป็นคัพภะ ซึ่งเกิดขึ้นได้ 2 แบบ คือ คัพภะที่ได้จากไข่ที่ได้รับการผสม (zygotic embryo) มีโครโมโซม $2n$ และคัพภะที่ไม่ได้รับการผสม หรือเกิดจากเซลล์หรือเนื้อเยื่ออื่นๆ (non-zygotic embryo) ซึ่งแบ่งได้เป็น 3 ชนิด คือ คัพภะที่ได้จากเซลล์สืบพันธุ์เพศเมีย (egg) ที่ไม่ได้รับการผสม (parthenogenetic embryo) คัพภะที่ได้จากเซลล์สืบพันธุ์เพศผู้ (androgenetic embryo) และคัพภะที่ได้จากเซลล์ร่างกาย (somatic cell) เรียกว่า adventive embryo (ประศาสตร์ เกี่ยมณี. 2538 ; รังสฤษฏ์ กาวีตะ. 2540)

สำหรับการเกิดออบริโอเจนีซิสในงานเพาะเลี้ยงเนื้อเยื่อแบ่งออกได้ 2 แบบ คือการเกิดคัพภะ เอกสารนี้เป็นเอกสารที่สงวนไว้สำหรับการใช้งานเพื่อการศึกษาเท่านั้น เมื่อนูญาติเห็นไปใช้ประโยชน์ด้านการค้า ไม่ว่าจะกรณีใดๆ ทั้งสิ้น อีกทั้งห้ามมิให้ดัดแปลงเนื้อหา และต้องอ้างอิงถึงเจ้าของเอกสารทุกครั้งที่มีการนำไปใช้

โดยไม่ผ่านการเกิดแคลลัส (direct embryogenesis) และการเกิดคัพภะโดยพัฒนาเป็นแคลลัสก่อน แล้วจึงเจริญไปเป็นคัพภะ (indirect embryogenesis) (สุเม อรัญนารถ. 2536 ; อารีย์ วรรณวุฒิก์. 2541) หลังจากนั้นคัพภะจะมีการพัฒนาอีก 5 ระยะ คือ proembryo globular shape torpedo shape และ mature embryo (ประศาสตร์ เกี่ยมณี. 2538 ; รังสฤษดิ์ กาวีติ๊ะ. 2540. ; Pollard and Walker.1990)

ปัจจัยที่มีผลต่อการเกิดเอ็มบริโอจินิกส์ในการเพาะเลี้ยงเนื้อเยื่อ

1. ชนิดพืช (plant type) พืชแต่ละชนิดแต่ละพันธุ์มีความยากง่ายในการเพาะเลี้ยงที่แตกต่างกัน เช่น ใบอ่อนพืชใบเลี้ยงคู่จะประสบความสำเร็จในการเกิดไซมาติกเอ็มบริโอสูง แต่ในพืชใบเลี้ยงเดี่ยวจะเกิดไซมาติกเอ็มบริโอไม่แน่นอน (ประศาสตร์ เกี่ยมณี. 2538 ; รังสฤษดิ์ กาวีติ๊ะ. 2540)

2. ชิ้นส่วนเริ่มต้น (explant) โดยทั่วไปส่วนที่เหมาะสมต่อการเกิดไซมาติกเอ็มบริโอ คือ ส่วนที่มีเนื้อเยื่อเจริญ เช่น ปลายยอด ปลายราก ตาข้าง ใบอ่อน (ประศาสตร์ เกี่ยมณี. 2538 ; รังสฤษดิ์ กาวีติ๊ะ. 2540 ; Pollard and Walker. 1990) เอ็มบริโอจินิกแคลลัส (embryogenic callus) (อารีย์ วรรณวุฒิก์. 2541) และช่อดอกอ่อน ก้านใบ และส่วนเนื้อใบเลี้ยงจากคั่นกล้าอ่อน (Dixon and Gonzales. 1994)

3. ธาตุอาหาร (nutrients) พืชแต่ละชนิด แต่ละพันธุ์ หรือแต่ละอวัยวะต้องการอาหารที่แตกต่างกันทั้งชนิดและปริมาณ จึงจำเป็นต้องเลือกใช้สูตรอาหารให้เหมาะสม ธาตุอาหารบางตัวมีความสำคัญต่อการชักนำการเกิดไซมาติกเอ็มบริโอ เช่น แคลเซียม (อารีย์ วรรณวุฒิก์. 2541) โบตัสเซียม หรือไนโตรเจนที่อยู่ในรูปแอมโมเนียมและไนเตรทร่วมกัน และปริมาณที่เหมาะสมอยู่ระหว่างความเข้มข้น 12-40 ไมโครโมลาร์ (Street. 1977) นอกจากนี้ยังมีน้ำมะพร้าวและน้ำตาลซูโครสเข้มข้น 2-3 เปอร์เซ็นต์ ช่วยส่งเสริมการเกิดไซมาติกเอ็มบริโอได้เช่นเดียวกัน (รังสฤษดิ์ กาวีติ๊ะ. 2540)

4. สารควบคุมการเจริญเติบโต (growth regulators) คือสารอินทรีย์ที่เกิดขึ้นโดยธรรมชาติ หรือได้รับการสังเคราะห์ขึ้น อีกทั้งสารนี้ไม่ใช่ธาตุอาหารพืช แต่เมื่อพืชได้รับจะมีอิทธิพลต่อการเปลี่ยนแปลงสรีรวิทยาของพืช (นพดล จรัสสัมฤทธิ์. 2536) กลุ่มของสารควบคุมการเจริญเติบโตที่เกี่ยวข้องกับการชักนำให้เกิดแคลลัสและเอ็มบริโอจินิกส์มีดังนี้

4.1 ออกซิน (Auxin) แบ่งออกเป็น 2 กลุ่มคือ

4.1.1 Natural auxin ได้แก่ IAA (indole-3-acetic acid)

เอกสารนี้เป็นเอกสารที่สงวนไว้สำหรับการใช้งานเพื่อการศึกษาเท่านั้น ไม่อนุญาตให้นำไปใช้ประโยชน์ด้านการค้า ไม่ว่าจะกรณีใดๆ ทั้งสิ้น อีกทั้งห้ามมิให้ดัดแปลงเนื้อหา และต้องอ้างอิงถึงเจ้าของเอกสารทุกครั้งที่มีการนำไปใช้

4.1.2 Synthetic auxin ได้แก่ NAA (naphthalene acetic acid), 2,4-D (2,4-dichlorophenoxy acetic acid), picloram (4-amino-3,5,6-trichloropicolinic acid), dicamba (3,6-dichloro-2-methoxybenzoic acid), triacontanol (1-hydroxytriacontane) เป็นสารที่นิยมใช้เพื่อประโยชน์ในการกระตุ้นให้เกิดการเร่งการเจริญเติบโตของพืชตามธรรมชาติ (Ries *et al.* 1997) โดยมีผลเพิ่มการแบ่งเซลล์ของพืช (พีรเดช ทองอำไพ. 2529)

4.2 ไซโตไคนิน (Cytokinin) ได้แก่

4.2.1 Natural Cytokinin ได้แก่ 2iP (N⁶-isopentenylamino purine)

4.2.2 Synthetic Cytokinin ได้แก่ kinetin (6-furfurylamino purine), BA (N⁶-benzyladenine), TDZ [1-phenyl-3-(1,2,3-thiadiazol-5-yl)-urea]

5. สิ่งแวดล้อม (environment) มีดังนี้ (ประวัติศาสตร์ เกื้อมณี. 2538 ; รัชสฤษฎ์ กาวีตะ. 2540)

5.1 แสง การเกิดโซมาติกเอมบริโอต้องการความเข้มของแสงต่ำ หรือไม่ต้องการแสงเลย ยกเว้นพืชบางชนิด

5.2 อุณหภูมิ ต้องการอุณหภูมิสูงกว่า 25 องศาเซลเซียสเล็กน้อย

5.3 ออกซิเจน ต้องการออกซิเจนสูงเพื่อใช้ในกระบวนการหายใจ

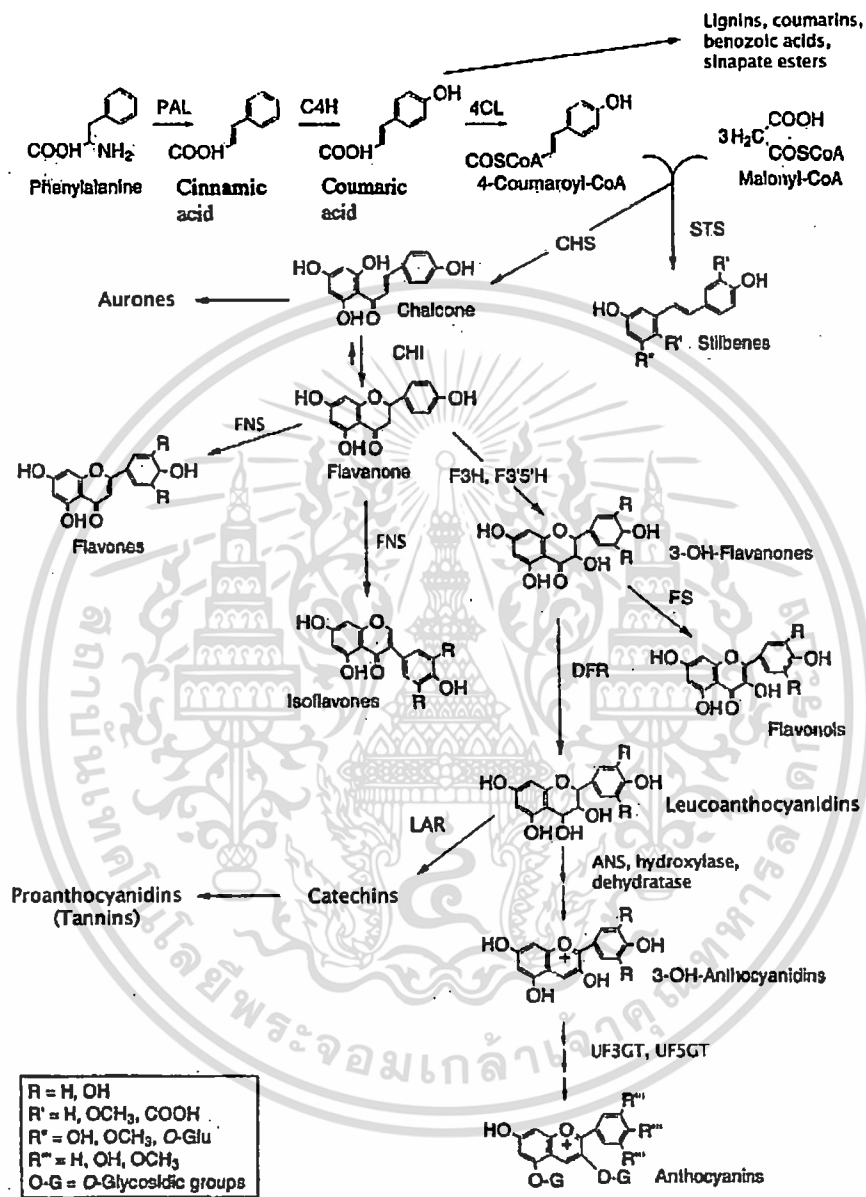
5.4 ความเป็นกรด-ด่าง (pH) ขึ้นอยู่กับชนิด อายุและระยะการพัฒนาของพืช

2.3 ยีนควบคุมสีดอก dihydroflavonol 4-reductase (DFR)

การปรับปรุงสีดอกไม้ นั้น เริ่มจากการแยกสกัดและโคลนยีนจากสิ่งมีชีวิตที่เป็นแหล่งของยีน แล้วผลิตดีเอ็นเอตัวตรวจ (DNA probe) เพื่อใช้ตรวจหาหรือตรวจสอบยีนนั้นๆ เมื่อวิเคราะห์รายละเอียดต่างๆ ของยีนแล้ว จึงตัดต่อยีนหรือ ดีเอ็นเอเข้ากับพลาสมิดพาหะของพืช (plant vector) ที่จะเป็นเครื่องมือนำยีนเข้าสู่เซลล์พืชและทำให้ยีนสามารถแสดงแทรกเข้าสู่โครโมโซมพืชได้ (พิส สวรรณ เจริญสมบัติ. 2545) Davies and Schwinn (1997) ได้รายงานยีนที่โคลนได้จากดอกไม้และพืชชนิดต่างๆ จากนั้นจึงคัดเลือกชนิดของโปรโมเตอร์ที่เหมาะสมเพื่อให้ยีนที่โคลนได้สามารถแสดงออกได้ในพันธุ์พืช และส่วนของเนื้อเยื่อพืชนั้น ในบางครั้งเป็นการสร้างพืชแปลงพันธุ์ให้เกิดการข่มการแสดงออกของยีนนั้น ซึ่งยีนดังกล่าวจะถูกกดการแสดงออกโดยการใช้โคลนที่เป็นลักษณะ antisense หรือ sense ของยีนที่สนใจ ขั้นตอนในการถ่ายยีนเข้าสู่พืช ประกอบด้วยสามขั้นตอน ขั้นตอนแรกคือ การโคลนยีน และศึกษารายละเอียดของยีนที่ต้องการถ่ายยีนเข้าสู่พืช (Gene cloning and identification) และจัดทำพลาสมิดสำหรับถ่ายยีน ขั้นที่สองคือพัฒนาระบบเพาะเลี้ยงเนื้อเยื่อหรือชิ้นส่วนพืช ให้เป็นต้นพืช (Plant regeneration) ซึ่งจำเป็นสำหรับการพัฒนา

เอกสารนี้เป็นเอกสารที่สงวนไว้สำหรับการใช้งานเพื่อการศึกษาเท่านั้น ไม่อนุญาตให้นำไปใช้ประโยชน์ด้านการค้า ไม่ว่าจะกรณีใดๆ ทั้งสิ้น อีกทั้งห้ามมิให้ดัดแปลงเนื้อหา และต้องอ้างอิงถึงเจ้าของเอกสารทุกครั้งที่มีการนำไปใช้

เซลล์หรือเนื้อเยื่อพืชที่ถ่ายยีนแล้วให้เป็นต้นพืช และขั้นสุดท้ายเป็นการถ่ายยีน (หรือดีเอ็นเอ) เข้าสู่โครโมโซมพืช (Gene transfer to plant) ด้วยวิธีการที่เหมาะสมกับชิ้นส่วนเริ่มต้น (พิศสุวรรณ เจียมสมบัติ, 2545) โดยมีอินทรีย์ต่างๆที่เกี่ยวข้องกับกระบวนการสังเคราะห์ flavonoids และ anthocyanins ดังแสดงในภาพที่ 2.1



ภาพที่ 2.1 กระบวนการสังเคราะห์ Flavonoids (Neill, 2002)

เริ่มสังเคราะห์จากกระบวนการหลักสองกระบวนการคือ phenylpropanoid pathway โดยผ่านกระบวนการ shikimic acid pathway และ malonic acid pathway ซึ่ง shikimic acid pathway จะสร้าง aromatic acids ที่ได้จากสารตั้งต้นคาร์โบไฮเดรตอย่างง่ายจาก glycolysis และ pentose phosphate pathway เริ่มจาก phenylalanine ซึ่งเป็นจุดเริ่มต้นของ primary และ secondary เอกสารนี้เป็นเอกสารที่สงวนไว้สำหรับการใช้งานเพื่อการศึกษาเท่านั้น ไม่อนุญาตให้นำไปใช้ประโยชน์ด้านการค้า ไม่ว่าจะกรณีใดๆ ทั้งสิ้น อีกทั้งห้ามมิให้ดัดแปลงเนื้อหา และต้องอ้างอิงถึงเจ้าของเอกสารทุกครั้งที่มีการนำไปใช้

metabolism ที่ได้จาก phenylpropanoid pathway ซึ่งนำไปสู่การสังเคราะห์ phenolic compounds โดย phenylalanine ammonia lyase (PAL) จะกระตุ้นการเปลี่ยน phenylalanine เป็น trans-cinnamic acid จากนั้นหนึ่งโมเลกุลของ 4-coumaroyl-CoA ที่ได้จาก phenylpropanoid pathway และสามโมเลกุลของ malonyl-CoA จาก Krebs tricarboxylic acid cycle จะถูกเปลี่ยนเป็น naringenin chalcone (2',4,4',6'-tetrahydroxy-chalcone) โดยเอนไซม์ chalcone synthase (CHS) ซึ่งขั้นตอนนี้เป็น การเริ่มต้นกระบวนการสังเคราะห์ flavonoids สาร naringenin chalcone ที่มีสีเหลืองสามารถเปลี่ยนเป็นสารประกอบ aurone ที่มีสีเหลืองมากกว่าได้ แต่โดยปกติแล้วจะเปลี่ยนเป็น naringenin หรือ flavanone ที่ไม่มีสีโดยเอนไซม์ chalcone isomerase (CHI) ซึ่งเป็นสารตั้งต้นของ isoflavones โดยเอนไซม์ flavone synthase (FNS) นอกจากนี้ dihydroflavonols จะถูกสังเคราะห์ขึ้นระหว่างการสร้าง flavonols โดยเอนไซม์ flavonol synthase (FS) จากนั้นเอนไซม์ dihydroflavonol 4-reductase (DFR) จะเปลี่ยน dihydroflavonols เป็น leucoanthocyanidins (flavan-3,4-cis-diols) ซึ่งเป็นสารตั้งต้นของ anthocyanidins โดยการทำงานของเอนไซม์ anthocyanin synthase (ANS)

2.4 การถ่ายยีนเข้าสู่พืช

วัตถุประสงค์ของการถ่ายยีนเข้าสู่พืช ประการแรก ได้แก่ ความต้องการนำยีนที่ควบคุมลักษณะบางอย่างที่เป็นประโยชน์ เข้าสู่โครโมโซมพืชที่มีความสำคัญทางเศรษฐกิจ เพื่อปรับปรุงพันธุ์ให้เป็นพืชที่มีลักษณะดีตามความต้องการของเกษตรกรและผู้บริโภค ทั้งพืชไร่ พืชสวน และไม้ดอกไม้ประดับ ประการที่สอง เพื่อการศึกษาให้เกิดความเข้าใจในกลไก หรือ การทำงานของยีน (gene function) หรือกระบวนการต่างๆ ในทางชีววิทยา (biological process) โดยเมื่อถ่ายยีนเข้าสู่พืชแล้ว และยีนดังกล่าวมีการแสดงออกในต้นพืช ก็จะสามารถอธิบายหรือแสดงให้เห็นถึงบทบาทของยีนและกระบวนการที่เกิดขึ้นในพืชได้ พืชที่ได้รับการถ่ายยีนจากแหล่งอื่นเข้าไปในส่วนของจีโนม และสามารถแสดงลักษณะทางพันธุกรรมที่ยีนนั้นควบคุม เรียกว่า พืชแปลงพันธุ์ (transgenic plants)

2.4.1 เทคนิคการถ่ายยีน การส่งถ่ายยีนเข้าสู่พืชสามารถปฏิบัติได้หลายวิธี ขึ้นอยู่กับชนิดและเนื้อเยื่อของพืชที่นำมาใช้ในการส่งถ่ายยีน อาจแบ่งออกเป็น 2 วิธีการใหญ่ๆ คือ

2.4.1.1 การส่งถ่ายยีนโดยตรง เป็นวิธีการส่งถ่ายยีนที่ต้องการเข้าสู่เนื้อเยื่อพืชเป้าหมายโดยตรง เช่น การส่งถ่ายยีนโดยใช้กระแสไฟฟ้า (electroporation) เป็นการใช้กระแสไฟฟ้าทะลวงเซลล์ในระยะเวลาสั้นๆ เพื่อให้ดีเอ็นเอสามารถผ่านเข้าไป การส่งถ่ายยีนโดยใช้เข็มฉีดยา (microinjection) เป็นการใช้เข็มที่มีสารละลายดีเอ็นเอฉีดเข้าไป การส่งถ่ายยีนโดยใช้เครื่องยิงอนุภาค (particle bombardment) เป็นวิธีการที่ใช้ในการถ่ายยีนเข้าสู่พืชด้วยวิธียิงยีนเข้าสู่เซลล์ ยีนที่ใช้จะถูกเคลือบบนอนุภาคโลหะขนาดเล็ก เช่น อนุภาคทองคำ หรืออนุภาคทังสเตน ซึ่งทำหน้าที่เป็นตัวนำยีนเข้าสู่เซลล์ โดยใช้แรงผลักดันจากแหล่งแรงดันของก๊าซเป็นตัวผลักดันอนุภาคเข้าสู่

เนื้อเยื่อเป้าหมายผ่านผนังเชื้อหุ้มเซลล์ภายใต้สภาวะสูญญากาศและนำยีนที่ต้องการเข้าเชื่อมต่อกับโครโมโซมของเซลล์เป้าหมาย การถ่ายยีนวิธีนี้นิยมทำกันมาก เนื่องจากข้อดีคือสามารถใช้ได้กับเนื้อเยื่อเกือบทุกชนิด ทั้งในพืชใบเลี้ยงเดี่ยวและใบเลี้ยงคู่ ยกเว้นเนื้อเยื่อนั้นเป็นเนื้อเยื่อบริเวณเล็กๆที่อยู่บนเนื้อเยื่อขนาดใหญ่ เช่น บริเวณยอดอ่อนที่อยู่ระหว่างใบเลี้ยง เนื่องจากการยิงอนุภาคให้ตรงเป้าหมายทำได้ยาก ข้อเสียของวิธีนี้คือ เครื่องมือราคาแพง และมีความเที่ยงตรงต่ำถึงปานกลาง (สนธิชัย จันทร์เปรม, 2453) การถ่ายยีนโดยใช้เครื่องยิงอนุภาคเป็นการถ่ายยีนที่อาศัยแรงจากภายนอกทำการส่งถ่ายยีนเข้าสู่เซลล์พืชจึงมีปัจจัยที่มีผลต่อประสิทธิภาพของการส่งถ่ายยีนด้วยเครื่องยิงอนุภาคมาเกี่ยวข้อง ทั้งปัจจัยที่เกี่ยวข้องกับเซลล์หรือเนื้อเยื่อที่ใช้ในการถ่ายยีน (biotic parameters) ซึ่งเป็นปัจจัยที่เกิดจากเซลล์หรือเนื้อเยื่อเป้าหมายที่นำมาใช้ในการถ่ายยีนที่ส่งผลกระทบต่อประสิทธิภาพของการส่งถ่ายยีน ได้แก่ แหล่งที่มาของเนื้อเยื่อ (tissue source) อายุของเนื้อเยื่อ (tissue age) และสภาพแรงดันภายในของเซลล์ (osmotic condition of cells) รวมถึงปัจจัยทางกายภาพที่ใช้ในการถ่ายยีน (abiotic parameters) ซึ่งเป็นปัจจัยภายนอกที่มีผลต่อประสิทธิภาพของการถ่ายยีนโดยการใช้เครื่องยิงอนุภาค นอกเหนือไปจากปัจจัยที่เกี่ยวข้องกับเนื้อเยื่อเป้าหมายที่ใช้ในการยิงยีนได้แก่ ชนิดของอนุภาคโลหะที่ใช้ (particle composition) ขนาดของอนุภาค (particle diameter) ปริมาณดีเอ็นเอต่อปริมาณอนุภาคที่ใช้ (DNA load per unit mass of particle) อัตราเร็วในการยิงยีน (velocity) และสภาวะสูญญากาศ (vacuum) ที่ใช้ เป็นต้น (Birch and Bower, 1994) การพัฒนาปัจจัยที่มีผลต่อประสิทธิภาพการส่งถ่ายยีนให้เหมาะสมกับชนิดและเนื้อเยื่อของพืชเป้าหมายจะส่งผลกระทบต่อความสำเร็จของการถ่ายยีนโดยใช้เครื่องยิงอนุภาคให้สูงขึ้น

2.4.1.2 การส่งถ่ายยีนโดยใช้พาหะ เป็นวิธีการส่งถ่ายยีนที่ต้องการ โดยส่งถ่ายเข้าไปในพาหะ เช่น แบคทีเรีย หรือ ไวรัส แล้วอาศัยกลไกของพาหะนำพา ยีนที่ต้องการเข้าสู่เนื้อเยื่อพืชเป้าหมาย เช่น การส่งถ่ายยีนโดยใช้แบคทีเรีย *Agrobacterium* (agrobacterium mediated gene transfer)

2.4.2 ยีนเครื่องหมายและยีนรายงานผลที่ใช้ในพืช

2.4.2.1 ยีนเครื่องหมายในการคัดเลือก (selectable marker genes) เป็นยีนที่สร้างความต้านทานต่อสารปฏิชีวนะหรือสารกำจัดวัชพืชแก่เนื้อเยื่อเป้าหมายที่ทำการถ่ายยีน เพื่อใช้ในการคัดเลือกเนื้อเยื่อที่ได้รับยีนออกจากกลุ่มของเนื้อเยื่อที่ไม่ได้รับยีน เช่น ยีน *HPTII* (hygromycin phosphotransferase) ที่ต้านทานต่อยาปฏิชีวนะไฮโกรมัยซิน และยีน *NPTII* (neomycin phosphotransferase) ที่ต้านทานต่อยาปฏิชีวนะกานามัยซิน (สุรินทร์ ปิยะ โชนาคกุล, 2548)

2.4.2.2 ยีนรายงานผล (reporter genes) เป็นยีนที่ใช้ในการศึกษาถึงประสิทธิภาพของเทคนิคในการถ่ายยีน และการตรวจสอบการแสดงออกของยีนโดยไม่เกี่ยวข้องกับการแสดงลักษณะความต้านทาน สามารถตรวจสอบการแสดงออกได้โดยตรงบนเนื้อเยื่อเป้าหมาย ยีนรายงาน

ผลที่นิยมใช้ในการถ่ายยีนเข้าสู่พืช ได้แก่ *GUS* gene (β -glucuronidase gene) จากแบคทีเรีย *E. coli* (ปรีชา ประเทพา, 2543)

2.4.3 การตรวจสอบพืชแปลงพันธุ (transgenic plant)

2.4.3.1 การตรวจสอบการมีอยู่ของยีนโดยใช้ polymerase chain reaction (PCR) โดยนำชิ้นส่วนพืชที่ได้รับการถ่ายยีนมาทำการสกัดดีเอ็นเอ จากนั้นหาชิ้นที่ต้องการทราบ โดยใช้เทคนิค PCR และวิเคราะห์ขนาดชนิดของยีน

2.4.3.2 การตรวจสอบการแสดงออกของยีน *GUS* โดยนำชิ้นส่วนพืชที่ได้รับการถ่ายยีน *GUS* มาแช่ในสารละลาย X-gluc (5-bromo-4-chloro-3-indolyl- β -D-Glucuronide) จากนั้นนำมาตรวจสอบการแสดงออกของ *GUS* โดยสังเกตจากการเกิดสีน้ำเงินบนชิ้นส่วน

2.5 งานวิจัยที่เกี่ยวข้อง

2.5.1 งานวิจัยที่เกี่ยวข้องกับการเพาะเลี้ยงเนื้อเยื่อพืช

สุเมธ อินทมาตย์ (2536) ศึกษาการเพาะเลี้ยงเนื้อเยื่อของบัวหลวงพันธุ์บุญทริกโดยชักนำชิ้นส่วนให้เกิดตาจากเนื้อเยื่อส่วนตาไหลของบัวหลวง แล้วนำไปเลี้ยงในอาหารเหลวบนอาหารแข็ง พบว่าอาหารสูตร ½ MS (1962) ที่เติม NAA ความเข้มข้น 40 ไมโครโมลาร์ ร่วมกับ BA ความเข้มข้น 10 ไมโครโมลาร์ สามารถชักนำให้เกิดตาได้มากที่สุด เมื่อเลี้ยงเป็นเวลานาน 8 สัปดาห์

พรทิพย์ จิรจิตยงกูร (2537) ศึกษาการเพิ่มปริมาณบัวหลวงพันธุ์บุญทริก โดยนำชิ้นส่วนตาไหลไปเลี้ยงในอาหารเหลวบนอาหารแข็ง สูตร ½ MS (1962) พบว่าชิ้นส่วนที่เลี้ยงในอาหารที่เติม NAA ความเข้มข้น 1 ไมโครโมลาร์ สามารถชักนำชิ้นส่วนให้เกิดรากได้ดี ส่วนอาหารที่เติม BA ความเข้มข้น 7.5 ไมโครโมลาร์ สามารถชักนำชิ้นส่วนให้เกิดตาได้มากที่สุด เมื่อทำการเพาะเลี้ยงเป็นเวลานาน 16 สัปดาห์

ศิริศักดิ์ สุนทรยาตร (2537) ศึกษาการเพิ่มปริมาณบัวหลวงพันธุ์สัตตบุชย์ โดยนำชิ้นส่วนตาไหลไปเพาะเลี้ยงในอาหารเหลวบนอาหารแข็ง สูตร ½ MS (1962) ที่เติม IAA ความเข้มข้น 3 ไมโครโมลาร์ และ 2iP ความเข้มข้น 15 ไมโครโมลาร์ พบว่าสามารถชักนำให้ชิ้นส่วนเกิดตาเฉลี่ย 0.78 ตา ตามีขนาด 1.0-1.5 เซนติเมตร จำนวนใบเฉลี่ย 0.82 ใบ ความกว้างของใบเฉลี่ย 0.93 เซนติเมตร ความยาวรากเฉลี่ย 0.85 เซนติเมตร หลังจากเพาะเลี้ยงเป็นเวลา 24 สัปดาห์

ธนพรรณ พร้อมมูล (2538) ศึกษาผลของ IAA และ 2iP ต่อการเพิ่มปริมาณบัวหลวงพันธุ์บุญทริกในสภาพปลอดเชื้อ โดยนำชิ้นส่วนตาไหลไปเลี้ยงในอาหารเหลวบนอาหารแข็ง สูตร ½ MS (1962) ที่เติม IAA ความเข้มข้น 3 ไมโครโมลาร์ และ 2iP ความเข้มข้น 10 ไมโครโมลาร์ พบว่าเป็นวิธีการที่ดีที่สุด โดยสามารถชักนำให้เกิดตาเฉลี่ย 9.56 ตา จำนวนใบเฉลี่ย 10.93 ใบ ขนาดใบเฉลี่ย 4.30 เซนติเมตร ความยาวก้านใบเฉลี่ย 25.74 เซนติเมตร จำนวนรากเฉลี่ย 31.56 ราก และ ความยาวรากเฉลี่ย 3.01 เซนติเมตร

ณราวดี ปิยโชติสกุลชัย (2539) ศึกษาผลของสารควบคุมการเจริญเติบโตการเพาะเลี้ยงเนื้อเยื่อบัวหลวงในสภาพหลอดทดลอง โดยนำเมล็ดบัวอายุ 7 วันหลังดอกบาน มาเพาะเลี้ยงบนอาหารแข็งสูตร MS (1962) ทำการศึกษาผลของออกซิน 3 ชนิด ได้แก่ NAA 2,4-D และ dicamba ที่มีผลต่อการชักนำให้เกิดแคลลัส ที่ความเข้มข้น 0, 1, 3, 5 และ 10 มิลลิกรัมต่อลิตร เป็นเวลา 8 สัปดาห์ พบว่า NAA สามารถชักนำแคลลัสได้ดีกว่า dicamba แต่ปริมาณแคลลัสที่ได้ยังน้อยมาก ส่วน 2,4-D ไม่สามารถชักนำให้เกิดแคลลัสได้ เมื่อใช้ออกซินแต่ละชนิดร่วมกับ TDZ ความเข้มข้น 0.01 มิลลิกรัมต่อลิตร พบว่าการใช้ออกซินร่วมกับ TDZ ชักนำแคลลัสได้ดีกว่าการใช้ออกซินเพียงอย่างเดียว โดยที่ NAA ความเข้มข้น 3 มิลลิกรัมต่อลิตร ร่วมกับ TDZ ความเข้มข้น 0.01 มิลลิกรัมต่อลิตร ในสภาพที่มีแสง สามารถชักนำแคลลัสได้ถึง 100 เปอร์เซ็นต์ และมีปริมาณแคลลัสสูงสุด ลักษณะแคลลัสเกาะกันหลวมๆ ใส นุ่มๆ และมีสีน้ำตาลปนเขียว

กุลวรา จารุพันธุ์ และจันทิมา วรสัมบูรณ์ (2543) ศึกษาผลของสารควบคุมการเจริญเติบโตการเพิ่มปริมาณบัวหลวงพันธุ์สัตตบงกช โดยนำชิ้นส่วนตาไหลไปเลี้ยงในอาหารแข็ง สูตร MS (1962) โดยทำการทดสอบผลร่วมของ IAA และ 2iP และผลร่วมของ NAA และ TDZ พบว่า การใช้ NAA ความเข้มข้น 15 ไมโครโมลาร์ ร่วมกับ TDZ ความเข้มข้น 0.005 ไมโครโมลาร์ ให้ผลดีที่สุด โดยมีคะแนนเฉลี่ยการเจริญเติบโต 4.85 คะแนน มีคะแนนเฉลี่ยการพัฒนาการเกิดยอด 3.25 คะแนน และมีเปอร์เซ็นต์การเกิดยอด 80 เปอร์เซ็นต์ และการใช้ NAA ความเข้มข้น 5 ไมโครโมลาร์ ร่วมกับ TDZ ความเข้มข้น 0.005 ไมโครโมลาร์ ทำให้ตาไหลมีการเกิดแคลลัส โดยมีเปอร์เซ็นต์การเกิดแคลลัส 80 เปอร์เซ็นต์

จิตเกษม เทียงจิตต์ (2545) ศึกษาผลของชิ้นส่วนเริ่มต้นและสารควบคุมการเจริญเติบโตการชักนำแคลลัสของบัวหลวงพันธุ์บุณฑริก พบว่าชิ้นส่วนยอดจากคัพภะมีคะแนนการเจริญเติบโตของแคลลัสสูงที่สุดเมื่อเพาะเลี้ยงในอาหารสูตร MS (1962) ที่เติม NAA ความเข้มข้น 50 ไมโครโมลาร์ ร่วมกับ TDZ ความเข้มข้น 0.25 ไมโครโมลาร์ ส่วนการใช้คัพภะอ่อนเป็นชิ้นส่วนเริ่มต้น มีคะแนนการเจริญเติบโตสูงที่สุดเมื่อเพาะเลี้ยงในอาหารสูตร MS (1962) ที่เติม NAA ความเข้มข้น 50 ไมโครโมลาร์ ร่วมกับ TDZ ความเข้มข้น 0.15 ไมโครโมลาร์

มนทิรา ไชยตะยงกูร (2545) ทำการทดลองชักนำให้เกิดแคลลัส และ โชมาทิกอเมบรีโอจีนิซิสในบัวหลวงพันธุ์สัตตบงกช พบว่าการเพาะเลี้ยงส่วนเหนือใบเลี้ยง ในอาหารสูตร MS (1962) ที่เติม 2,4-D 10 ไมโครโมลาร์ ร่วมกับ BA ความเข้มข้น 0.5 ไมโครโมลาร์ สามารถชักนำให้เกิดแคลลัส โดยแคลลัสจะมีการเจริญเติบโตอย่างรวดเร็ว ลักษณะเกาะกันอย่างหลวมๆ นุ่มๆ สีขาวใส และมีขนาดใหญ่ แต่ชิ้นส่วนตาไหลที่เลี้ยงบนอาหารสูตร MS (1962) ที่เติม 2,4-D ความเข้มข้น 4 ไมโครโมลาร์ ร่วมกับ BA ความเข้มข้น 1 ไมโครโมลาร์ จะให้แคลลัสที่สามารถพัฒนาเป็นโชมาทิกอเมบรีโอโตต่อไปได้

ภักวดี ภักดีงาม (2545) ศึกษาผลของแสงร่วมกับ α -naphthalene acetic acid และ benzyladenine ต่อการเกิดโซมาติกเอ็มบริโอจินิกซิสในบัวหลวงพันธุ์บุญฤทธิ์ พบว่าการเพาะเลี้ยง แคลลัสของบัวหลวงพันธุ์บุญฤทธิ์ในอาหารสูตร MS (1962) ที่เติม NAA ความเข้มข้น 2.5 ไมโครโมลาร์ ร่วมกับ BA ความเข้มข้น 2.0 ไมโครโมลาร์ และเก็บไว้ในที่มีแสงสว่าง มีค่าเฉลี่ยคะแนนการเจริญเติบโตของแคลลัสดีที่สุด

ภักวดี ภักดีงาม (2548) ศึกษาผลของสารควบคุมการเจริญเติบโตต่อการเกิดโซมาติกเอ็มบริโอจินิกซิสโดยนำชิ้นส่วนก้านใบจากคัพพะ ตายอดจากคัพพะและตาจากไหลของบัวหลวงพันธุ์บุญฤทธิมาชักนำการเกิดโซมาติกเอ็มบริโอจินิกซิส พบว่าชิ้นส่วนก้านใบจากคัพพะที่เลี้ยงบนอาหารแข็งสูตร MS (1962) ที่เติม NAA ความเข้มข้น 40 ไมโครโมลาร์ ร่วมกับ TDZ ความเข้มข้น 0.5 ไมโครโมลาร์ สามารถชักนำให้เกิดโซมาติกเอ็มบริโอได้ดีที่สุด

วิลาสินี ลิทวิทรัพย์ (2550) ศึกษาผลของชิ้นส่วนเริ่มต้นและปัจจัยแสงที่มีผลต่อการเกิดแคลลัสของบัวหลวงพันธุ์บุญฤทธิ์ และการทดสอบความเข้มข้นของสารปฏิชีวนะ kanamycin ที่เหมาะสมสำหรับการใช้เป็นส่วนคัดเลือกในการถ่ายยีน โดยใช้ชิ้นส่วนตายอดและก้านใบจากคัพพะมาเลี้ยงบนอาหารสูตร MS (1962) ที่เติม NAA ความเข้มข้น 40 ไมโครโมลาร์ ร่วมกับ TDZ ความเข้มข้น 0.5 ไมโครโมลาร์ ภายใต้แสงสีขาว พบว่าชิ้นส่วนตายอดและชิ้นส่วนก้านใบ สามารถชักนำให้เกิดแคลลัสได้ใกล้เคียงกัน โดยชิ้นส่วนตายอดจากคัพพะมีคะแนนการเจริญเติบโตแคลลัสสูงที่สุด 3.80 คะแนน ส่วนการทดสอบความเข้มข้นของสารปฏิชีวนะ kanamycin ที่เหมาะสมสำหรับการใช้เป็นส่วนคัดเลือกในการถ่ายยีนเข้าสู่บัวหลวง โดยนำชิ้นส่วนตายอดจากเอ็มบริโอและเอ็มบริโอ มาเพาะเลี้ยงบนอาหารสูตร MS (1962) ที่เติมสารปฏิชีวนะ kanamycin เข้มข้น 0, 50, 100, 200 และ 300 มิลลิกรัมต่อลิตร เป็นเวลา 8 สัปดาห์ โดยเปลี่ยนอาหารทุกสองสัปดาห์ พบว่าชิ้นส่วนตายอดจากเอ็มบริโอที่เพาะเลี้ยงบนอาหารสูตร MS (1962) ที่เติมสารปฏิชีวนะ kanamycin 50 มิลลิกรัมต่อลิตรเป็นความเข้มข้นที่ต่ำที่สุดที่ทำให้ชิ้นส่วนตายอดจากเอ็มบริโอมีสีน้ำตาลทั้งหมด ชิ้นส่วนเอ็มบริโอทั้งชิ้นนั้น ยังสามารถอยู่รอดได้ในทุกความเข้มข้นของสารปฏิชีวนะที่ทดสอบ

ดวงภา นิตกรวารกุล (2552) ศึกษาผลของสูตรอาหารพื้นฐานและสารควบคุมการเจริญเติบโตที่มีผลต่อการเพิ่มปริมาณของเชื้อเหี่ยวพร้าว *Phaius tancarvilleae* (Bank ex I' Heritier) Blume ในสภาพปลอดเชื้อ พบว่า อาหารสูตร Vacin and Went (1949) ที่เติมสาร triacontanol ความเข้มข้น 0.004 มิลลิกรัมต่อลิตร ร่วมกับ BA ความเข้มข้น 0.1 มิลลิกรัมต่อลิตร เป็นอาหารสูตรที่เหมาะสมในการชักนำให้เกิด protocorm like bodies (PLB) และชักนำให้เกิดยอด

Al-Juboory and Williams (1990) ศึกษาการเพาะเลี้ยงเนื้อเยื่อของ Algerian Ivy (*Hedera canariensis* L.) พบว่าที่ระดับความเข้มข้นของ NAA ความเข้มข้น 40 ไมโครโมลาร์ ร่วมกับ TDZ ความเข้มข้น 0.1 ไมโครโมลาร์ สามารถชักนำให้เกิดแคลลัสได้ดีที่สุด

Visser *et al.* (1992) ศึกษาการชักนำโชมาทิกเอมบริโอจีนิซีสจากส่วนของต้นใต้ใบเลี้ยง (hypocotyl) ของเจอร์มานีม (geranium) โดยการเพาะเลี้ยงบนอาหารสูตร MS (1962) ที่มี TDZ พบว่า TDZ ที่ระดับความเข้มข้น 0.2 ไมโครโมลาร์ สามารถชักนำให้เกิดโชมาทิกเอมบริโอได้ดีที่สุด

Compton and Gray (1993) ศึกษาการเกิดโชมาทิกเอมบริโอจีนิซีสจากใบเลี้ยงอ่อนของแตงโม (watermelon) พบว่าโชมาทิกเอมบริโอเกิดสูงสุดในอาหารสูตร MS (1962) ที่มี TDZ ความเข้มข้น 0.5 ไมโครโมลาร์ ภายใต้สภาวะที่มีแสงสว่าง

Gill and Saxena (1993) ศึกษาการชักนำโชมาทิกเอมบริโอจีนิซีสจากใบยาสูบ พบว่าการใช้ TDZ ความเข้มข้นระหว่าง 0.25-15 ไมโครโมลาร์ สามารถชักนำให้เกิดโชมาทิกเอมบริโอโดยตรงจากชิ้นส่วนใบมากกว่าการใช้ NAA ร่วมกับ BA

Tantos *et al.* (1999) ศึกษาผลของ triacontanol ใน *Melissa officinalis* โดยใช้ triacontanol ความเข้มข้น 2, 5, 10 และ 20 ไมโครกรัมต่อลิตร พบว่า triacontanol ความเข้มข้น 5 ไมโครกรัมต่อลิตร สามารถชักนำให้เกิดการเพิ่มปริมาณยอดได้ดี และ triacontanol ความเข้มข้น 2 ไมโครกรัมต่อลิตร สามารถชักนำให้เกิดรากได้ดี

Neuman (1993) ศึกษาการเกิดแคลลัสและโชมาทิกเอมบริโอจีนิซีสจากชิ้นส่วนใบเลี้ยงของต้น Eastern black walnut พบว่าการเพาะเลี้ยงชิ้นส่วนใบเลี้ยงบนอาหารเพาะเลี้ยงไม้เนื้อแข็งร่วมกับสารควบคุมการเจริญเติบโต TDZ ความเข้มข้น 0.5 และ 5.0 ไมโครโมลาร์ หรือ 2,4-D ความเข้มข้น 0.1 และ 1.0 ไมโครโมลาร์ สามารถชักนำให้เกิดโชมาทิกเอมบริโอได้ดีที่สุด

Murthy (1996) ศึกษาการชักนำโชมาทิกเอมบริโอจีนิซีสจากใบเลี้ยงของเจอร์มานีม พบว่าเมื่อเพาะเลี้ยงบนอาหารสูตร MS (1962) ที่มี TDZ ความเข้มข้น 0.5 ไมโครโมลาร์ สามารถชักนำให้เกิดโชมาทิกเอมบริโอได้ดีที่สุดและสามารถเจริญไปเป็นต้นที่สมบูรณ์ได้มากกว่า 70 เปอร์เซ็นต์

Murthy and Saxena (1998) ศึกษาการชักนำโชมาทิกเอมบริโอจีนิซีสจากเมล็ดของต้น neem โดยเพาะเลี้ยงบนอาหารสูตร MS (1962) ที่มี TDZ พบว่า TDZ ในระดับความเข้มข้น 1-50 ไมโครโมลาร์ มีผลต่อโชมาทิกเอมบริโอจีนิซีส โดยสามารถเกิดได้โดยตรงจากชิ้นส่วนเริ่มต้นที่เพาะเลี้ยงในระดับความเข้มข้นต่ำกว่า 20 ไมโครโมลาร์

Sunnichan (1998) ศึกษาการชักนำโชมาทิกเอมบริโอจีนิซีสของ gum karaya (*Sterculia ureus*) โดยชักนำให้เกิดแคลลัสจากส่วนต้นใต้ใบบนอาหารสูตร MS (1962) ที่มี 2,4-D ความเข้มข้น 4.52 ไมโครโมลาร์ ร่วมกับ BA ความเข้มข้น 8.90 ไมโครโมลาร์ ต่อมาเมื่อย้ายไปเพาะเลี้ยงบนอาหารสูตร MS (1962) ที่มี TDZ ความเข้มข้น 0.45 ไมโครโมลาร์ สามารถชักนำให้เกิดโชมาทิกเอมบริโอได้ดีที่สุด

Lin *et al.* (2000a) ศึกษาการชักนำให้เกิดต้นจาก friable embryogenic callus ของ *Alstroemeria* โดยใช้ชิ้นส่วนก้านใบมาเลี้ยงบนอาหารที่เติม 2,4-D ความเข้มข้น 4 มิลลิกรัมต่อลิตร

เอกสารนี้เป็นเอกสารที่สงวนลิขสิทธิ์การเขียนเพื่อการศึกษาเท่านั้น ไม่อนุญาตให้เผยแพร่โดยไม่ได้รับอนุญาต
ไม่ว่ากรณีใดๆ ทั้งสิ้น อีกทั้งห้ามมิให้ดัดแปลงเนื้อหา และต้องอ้างอิงถึงเจ้าของเอกสารทุกครั้งที่มีการนำไปใช้

ร่วมกับ BA ความเข้มข้น 0.5-1.0 มิลลิกรัมต่อลิตร จะเกิดเป็น soft callus แล้วเมื่อเปลี่ยนมาสู่อาหารที่เติม BA 0.5 มิลลิกรัมต่อลิตร เพียงอย่างเดียวจะเกิด compact callus จากนั้นนำไปเลี้ยงบนอาหารที่เติม picloram 10 มิลลิกรัมต่อลิตร จะเกิด friable embryogenic calli แล้วนำไปเลี้ยงบนอาหารที่เติม BA 0.1 มิลลิกรัมต่อลิตร จะเกิดเป็น proembryo

Dipali (2001) ศึกษาผลของสารควบคุมการเจริญเติบโต thidiazuron (TDZ) ที่ระดับความเข้มข้น 0.001, 0.01, 0.05, 0.1, 0.5 และ 1.0 มิลลิกรัมต่อลิตร ต่อการเกิดยอดในการเพาะเลี้ยงส่วนใต้ใบเลี้ยงของต้น cumin (*Cuminum cyminum*) พบว่าเกิดแคลลัสสีเขียวแบบ compact ในทุกระดับความเข้มข้นของ TDZ เมื่อทำการเพาะเลี้ยงได้ 10 วัน

Przetakiewicz *et al.* (2003) ศึกษาผลของออกซินต่อการชักนำให้เกิดต้นของ wheat, barley และ triticale โดยศึกษาอิทธิพลของออกซิน 3 ชนิดคือ 2,4-D, picloram และ dicamba ที่ใช้เดี่ยวๆหรือใช้ร่วมกันต่อการเกิดโซมาติกเอ็มบริโอจینیซิสและการ regeneration ของธัญพืช พบว่าประสิทธิภาพในการเกิดยอดของข้าวบาร์เลย์ พันธุ์ต่างๆได้จากการเลี้ยงบนอาหารที่มี dicamba หรือ dicamba ร่วมกับ 2,4-D ส่วนในข้าวสาลี พบว่า อาหารที่มี dicamba หรือ picloram ความเข้มข้นต่ำเพียงอย่างเดียวจะเกิดเอ็มบริโอจินิกแคลลัสที่ดีที่สุดและมีการ regeneration ในอาหารที่มี picloram ความเข้มข้นต่ำ ร่วมกับ 2,4-D หรือ picloram ร่วมกับ dicamba ส่วนใน triticale มีการ regeneration ในอาหารที่มี picloram เพียงอย่างเดียวหรือ picloram ร่วมกับ dicamba

Giridhar *et al.* (2004) ศึกษาอิทธิพลของ triacontanol ในการเกิดโซมาติกเอ็มบริโอจینیซิสของ *Coffea arabica* L. และ *C. canephora* P. โดยใช้ชิ้นส่วนใบและลำต้น นำมาเลี้ยงบนอาหาร ½ MS ที่ประกอบด้วย triacontanol ความเข้มข้น 11.38 หรือ 4.55 ไมโครโมลาร์ ร่วมกับ BA ความเข้มข้น 1.1 ไมโครโมลาร์ และ IAA ความเข้มข้น 2.28 ไมโครโมลาร์ พบว่าสามารถเกิด direct embryogenesis ได้ จำนวน 260 ± 31.8 และ 59.2 ± 12.8 ชิ้นส่วนตามลำดับ และชิ้นส่วนเอ็มบริโอสามารถเกิดยอดได้เมื่อนำไปเลี้ยงบนอาหาร ½ MS (1962) ที่ประกอบด้วย IAA ความเข้มข้น 0.57 ไมโครโมลาร์ และ BA ความเข้มข้น 0.9 ไมโครโมลาร์

Kaur and Kothari (2004) ศึกษาการเกิดแคลลัสและการชักนำให้เกิดต้นของ kodo millet จากอิทธิพลของ 2,4-D หรือ picloram ร่วมกับ kinetin ซึ่งการเกิดเอ็มบริโอจินิกแคลลัสและโซมาติกเอ็มบริโอจینیซิส สามารถเกิดได้ทั้งจาก 2,4-D หรือ picloram เพียงอย่างเดียวหรือร่วมกับ kinetin จากชิ้นส่วนก้านช่อดอก โดยนำมาเลี้ยงบนอาหารที่เติม picloram ความเข้มข้นต่ำ 0.5 มิลลิกรัมต่อลิตรร่วมกับ kinetin 0.5 มิลลิกรัมต่อลิตร จะเกิดเป็น organogenic callus ที่มีตายอด ส่วน direct somatic embryo เกิดบนอาหารที่เติม picloram ความเข้มข้นสูง 3 มิลลิกรัมต่อลิตร ร่วมกับ kinetin 0.5, 1 มิลลิกรัมต่อลิตร จากนั้นย้ายแคลลัสมาเลี้ยงบนอาหารที่เติม NAA 0.5 มิลลิกรัมต่อลิตร ร่วมกับ BA 1 มิลลิกรัมต่อลิตรจะพัฒนาเป็นต้นต่อไป

Ravindra *et al.* (2005) ศึกษาการเพิ่มปริมาณ *Dendrobium nobile* จากการเพาะเลี้ยงชิ้นส่วนปลายยอด โดยเลือกใช้สารควบคุมการเจริญเติบโต triacontanol พบว่ามีการเพิ่มปริมาณ PLB จากการเลี้ยงชิ้นส่วนในอาหาร Mitra *et al.* (1976) ที่มี triacontanol 4 ไมโครกรัมต่อลิตร ซึ่งมีเปอร์เซ็นต์การเกิด PLB สูงที่สุด 93 เปอร์เซ็นต์ ส่วนอาหาร Mitra *et al.* (1976) ที่มี triacontanol 2 ไมโครกรัมต่อลิตร มีการเกิดยอดและรากได้ดีที่สุด

Stefanello *et al.* (2005) ศึกษาการเกิดโซมาติกเอมบริโอจินิกซิสจากเนื้อเยื่อดอกของ *Feijoa sellowiana* Berg. โดยเพาะเลี้ยงส่วนของกลีบดอก เกสรตัวผู้ และรังไข่ บนอาหาร LPm (Arnold and Eriksson, 1981) พบว่าเกิดเอมบริโอจินิกแคลลัสสูงที่สุดบนอาหารที่เติม picloram ความเข้มข้น 10 ไมโครโมลาร์ ร่วมกับ Kinetin ความเข้มข้น 1 ไมโครโมลาร์ จากนั้นนำแคลลัสมาเลี้ยงในอาหารเหลวที่เติม 2,4-D ความเข้มข้น 1 ไมโครโมลาร์ ร่วมกับ 2-iP ความเข้มข้น 1 ไมโครโมลาร์ เป็นเวลา 60 วัน แล้วย้ายไปเลี้ยงในอาหารที่ไม่มีสารควบคุมการเจริญเติบโตเป็นเวลา 30 วันจะเกิด globular somatic embryo

Jheng *et al.* (2006) ศึกษาการเจริญเติบโตและการเกิดยอดของเอมบริโอจินิกแคลลัสของกล้วยไม้ *Oncidium (Gower ramsey)* โดยการเติมแหล่งคาร์โบไฮเดรต จากการนำชิ้นส่วนเนื้อเยื่อเจริญปลายยอดของกล้วยไม้มาเพาะเลี้ยงบนอาหารที่มี 2,4-D 1 มิลลิกรัมต่อลิตร ร่วมกับ TDZ 0.1 มิลลิกรัมต่อลิตร จนเกิดเป็นเอมบริโอจินิกแคลลัสแล้วย้ายไปสู่อาหารที่มีแหล่งคาร์โบไฮเดรตต่างๆ เพื่อการชักนำให้เกิดต้น ได้แก่ sucrose, maltose และ trehalose พบว่าอาหารสูตร ½ MS (1962) ที่เติม maltose หรือ trehalose มีความแตกต่างอย่างมีนัยสำคัญมากกว่า sucrose เกิดการพัฒนาเป็น protocorm-like body และพัฒนาเป็นต้นได้บนอาหารที่เติม trehalose 20 กรัมต่อลิตร

Karami *et al.* (2006) ศึกษาการเกิดโซมาติกเอมบริโอจินิกซิสของคาร์เนชันบนอาหารที่เติม Picloram โดยใช้วิธีการ 2 ขั้นตอน ขั้นตอนแรกสร้างเนื้อเยื่อเอมบริโอจินิกจากกลีบดอกบนอาหาร MS ที่ประกอบด้วย sucrose 9 เปอร์เซ็นต์ 2,4-D ความเข้มข้น 9 ไมโครโมลาร์ ร่วมกับ BA ความเข้มข้น 0.8 ไมโครโมลาร์ ส่วนในขั้นตอนที่สองย้ายเนื้อเยื่อเอมบริโอจินิกที่ได้ไปเลี้ยงบนอาหาร MS (1962) ที่ประกอบด้วย sucrose 3 เปอร์เซ็นต์ และ picloram จนพัฒนาเป็น cotyledony somatic embryos แล้วจึงย้ายไปบนอาหารสูตร ½ MS (1962) ที่ไม่มีสารควบคุมการเจริญเติบโตเพื่อพัฒนาเป็นต้นต่อไป

Kim *et al.* (2006) ศึกษาการชักนำการเกิดโซมาติกเอมบริโอจินิกซิสของ *Alstroemeria* โดยการเพาะเลี้ยงชิ้นส่วนข้อ บนอาหารสูตร MS (1962) ที่เติม TDZ 10 ไมโครโมลาร์ ร่วมกับ IAA 0.5 ไมโครโมลาร์ พบว่าสามารถชักนำให้เกิดเอมบริโอจินิกแคลลัส 40 เปอร์เซ็นต์ จากนั้นจึงย้ายมาเลี้ยงบนอาหารสูตร MS (1962) ที่เติม picloram 20.8 ไมโครโมลาร์ พบว่าสามารถชักนำให้เกิดยอดได้หลังจากเพาะเลี้ยงไป 12 สัปดาห์

Shou *et al.* (2008) ศึกษาผลของสารควบคุมการเจริญเติบโต ขนาดของชิ้นส่วนเริ่มต้น การเก็บเกี่ยว อุณหภูมิ (20, 25 และ 30 องศาเซลเซียส) และช่วงแสงต่อการเกิดยอดของบัวหลวง (*Nelumbo nucifera* Gaertn.) พบว่าชิ้นส่วนตาที่เลี้ยงบนอาหารสูตร MS (1962) ที่เติม BA ความเข้มข้น 4.44 ไมโครโมลาร์ ร่วมกับ NAA ความเข้มข้น 0.54 ไมโครโมลาร์ มีจำนวนยอดมากที่สุดที่อุณหภูมิ 25 องศาเซลเซียส

Kozak and Stelmazcauk (2009) ศึกษาผลของ BA ต่อการชักนำการเกิดยอดของ *Zantedeschia aethiopica* 'Green Goddess' ในสภาพปลอดเชื้อ จากการเพาะเลี้ยงชิ้นส่วนยอดบนอาหารสูตร MS (1962) ที่เติม BA ความเข้มข้น 0, 5, 10, 25 และ 50 ไมโครโมลาร์ พบว่าอาหารที่มี BA 25 และ 50 ไมโครโมลาร์ มีจำนวน axillary shoots สูงที่สุด ส่วนอาหารที่มี BA 10 ไมโครโมลาร์ ชักนำการเกิดรากได้ดีที่สุด

2.5.2 งานวิจัยที่เกี่ยวข้องกับยีนควบคุมสีดอก

Van der Krol *et al.* (1990) ศึกษา ยีนฟลาโวนอยด์ในพิทูเนีย โดยการเพิ่มจำนวนชุดของยีนที่สามารถยับยั้งการแสดงออกของยีนได้ พบว่าการเพิ่มการแสดงออกของยีนมีผลต่อการเกิดสีของดอก ยีน *DFR* และ *CHS* ได้ถูกถ่ายเข้าไปในพิทูเนีย พบว่า 25 เปอร์เซ็นต์ของต้นที่ได้รับการถ่ายยีนมีการลดการเกิดสีของดอก ซึ่งเกิดจากการลดลงของการแสดงออกของยีน *DFR* หรือ *CHS* ตามลำดับ การลดการแสดงออกของยีนเกิดจากโปรโมเตอร์ที่ขับเคลื่อนให้เกิดการถอดรหัสของยีนที่ถ่ายเข้าไปและมีผลต่อทั้ง endogenous gene และ homologous transgene ทำให้สูญเสียความเฉพาะเจาะจงของยีนในการแสดงออกของยีนนั้นๆ

Rosati *et al.* (2003) ศึกษาพันธุวิศวกรรมของสีดอกใน forsythia (*Forsythia x intermedia* cv 'Spring Glory') โดยการแสดงออกของยีน *DFR* และ *ANS* ในกระบวนการสังเคราะห์ฟลาโวนอยด์ การดัดแปลงสีดอกใน forsythia โดยชักนำการสังเคราะห์แอนโทไซยานินในกลีบดอกด้วยการถ่ายยีน *DFR* จาก *Antirrhinum majus* (*AmDFR*) ร่วมกับยีน *ANS* *Matthaiola incana* (*MiANS*) พบว่ากลีบดอกเกิดสีส้มทอง แต่การถ่ายยีน *AmDFR* หรือ *MiANS* เพียงอย่างเดียวจะไม่มีการเปลี่ยนแปลงสีดอก

Tsuda *et al.* (2004) ศึกษาการดัดแปลงสีดอกของ *Petunia hybrida* โดยเทคนิคทางพันธุวิศวกรรม ด้วยการยับยั้งยีน endogenous flavonoid biosynthetic และการแสดงออกของยีน heterologous flavonoid biosynthetic พบว่าสีดอกเปลี่ยนจากสีม่วงจนเกือบเป็นสีขาวหรือเปลี่ยนจากสีม่วงเป็นสีแดงโดยการยับยั้งการแสดงออกของยีน endogenous และเปลี่ยนจากสีแดงเป็นสีส้มโดยการลดการควบคุมของยีน flavonoid 3-hydroxylase (*F3'H*) และการแสดงออกของยีน *DFR* จากกุหลาบ และเปลี่ยนจากสีม่วงเป็นสีม่วงอ่อนโดยการแสดงออกของ flavonol synthase (*FLS*) หรือยีน *FNS*

เอกสารนี้เป็นเอกสารที่สงวนไว้สำหรับการใช้งานเพื่อการศึกษาเท่านั้น ไม่อนุญาตให้นำไปใช้ประโยชน์ด้านการค้า ไม่ว่าจะกรณีใดๆ ทั้งสิ้น อีกทั้งห้ามมิให้ดัดแปลงเนื้อหา และต้องอ้างอิงถึงเจ้าของเอกสารทุกครั้งที่มีการนำไปใช้

Kim *et al.* (2004) ศึกษาการไม่ทำงานของยีน *DFR* มีผลต่อการยับยั้งกระบวนการสังเคราะห์แอนโทไซยานินของหัวหอมสีเหลือง (*Allium cepa*) โดยนำ full-length cDNA ของยีนโครงสร้างทั้ง 5 ยีน ได้แก่ ยีน *CHS*, *F3H*, *DFR*, *ANS* และ *FLS* มาตรวจสอบโดยเทคนิค Reverse transcription polymerase chain reaction (RT-PCR) เพื่อดูระดับการแสดงออกของยีนที่แตกต่างกันระหว่างหัวหอมสีเหลืองและหัวหอมสีแดง โดยพบว่าจะมีการแสดงออกของยีน *DFR* ในหัวหอมสีแดงเท่านั้น แสดงว่าในหัวหอมสีเหลือง จะไม่มีการแสดงออกของยีน *DFR*

Lee *et al.* (2008) ศึกษาการโคลนยีนและการวิเคราะห์ชีวเคมีของยีน *DFR* จาก *Brassica rapa ssp. pekinensis* (Chinese cabbage) โดยใช้ระบบ heterologous โดยทำการสกัดยีน *DFR* จาก *Brassica rapa ssp. pekinensis* (Chinese cabbage) แล้วถ่ายเข้าไปในยาสูบ โดยใช้พลาสมิด pGEM-T พบว่ากระบวนการสังเคราะห์แอนโทไซยานินในยาสูบลดลงเนื่องจาก heterologous *DFR_{Bra}* gene จากการทำให้ Reverse transcription polymerase chain reaction (RT-PCR) แสดงให้เห็นว่าพืชที่ได้รับการถ่ายยีนมีสีดอกผิดปกติเมื่อเปรียบเทียบกับ control ซึ่งการตอบสนองขึ้นอยู่กับระดับการถอดรหัสของ *DFR_{Bra}*

Yong and Abdullah (2009) ศึกษาการถ่ายยีน sense และ antisense ของ *DFR* เข้าสู่ *Melastoma malabathricum* และ *Tibouchina semidecandra* โดยวิธีอะโกรแบคทีเรียม โดยใช้ชิ้นส่วนข้อและยอด โดยเตรียม plasmids pBETD10 และ pBETD11 ที่ประกอบด้วย sense และ antisense *DFR* ตามลำดับ และยีนคัดเลือก *NPTII* ที่ต้านทานต่อสารปฏิชีวนะกาแนมัยซิน และทำการตรวจสอบโดยเทคนิค polymerase chain reaction (PCR) และ nucleotide sequence alignment และยืนยันด้วย Southern analysis พบว่า จากการใส่ถ่ายยีนทั้ง sense และ antisense *DFR* มีการเปลี่ยนแปลงจากสีแดงเป็นเขียวเกิดขึ้นในระยะตาดอกและมีกลีบดอกเพียง 4 กลีบ จากปกติ 5 กลีบ

2.5.3 งานวิจัยที่เกี่ยวข้องกับการถ่ายยีนเข้าสู่พืชโดยวิธีการยิงอนุภาค

กิริยา สังข์ทองวิเศษ (2547) ศึกษากระบวนการถ่ายยีนที่เหมาะสมสำหรับถั่ว *Stylosanthes hamata* พันธุ์ Verano โดยการเพาะเลี้ยงเนื้อเยื่อถั่ว *S. hamata* พันธุ์ Verano โดยทำการชักนำให้เกิด compact callus เพื่อใช้เป็นเนื้อเยื่อสำหรับการถ่ายยีน จากการเพาะเลี้ยงเนื้อเยื่อส่วนใบ ใบเลี้ยงและ hypocotyls พบว่าเนื้อเยื่อส่วนใบที่เลี้ยงบนอาหารสูตร MS (1962) ที่เติม 2,4-D ความเข้มข้น 5 มิลลิกรัมต่อลิตร สามารถชักนำให้เกิด compact callus มากที่สุด จากการชักนำให้เกิดยอดพบว่าอาหารสูตร MS (1962) ที่เติม BA ความเข้มข้น 15 มิลลิกรัมต่อลิตร ชักนำให้เกิดยอดได้มากที่สุด และสามารถชักนำให้เกิดรากได้ 40 เปอร์เซ็นต์ บนอาหารสูตร MS (1962) ที่เติม IBA ความเข้มข้น 0.5 มิลลิกรัมต่อลิตรและได้ทำการทดลองถ่ายยีนเข้าสู่แคลลัส 2 วิธี คือ การใช้เครื่องยิงอนุภาคชนิด PDS-1000/He เพื่อถ่ายพลาสมิด pGN ที่มียีน *GUS* เป็นยีนรายงานผล และมียีน *NPTII* เป็นยีนคัดเลือก และวิธีการใช้เชื้อ *Agrobacterium tumefaciens* สายพันธุ์ EHA105 ที่มีพลาสมิด

เอกสารนี้เป็นเอกสารที่สงวนไว้สำหรับการใช้งานเพื่อการศึกษาเท่านั้น ไม่อนุญาตให้นำไปเผยแพร่บนสื่อออนไลน์
ไม่ว่ากรณีใดๆ ทั้งสิ้น อีกทั้งห้ามมิให้ดัดแปลงเนื้อหา และต้องอ้างอิงถึงเจ้าของเอกสารทุกครั้งที่มีการนำไปใช้

pCAMBIA1301 ที่มียีน *GUS* เป็นยีนรายงานผล และมียีน *HPT* เป็นยีนคัดเลือก เป็นพาหะ พบว่า การถ่ายยีนโดยใช้เครื่องยิงอนุภาคนั้น การใช้แรงดันก๊าซฮีเลียม 1,100 ปอนด์ต่อตารางนิ้ว ร่วมกับ ระยะห่างของเนื้อเยื่อเป้าหมาย 6 เซนติเมตรให้จำนวนจุดสีน้ำเงินมากที่สุด 6.4 จุดต่อแคลลัส และการถ่ายยีนโดยใช้เชื้อ *A. tumefaciens* ใช้สารแขวนลอยเชื้อเจือจาง 1:50 ร่วมกับการทำบาดแผลโดยใช้คลื่นเสียงเป็นเวลา 5 วินาที แล้ว co-cultivation เป็นเวลา 2 วัน ให้จำนวนจุดสีน้ำเงิน 4.0 จุดต่อ แคลลัส จากนั้นยืนยันการเข้าร่วมตัวของยีนที่ถ่ายเข้าไปกับจีโนมของถั่ว *S. hamata* โดยเทคนิค Southern PCR hybridization และ dot blot hybridization พบว่า มีการเข้าร่วมตัวของยีนรายงานผล และยีนคัดเลือกในจีโนมของถั่ว *S. hamata*

Yao *et al.* (1996) ศึกษาการถ่ายยีนเข้าสู่เอ็มบริโอจินิกเซลล์ของ tangelo โดยวิธีการยิงอนุภาค ซึ่งเอ็มบริโอจินิกเซลล์ได้มาจากการเพาะเลี้ยงเซลล์แขวนลอย และถูกนำมาใช้ในการถ่ายยีน ด้วยอนุภาคทั้งสเดนที่เคลือบด้วยพลาสติกดีเอ็นเอที่ประกอบด้วยยีน *uidA* ซึ่งถอดรหัสให้ β -glucuronidase (*GUS*) และยีน *NPTII* ที่ต้านทานต่อสารปฏิชีวนะกานามัยซิน และทำการปรับสภาพ osmotic ของเซลล์โดยการนำไปเลี้ยงบนอาหารสูตร MS ดัดแปลงที่ประกอบด้วย MS salt, MT vitamins (Murashige and Tucker. 1962) bacteriological agar 0.7 กรัมต่อลิตร malt extract 0.5 กรัมต่อลิตร น้ำตาล 50 กรัมต่อลิตร ที่เติม sorbitol และ mannitol ที่ระดับความเข้มข้น 0.2+0.2, 0.3+0.3 M พบว่าอาหารสูตร MS ดัดแปลงที่เติม sorbitol 0.3 M ร่วมกับ mannitol 0.3 M ช่วยเพิ่ม ประสิทธิภาพในการถ่ายยีนมากที่สุด และยืนยันการเข้าร่วมตัวของยีนที่ถ่ายเข้าไปกับจีโนมของสั่มพันธุ์ tangelo โดยเทคนิค PCR และ Southern analysis

Lin *et al.* (2000b) ศึกษาการถ่ายยีนของ *Alstroemeria* โดยวิธีการยิงอนุภาค จากชิ้นส่วน embryogenic callus โดยมีพลาสมิดที่ประกอบด้วยยีนคัดเลือกและยีนรายงานผลที่แตกต่างกัน 2 ชนิด ชนิดแรกพลาสมิดประกอบด้วย luciferase reporter gene ของหิ่งห้อยซึ่งทำงานโดย ubiquitin promoter (*Ubi 1*) ของข้าวโพด ถูกยิงเข้าไปในทั้ง Friable embryogenic callus และ proembryos ทำการคัดเลือกโดยใช้ luminometer และการวิเคราะห์ PCR และ Southern hybridization ชนิดที่สอง พลาสมิด ประกอบด้วยยีน *BAR* ร่วมกับยีน *uid A* ทั้งคู่ทำงานโดย *Ubi 1* promoter ถูกยิงเข้าไปใน proembryos และทำการคัดเลือกบนอาหารที่มี phosphinotricin (PPT) 5 mg/l และมี *GUS* ตรวจสอบโดย histochemical staining assay และการวิเคราะห์ PCR พบว่าการถ่ายยีนโดยใช้ พลาสมิดที่ประกอบด้วยยีน *BAR* ร่วมกับยีน *uid A* เข้าสู่ชิ้นส่วน proembryos และตรวจสอบโดยการต้านทานต่อ PPT มีประสิทธิภาพในการถ่ายยีนดีที่สุด

Kuai *et al.* (2001) ศึกษาการถ่ายยีนของข้าวโอ๊ต และการถ่ายทอดลักษณะการแสดงออก ของยีน *BAR* ในข้าวโอ๊ต (*Avena sativa* L.var.Melys) โดยวิธีการยิงอนุภาค เข้าสู่ชิ้นส่วน primary embryogenic calli จาก immature embryos โดยใช้ 2 พลาสมิดที่ประกอบด้วยยีน *BAR* และ β -glucuronidase (*uid A*) ทำการคัดเลือกด้วย phosphinotricin และยืนยันการเข้าร่วมตัวของยีนที่ถ่าย

เข้าไปเทคนิค PCR และ Southern and dot blot hybridization พบว่าการถ่ายยีนโดยใช้พลาสมิดที่มียีน *uid A* ไม่มีชิ้นส่วนรอดจากอาหารคัดเลือก ส่วนการถ่ายยีนโดยใช้พลาสมิดที่มียีน *BAR* มีประสิทธิภาพในการถ่ายยีนดีที่สุด

Visarada and Sarma. (2004) ศึกษาการถ่ายยีนของ *indica rice* โดยวิธีการยิงอนุภาค โดยใช้พลาสมิด pCambia1301 ที่มียีน *HPH* เป็นยีนคัดเลือกที่ต้านทานต่อสารปฏิชีวนะ hygromycin และยีน *GUS* เป็นยีนรายงานผล พบว่าเอ็มบริโอจินิกแคลลัสที่เกาะตัวกันอย่างหลวมๆ และมีขนาดเล็ก (ขนาด 3 มิลลิเมตร) มีการแสดงออกของยีน *GUS* ดีที่สุด จากการนำชิ้นส่วน mature seed มาเพาะเลี้ยงบนอาหารสูตร MS (1962) ที่เติม 2,4-D 3 มิลลิกรัมต่อลิตร ร่วมกับ BAP 0.2 มิลลิกรัมต่อลิตร เพื่อชักนำให้เกิดแคลลัส และทำการคัดเลือกด้วย hygromycin 50 มิลลิกรัมต่อลิตร ร่วมกับ glufosinate ammonium 8 มิลลิกรัมต่อลิตร

Benítez *et al.* (2007) ศึกษาการถ่ายยีนของ *Agave salmiana* โดยวิธี *Agrobacterium tumefaciens* เป็นพาหะ และวิธีการยิงอนุภาค โดยมียีน *uid A* เป็นยีนรายงานผล สำหรับทั้งสองวิธีการ ในขณะที่ยีน *NPTII* และยีน *BAR* ใช้เป็นยีนคัดเลือก ในการถ่ายยีนด้วย *A. tumefaciens* และการยิงอนุภาค ตามลำดับ โดยใช้ชิ้นส่วนใบและเอ็มบริโอจินิกแคลลัส และยืนยันการเข้าร่วมตัวของยีนที่ถ่ายเข้าไปด้วยเทคนิค PCR การถ่ายยีนผ่านทาง co-cultivation ของชิ้นส่วนเริ่มต้นด้วย *Agrobacterium* ที่อาศัยอยู่ใน *pBI 121* binary vector สามารถผลิตพืชที่ถ่ายยีนได้ 32 ต้น และมีประสิทธิภาพการถ่ายยีน 27 % ในทางตรงกันข้าม วิธีการยิงอนุภาคที่ผลิต transgenic calli นั้น ทดสอบ GUS assay ได้เป็นผลบวก ในขณะที่ไม่มีการ regeneration แต่ชิ้นส่วนยังคงเป็นสีเขียวบนอาหารคัดเลือกจึงไม่ได้นำมาตรวจสอบการเข้าร่วมตัวของยีนที่ถ่ายเข้าไปด้วยเทคนิค PCR

Um *et al.* (2007) ศึกษาการถ่ายยีนของข้าวบาร์เลย์โดยวิธีการยิงอนุภาคด้วย cDNA ของ *Arabidopsis NDPK2* จากการนำชิ้นส่วน mature embryos มาเพาะเลี้ยงบนอาหารสูตร MS (1962) ที่เติม 2,4-D 3 มิลลิกรัมต่อลิตร เพื่อชักนำให้เกิดเอ็มบริโอจินิกแคลลัส จากนั้นนำมาเลี้ยงด้วยความดัน 1,100 ปอนด์ต่อตารางนิ้ว ที่ระยะห่างจากเป้าหมาย 6 เซนติเมตร การรวมกันของ cDNA *Arabidopsis nucleoside diphosphate kinase 2 (AtNDPK2)* กับจีโนมของข้าวบาร์เลย์ถูกยืนยันโดยเทคนิค PCR และ Southern blot analysis

Gondo *et al.* (2009) ศึกษาการถ่ายยีนเข้าสู่ multiple-shoot clumps (MSCs) ของ rhodesgrass (*Chloris gayana*) โดยวิธีการยิงอนุภาค จากการนำชิ้นส่วนใบมาเพาะเลี้ยงบนอาหารสูตร MS (1962) ที่เติม 2,4-D 0.1 มิลลิกรัมต่อลิตร ร่วมกับ BAP 2 มิลลิกรัมต่อลิตร โดยใช้เวกเตอร์ pAHC25 ที่ประกอบด้วยยีน *BAR* ที่ต้านทานต่อยาปราบวัชพืช และยีน *GUS* พบว่าประสิทธิภาพในการคัดเลือกการต้านทานต่อยาปราบวัชพืช bialaphos จะดีที่สุดเมื่อนำ MSCs หลังจากการยิงอนุภาคมาเลี้ยงบนอาหารที่ไม่มีสาร bialaphos เป็นเวลา 15 วัน ก่อนที่จะนำมาเลี้ยง

เอกสารนี้เป็นเอกสารที่สงวนไว้สำหรับการใช้งานเพื่อการศึกษาเท่านั้น ไม่อนุญาตให้นำไปใช้ประโยชน์ด้านการค้า ไม่ว่าจะกรณีใดๆ ทั้งสิ้น อีกทั้งห้ามมิให้ดัดแปลงเนื้อหา และต้องอ้างอิงถึงเจ้าของเอกสารทุกครั้งที่มีการนำไปใช้

ในอาหารคัดเลือกที่มีสาร bialaphos และยืนยันการเข้าร่วมตัวของยีนที่ถ่ายเข้าไปด้วยเทคนิค DNA gel blot hybridization analysis



เอกสารนี้เป็นเอกสารที่สงวนไว้สำหรับการใช้งานเพื่อการศึกษาเท่านั้น ไม่อนุญาตให้นำไปใช้ประโยชน์ด้านการค้า ไม่ว่าจะกรณีใดๆ ทั้งสิ้น อีกทั้งห้ามมิให้ดัดแปลงเนื้อหา และต้องอ้างอิงถึงเจ้าของเอกสารทุกครั้งที่มีการนำไปใช้

บทที่ 3

วิธีดำเนินงานวิจัย

3.1 เครื่องมือและวิธีการ

3.1.1 เมล็ดบัวหลวงพันธุ์บุณชกริก

3.1.2 พลาสมิดทดลอง

pCAMBIA2301 anti-DFR (วิลาสินี ถีทวีทรัพย์. 2554) ขนาด 12,303 bp ที่มียีน *NPTII* เป็นยีนคัดเลือกที่ต้านทานต่อสารปฏิชีวนะ kanamycin ยีน *GUS* เป็นยีนรายงานผล และยีน anti-DFR truncated ขนาด 670 bp เป็นยีนที่สนใจ ที่ได้มาจาก pTZDFR ของดอกปทุมมา (โดยได้รับความอนุเคราะห์มาจาก รศ.ดร.สมบูรณ์ อนันตลาโภชัย คณะวิทยาศาสตร์ มหาวิทยาลัยเชียงใหม่)

3.1.3 สารเคมี

3.1.3.1 สารเคมีสำหรับเตรียมอาหารแข็ง และเหลวสำหรับเพาะเลี้ยงเนื้อเยื่อ สูตร MS (Murashige and Skoog. 1962) (ภาคผนวก ก ตารางที่ 1)

3.1.3.2 สารควบคุมการเจริญเติบโตชนิดต่างๆ ได้แก่ 2,4-D (2,4-dichlorophenoxy acetic acid), BA (benzyladenine), NAA (α -naphthalene acetic acid), TDZ [1-phenyl-3-(1,2,3-thiadiazol-5-yl)-urea], IAA (indole-3-acetic acid), kinetin (6-furfurylamino purine), picloram (4-amino-3,5,6-trichloropicolinic acid), dicamba (3,6-dichloro-2-methoxybenzoic acid), triacontanol (1-hydroxytriacontane), 2iP (*N*¹-isopentenylamino purine)

3.1.3.3 สารเคมีฟอกฆ่าเชื้อ ได้แก่ เอธานอล, Clorox (NaOCl 5.25 %) และ tween-20 (polyoxyethylene sorbitan)

3.1.3.4 สารเคมีที่ใช้สำหรับการถ่ายยีน

3.1.3.5 สารเคมีสำหรับเตรียมเลี้ยงเชื้อเป็นอาหารแข็ง และอาหารเหลวสูตร LB (Lulia-bertani agar)

- Tryptone
- yeast extract
- sodium chloride (NaCl)
- agar

3.1.3.6 สารปฏิชีวนะ

- kanamycin

3.1.3.7 สารเคมีที่ใช้สกัดดีเอ็นเอจากบัวหลวง

- liquid nitrogen

เอกสารนี้เป็นเอกสารที่สงวนไว้สำหรับการใช้งานเพื่อการศึกษาเท่านั้น ไม่อนุญาตให้นำไปใช้ประโยชน์ด้านการค้า ไม่ว่าจะกรณีใดๆ ทั้งสิ้น อีกทั้งห้ามมิให้ดัดแปลงเนื้อหา และต้องอ้างอิงถึงเจ้าของเอกสารทุกครั้งที่มีการนำไปใช้

- tris-hydroxymethyl-methylamine (Tris base)
- ethylenediaminetetra acetic acid di-sodium salt, dehydrate (EDTA)
- sodiumchloride (NaCl)
- sodium dodecyl sulfate (SDS)
- β – mercaptoethanol
- potassium acetate (CH_3COOK)
- isopropanol or absolute ethanol
- 70% ethanol
- steriled distilled water

3.1.3.8 สารเคมีสำหรับการทำพีซีอาร์

- 10x Taq buffer + $(\text{NH}_4)_2\text{SO}_4$
- 25mM MgCl_2
- dNTP (deoxy nucleotide triphosphate) mix
- primer

3.1.3.9 สารเคมีสำหรับเตรียมเจล

- agarose (SeaKem)
- 10X TBE buffer (Tris base, boric acid, disodium EDTA) หรือ 10X

TAE buffer (Tris base, glacial acetic acid, EDTA)

- gel loading buffer (6X gel loading, ethidium bromide)

3.1.3.10 สารเคมีสำหรับการตรวจสอบ *GUS*

- buffer (NaPO_4 , potassium ferricyanide, potassium ferrocyanide, Na_2EDTA ,

H_2O)

- X-gluc substrate
- Triton-X 100 (Tween 20)
- เอทานอล 70 เปอร์เซ็นต์

3.1.4 เครื่องแก้ว อุปกรณ์ และเครื่องมือต่างๆ

3.1.4.1 เครื่องมือต่างๆ ได้แก่ เครื่องชั่งไฟฟ้าแบบหยาบและแบบละเอียด เครื่องวัดความเป็นกรด-ด่าง ตู้ปลอดเชื้อ (Laminar flow) หม้อนึ่งฆ่าเชื้อโดยใช้ความดันไอน้ำ เตาแก๊ส ตู้ไมโครเวฟ ตู้บ่มเชื้อ (incubator) กล้องจุลทรรศน์แบบสเตอริโอพร้อมอุปกรณ์ถ่ายภาพ เครื่องเขย่า เครื่องยิงอนุภาคแบบ Biolistic[®] PDS-1000/He Particle Delivery System (BioRad)

3.1.4.2 อุปกรณ์ที่ใช้เตรียมอาหารในการเพาะเลี้ยงเนื้อเยื่อและย้ายชิ้นส่วนพืช ได้แก่ ปีกเกอร์ กระบอกลง ปิเปต จานเลี้ยงเชื้อ ขวดเลี้ยงเนื้อเยื่อ ขวดรูปชมพู่ ปากคิบ มีดผ่าตัด ตะเกียงแอลกอฮอล์

3.1.5 ห้องเพาะเลี้ยงเนื้อเยื่อที่สามารถควบคุมอุณหภูมิ 25 ± 0.5 องศาเซลเซียส แสงจากหลอด cool white ความเข้มแสง 2,500 lux ให้แสง 16 ชั่วโมงต่อวัน ชั้นสำหรับวางขวดเนื้อเยื่อ

3.2 สถานที่ดำเนินงาน

ห้องปฏิบัติการเพาะเลี้ยงเนื้อเยื่อพืชสวน สาขาวิชาเทคโนโลยีการผลิตพืช และ ห้องปฏิบัติการเทคโนโลยีชีวภาพเกษตร คณะเทคโนโลยีการเกษตร สถาบันเทคโนโลยีพระจอมเกล้าเจ้าคุณทหารลาดกระบัง

ห้องปฏิบัติการเพาะเลี้ยงเนื้อเยื่อพืช งานเทคโนโลยีชีวภาพ ฝ่ายเครื่องมือและวิจัยทางวิทยาศาสตร์ สถาบันวิจัยและพัฒนาแห่งมหาวิทยาลัยเกษตรศาสตร์

3.3 ระยะเวลาที่ทำการทดลอง

ทำการทดลองระหว่าง เมษายน 2551 – มีนาคม 2554

3.4 วิธีการดำเนินงาน

3.4.1 การเตรียมอาหาร

เตรียมอาหารแข็งสูตร MS (1962) ปริมาตร 1 ลิตร จาก Stock solution โดยเตรียม Macroelements ให้มีความเข้มข้นของ stock เป็น 10 เท่าของความเข้มข้นที่ต้องการ ส่วน Microelements จะเตรียม stock ให้มีความเข้มข้น 100 เท่าของความเข้มข้นที่ต้องการ สำหรับ final solution ในการเตรียมอาหาร 1 ลิตร stock ของ Macroelements ซึ่งมีความเข้มข้น 10 เท่าจะใช้ 100 มิลลิลิตร และ Microelements ซึ่งมีความเข้มข้น 100 เท่าจะใช้ 10 มิลลิลิตร เติมน้ำตาล 30 กรัม จากนั้นเติมสารควบคุมการเจริญเติบโตชนิดต่างๆ ตามความเข้มข้นที่ต้องการ ทำการปรับปริมาตรเป็น 1,000 มิลลิลิตร นำมาปรับ pH 5.5-5.7 ด้วย NaOH หรือ HCl 1 นอร์มอล ถ้าเป็นอาหารแข็งเติมวุ้น 8 กรัม จากนั้นนำไปนึ่งฆ่าเชื้อที่อุณหภูมิ 121°C ความดัน 15 ปอนด์ต่อตารางนิ้ว เป็นเวลา 20 นาที

3.4.2 การฟอกฆ่าเชื้อเมล็ดบัวหลวงพันธุ์มัทริก

นำเมล็ดบัวหลวงมาผ่านน้ำไหลนาน 1 ชั่วโมง แล้วจึงนำมาฟอกฆ่าเชื้อผิวด้วยเอทานอล 70 เปอร์เซ็นต์ นาน 1 นาที แล้วตามด้วย Clorox 50 เปอร์เซ็นต์ ร่วมกับ tween- 20 จำนวน 2 หยด นาน 20 นาที จากนั้นล้างด้วยน้ำกลั่นที่นึ่งฆ่าเชื้อแล้ว 3 ครั้ง นานครั้งละ 5 นาที

เอกสารนี้เป็นเอกสารที่สงวนไว้สำหรับการใช้งานเพื่อการศึกษาเท่านั้น ไม่อนุญาตให้นำไปใช้ประโยชน์ด้านการค้า ไม่ว่าจะกรณีใดๆ ทั้งสิ้น อีกทั้งห้ามมิให้ดัดแปลงเนื้อหา และต้องอ้างอิงถึงเจ้าของเอกสารทุกครั้งที่มีการนำไปใช้

3.4.3 วิธีการทดลอง

การทดลองที่ 1 ศึกษาชิ้นส่วนเริ่มต้นและสูตรอาหารที่เหมาะสมต่อการเกิดแคลลัสของบัวหลวงพันธุ์บุญทรึก โดยแบ่งออกเป็น 2 การทดลองดังนี้

การทดลองที่ 1.1 ศึกษาสูตรอาหารที่เหมาะสมต่อการเกิดแคลลัสของชิ้นส่วนก้านใบจากคัพพะของบัวหลวงพันธุ์บุญทรึก

นำชิ้นส่วนก้านใบจากคัพพะของบัวหลวงพันธุ์บุญทรึกโดยมีวิธีการตัดชิ้นส่วนก้านใบดังภาพที่ 3.1 มาชักนำการเกิดแคลลัสบนอาหารแข็งสูตร MS (1962) ที่เติมสารควบคุมการเจริญเติบโตต่างๆ และเพาะเลี้ยงภายใต้แสง cool white fluorescence เป็นเวลา 16 ชั่วโมงต่อวันนาน 12 สัปดาห์ วางแผนการทดลองแบบ RCBD มี 10 treatments 6 ซ้ำ ซ้ำละ 5 ชิ้นส่วนต่อ treatment อาหารแข็งสูตร MS (1962) ที่เติมสารควบคุมการเจริญเติบโตต่างๆ มีดังนี้

วิธีการที่ 1 ไม่เติมสารควบคุมการเจริญเติบโต (control)

วิธีการที่ 2 NAA 40 ไมโครโมลาร์ ร่วมกับ TDZ 0.5 ไมโครโมลาร์ (ภักวดี ภักดีงาม. 2548)

วิธีการที่ 3 2,4-D 4.52 ไมโครโมลาร์ ร่วมกับ TDZ 0.45 ไมโครโมลาร์ (Jheng *et al.* 2006)

วิธีการที่ 4 2,4-D 10 ไมโครโมลาร์ ร่วมกับ BA 0.5 ไมโครโมลาร์ (มนทิรา ไชยตะยากร. 2545)

วิธีการที่ 5 2,4-D 9 ไมโครโมลาร์ ร่วมกับ BA 0.8 ไมโครโมลาร์ (Karami *et al.* 2006)

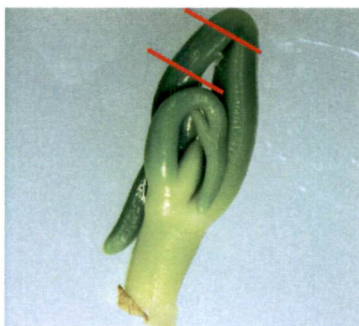
วิธีการที่ 6 2,4-D 18.1 ไมโครโมลาร์ ร่วมกับ BA 2.22 ไมโครโมลาร์ (Lin *et al.* 2000)

วิธีการที่ 7 picloram 10 ไมโครโมลาร์ ร่วมกับ kinetin 1 ไมโครโมลาร์ (Stefanello *et al.* 2005)

วิธีการที่ 8 picloram 4.14 ไมโครโมลาร์ ร่วมกับ kinetin 4.64 ไมโครโมลาร์ (Kaur and Kothari 2004)

วิธีการที่ 9 dicamba 11.27 ไมโครโมลาร์ ร่วมกับ picloram 4.14 ไมโครโมลาร์ (Przetakiewicz *et al.* 2003)

วิธีการที่ 10 triacantanol 11.38 ไมโครโมลาร์ ร่วมกับ BA 1.1 ไมโครโมลาร์ ร่วมกับ IAA 2.85 ไมโครโมลาร์ (Giridhar *et al.* 2004)



ภาพที่ 3.1 การตัดชิ้นส่วนเริ่มต้นก้านใบจากคัพพะของบัวหลวงพันธุ์บุญทรึก (4.40X)

เอกสารนี้เป็นเอกสารที่สงวนไว้สำหรับการใช้งานเพื่อการศึกษาเท่านั้น ไม่อนุญาตให้นำไปใช้ประโยชน์ด้านการค้าไม่ว่ากรณีใดๆ ทั้งสิ้น อีกทั้งห้ามมิให้ดัดแปลงเนื้อหา และต้องอ้างอิงถึงเจ้าของเอกสารทุกครั้งที่มีการนำไปใช้

1. การบันทึกข้อมูล

1.1 เปอร์เซ็นต์การเกิดแคลลัส

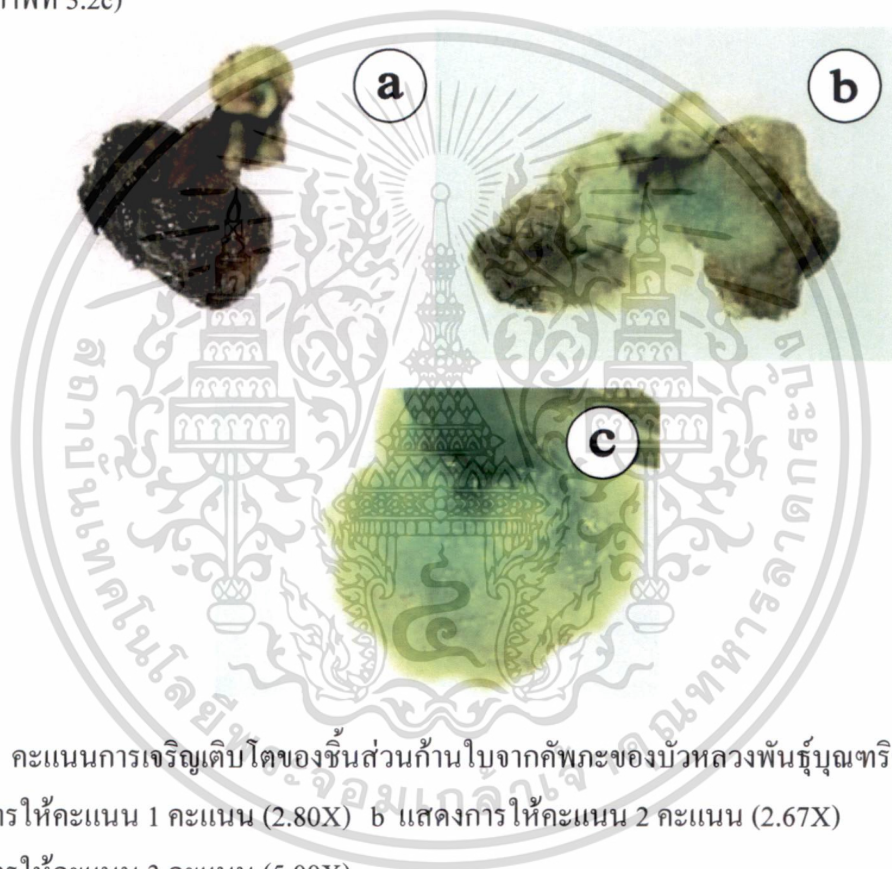
1.2 ขนาดของแคลลัส

1.3 การเจริญเติบโตของชิ้นส่วน โดยการให้คะแนน 3 ระดับดังนี้

คะแนน 1 ชิ้นส่วนตายหรือไม่เกิดแคลลัส (ภาพที่ 3.2a)

คะแนน 2 ชิ้นส่วนมีแคลลัสเกิดขึ้น แคลลัสมีลักษณะเป็นก้อนเกาะกันแน่น สีเขียวอมน้ำตาล (ภาพที่ 3.2b)

คะแนน 3 ชิ้นส่วนมีแคลลัสเกิดขึ้น แคลลัสมีลักษณะเป็นก้อนเกาะกันแน่นสีเขียว (ภาพที่ 3.2c)



ภาพที่ 3.2 คะแนนการเจริญเติบโตของชิ้นส่วนก้านใบจากคัพพะของบัวหลวงพันธุ์มณฑริก

a แสดงการให้คะแนน 1 คะแนน (2.80X) b แสดงการให้คะแนน 2 คะแนน (2.67X)

c แสดงการให้คะแนน 3 คะแนน (5.00X)

การทดลองที่ 1.2 ศึกษาสูตรอาหารที่เหมาะสมต่อการเกิดแคลลัสของชิ้นส่วนตายออกจากคัพพะของบัวหลวงพันธุ์มณฑริก โดยแบ่งออกเป็น 3 การทดลองดังนี้

การทดลองที่ 1.2.1 ศึกษาสูตรอาหารที่เหมาะสมต่อการเกิดแคลลัสของชิ้นส่วนตายออกจากคัพพะที่มีขนาด 3 มิลลิเมตร ของบัวหลวงพันธุ์มณฑริก

นำชิ้นส่วนตายออกจากคัพพะขนาด 3 มิลลิเมตร ของบัวหลวงพันธุ์มณฑริกมาชักนำการเกิดแคลลัสบนอาหารแข็งสูตร MS (1962) ที่เติมสารควบคุมการเจริญเติบโตต่างๆ และเพาะเลี้ยงภายใต้แสง cool white fluorescence เป็นเวลา 16 ชั่วโมงต่อวันนาน 8 สัปดาห์ วางแผนการทดลองแบบ

เอกลีขนเป็นเอกสารที่สงวนลิขสิทธิ์การใช้งานเพื่อการศึกษาเท่านั้น ไม่อนุญาตให้เผยแพร่ข้อมูลเพื่อการค้าไม่ว่ากรณีใดๆ ทั้งสิ้น อีกทั้งห้ามมิให้ดัดแปลงเนื้อหา และต้องอ้างอิงถึงเจ้าของเอกสารทุกครั้งที่มีการนำไปใช้

RCBD มี 5 treatments 6 ซ้ำ ซ้ำละ 5 ชิ้นส่วน อาหารแข็งสูตร MS (1962) ที่เติมสารควบคุมการเจริญเติบโตต่างๆ มีดังนี้

วิธีการที่ 1 NAA 40 ไมโครโมลาร์ ร่วมกับ TDZ 0.5 ไมโครโมลาร์ (ภักวดี ภักดีงาม. 2548)

วิธีการที่ 2 picloram 10 ไมโครโมลาร์ ร่วมกับ kinetin 1 ไมโครโมลาร์ (Stefanello *et al.* 2005)

วิธีการที่ 3 picloram 4.14 ไมโครโมลาร์ ร่วมกับ kinetin 4.64 ไมโครโมลาร์ (Kaur and Kothari 2004)

วิธีการที่ 4 dicamba 11.27 ไมโครโมลาร์ ร่วมกับ picloram 4.14 ไมโครโมลาร์ (Przetakiewicz *et al.* 2003)

วิธีการที่ 5 triacontanol 11.38 ไมโครโมลาร์ ร่วมกับ BA 1.1 ไมโครโมลาร์ ร่วมกับ IAA 2.85 ไมโครโมลาร์ (Giridhar *et al.* 2004)



ภาพที่ 3.3 แสดงการตัดชิ้นส่วนเริ่มต้นตายออกจากกัษณะของบัวหลวงพันธุ์บุณทรึก (4.40X)

1. การบันทึกข้อมูล

1.1 เปอร์เซนต์การเกิดแคลลัส

1.2 ขนาดของแคลลัส

1.3 จำนวนยอด

1.4 ความยาวยอด

1.5 จำนวนราก

1.6 ความยาวราก

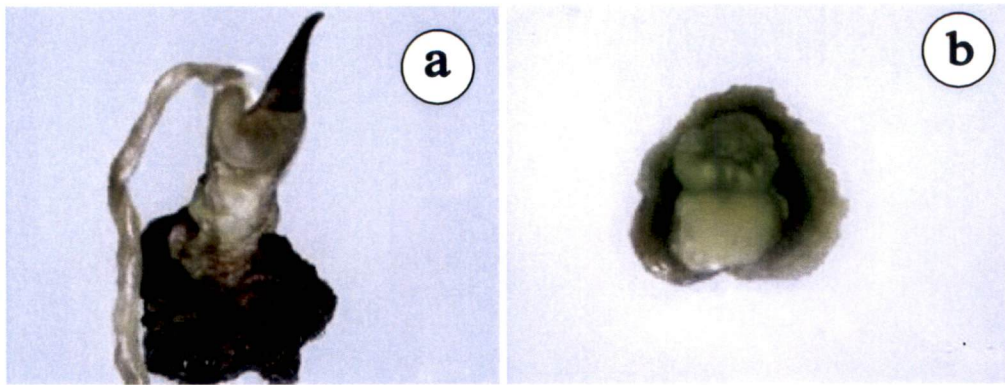
1.7 การเจริญเติบโตของชิ้นส่วน โดยการให้คะแนน 3 ระดับดังนี้

คะแนน 1 ชิ้นส่วนตายหรือไม่เกิดแคลลัส (ภาพที่ 3.4a)

คะแนน 2 ชิ้นส่วนเกิดแคลลัส ลักษณะเกาะตัวกันแน่นสีเขียว (ภาพที่ 3.4b)

คะแนน 3 ชิ้นส่วนเกิดเอมบริโอจินิกแคลลัส ลักษณะเกาะตัวกันแน่นเป็นก้อนสีเขียวอ่อน (ภาพที่ 3.4c)

เอกสารนี้เป็นเอกสารที่สงวนไว้สำหรับการใช้งานเพื่อการศึกษาเท่านั้น ไม่อนุญาตให้นำไปใช้ประโยชน์ด้านการค้า ไม่ว่าจะกรณีใดๆ ทั้งสิ้น อีกทั้งห้ามมิให้ดัดแปลงเนื้อหา และต้องอ้างอิงถึงเจ้าของเอกสารทุกครั้งที่มีการนำไปใช้



ภาพที่ 3.4 คะแนนการเจริญเติบโตของชิ้นส่วนตายอดจากคัพภะของบัวหลวงพันธุ์มณฑลฑริก
 a แสดงการให้คะแนน 1 คะแนน (2.50X) b แสดงการให้คะแนน 2 คะแนน (3.50X)
 c แสดงการให้คะแนน 3 คะแนน (2.85X)

การทดลองที่ 1.2.2 ศึกษาผลของ 2,4-D และ picloram ต่อการเกิดแคลลัสจาก
 ชิ้นส่วนตายอดจากคัพภะที่มีขนาด 3 มิลลิเมตร ของบัวหลวงพันธุ์มณฑลฑริก

นำชิ้นส่วนตายอดจากคัพภะที่มีขนาด 3 มิลลิเมตร ของบัวหลวงพันธุ์มณฑลฑริกมาชักนำการ
 เกิดแคลลัสบนอาหารแข็งสูตร MS (1962) ที่เติม 2,4-D ที่ระดับความเข้มข้น 0, 13.5, 27.1, 40.7,
 54.2 และ 67.8 ไมโครโมลาร์และ picloram ที่ระดับความเข้มข้น 12.4, 24.8, 37.2, 49.6 และ 62.1
 ไมโครโมลาร์ และเพาะเลี้ยงภายใต้แสง cool white fluorescence เป็นเวลา 16 ชั่วโมงต่อวันนาน 8
 สัปดาห์ วางแผนการทดลองแบบ RCBD มี 11 treatments 5 ซ้ำ ซ้ำละ 5 ชิ้นส่วน

1. การบันทึกข้อมูล

1.1 ขนาดของแคลลัส

1.2 จำนวนยอด

1.3 ความยาวยอด

เอกสารนี้เป็นเอกสารที่สงวนไว้สำหรับการใช้งานเพื่อการศึกษาเท่านั้น ไม่อนุญาตให้นำไปใช้ประโยชน์ด้านการค้า
 ไม่ว่ากรณีใดๆ ทั้งสิ้น อีกทั้งห้ามมิให้ดัดแปลงเนื้อหา และต้องอ้างอิงถึงเจ้าของเอกสารทุกครั้งที่มีการนำไปใช้

การทดลองที่ 1.2.3 ศึกษาผลของ 2,4-D และ picloram ต่อการเกิดแคลลัสจาก ชิ้นส่วนเนื้อเยื่อเจริญปลายยอดที่มีขนาด 0.5 มิลลิเมตร ของบัวหลวงพันธุ์มณฑริก

นำชิ้นส่วนเนื้อเยื่อเจริญปลายยอดที่มีขนาด 0.5 มิลลิเมตร ของบัวหลวงพันธุ์มณฑริกมาชัก นำการเกิดแคลลัสบนอาหารแข็งสูตร MS (1962) ที่เติม 2,4-D ที่ระดับความเข้มข้น 0, 13.5, 27.1, 40.7, 54.2 และ 67.8 ไมโครโมลาร์และ picloram ที่ระดับความเข้มข้น 12.4, 24.8, 37.2, 49.6 และ 62.1 ไมโครโมลาร์และเพาะเลี้ยงภายใต้แสง cool white fluorescence เป็นเวลา 16 ชั่วโมงต่อวัน นาน 8 สัปดาห์ วางแผนการทดลองแบบ RCBD มี 11 treatments 2 ซ้ำ ซ้ำละ 25 ชิ้นส่วน

1. การบันทึกข้อมูล

1.1 ขนาดของแคลลัส

1.2 จำนวนยอด

1.3 ความยาวยอด

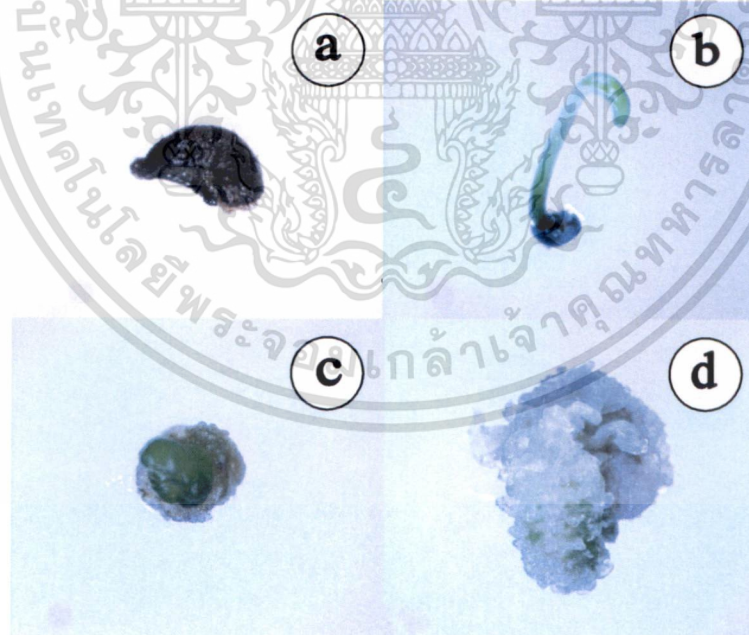
1.4 การเจริญเติบโตของชิ้นส่วน โดยการให้คะแนน 4 ระดับดังนี้

คะแนน 1 ชิ้นส่วนตาย (ภาพที่ 3.5a)

คะแนน 2 ชิ้นส่วนเกิดยอดสีเขียว (ภาพที่ 3.5b)

คะแนน 3 ชิ้นส่วนเกิดแคลลัสเกาะตัวกันแน่นสีเขียวอ่อน (ภาพที่ 3.5c)

คะแนน 4 ชิ้นส่วนเกิดแคลลัสเกาะตัวกันอย่างหลวมๆ สีขาวปนเขียว (ภาพที่ 3.5d)



ภาพที่ 3.5 คะแนนการเจริญเติบโตของชิ้นส่วนเนื้อเยื่อเจริญปลายยอดของบัวหลวงพันธุ์มณฑริก

a แสดงการให้คะแนน 1 คะแนน (3.6X) b แสดงการให้คะแนน 2 คะแนน (3.5X)

c แสดงการให้คะแนน 3 คะแนน (3X) d แสดงการให้คะแนน 4 คะแนน (3.9X)

เอกสารนี้เป็นเอกสารที่สงวนไว้สำหรับการใช้งานเพื่อการศึกษาเท่านั้น ไม่อนุญาตให้นำไปใช้ประโยชน์ด้านการค้า ไม่ว่ากรณีใดๆ ทั้งสิ้น อีกทั้งห้ามมิให้ดัดแปลงเนื้อหา และต้องอ้างอิงถึงเจ้าของเอกสารทุกครั้งที่มีการนำไปใช้

การทดลองที่ 2 การศึกษาสูตรอาหารที่เหมาะสมต่อการชักนำให้เกิดยอดจากแคลลัสของบัวหลวงพันธุ์บุญทริก

นำชิ้นส่วนตายออกจากคัพภะที่มีขนาด 3 มิลลิเมตร ของบัวหลวงพันธุ์บุญทริก มาชักนำการเกิดแคลลัสบนอาหารแข็งสูตร MS (1962) ที่เติม NAA 40 ไมโครโมลาร์ ร่วมกับ TDZ 0.5 ไมโครโมลาร์ เป็นเวลา 8 สัปดาห์ (ภักวดี ภักดีงาม. 2548) ที่ได้จากการทดลองที่ 1.2.1 แล้วนำมาใช้เป็นชิ้นส่วนเริ่มต้นในการชักนำให้เกิดยอดจากแคลลัสของบัวหลวงพันธุ์บุญทริก โดยนำมาเพาะเลี้ยงบนอาหารสูตร MS (1962) ที่เติม BA ที่ระดับความเข้มข้น 0, 40, 50 และ 60 ไมโครโมลาร์ โดยวางแผนการทดลองแบบ RCBD มี 4 treatment 15 ซ้ำ ซ้ำละ 3 ชิ้นส่วน และเพาะเลี้ยงภายใต้แสง cool white fluorescence เป็นเวลา 16 ชั่วโมงต่อวันนาน 8 สัปดาห์ จากนั้นนำชิ้นส่วนที่ได้มาใช้เป็นเนื้อเยื่อเป้าหมายในการถ่ายยีนเข้าสู่ยอดของบัวหลวงพันธุ์บุญทริกในการทดลองที่ 3.1

1. การบันทึกข้อมูล

1.1 ขนาดแคลลัส

1.2 ความยาวยอด

1.3 จำนวนยอด

1.4 จำนวนใบ

1.5 ความยาวใบ

3.4.4 การเพิ่มปริมาณพลาสมิด pCAMBIA2301anti-DFR

3.4.4.1 การเตรียม competent cell ของเชื้อ *E. coli* DH5 α

โดยเพาะเลี้ยงแบคทีเรีย *E. coli* DH5 α บนอาหารเลี้ยงเชื้อ LB (Lulia-bertani agar) บ่มที่อุณหภูมิ 37 องศาเซลเซียส ประมาณ 12 ชั่วโมง จากนั้นเขี่ยเชื้อจาก 1 โคโลนี มาเลี้ยงต่อในอาหารเลี้ยงเชื้อ LB ปริมาตร 5 มิลลิลิตร (starter) ด้วยเครื่องเลี้ยงเชื้อแบบเขย่า ที่อุณหภูมิ 37 องศาเซลเซียส เขย่าที่ความเร็ว 220 รอบต่อนาที เป็นเวลา 12 ชั่วโมง จากนั้นดูดเชื้อมา 1 มิลลิลิตร ใส่ลงในขวดอาหารขนาด 200 มิลลิลิตร ที่มีอาหารเลี้ยงเชื้อ LB 50 มิลลิลิตร บ่มที่อุณหภูมิ 37 องศาเซลเซียส เขย่าที่ความเร็ว 220 รอบต่อนาที เป็นเวลา 24 ชั่วโมง นำไปวัดค่าการดูดกลืนแสงที่ความยาวคลื่น 600 นาโนเมตร ให้มีค่าประมาณ 0.3-0.4 จึงถ่ายเชื้อลงหลอดทดลองขนาด 50 มิลลิลิตร แฉ่หลอดทิ้งไว้ในน้ำแข็งเป็นเวลา 10 นาที นำไปปั่นเหวี่ยง (centrifuge) ที่ความเร็ว 4,000 รอบต่อนาที ที่อุณหภูมิ 4 องศาเซลเซียส เป็นเวลา 10 นาที ดูดสารละลายส่วนใสด้านบนทิ้ง จากนั้นล้างตะกอนเซลล์ด้วยสารละลาย 0.1 M MgCl₂ ปริมาตร 10 มิลลิลิตร ผสมตะกอนให้เข้ากับสารละลายอย่างเบามือ นำไปแช่ในน้ำแข็งเป็นเวลา 10 นาที เพื่อตกตะกอนเซลล์ จากนั้นนำไปปั่นเหวี่ยงที่ความเร็ว 4,000 รอบต่อนาที ที่อุณหภูมิ 4 องศาเซลเซียส เป็นเวลา 10 นาที ดูดสารละลายส่วนใสด้านบนทิ้ง ล้างตะกอนเซลล์อีกครั้ง ด้วยสารละลาย 0.1 M MgCl₂ ปริมาตร 10 มิลลิลิตร นำไปปั่น

เอกสารนี้เป็นเอกสารลิขสิทธิ์ของมหาวิทยาลัยเทคโนโลยีพระจอมเกล้าธนบุรี ห้ามเผยแพร่โดยไม่ได้รับอนุญาต

ไม่ว่ากรณีใดๆ ทั้งสิ้น อีกทั้งห้ามมิให้ตัดแปลงเนื้อหา และต้องอ้างอิงถึงเจ้าของเอกสารทุกครั้งที่มีการนำไปใช้

เหวี่ยงที่ความเร็ว 4,000 รอบต่อนาที ที่อุณหภูมิ 4 องศาเซลเซียส เป็นเวลา 15 นาที จากนั้นเติม สารละลาย 0.1 M CaCl_2 ใส่หลอดละ 1 มิลลิลิตร รวม 2 หลอดเข้าด้วยกัน เติมกลีเซอรอล 100 เปอร์เซ็นต์ ปริมาตร 50 ไมโครลิตร แบ่ง competent cell ที่ได้ ใส่หลอดไมโครเซนตริฟิวจ์ (microcentrifuge) หลอดละ 50 ไมโครลิตร แล้วนำไปแช่ในไนโตรเจนเหลว ก่อนนำไปเก็บที่ อุณหภูมิ -80 องศาเซลเซียส

3.4.4.2 การถ่ายพลาสมิดสายผสม pCAMBIA2301anti-DFR เข้าสู่ competent cell ของเชื้อ *E. coli* DH5 α

นำพลาสมิด pCAMBIA2301anti-DFR (ภาพที่ 3.4) ที่เป็นดีเอ็นเอสายผสมมาชักนำเข้าสู่ competent cell (*E. coli* DH5 α) ด้วยวิธี heat shock (Sambrook *et al.* 1989) โดยนำ competent cell ปริมาตร 100 ไมโครลิตร ที่เก็บในอุณหภูมิ -80 องศาเซลเซียส นำมาละลายโดยแช่ในน้ำแข็งเป็นเวลา 15 นาที จากนั้นเติมพลาสมิด pCAMBIA2301anti-DFR ความเข้มข้น 100-300 นาโนกรัม ปริมาตร 10 ไมโครลิตร ลงใน competent cell ผสมให้เข้ากัน โดยใช้ปิเปตดูดขึ้นลง แช่ในน้ำแข็ง เป็นเวลา 30 นาที จากนั้นนำไปบ่มในอ่างน้ำควบคุมอุณหภูมิ 42 องศาเซลเซียส เป็นเวลา 90 วินาที แล้วทำให้เย็นลงอย่างรวดเร็ว โดยการแช่ลงในน้ำแข็งเป็นเวลา 2 นาที เติมอาหารเหลวเลี้ยงเชื้อ LB 900 ไมโครลิตร นำไปบ่มที่อุณหภูมิ 37 องศาเซลเซียส เขย่าที่ความเร็ว 220 รอบต่อนาที เป็นเวลา 2 ชั่วโมง จากนั้นนำเชื้อไปปั่นเหวี่ยงที่ความเร็ว 8,000 รอบต่อนาที เป็นเวลา 5 นาที ดูดส่วนใส ด้านบนทิ้ง 850 ไมโครลิตร จากนั้นใช้ปิเปตดูดขึ้นลง เพื่อละลายตะกอนเซลล์ นำเชื้อที่ได้ไปเกลี่ย (spread) บนอาหารเลี้ยงเชื้อ LB ที่มียาปฏิชีวนะ kanamycin ความเข้มข้น 50 ไมโครกรัมต่อ มิลลิลิตร (อาหารคัดเลือก) โดยดูดเชื้อในปริมาตร 50 ไมโครลิตรต่อจานเพาะเลี้ยง นำจานเพาะเลี้ยง เชื้อไปบ่มที่อุณหภูมิ 37 องศาเซลเซียส เป็นเวลา 12-16 ชั่วโมง

3.4.4.3 การตรวจสอบพลาสมิดถูกผสม

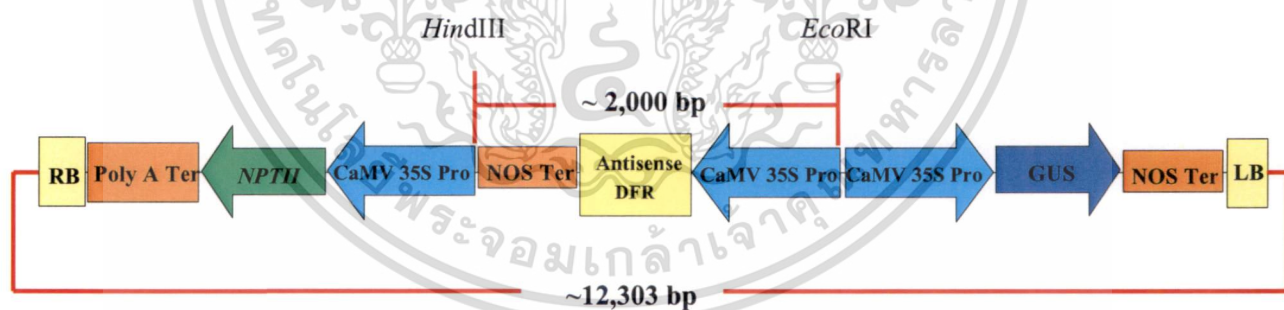
สุ่มเลือกโคโลนีของ *E. coli* DH5 α ที่สามารถเติบโตบนอาหารคัดเลือก มาเพาะเลี้ยงใน อาหารเหลว LB ปริมาตร 5 มิลลิลิตร ที่มียาปฏิชีวนะ kanamycin ความเข้มข้น 50 มิลลิกรัมต่อลิตร นำไปบ่มที่อุณหภูมิ 37 องศาเซลเซียส เขย่าที่ความเร็ว 220 รอบต่อนาที เป็นเวลา 12-16 ชั่วโมง จากนั้นนำไปสกัดพลาสมิด โดยใช้ FlavoPrepTM Plasmid DNA Extraction Mini Kit (FlavogenTM) โดยดูดอาหารเหลวที่มีเชื้อ ปริมาตร 1.5 มิลลิลิตร ใส่ในหลอดเซนตริฟิวจ์ขนาด 1.5 มิลลิลิตร จากนั้นตกตะกอนเซลล์โดยการปั่นเหวี่ยงที่ความเร็ว 10,000 รอบต่อนาที เป็นเวลา 1 นาที ดูดส่วนของอาหารด้านบนทิ้ง เติม FAPD1 buffer ปริมาตร 250 ไมโครลิตร ผสมให้เข้ากันด้วย เครื่อง vortex จากนั้นเติม FAPD2 buffer ปริมาตร 250 ไมโครลิตร ผสมให้เข้ากันโดยการกลับ หลอดไปมา 5 ครั้ง ตั้งทิ้งไว้ที่อุณหภูมิห้องเป็นเวลา 2 นาที เพื่อย่อยผนังเซลล์ จากนั้นเติม FAPD3 buffer ปริมาตร 350 ไมโครลิตร ผสมให้เข้ากัน โดยการกลับหลอดไปมา 5 ครั้ง นำไปปั่นเหวี่ยงที่ ความเร็ว 12,000 รอบต่อนาที เป็นเวลา 10 นาที จากนั้นดูดของเหลวด้านบน ปริมาตร 700

เอกสารนี้เป็นเอกสารที่สงวนลิขสิทธิ์สำหรับการใช้ในเพื่อการศึกษาเท่านั้น มิใช่เพื่อเผยแพร่โดยไม่ได้รับอนุญาตในการค้า

ไม่ว่ากรณีใดๆ ทั้งสิ้น อีกทั้งห้ามมิให้ดัดแปลงเนื้อหา และต้องอ้างอิงถึงเจ้าของเอกสารทุกครั้งที่มีการนำไปใช้

ไมโครลิตร ใส่ใน FAPD column ที่รองรับด้วย collection tube ขนาด 2 มิลลิเมตร นำไปปั่นเหวี่ยงที่ความเร็ว 6,000 รอบต่อนาที เป็นเวลา 1 นาที เทของเหลวที่อยู่ภายใน collection tube ที่เติม W1 buffer ลงใน FAPD column นำไปปั่นเหวี่ยงที่ความเร็ว 6,000 รอบต่อนาที เป็นเวลา 1 นาที เทของเหลวที่อยู่ภายใน collection tube ที่เจ็มนั้นเติม wash buffer ลงใน FAPD column นำไปปั่นเหวี่ยงที่ความเร็ว 6,000 รอบต่อนาที เป็นเวลา 1 นาที เทของเหลวที่อยู่ภายใน collection tube ที่เจ็มนั้นเติม wash buffer ลงใน FAPD column นำไปปั่นเหวี่ยงที่ความเร็ว 13,000 รอบต่อนาที เป็นเวลา 3 นาที เพื่อให้ column แห้ง แล้วจึงย้าย FAPD column ไปใส่หลอดไมโครเซนติพีทจ์หลอดใหม่ ขนาด 1.5 มิลลิเมตร เติม elution buffer ปริมาตร 50 ไมโครลิตร ใส่ใน FAPD column ตั้งทิ้งไว้ที่อุณหภูมิห้องเป็นเวลา 10 นาที นำไปปั่นเหวี่ยงที่ความเร็ว 13,000 รอบต่อนาที เป็นเวลา 3 นาที

จากนั้นนำพลาสมิดลูกผสมที่ได้มาตรวจสอบความเข้มข้นด้วยการวัดค่าการดูดกลืนแสงที่ความยาวคลื่น 260 นาโนเมตร และทำการทดสอบการมีอยู่ของชิ้นยีน anti-DFR ในพลาสมิดลูกผสม โดยตัดด้วยเอนไซม์ตัดจำเพาะ *EcoRI* และ *HindIII* (Fermentas®) เพื่อแยกชิ้นส่วนของยีน *DFR* ที่มีส่วนของ CaMV35S promoter และ NOS terminator ขนาดประมาณ 2,000 คู่เบส ออกจากพลาสมิด pCAMBIA2301 ขนาด 11,623 คู่เบส นำไปตรวจสอบขนาดของชิ้นดีเอ็นเอด้วยเทคนิค gel electrophoresis โดยใช้เจลอะกาโรส 1 เปอร์เซ็นต์ ในสารละลาย 0.5X TAE buffer ใช้ความต่างศักย์ 100 โวลต์ เป็นเวลา 40 นาที



ภาพที่ 3.6 โครงสร้างพลาสมิด pCAMBIA2301 anti-DFR

3.4.5 การถ่ายยีนเข้าสู่พืชทดลองด้วยเครื่องยิงอนุภาคแบบ PDS 1000/He (BioRad) (กิริยา สังข์ทองวิเศษ. 2547)

การเตรียมเนื้อเยื่อเป้าหมายโดยทำการปรับสภาพ osmotic ของเซลล์ โดยการนำชิ้นส่วนที่เตรียมไว้มาเลี้ยงบนอาหารสูตร MS (1962) ที่เติม mannitol และ sorbitol ความเข้มข้นอย่างละ 2 โมลาร์ ก่อนการถ่ายยีนเป็นเวลา 12-24 ชั่วโมง แล้วนำชิ้นส่วนดังกล่าว มาวางเรียงกันเป็นรูปร่างกลม เส้นผ่าศูนย์กลางประมาณ 2.5 เซนติเมตร บนกระดาษกรอง

เอกสารนี้เป็นเอกสารที่สงวนไว้สำหรับการใช้งานเพื่อการศึกษาเท่านั้น ไม่อนุญาตให้นำไปใช้ประโยชน์ด้านการค้า ไม่ว่าจะกรณีใดๆ ทั้งสิ้น อีกทั้งห้ามมิให้ดัดแปลงเนื้อหา และต้องอ้างอิงถึงเจ้าของเอกสารทุกครั้งที่มีการนำไปใช้

การเตรียมพลาสมิดดีเอ็นเอเคลือบอนุภาคทองคำ ทำความสะอาดและเคลือบอนุภาคทองคำ โดยซึ่งอนุภาคทองคำ ปริมาณ 60 มิลลิกรัม ใส่หลอดไมโครเซนติพีพิจ์ แล้วล้างด้วยเอทานอล 100 เปอร์เซ็นต์ ปริมาตร 1 มิลลิลิตร ผสมให้เข้ากัน โดยการเขย่าด้วยเครื่อง vortex เป็นเวลา 2 นาที นำไปหมุนเหวี่ยงด้วยความเร็ว 13,000 รอบต่อนาที เป็นเวลา 1 นาที เพื่อให้อนุภาคทองคำ ตกตะกอน แล้วดูดน้ำใส่ทิ้ง ทำซ้ำขั้นตอนการล้างด้วยเอทานอล 100 เปอร์เซ็นต์ จำนวน 3 ครั้ง แล้วล้างด้วยน้ำที่นิ่งฆ่าเชื้อปริมาตร 1 มิลลิลิตร โดยการเขย่าให้ตะกอนของทองคำกระจายตัวในน้ำ นำไปหมุนเหวี่ยงด้วยความเร็ว 13,000 รอบต่อนาที เป็นเวลา 1 นาที เพื่อให้ตกตะกอน แล้วดูดน้ำใส่ทิ้ง ทำซ้ำ 3 ครั้ง หลังจากนั้นเติม glycerol 50 เปอร์เซ็นต์ ที่ผ่านการฆ่าเชื้อแล้ว ปริมาตร 1 มิลลิลิตร เขย่าให้เข้ากัน แบ่งใส่หลอดไมโครเซนติพีพิจ์ หลอดละ 50 ไมโครลิตร เก็บที่อุณหภูมิ -20 องศาเซลเซียส

เมื่อจะทำการเตรียมพลาสมิดดีเอ็นเอเคลือบอนุภาคทองคำ นำอนุภาคทองคำที่เตรียมไว้มา เขย่าด้วยเครื่อง vortex เป็นเวลา 2 นาที เพื่อให้อนุภาคทองคำมีการกระจายตัว หลังจากนั้นเติม พลาสมิดดีเอ็นเอ ปริมาณ 5 ไมโครกรัม ผสมให้เข้ากัน และเติม CaCl_2 ความเข้มข้น 2.5 โมลาร์ ปริมาตร 50 ไมโครลิตร ผสมให้เข้ากัน เติม spermidine free base (Sigma®) ความเข้มข้น 0.1 โมลาร์ ปริมาตร 20 ไมโครลิตร ผสมให้เข้ากัน ตั้งไว้บนน้ำแข็งเป็นเวลา 10 นาที โดยเขย่าหลอดไมโครเซนติพีพิจ์เบาๆ เป็นระยะๆ หลังจากนั้นนำไปหมุนเหวี่ยงด้วยความเร็ว 13,000 รอบต่อนาที เป็นเวลา 30 วินาที ดูดน้ำใส่ทิ้งแล้วเติมเอทานอล 70 เปอร์เซ็นต์ ปริมาตร 200 ไมโครลิตร ผสมให้เข้ากัน โดยการเขย่าเบาๆ ก่อนนำไปหมุนเหวี่ยงด้วยความเร็ว 13,000 รอบต่อนาที เป็นเวลา 30 วินาที ดูดน้ำใส่ทิ้งแล้วเติมเอทานอล 100 เปอร์เซ็นต์ ปริมาตร 200 ไมโครลิตร ผสมให้เข้ากัน โดยการเขย่าเบาๆ ก่อนนำไปหมุนเหวี่ยงด้วยความเร็ว 13,000 รอบต่อนาที เป็นเวลา 30 วินาที ดูดน้ำใส่ทิ้งแล้วเติมเอทานอล 100 เปอร์เซ็นต์ ปริมาตร 50 ไมโครลิตร ผสมโดยการเขย่าเบาๆ ให้เป็นเนื้อเดียวกันจะได้ อนุภาคทองคำที่เคลือบด้วยพลาสมิดดีเอ็นเอ เพื่อนำไปใช้ในการถ่ายยีน

การยิงอนุภาคเคลือบพลาสมิดดีเอ็นเอด้วยเครื่องยิงอนุภาคแบบ PDS 1000/He (BioRad) โดยทำการเช็ดทำความสะอาดตู้ยิง ด้วยเอทานอล 70 เปอร์เซ็นต์ ส่วน macrocarriers และ plastic insertion tool นำไปนึ่งฆ่าเชื้อ ส่วนแผ่นกั้นความดันแก๊ส (rupture disks) แช่ในไอโซโพรพานอล แล้วนำขึ้นมารอให้แห้ง จากนั้นใส่แผ่นกั้นความดันแก๊ส ตามขนาดความดันที่ต้องการลงใน holder ที่ผ่านการนึ่งฆ่าเชื้อแล้ว โดยการทดลองนี้เลือกใช้ขนาด 1,100 และ 1,350 ปอนด์ต่อตารางนิ้ว แล้วนำเข้าประกอบกับเครื่องตรงส่วนปลายของ gas acceleration tube ภายในตู้ยิง ประกอบ macrocarriers ที่ผ่านการนึ่งฆ่าเชื้อแล้ว ซึ่งเป็นแผ่นพลาสติกสีเหลือง ขนาดเส้นผ่าศูนย์กลาง 2.5 เซนติเมตร เข้ากับ holder ที่ผ่านการนึ่งฆ่าเชื้อแล้ว ใช้ปิเปตหยดอนุภาคที่เคลือบด้วยดีเอ็นเอแล้ว 10 ไมโครลิตร ลงตรงกลางแผ่น macrocarriers รอให้แห้งพอประมาณ ใช้ปากคีบหยิบตะแกรง ลวด (stopping screen) มาวางบน macrocarriers launch assembly ที่ผ่านการนึ่งฆ่าเชื้อแล้ว นำ

เอกสารนี้เป็นเอกสารที่สงวนไว้สำหรับใช้เพื่อการศึกษาเท่านั้น ไม่อนุญาตให้นำไปเผยแพร่โดยไม่ขออนุญาต

ไม่ว่ากรณีใดๆ ทั้งสิ้น อีกทั้งห้ามมิให้ดัดแปลงเนื้อหา และต้องอ้างอิงถึงเจ้าของเอกสารทุกครั้งที่มีการนำไปใช้

macrocarriers ที่แห้งแล้วมาวางบน macrocarriers holder ที่ผ่านการนึ่งฆ่าเชื้อแล้ว ในลักษณะคว่ำลง ปิดฝา macrocarriers launch assembly แล้วนำไปวางในช่องตำแหน่งบนสุดของเครื่องยิงอนุภาค นำจานเพาะเลี้ยงที่มีเนื้อเยื่อเป้าหมายที่เตรียมไว้วางบนชั้นวาง (petri dish holder) ให้อยู่ในระดับที่ต้องการ คือ ต่ำลงมาจาก macrocarriers launch assembly 6 และ 9 เซนติเมตร ซึ่งเป็นระยะห่างของเนื้อเยื่อเป้าหมาย (target distance) พร้อมเปิดฝาจานเพาะเลี้ยงไว้ ปิดฝาตู้ยิงให้สนิท เปิดวาล์วใหญ่ บนถังแก๊สฮีเลียม หมุนปุ่มปรับความดันแก๊สไปเกินระดับที่ต้องการประมาณ 200 ปอนด์ต่อตารางนิ้ว เปิด main switch บนส่วนควบคุมข้างตู้ยิง กดปุ่ม vac เพื่อให้ภายในตู้ยิงเป็นสุญญากาศ จนถึงระดับ 26-28 นิ้วปรอท กดปุ่มเดิมไปที่ hold สังเกตว่าไฟสีแดงจะติดที่ปุ่ม Fire ที่อยู่ข้างๆ จึงกดปุ่ม Fire ค้างไว้จนกว่าจะได้ยินเสียงดังคล้ายเกิดการระเบิดภายในตู้ยิงจึงปล่อยมือจากปุ่ม Fire กดปุ่ม vac ไปที่ vent เพื่อปล่อยอากาศเข้าไปภายในตู้ยิง เมื่อไม่มีสภาพสุญญากาศก็สามารถเปิดฝาตู้ได้ ปิดฝาและนำจานเพาะเลี้ยงที่มีเนื้อเยื่อเป้าหมายที่ถูกยิงแล้วออกมา และนำเนื้อเยื่อที่ผ่านการถ่ายยีนแล้วมาเพาะเลี้ยงต่อบนอาหารปรับสภาพ osmotic ของเซลล์ เป็นเวลา 4 ชั่วโมง จากนั้นนำไปเพาะเลี้ยงบนอาหารสูตร MS (1962) ที่เติม BA ความเข้มข้น 4.44 ไมโครโมลาร์ ร่วมกับ NAA ความเข้มข้น 0.54 ไมโครโมลาร์ (Shou *et al.* 2008) เป็นเวลา 3 วัน แล้วตรวจสอบการถ่ายยีน *GUS* แบบ transient expression ด้วยวิธี histochemical assay และคัดเลือกเซลล์ที่ได้รับการถ่ายยีนบนอาหารคัดเลือกสูตร MS (1962) ที่เติมสารปฏิชีวนะ kanamycin ความเข้มข้น 50 มิลลิกรัมต่อลิตร ตามความเข้มข้นที่ทดสอบโดย วิลาสินี ลิทวิทรัพย์ (2550) เป็นเวลา 8 สัปดาห์ โดยเปลี่ยนอาหารทุกสองสัปดาห์

การทดลองที่ 3 การศึกษาการถ่ายยีน antisense Dihydroflavonol 4-Reductase (anti-DFR) ที่อยู่ในพลาสมิด pCAMBIA2301DFR เข้าสู่บัวหลวงพันธุ์อนุชกริก โดยแบ่งเป็น 2 การทดลองดังนี้

การทดลองที่ 3.1 การถ่ายยีนเข้าสู่ยอดของบัวหลวงพันธุ์อนุชกริกที่ได้จากการเพาะเลี้ยงแคลลัสบนอาหารสูตร MS (1962) ที่เติม BA ความเข้มข้น 50 ไมโครโมลาร์ ที่ได้จากการทดลองที่ 2 เป็นเวลา 8 สัปดาห์ โดยวางแผนการทดลองแบบ 2X2 Factorial in randomized complete block design มี 4 treatments 3 ซ้ำ ซ้ำละ 10 ชิ้นส่วน โดยมี

ปัจจัย A ได้แก่ Rupture disks 2 ขนาด

a₁ ขนาด 1,100 ปอนด์ต่อตารางนิ้ว

a₂ ขนาด 1,350 ปอนด์ต่อตารางนิ้ว

ปัจจัย B ได้แก่ ระยะห่างของชุดยิงกับชิ้นส่วนเป้าหมาย (Microcarrier Launch Assembly)

b₁ ระยะห่าง 6 เซนติเมตร

b₂ ระยะห่าง 9 เซนติเมตร

เอกสารนี้เป็นเอกสารที่สงวนไว้สำหรับการใช้งานเพื่อการศึกษาเท่านั้น ไม่อนุญาตให้นำไปใช้ประโยชน์ด้านการค้า ไม่ว่าจะกรณีใดๆ ทั้งสิ้น อีกทั้งห้ามมิให้ดัดแปลงเนื้อหา และต้องอ้างอิงถึงเจ้าของเอกสารทุกครั้งที่มีการนำไปใช้

โดยชิ้นส่วนยอดได้มาจาก การเพาะเลี้ยงชิ้นส่วนตายอดจากคัพภะที่มีขนาด 3 มิลลิเมตร บนอาหารแข็งสูตร MS (1962) ที่เติม NAA 40 ไมโครโมลาร์ ร่วมกับ TDZ 0.5 ไมโครโมลาร์ (ภักดีวิภักดีงาม, 2548) จากการทดลองที่ 1.2.1 จากนั้นนำไปเพาะเลี้ยงบนอาหารสูตร MS (1962) ที่เติม BA ความเข้มข้น 50 ไมโครโมลาร์ ที่ได้จากการทดลองที่ 2 เป็นเวลา 8 สัปดาห์ นำไปปรับสภาพ osmotic ของเซลล์ แล้วนำไปถ่ายยีน ตามวิธีการข้างต้น

จากนั้นนำไปเพาะเลี้ยงบนอาหารสูตร MS (1962) ที่เติม BA ความเข้มข้น 50 ไมโครโมลาร์ ที่ได้จากการทดลองที่ 2 เป็นเวลา 4 สัปดาห์ แล้วนำมาเพาะเลี้ยงบนอาหารคัดเลือกสูตร MS (1962) ที่เติม kanamycin ความเข้มข้น 50 มิลลิกรัมต่อลิตร และ BA ความเข้มข้น 50 ไมโครโมลาร์ เป็นเวลา 8 สัปดาห์โดยเปลี่ยนอาหารทุก 2 สัปดาห์ จากนั้นนำต้นที่รอดจากการเลี้ยงบนอาหารคัดเลือกมาเลี้ยงบนอาหารสูตร MS (1962) ที่เติม BA ความเข้มข้น 4.44 ไมโครโมลาร์ ร่วมกับ NAA ความเข้มข้น 0.54 ไมโครโมลาร์ (Shou *et al.* 2008) โดยเปลี่ยนอาหารทุก 4 สัปดาห์

การทดลองที่ 3.2 การถ่ายยีนเข้าสู่ตายอดจากคัพภะของบัวหลวงพันธุ์บุณฑริก โดยวางแผนการทดลองแบบ 2X2 Factorial in randomized complete block design มี 4 treatments 3 ซ้ำ ซ้ำละ 25 ชิ้นส่วน โดยมีปัจจัยในการทดลองเช่นเดียวกับการทดลองที่ 3.1

หลังจากขั้นตอนการฟอกฆ่าเชื้อแล้ว ทำการตัดชิ้นส่วนบริเวณตายอดของคัพภะ ที่มีขนาด 3 มิลลิเมตร แล้วนำมาปรับสภาพ osmotic ของเซลล์ เช่นเดียวกับการทดลองที่ 3.1 แล้วนำไปถ่ายยีน

จากนั้นนำไปเพาะเลี้ยงบนอาหารสูตร MS (1962) ที่เติม BA ความเข้มข้น 4.44 ไมโครโมลาร์ ร่วมกับ NAA ความเข้มข้น 0.54 ไมโครโมลาร์ (Shou *et al.* 2008) เป็นเวลา 4 สัปดาห์ แล้วนำมาเพาะเลี้ยงบนอาหารคัดเลือกสูตร MS (1962) ที่เติม kanamycin ความเข้มข้น 50 มิลลิกรัมต่อลิตร และ BA ความเข้มข้น 4.44 ไมโครโมลาร์ ร่วมกับ NAA ความเข้มข้น 0.54 ไมโครโมลาร์ เป็นเวลา 8 สัปดาห์โดยเปลี่ยนอาหารทุก 2 สัปดาห์ จากนั้นนำต้นที่รอดจากการเลี้ยงบนอาหารคัดเลือกมาเลี้ยงบนอาหารสูตร MS (1962) ที่เติม BA ความเข้มข้น 4.44 ไมโครโมลาร์ ร่วมกับ NAA ความเข้มข้น 0.54 ไมโครโมลาร์ โดยเปลี่ยนอาหารทุก 4 สัปดาห์

1. การบันทึกผล

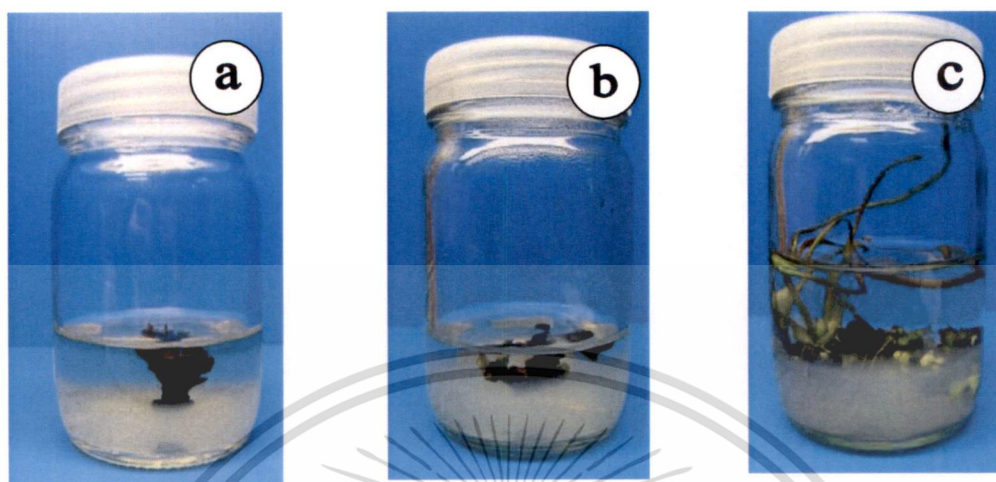
- 1.1 จำนวนยอด
- 1.2 ความยาวยอด
- 1.3 เปอร์เซ็นต์การตายบนอาหารคัดเลือกของชิ้นส่วน
- 1.4 จำนวนจุดสีน้ำตาลเงินเกลี้ยงต่อแคลลัสหรือยอด
- 1.5 การเจริญเติบโตของชิ้นส่วน โดยการให้คะแนน 3 ระดับดังนี้

คะแนน 1 ชิ้นส่วนตาย (ภาพที่ 3.7a)

เอกสารนี้เป็นเอกสารที่สงวนลิขสิทธิ์ไว้เพื่อการศึกษาเท่านั้น ไม่อนุญาตให้นำไปใช้ประโยชน์ด้านการค้า ไม่ว่าจะกรณีใดๆ ทั้งสิ้น อีกทั้งห้ามมิให้ดัดแปลงเนื้อหา และต้องอ้างอิงถึงเจ้าของเอกสารทุกครั้งที่มีการนำไปใช้

คะแนน 2 ชิ้นส่วนเกิดยอดสีเขียวปนน้ำตาล (ภาพที่ 3.7b)

คะแนน 3 ชิ้นส่วนเกิดยอดสีเขียว (ภาพที่ 3.7c)



ภาพที่ 3.7 คะแนนการเจริญเติบโตของชิ้นส่วนยอดของบัวหลวงพันธุ์มุกทริก

a แสดงการให้คะแนน 1 คะแนน (0.5X) b แสดงการให้คะแนน 2 คะแนน (0.8X)

c แสดงการให้คะแนน 3 คะแนน (0.56X)

3.4.6 การตรวจสอบการถ่ายยีนเข้าสู่พืช

3.4.6.1 การตรวจสอบการแสดงออกของยีน *GUS* แบบ transient expression ด้วยวิธี Gus histochemical assay

โดยนำชิ้นส่วนพืชที่ได้รับการถ่ายโอนยีน *GUS* มาแช่ในสารละลาย X-gluc (5-bromo-4-chloro-3-indolyl- β -D-glucuronide) ซึ่งเป็นซับสเตรตของเอนไซม์ β -glucuronidase บ่มในสภาวะมืด ที่อุณหภูมิ 37 องศาเซลเซียส เป็นเวลา 24 ชั่วโมง จากนั้นกำจัดคลอโรฟิลล์ด้วยเอทานอล 70 เปอร์เซ็นต์ นำมาตรวจสอบการแสดงออกของ *GUS* โดยสังเกตจากการเกิดสีน้ำเงินบนชิ้นส่วน

3.4.6.2 การตรวจสอบการมีอยู่ของยีน *NPTII* ยีน *GUS* และยีน anti-DFR ด้วยวิธี polymerase chain reaction (PCR)

3.4.6.2.1 การสกัด genomic DNA จากพืช

โดยนำชิ้นส่วนพืชที่ได้รับการถ่ายโอนยีนมาทำการสกัดดีเอ็นเอ เริ่มจากการบดตัวอย่างในโกร่ง (ผ่านการฆ่าเชื้อ) ที่เย็นจัด (ใช้ในโตรเจนเหลวกับการบดตัวอย่าง) จากนั้นตัดตัวอย่างใส่ในหลอดไมโครเซนตริฟิวจ์ที่แช่ในโตรเจนเหลว แล้วเติม EB buffer (ภาคผนวก ข) 500 ไมโครลิตร (ก่อนเติมต้องนำ EB buffer ไปอุ่นที่ 65 องศาเซลเซียส) นำไปบ่มไว้ที่ 65 องศาเซลเซียส นาน 15 นาที แล้วเติม 5M K-Acetate ปริมาตร 250 ไมโครลิตร พลิกหลอดไปมา แช่บนน้ำแข็งนาน 1 ชั่วโมง จากนั้นนำไปปั่นเหวี่ยงที่ 13,000 รอบ นาน 20 นาที ดูเอาส่วนใสด้านบนใส่หลอดใหม่ เอกสารนี้เป็นเอกสารที่สงวนไว้สำหรับการใช้งานเพื่อการศึกษาเท่านั้น ไม่อนุญาตให้นำไปใช้ประโยชน์ด้านการค้า ไม่ว่าจะกรณีใดๆ ทั้งสิ้น อีกทั้งห้ามมิให้ดัดแปลงเนื้อหา และต้องอ้างอิงถึงเจ้าของเอกสารทุกครั้งที่มีการนำไปใช้

แล้วเติมเอธานอล 100 เปอร์เซ็นต์ ที่แช่ -20 องศาเซลเซียส นาน 5 นาที ปริมาตรเท่ากับส่วนใสที่ดูคขึ้นมา นำไปปั่นเหวี่ยงที่ 10,000 รอบ นาน 2 นาที เทส่วนน้ำทิ้ง เก็บส่วนของตะกอน เติมเอธานอล 70 เปอร์เซ็นต์ ปริมาตร 500 ไมโครลิตร นำไปปั่นเหวี่ยงที่ 10,000 รอบ นาน 2 นาที เทส่วนน้ำทิ้ง เก็บส่วนของตะกอน ทิ้งให้แห้ง เติมน้ำปริมาตร 20 ไมโครลิตร นำมาตรวจด้วยปฏิกิริยาพีซีอาร์ โดยใช้ไพรเมอร์ที่มีความจำเพาะต่อยีน *NPTII* ยีน *GUS* และไพรเมอร์ที่มีความจำเพาะต่อโปรโมเตอร์ และเทอร์มินเตอร์ของยีน anti-DFR (ตารางที่ 3.1)

3.4.6.2.2 การเตรียมปฏิกิริยาลูกโซ่พีซีอาร์

ปฏิกิริยาพีซีอาร์ปริมาตรรวม 20 ไมโครลิตร ประกอบด้วย ดีเอ็นเอของบิวทลงพันธุ์ มุณฑริก 20 นาโนกรัม, 0.125 mM dNTPmix, 2.5 mM MgCl₂, 1X *Taq* Buffer + (NH₄)₂SO₄, ชุดไพรเมอร์ CaMV35S, NOS (ตารางที่ 3.1) และ 0.1 unit ของ *Taq* DNA polymerase (Fermentas, Canada) สำหรับตรวจสอบยีน anti-DFR จากนั้นนำไปเพิ่มจำนวนดีเอ็นเอด้วยเครื่องพีซีอาร์ (T personal : Biometra) โดยมีขั้นตอนการทำปฏิกิริยาลูกโซ่ดังนี้

Pre-denaturation	ที่ 94 องศาเซลเซียส นาน 5 นาที	
Denaturation	ที่ 94 องศาเซลเซียส นาน 30 วินาที	} 34 รอบ
Annealing	ที่ 60 องศาเซลเซียส นาน 45 วินาที	
Extension	ที่ 72 องศาเซลเซียส นาน 1 นาที	
Final extension	ที่ 72 องศาเซลเซียส นาน 5 นาที	

สำหรับตรวจสอบยีน *NPTII* ใช้ชุดไพรเมอร์ *NPTII* และชุดไพรเมอร์ *GUSA* สำหรับตรวจสอบยีน *GUSA* (ตารางที่ 3.1) โดยมีขั้นตอนการทำปฏิกิริยาลูกโซ่ดังนี้

Pre-denaturation	ที่ 94 องศาเซลเซียส นาน 5 นาที	
Denaturation	ที่ 94 องศาเซลเซียส นาน 1 นาที	} 30 รอบ
Annealing	ที่ 64 องศาเซลเซียส นาน 45 วินาที	
Extension	ที่ 72 องศาเซลเซียส นาน 1 นาที	
Final extension	ที่ 72 องศาเซลเซียส นาน 10 นาที	

หลังจากที่เครื่องพีซีอาร์ทำการเพิ่มจำนวนดีเอ็นเอตามที่กำหนด นำไปวิเคราะห์ผลิตภัณฑ์พีซีอาร์ด้วยเทคนิค gel electrophoresis

3.4.6.2.3 เตรียมเจลอะกาโรส 1 เปอร์เซ็นต์

ชั่งอะกาโรสเจล 1 กรัม เติม 1X TAE buffer ให้ครบ 100 มิลลิลิตร นำไปให้ความร้อนด้วยไมโครเวฟ ให้เจลละลายจนใส จากนั้นเทใส่ชุดถาดพลาสติกต้นแบบสำหรับเตรียมเจล รอจนเจลแข็งตัว ถอด comb ออก จากนั้นนำไปใส่ใน electrophoresis chamber

เอกสารนี้เป็นเอกสารที่สงวนไว้สำหรับการใช้งานเพื่อการศึกษาเท่านั้น ไม่อนุญาตให้นำไปใช้ประโยชน์ด้านการค้า ไม่ว่าจะกรณีใดๆ ทั้งสิ้น อีกทั้งห้ามมิให้ดัดแปลงเนื้อหา และต้องอ้างอิงถึงเจ้าของเอกสารทุกครั้งที่มีการนำไปใช้

ตารางที่ 3.1 ไพรเมอร์ที่ใช้ในการทำปฏิกิริยาพีซีอาร์เพื่อตรวจสอบยีน anti-DFR ยีน *NPTII* และยีน *GUS*

ยีน	ไพรเมอร์	ลำดับเบส	ขนาดของ product
1. anti-DFR	CaMV35s to NOS (F)	5'-AGGGATGACGCACAATCCCCT-3'	~800 bp
	CaMV35s to NOS (R)	5'-TCGCAAGACCGGCAACAGGA-3'	
2. <i>NPTII</i>	<i>NPTII</i> (F)	5'-CCATGATATTCGGCAAGCAGGCAT-3'	254 bp
	<i>NPTII</i> (R)	5'-ATCCATCATGGCTGATGCAATGCG-3'	
3. <i>GUS</i>	<i>GUSA</i> (F)	5'-ATTGATGAAACTGCTGCTGTCGGC-3'	563 bp
	<i>GUSA</i> (R)	5'-ACGCGGTGATACATATCCAGCCAT-3'	

3.4.6.2.4 การวิเคราะห์แถบดีเอ็นเอด้วยเทคนิค gel electrophoresis

วางแผนเจลลงบน electrophoresis chamber เท 1X TAE buffer ให้ท่วมเจล จากนั้นผสม gel loading buffer 1 ไมโครลิตร กับผลิตภัณฑ์พีซีอาร์ 9 ไมโครลิตร บนแผ่นพาราฟิน คูดสารทั้งหมดใส่ลงในหลุม เจลตามที่ได้กำหนดไว้ โดยใช้กระแสไฟฟ้าความต่างศักย์ 100 โวลต์ นาน 40 นาที ใช้ดีเอ็นเอมาตรฐาน DNA ladder (Fermentas) ชนิด 100 bp ladder เป็นแถบดีเอ็นเอเปรียบเทียบ จากนั้นนำไปวิเคราะห์ผลโดยใช้เครื่องถ่ายภาพเจล (SynGene, UK)

3.4.6.3 การตรวจสอบการแสดงออกของยีน *NPTII* และยีน anti-DFR ด้วยวิธี Reverse transcription polymerase chain reaction (RT-PCR)

หลังจากการตรวจสอบการมีอยู่ของยีน anti-DFR และยีน *NPTII* ด้วยวิธี PCR แล้ว เพื่อเป็นการยืนยันการแสดงออกของยีน anti-DFR จึงทำการตรวจสอบด้วยการใช้เทคนิค RT-PCR โดยการสกัดอาร์เอ็นเอของบัวในต้นที่ได้รับการถ่ายยีน และไม่ได้รับการถ่ายยีน แล้วอาศัยการเปลี่ยน mRNA เป็น complementary DNA โดยเอนไซม์ reverse transcriptase แล้วทำการเพิ่มจำนวนของชิ้นดีเอ็นเอที่ต้องการ โดยการทำให้พีซีอาร์หลังจากนั้นนำดีเอ็นเอที่เพิ่มปริมาณได้มาตรวจวิเคราะห์ปริมาณของดีเอ็นเอด้วยเทคนิค agarose gel electrophoresis เพื่อวิเคราะห์ขนาดของดีเอ็นเอ

3.4.6.3.1 การสกัด total RNA จากพืช (Provost *et al.*, 2007)

เริ่มจากการบดตัวอย่างในโกร่ง (ผ่านการฆ่าเชื้อ) ที่เย็นจัด ใช้ไนโตรเจนเหลวกับการบดตัวอย่าง จากนั้นตัดตัวอย่างใส่ในหลอดไมโครเซนทริฟิวจ์ที่แช่ในไนโตรเจนเหลว แล้วเติมเม็ดบีดลง 1 มิลลิกรัม (ก่อนเติมต้องนำ EB buffer ไปอุ่นที่ 65 องศาเซลเซียส) จากนั้นเติม EB buffer ให้ 1 มิลลิกรัม (ก่อนเติมต้องนำ EB buffer ไปอุ่นที่ 65 องศาเซลเซียส) ไม่อย่างนั้นจะทำให้ดีเอ็นเอเสียหายได้ และต้องล้างเม็ดบีดด้วยน้ำที่เย็นจัดทุกครั้งที่มีการนำไปใช้

เซลเซียส) ผสมให้เข้ากัน โดยการเขย่าด้วยเครื่อง vortex เป็นเวลา 15 วินาที นำไปปั่นไว้ที่ 65 องศาเซลเซียส นาน 10 นาที โดยพลิกหลอดไปมาทุก 3 นาที แล้วเติม chloroform-isoamyl alcohol (24:1) ลงไปปริมาตร 1 เท่าของสารที่มีอยู่ พลิกหลอดไปมา จากนั้นนำไปปั่นเหวี่ยงที่ 9,500 รอบ นาน 10 นาที ดูดเอาส่วนใสด้านบนใส่หลอดใหม่ แล้วเติม chloroform-isoamyl alcohol (24:1) ลงไป 1 เท่าของสารที่ดูดขึ้นมา พลิกหลอดไปมา จากนั้นนำไปปั่นเหวี่ยงที่ 9,500 รอบ นาน 10 นาที ดูดเอาส่วนใสด้านบนใส่หลอดใหม่ แล้วเติม 10 M LiCl ปริมาตร ¼ เท่า พลิกหลอดไปมา นำไปปั่นไว้ที่ 4 องศาเซลเซียส ทิ้งไว้ข้ามคืน จากนั้นนำไปปั่นเหวี่ยงที่ 9,000 รอบ นาน 20 นาที 4 องศาเซลเซียส เทส่วนน้ำทิ้ง เก็บส่วนของตะกอน ทิ้งให้แห้ง จากนั้นละลายตะกอนด้วย STE buffer 500 ไมโครลิตร (ก่อนเติมต้องนำ STE buffer ไปอุ่นที่ 65 องศาเซลเซียส) และเติม chloroform-isoamyl alcohol (24:1) 450 ไมโครลิตร พลิกหลอดไปมา นำไปปั่นเหวี่ยงที่ 9,500 รอบ นาน 15 นาที 4 องศาเซลเซียส ดูดเอาส่วนใสด้านบนใส่หลอดใหม่ แขนบนน้ำแข็งแล้วเติม STE buffer 150 ไมโครลิตร พลิกหลอดไปมา นำไปปั่นเหวี่ยงที่ 9,500 รอบ นาน 15 นาที 4 องศาเซลเซียส ดูดเอาส่วนใสด้านบนใส่หลอดใหม่ แล้วเติม 5M NaCl 100 ไมโครลิตร และเติมเอทานอล 100 เปอร์เซ็นต์ ที่แช่ -20 องศาเซลเซียส นาน 5 นาที พลิกหลอดไปมา นำไปปั่นไว้ที่ -20 องศาเซลเซียส นาน 2 ชั่วโมง จากนั้นนำไปปั่นเหวี่ยงที่ 9,500 รอบ นาน 20 นาที 4 องศาเซลเซียส เทส่วนน้ำทิ้ง แล้วเติมเอทานอล 70 เปอร์เซ็นต์ 400 ไมโครลิตร ที่แช่ -20 องศาเซลเซียส นาน 5 นาที นำไปปั่นเหวี่ยงที่ 9,500 รอบ นาน 10 นาที 4 องศาเซลเซียส เทส่วนน้ำทิ้ง เก็บส่วนของตะกอน ทิ้งให้แห้ง จากนั้นละลายตะกอนด้วย DEPC water 30 ไมโครลิตร

3.4.6.3.2 การทำ Reverse transcription polymerase chain reaction (RT-PCR)

นำตัวอย่างพืชที่สกัด RNA ได้มาทำการเปลี่ยนจาก mRNA เป็น complimentary DNA (cDNA) โดยใช้ SuperScript™ III First-Strand Synthesis System for RT-PCR (Invitrogen) จากนั้นนำมาตรวจด้วยปฏิกิริยาพีซีอาร์ โดยมีการเตรียมปฏิกิริยาลูกโซ่พีซีอาร์เหมือนกับข้อ 3.4.6.2.2 โดยใช้ไพรเมอร์ที่มีความจำเพาะต่อยีน *NPTII* และไพรเมอร์ที่มีความจำเพาะต่อโปรโมเตอร์ และเทอร์มินเตอร์ของยีน anti-DFR ดังตารางที่ 3.2

ตารางที่ 3.2 ไพรเมอร์ที่ใช้ในการทำปฏิกิริยา Reverse transcription polymerase chain reaction (RT-PCR) เพื่อตรวจสอบยีน anti-DFR และยีน *NPTII*

ยีน	ไพรเมอร์	ลำดับเบส	ขนาดของ product
1. anti-DFR	DFR (F)	5'-ACACGAAGTACATCCATCCGGTCA -3'	~600 bp
	DFR (R)	5'- TTCTTGGCTGGTCATGAAGCTCCT-3'	
2. <i>NPTII</i>	<i>NPTII</i> (F)	5'-CCATGATATTCGGCAAGCAGGCAT-3'	254 bp
	<i>NPTII</i> (R)	5'-ATCCATCATGGCTGATGCAATGCG-3'	

เอกสารนี้เป็นเอกสารที่สงวนลิขสิทธิ์ไว้เป็นการใช้งานเฉพาะที่ออกให้เท่านั้น ไม่อนุญาตให้拿去ใช้ประโยชน์ด้านการค้า

ไม่ว่ากรณีใดๆ ทั้งสิ้น อีกทั้งห้ามมิให้ตัดแปลงเนื้อหา และต้องอ้างอิงถึงเจ้าของเอกสารทุกครั้งที่มีการนำไปใช้

3.5 การบันทึกผลและการวิเคราะห์ข้อมูล

3.5.1 บันทึกผลลักษณะการเจริญเติบโตของชิ้นส่วน ได้แก่ จำนวนการเกิดยอด ความยาวยอด เปอร์เซ็นต์การรอดชีวิตของชิ้นส่วนหลังจากย้ายออกจากอาหารคัดเลือก

3.5.2 การตรวจสอบการมีอยู่ของยีน *NPTII* ยีน *GUS* และยีน *anti-DFR* ด้วยวิธีพีซีอาร์ หลังจากให้น้ำดีเอ็นเอที่เพิ่มปริมาณได้มาตรวจวิเคราะห์ขนาดของดีเอ็นเอด้วยเทคนิค gel electrophoresis วิเคราะห์ขนาดของดีเอ็นเอ โดยเปรียบเทียบกับขนาดของดีเอ็นเอที่ทราบขนาดแล้ว (standard size marker)

3.5.3 การตรวจสอบผลการแสดงออกของยีน *anti-DFR* และยีน *NPTII* ด้วย Reverse transcription polymerase chain reaction (RT-PCR)

หลังจากการตรวจสอบการมีอยู่ของยีน *anti-DFR* และยีน *NPTII* ด้วยวิธี PCR แล้ว เพื่อเป็นการยืนยันการแสดงออกของยีน จึงทำการตรวจสอบด้วยการใช้เทคนิค RT-PCR โดยการสกัด RNA ของบัวในต้นที่ได้รับการถ่ายยีน และไม่ได้รับการถ่ายยีน แล้วอาศัยการเปลี่ยน mRNA เป็น complementary DNA โดยเอนไซม์ reverse transcriptase หลังจากนั้นนำดีเอ็นเอที่เพิ่มปริมาณได้มาตรวจวิเคราะห์ขนาดของดีเอ็นเอ ด้วยเทคนิค gel electrophoresis วิเคราะห์ขนาดของดีเอ็นเอ โดยเปรียบเทียบกับขนาดของดีเอ็นเอที่ทราบขนาดแล้ว (standard size marker)

นำข้อมูลที่ได้มาวิเคราะห์ค่าความแปรปรวนโดยใช้ตาราง Analysis of Variance (ANOVA) และเปรียบเทียบค่าเฉลี่ยโดยวิธี Duncan's New Multiple Range Test (DMRT) ที่ระดับความเชื่อมั่น 95 เปอร์เซ็นต์

บทที่ 4

ผลการทดลอง

4.1 ศึกษาชิ้นส่วนเริ่มต้นและสูตรอาหารที่เหมาะสมต่อการเกิดแคลลัสของบัวหลวงพันธุ์บุญทริก

การทดลองที่ 1 ศึกษาชิ้นส่วนเริ่มต้นและสูตรอาหารที่เหมาะสมต่อการเกิดแคลลัสของบัวหลวงพันธุ์บุญทริก โดยแบ่งออกเป็น 2 การทดลองดังนี้

การทดลองที่ 1.1 ศึกษาสูตรอาหารที่เหมาะสมต่อการเกิดแคลลัสของชิ้นส่วนก้านใบจากคัพพะของบัวหลวงพันธุ์บุญทริก โดยนำชิ้นส่วนก้านใบจากคัพพะของบัวหลวงพันธุ์บุญทริก มาชักนำการเกิดแคลลัสบนอาหารแข็งสูตร MS (1962) ที่เติมสารควบคุมการเจริญเติบโตชนิดต่างๆ ตามวิธีการทดลองนาน 12 สัปดาห์ พบว่ามีการเจริญเติบโตดังนี้

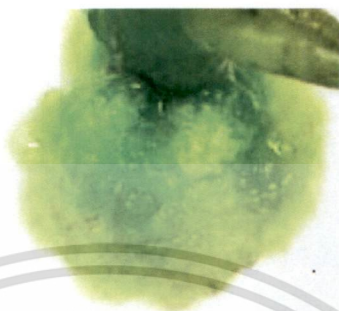
คะแนนการเจริญเติบโตของชิ้นส่วน

จากการนำชิ้นส่วนก้านใบจากคัพพะมาเพาะเลี้ยงบนอาหารแข็งสูตร MS (1962) ที่เติมสารควบคุมการเจริญเติบโตชนิดต่างๆ พบว่าค่าเฉลี่ยคะแนนการเจริญเติบโตของแคลลัส มีความแตกต่างกันอย่างมีนัยสำคัญยิ่งทางสถิติทุกสัปดาห์ของการทดลอง (ตารางที่ 4.1) และพบว่าชิ้นส่วนก้านใบที่เลี้ยงบนอาหารแข็งสูตร MS (1962) ที่เติม NAA ความเข้มข้น 40 ไมโครโมลาร์ ร่วมกับ TDZ ความเข้มข้น 0.5 ไมโครโมลาร์ และอาหารแข็งสูตร MS (1962) ที่เติม 2,4-D ความเข้มข้น 4.52 ไมโครโมลาร์ ร่วมกับ TDZ ความเข้มข้น 0.45 ไมโครโมลาร์ มีค่าเฉลี่ยคะแนนการเจริญเติบโตของแคลลัสสูงที่สุดทุกสัปดาห์ของการทดลอง โดยในสัปดาห์ที่ 4 แคลลัสมีค่าเฉลี่ยคะแนนการเจริญเติบโตสูงที่สุด 2.43 คะแนน ในอาหารแข็งสูตร MS (1962) ที่เติม 2,4-D ความเข้มข้น 4.52 ไมโครโมลาร์ ร่วมกับ TDZ ความเข้มข้น 0.45 ไมโครโมลาร์ ในสัปดาห์ที่ 8 แคลลัสมีค่าเฉลี่ยคะแนนการเจริญเติบโตเพิ่มขึ้นเป็น 2.50 คะแนน และพบว่าตั้งแต่สัปดาห์ที่ 12 คะแนนการเจริญเติบโตของแคลลัสมีแนวโน้มลดลงอย่างต่อเนื่อง โดยแคลลัสจะเกิดขึ้นที่บริเวณรอยตัดของชิ้นส่วนมีลักษณะเป็นเม็ดละเอียดเกาะกันแน่นแยกกันได้ง่าย สีเขียวอ่อน (ภาพที่ 4.1)

เปอร์เซ็นต์การเกิดแคลลัส

จากการนำชิ้นส่วนก้านใบจากคัพพะมาเพาะเลี้ยงบนอาหารแข็งสูตร MS (1962) ที่เติมสารควบคุมการเจริญเติบโตชนิดต่างๆ พบว่าทุกสัปดาห์เปอร์เซ็นต์การเกิดมีความแตกต่างกันอย่างมีนัยสำคัญยิ่งทางสถิติ (ตารางที่ 4.1) และชิ้นส่วนก้านใบที่เลี้ยงบนอาหารแข็งสูตร MS (1962) ที่เติม NAA ความเข้มข้น 40 ไมโครโมลาร์ ร่วมกับ TDZ ความเข้มข้น 0.5 ไมโครโมลาร์ และอาหารแข็งสูตร MS (1962) ที่เติม 2,4-D ความเข้มข้น 4.52 ไมโครโมลาร์ ร่วมกับ TDZ ความเข้มข้น 0.45 ไมโครโมลาร์ มีเปอร์เซ็นต์การเกิดแคลลัสเท่ากันโดยสามารถชักนำให้เกิดแคลลัสได้ 90 เปอร์เซ็นต์การค้า
ไม่ว่ากรณีใดๆ ทั้งสิ้น อีกทั้งห้ามมิให้คัดแปลงเนื้อหา และต้องอ้างอิงถึงเจ้าของเอกสารทุกครั้งที่มีการนำไปใช้

จากการสังเกตพบว่าเปอร์เซ็นต์การเกิดแคลลัสมีค่าคงที่ตั้งแต่สัปดาห์ที่ 4 ถึงสัปดาห์ที่ 12 ขึ้นส่วน
ก้านใบที่เลี้ยงบนอาหารแข็งสูตร MS ที่ไม่เติมสารควบคุมการเจริญเติบโต (control) และอาหารแข็ง
สูตร MS (1962) ที่เติม dicamba ความเข้มข้น 11.27 ไมโครโมลาร์ ร่วมกับ picloram ความเข้มข้น
4.14 ไมโครโมลาร์ ไม่เกิดแคลลัส



ภาพที่ 4.1 ลักษณะแคลลัสที่ได้จากการเพาะเลี้ยงชิ้นส่วนก้านใบจากคัพภะบนอาหารแข็งสูตร MS
(1962) ที่เติม 2,4-D ความเข้มข้น 4.52 ไมโครโมลาร์ ร่วมกับ TDZ ความเข้มข้น 0.45
ไมโครโมลาร์ (5.00X) เป็นเวลา 8 สัปดาห์

ขนาดแคลลัส

จากการนำชิ้นส่วนก้านใบจากคัพภะมาเพาะเลี้ยงบนอาหารแข็งสูตร MS (1962) ที่เติมสาร
ควบคุมการเจริญเติบโตชนิดต่างๆ พบว่าค่าเฉลี่ยของขนาดแคลลัสมีความแตกต่างกันอย่างมีนัย
สำคัญยิ่งทางสถิติทุกสัปดาห์ของการทดลอง (ตารางที่ 4.1) โดยในสัปดาห์ที่ 4 พบว่า การใช้ 2,4-D
ความเข้มข้น 4.52 ไมโครโมลาร์ ร่วมกับ TDZ ความเข้มข้น 0.45 ไมโครโมลาร์ มีขนาดแคลลัสมาก
ที่สุดเฉลี่ย 1.15 เซนติเมตร ส่วนในสัปดาห์ที่ 8 และ 12 พบว่า การใช้ NAA ความเข้มข้น 40 ไมโคร
โมลาร์ ร่วมกับ TDZ ความเข้มข้น 0.5 ไมโครโมลาร์ ทำให้แคลลัสมีขนาดมากที่สุดเฉลี่ย 1.20 และ
1.27 เซนติเมตร ตามลำดับ ส่วนการใช้ 2,4-D ความเข้มข้น 4.52 ไมโครโมลาร์ ร่วมกับ TDZ ความ
เข้มข้น 0.45 ไมโครโมลาร์ มีขนาดแคลลัสรองลงมาเฉลี่ย 1.17 เซนติเมตร และการใช้ dicamba
ความเข้มข้น 11.27 ไมโครโมลาร์ ร่วมกับ picloram ความเข้มข้น 4.14 ไมโครโมลาร์ มีขนาด
แคลลัสน้อยที่สุดเฉลี่ย 1.00 เซนติเมตร

ตารางที่ 4.1 คะแนนการเจริญเติบโตของชิ้นส่วน เปอร์เซ็นต์การเกิดแคลลัส และขนาดของแคลลัส จากการเพาะเลี้ยงชิ้นส่วนก้านใบจากคัพภะบนอาหารแข็งสูตร MS (1962) ที่เติมสารควบคุมการเจริญเติบโตชนิดต่างๆ

ความเข้มข้นของสารควบคุมการเจริญเติบโต (ไมโครโมลาร์)			คะแนนการเจริญเติบโต±S.E. ¹			เปอร์เซ็นต์การเกิดแคลลัส±S.E. ¹			ขนาดแคลลัส (เซนติเมตร)±S.E. ¹		
			อายุ (สัปดาห์)			อายุ (สัปดาห์)			อายุ (สัปดาห์)		
			4	8	12	4	8	12	4	8	12
Control			1.00±0.00 d	1.00±0.00 c	1.00±0.00 b	0.00±0.00 d	0.00±0.00 d	0.00±0.00 d	1.00±0.00 c	1.00±0.00 d	1.00±0.00 d
NAA 40	TDZ 0.5		2.17±0.12 ab	2.13±0.28 b	1.13±0.11 a	90.00±6.72 a	90.00±6.72 a	90.00±6.72 a	1.12±0.03 ab	1.20±0.03 a	1.27±0.04 a
2,4-D 4.52	TDZ 0.45		2.43±0.18 a	2.50±0.15 a	1.10±0.11 ab	90.00±6.72 a	90.00±6.72 a	90.00±6.72 a	1.15±0.02 a	1.17±0.02 a	1.17±0.04 b
2,4-D 10	BA 0.5		1.03±0.03 d	1.00±0.00 c	1.00±0.00 b	3.33±3.27 d	3.33±3.27 d	3.33±3.27 d	1.01±0.01 c	1.01±0.01 d	1.01±0.01 d
2,4-D 9	BA 0.8		1.50±0.27 c	1.03±0.03 c	1.00±0.00 b	30.00±9.83 c	30.00±9.83 c	30.00±9.83 c	1.03±0.01 c	1.03±0.01 d	1.03±0.01 cd
2,4-D 18.1	BA 2.22		1.77±0.18 bc	1.03±0.14 c	1.00±0.00 b	53.33±8.29 b	53.33±8.29 b	53.33±8.29 b	1.08±0.01 b	1.08±0.01 bc	1.08±0.01 c
picloram 10	kinetin 1		1.10±0.11 d	1.00±0.00 c	1.00±0.00 b	6.67±4.14 d	6.67±4.14 d	6.67±4.14 d	1.01±0.01 c	1.01±0.01 d	1.01±0.01 d
picloram 4.14	kinetin 4.64		1.77±0.15 bc	1.00±0.00 c	1.00±0.00 b	46.67±7.89 bc	46.67±7.89 bc	46.67±7.89 bc	1.09±0.02 b	1.09±0.06 b	1.09±0.02 c
dicamba 11.27	picloram 4.14		1.00±0.00 d	1.00±0.00 c	1.00±0.00 b	0.00±0.00 d	0.00±0.00 d	0.00±0.00 d	1.00±0.00 c	1.00±0.00 d	1.00±0.00 d
triacantanol 11.38	BA 1.1	IAA 2.85	1.53±0.20 c	1.00±0.00 c	1.00±0.00 b	26.67±9.27 c	26.67±9.27 c	26.67±9.27 c	1.03±0.01 c	1.04±0.02 cd	1.03±0.01 cd
F-test			**	**	*	**	**	**	**	**	**
CV (%)			21.7472	19.3515	7.3416	48.1159	48.1159	48.1159	3.6429	3.6122	4.8084

*มีความแตกต่างอย่างมีนัยสำคัญทางสถิติ

** มีความแตกต่างกันอย่างมีนัยสำคัญยิ่งทางสถิติ

¹ค่าเฉลี่ยที่มีอักษรกำกับต่างกันในแต่ละแถวมีความแตกต่างกันอย่างมีนัยสำคัญทางสถิติเมื่อเปรียบเทียบโดยวิธี Duncan's New Multiple Range Test ที่ระดับความเชื่อมั่น 95%

การทดลองที่ 1.2 ศึกษาสูตรอาหารที่เหมาะสมต่อการเกิดแคลลัสของชิ้นส่วนตายอดจากคัพพะของบัวหลวงพันธุ์บุณชกริก โดยแบ่งออกเป็น 3 การทดลองดังนี้

การทดลองที่ 1.2.1 ศึกษาสูตรอาหารที่เหมาะสมต่อการเกิดแคลลัสของชิ้นส่วนตายอดจากคัพพะที่มีขนาด 3 มิลลิเมตร ของบัวหลวงพันธุ์บุณชกริก โดยนำชิ้นส่วนตายอดจากคัพพะที่มีขนาด 3 มิลลิเมตร มาชักนำการเกิดแคลลัสอาหารแข็งสูตร MS (1962) ที่เติมสารควบคุมการเจริญเติบโตชนิดต่างๆ และเพาะเลี้ยงภายใต้แสง เป็นเวลา 16 ชั่วโมงต่อวัน นาน 8 สัปดาห์ พบว่ามีการเจริญเติบโตของแคลลัสดังนี้

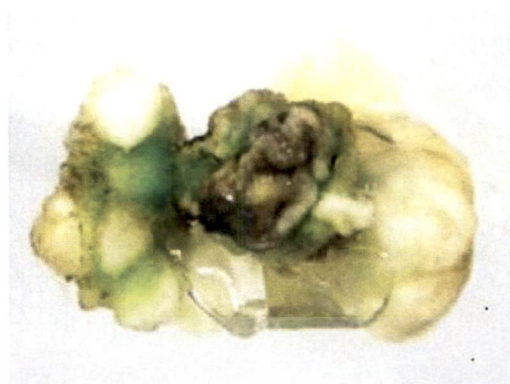
คะแนนการเจริญเติบโตของชิ้นส่วน

จากการนำชิ้นส่วนตายอดจากคัพพะที่มีขนาด 3 มิลลิเมตร มาเพาะเลี้ยงบนอาหารแข็งสูตร MS (1962) ที่เติมสารควบคุมการเจริญเติบโตชนิดต่างๆ พบว่าชิ้นส่วนเกิดเป็นแคลลัสก่อนแล้วจึงเริ่มพัฒนาเป็นเอ็มบริโอจินิกแคลลัสในสัปดาห์ที่ 2 โดยแคลลัสจะเกิดขึ้นที่บริเวณฐานของชิ้นส่วน มีลักษณะเป็นกลุ่มก้อน สีเขียวอ่อน (ภาพที่ 4.2) เอ็มบริโอจินิกแคลลัสมีการเจริญเติบโตดีที่สุดในการอาหารสูตรที่มี NAA ความเข้มข้น 40 ไมโครโมลาร์ ร่วมกับ TDZ ความเข้มข้น 0.5 ไมโครโมลาร์ โดยมีค่าเฉลี่ยคะแนนการเจริญเติบโตอย่างมีนัยสำคัญยิ่งทางสถิติในทุกสัปดาห์ของการทดลอง (ตารางที่ 4.2-4.3) โดยในสัปดาห์ที่ 4 และ 8 มีค่าเฉลี่ยคะแนนการเจริญเติบโตสูงที่สุด 2.33 และ 2.43 คะแนน ตามลำดับ ส่วนอาหารสูตรที่มี picloram 10 ไมโครโมลาร์ ร่วมกับ kinetin 1 ไมโครโมลาร์ อาหารสูตรที่มี picloram 4.14 ไมโครโมลาร์ ร่วมกับ kinetin 4.64 ไมโครโมลาร์ อาหารสูตรที่มี dicamba 11.27 ไมโครโมลาร์ ร่วมกับ picloram 4.14 ไมโครโมลาร์ และอาหารสูตรที่มี triacontanol 11.38 ไมโครโมลาร์ ร่วมกับ BA 1.1 ไมโครโมลาร์ ร่วมกับ IAA 2.85 ไมโครโมลาร์ มีค่าเฉลี่ยคะแนนการเจริญเติบโตเท่ากันคือ 1 คะแนน

เปอร์เซ็นต์การเกิดเอ็มบริโอจินิกแคลลัส

จากการนำชิ้นส่วนตายอดจากคัพพะที่มีขนาด 3 มิลลิเมตร มาเพาะเลี้ยงบนอาหารแข็งสูตร MS (1962) ที่เติมสารควบคุมการเจริญเติบโตชนิดต่างๆ พบว่าแคลลัสเริ่มเกิดขึ้นในสัปดาห์ที่ 2 ของการทดลอง และเปอร์เซ็นต์การเกิดเอ็มบริโอจินิกแคลลัสมีความแตกต่างอย่างมีนัยสำคัญยิ่งทางสถิติ (ตารางที่ 4.2-4.3) โดยสามารถชักนำให้เกิดเอ็มบริโอจินิกแคลลัสได้ในอาหารสูตรที่มี NAA ความเข้มข้น 40 ไมโครโมลาร์ ร่วมกับ TDZ ความเข้มข้น 0.5 ไมโครโมลาร์ ในสัปดาห์ที่ 4 และ 8 มีค่าเฉลี่ยเปอร์เซ็นต์การเกิดเอ็มบริโอจินิกแคลลัสสูงที่สุด 36.67 และ 43.33 เปอร์เซ็นต์ ตามลำดับ ส่วนอาหารสูตรที่มี picloram 10 ไมโครโมลาร์ ร่วมกับ kinetin 1 ไมโครโมลาร์ อาหารสูตรที่มี picloram 4.14 ไมโครโมลาร์ ร่วมกับ kinetin 4.64 ไมโครโมลาร์ อาหารสูตรที่มี dicamba 11.27 ไมโครโมลาร์ ร่วมกับ picloram 4.14 ไมโครโมลาร์ และอาหารสูตรที่มี triacontanol 11.38 ไมโครโมลาร์ ร่วมกับ BA 1.1 ไมโครโมลาร์ ร่วมกับ IAA 2.85 ไมโครโมลาร์ พบว่าไม่เกิดเอ็มบริโอจินิกแคลลัส แต่มีการเจริญเติบโตขึ้นเป็นยอดสีเขียวอ่อน (ภาพที่ 4.3)

เอกสารนี้เป็นเอกสารที่ส่งมอบให้เพื่อใช้ในการวิจัยเท่านั้น ไม่อนุญาตให้นำไปใช้ประโยชน์ด้านการค้า
ไม่ว่ากรณีใดๆ ทั้งสิ้น อีกทั้งห้ามมิให้ดัดแปลงเนื้อหา และต้องอ้างอิงถึงเจ้าของเอกสารทุกครั้งที่มีการนำไปใช้



ภาพที่ 4.2 ลักษณะเอ็มบริโอจินิกแคลลัสที่ได้จากการเพาะเลี้ยงชิ้นส่วนตายอดจากคัพภะที่มีขนาด 3 มิลลิเมตร บนอาหารแข็งสูตร MS (1962) ที่เติม NAA ความเข้มข้น 40 ไมโครโมลาร์ ร่วมกับ TDZ ความเข้มข้น 0.5 ไมโครโมลาร์ (2.85X) เป็นเวลา 8 สัปดาห์



ภาพที่ 4.3 แสดงลักษณะยอดที่ได้จากการเพาะเลี้ยงชิ้นส่วนตายอดจากคัพภะที่มีขนาด 3 มิลลิเมตรบนอาหารแข็งสูตร MS (1962) ที่เติม picloram 4.14 ไมโครโมลาร์ ร่วมกับ kinetin 4.64 ไมโครโมลาร์ (3.29X) เป็นเวลา 8 สัปดาห์

จำนวนยอด

จากการนำชิ้นส่วนตายอดจากคัพภะที่มีขนาด 3 มิลลิเมตร มาเพาะเลี้ยงบนอาหารแข็งสูตร MS (1962) ที่เติมสารควบคุมการเจริญเติบโตชนิดต่างๆ พบว่าในสัปดาห์ที่ 4 จำนวนยอดไม่มีความแตกต่างกันอย่างมีนัยสำคัญทางสถิติ ส่วนในสัปดาห์ที่ 8 มีความแตกต่างกันอย่างมีนัยสำคัญยิ่งทางสถิติ (ตารางที่ 4.7) โดยในสัปดาห์ที่ 4 มีจำนวนยอดในอาหารสูตรที่มี NAA 40 ไมโครโมลาร์ ร่วมกับ TDZ 0.5 ไมโครโมลาร์ อาหารสูตรที่มี picloram 10 ไมโครโมลาร์ ร่วมกับ kinetin 1 ไมโครโมลาร์ อาหารสูตรที่มี picloram 4.14 ไมโครโมลาร์ ร่วมกับ kinetin 4.64 ไมโครโมลาร์ อาหารสูตรที่มี dicamba 11.27 ไมโครโมลาร์ ร่วมกับ picloram 4.14 ไมโครโมลาร์ และอาหารสูตรที่มี

เอกสารนี้เป็นเอกสารที่สงวนไว้สำหรับการใช้งานเพื่อการศึกษาเท่านั้น ไม่อนุญาตให้นำไปเผยแพร่ในสื่อออนไลน์ การค้าไม่ว่ากรณีใดๆ ทั้งสิ้น อีกทั้งห้ามมิให้ดัดแปลงเนื้อหา และต้องอ้างอิงถึงเจ้าของเอกสารทุกครั้งที่มีการนำไปใช้

triacontanol 11.38 ไมโครโมลาร์ ร่วมกับ BA 1.1 ไมโครโมลาร์ ร่วมกับ IAA 2.85 ไมโครโมลาร์ เท่ากันคือ 1 ยอด และในสัปดาห์ที่ 8 มีค่าเฉลี่ยของจำนวนยอดที่เกิดขึ้นสูงที่สุด 2.43 ยอด ในอาหารอาหารสูตรที่มี triacontanol 11.38 ไมโครโมลาร์ ร่วมกับ BA 1.1 ไมโครโมลาร์ ร่วมกับ IAA 2.85 ไมโครโมลาร์

ความยาวยอด

จากการนำชิ้นส่วนตายอดจากคัพภะที่มีขนาด 3 มิลลิเมตร มาเพาะเลี้ยงบนอาหารแข็งสูตร MS (1962) ที่เติมสารควบคุมการเจริญเติบโตชนิดต่างๆ พบว่าความยาวยอดมีความแตกต่างกันอย่างมีนัยสำคัญยิ่งทางสถิติทุกสัปดาห์ของการทดลอง (ตารางที่ 4.8) โดยในทุกสัปดาห์ของการทดลองพบว่าการใช้ triacontanol 11.38 ไมโครโมลาร์ ร่วมกับ BA 1.1 ไมโครโมลาร์ ร่วมกับ IAA 2.85 ไมโครโมลาร์ ทำให้ชิ้นส่วนมีความยาวยอดเพิ่มขึ้นมากที่สุด ในสัปดาห์ที่ 4 มีค่าเฉลี่ยความยาวยอดสูงที่สุด 1.83 เซนติเมตร และการใช้ picloram 10 ไมโครโมลาร์ ร่วมกับ kinetin 1 ไมโครโมลาร์ มีค่าเฉลี่ยความยาวยอดรองลงมา 1.40 เซนติเมตร ส่วนในสัปดาห์ที่ 8 มีค่าเฉลี่ยความยาวยอดสูงที่สุด 2.92 เซนติเมตร และการใช้ dicamba 11.27 ไมโครโมลาร์ ร่วมกับ picloram 4.14 ไมโครโมลาร์ มีค่าเฉลี่ยความยาวยอดรองลงมา 1.57 เซนติเมตร

จำนวนราก

จากการนำชิ้นส่วนตายอดจากคัพภะที่มีขนาด 3 มิลลิเมตร มาเพาะเลี้ยงบนอาหารแข็งสูตร MS (1962) ที่เติมสารควบคุมการเจริญเติบโตชนิดต่างๆ พบว่าจำนวนรากมีความแตกต่างกันอย่างมีนัยสำคัญยิ่งทางสถิติทุกสัปดาห์ของการทดลอง (ตารางที่ 4.9) โดยในทุกสัปดาห์ของการทดลองพบว่าการใช้ triacontanol 11.38 ไมโครโมลาร์ ร่วมกับ BA 1.1 ไมโครโมลาร์ ร่วมกับ IAA 2.85 ไมโครโมลาร์ ทำให้ชิ้นส่วนมีรากเกิดขึ้น โดยเริ่มเกิดรากขึ้นในสัปดาห์ที่ 3 ของการทดลอง ในสัปดาห์ที่ 4 และ 8 มีค่าเฉลี่ยจำนวนรากสูงที่สุด 0.33 และ 3.70 ราก ตามลำดับ ส่วนในอาหารสูตรที่มี NAA ความเข้มข้น 40 ไมโครโมลาร์ ร่วมกับ TDZ ความเข้มข้น 0.5 ไมโครโมลาร์ picloram 10 ไมโครโมลาร์ ร่วมกับ kinetin 1 ไมโครโมลาร์ อาหารสูตรที่มี picloram 4.14 ไมโครโมลาร์ ร่วมกับ kinetin 4.64 ไมโครโมลาร์ และอาหารสูตรที่มี dicamba 11.27 ไมโครโมลาร์ ร่วมกับ picloram 4.14 ไมโครโมลาร์ พบว่าไม่มีรากเกิดขึ้น

ความยาวราก

จากการนำชิ้นส่วนตายอดจากคัพภะที่มีขนาด 3 มิลลิเมตร มาเพาะเลี้ยงบนอาหารแข็งสูตร MS (1962) ที่เติมสารควบคุมการเจริญเติบโตชนิดต่างๆ พบว่าความยาวรากมีความแตกต่างกันอย่างมีนัยสำคัญยิ่งทางสถิติทุกสัปดาห์ของการทดลอง (ตารางที่ 4.10) โดยในทุกสัปดาห์ของการทดลองพบว่าการใช้ triacontanol 11.38 ไมโครโมลาร์ ร่วมกับ BA 1.1 ไมโครโมลาร์ ร่วมกับ IAA 2.85 ไมโครโมลาร์ ทำให้ชิ้นส่วนมีความยาวรากเพิ่มขึ้น และในสัปดาห์ที่ 4 และ 8 มีค่าเฉลี่ยความยาวรากสูงที่สุด 0.04 และ 0.20 เซนติเมตร ตามลำดับ

เอกสารนี้เป็นเอกสารที่สงวนลิขสิทธิ์ไว้เพื่อการศึกษาเท่านั้น ไม่อนุญาตให้นำไปใช้ประโยชน์ด้านการค้า

ไม่ว่ากรณีใดๆ ทั้งสิ้น อีกทั้งห้ามมิให้ดัดแปลงเนื้อหา และต้องอ้างอิงถึงเจ้าของเอกสารทุกครั้งที่มีการนำไปใช้

ตารางที่ 4.2 คะแนนการเจริญเติบโตของชิ้นส่วน เปอร์เซ็นต์การเกิดเอมบริโอจินิกแคลัส จำนวนยอด ความยาวยอด จำนวนราก และความยาวราก จากการเพาะเลี้ยงชิ้นส่วนตาขอดจากคัพภะที่มีขนาด 3 มิลลิเมตร บนอาหารแข็งสูตร MS (1962) ที่เติมสารควบคุมการเจริญเติบโตชนิดต่างๆ เป็นเวลา 4 สัปดาห์

ความเข้มข้นของสารควบคุมการเจริญเติบโต (ไมโครโมลาร์)			คะแนนการ เจริญเติบโต±S.E. ¹	เปอร์เซ็นต์การเกิดเอมบริโอจินิก แคลัส±S.E. ¹	จำนวนยอด±S.E. ¹	ความยาวยอด (เซนติเมตร)±S.E. ¹	จำนวนราก±S.E. ¹	ความยาวราก (เซนติเมตร)±S.E. ¹
NAA 40	TDZ 0.5		2.33±0.06 a	36.67±0.06 a	1.00±0.00	1.00±0.00 c	0.00±0.00 b	0.00±0.00 b
picloram 10	kinetin 1		1.00±0.00 b	0.00±0.00 b	1.00±0.00	1.40±0.03 b	0.00±0.00 b	0.00±0.00 b
picloram 4.14	kinetin 4.64		1.00±0.00 b	0.00±0.00 b	1.00±0.00	1.36±0.02 b	0.00±0.00 b	0.00±0.00 b
dicamba 11.27	picloram 4.14		1.00±0.00 b	0.00±0.00 b	1.00±0.00	1.35±0.02 b	0.00±0.00 b	0.00±0.00 b
triacontanol 11.38	BA 1.1	IAA 2.85	1.00±0.00 b	0.00±0.00 b	1.00±0.00	1.83±0.15 a	0.33±0.04 a	0.04±0.01 a
F-test			**	**	ns	**	**	**
CV (%)			3.6464	51.0672	0.0002	13.7079	4.4965	0.6117

ns ไม่มีความแตกต่างกันทางสถิติ

** มีความแตกต่างกันอย่างมีนัยสำคัญทางสถิติ

¹ค่าเฉลี่ยที่มีอักษรกำกับต่างกันในแนวตั้งมีความแตกต่างกันอย่างมีนัยสำคัญทางสถิติเมื่อเปรียบเทียบโดยวิธี Duncan's New Multiple Range Test ที่ระดับความเชื่อมั่น 95%

ตารางที่ 4.3 คะแนนการเจริญเติบโตของชิ้นส่วน เเปอร์เซ็นต์การเกิดเอ็มบริโอจินิกแคลัสต์ จำนวนยอด ความยาวยอด จำนวนราก และความยาวราก จากการเพาะเลี้ยงชิ้นส่วนตายอดจากคัพพะที่มีขนาด 3 มิลลิเมตร บนอาหารแข็งสูตร MS (1962) ที่เติมสารควบคุมการเจริญเติบโตชนิดต่างๆ เป็นเวลา 8 สัปดาห์

ความเข้มข้นของสารควบคุมการเจริญเติบโต (ไมโครโมลาร์)	คะแนนการ เจริญเติบโต±S.E. ¹	เปอร์เซ็นต์การเกิดเอ็มบริโอจินิก แคลัสต์±S.E. ¹	จำนวนยอด±S.E. ¹	ความยาวยอด (เซนติเมตร)±S.E. ¹	จำนวนราก±S.E. ¹	ความยาวราก (เซนติเมตร)±S.E. ¹
NAA 40	TDZ 0.5	2.43±0.09 a	43.33±0.08 a	1.00±0.00 b	1.00±0.00 c	0.00±0.00 b
picloram 10	kinetin 1	1.00±0.00 b	0.00±0.00 b	1.00±0.00 b	1.46±0.03 b	0.00±0.00 b
picloram 4.14	kinetin 4.64	1.00±0.00 b	0.00±0.00 b	1.00±0.00 b	1.55±0.04 b	0.00±0.00 b
dicamba 11.27	picloram 4.14	1.00±0.00 b	0.00±0.00 b	1.00±0.00 b	1.57±0.03 b	0.00±0.00 b
triacontanol 11.38	BA 1.1 IAA 2.85	1.00±0.00 b	0.00±0.00 b	2.43±0.21 a	2.92±0.13 a	3.70±0.22 a
F-test	**	**	**	**	**	**
CV (%)	6.8346	60.5211	17.8135	8.9091	20.5754	1.4201

** มีความแตกต่างกันอย่างมีนัยสำคัญทางสถิติ

¹ค่าเฉลี่ยที่มีอักษรกำกับต่างกัน ในแนวตั้งมีความแตกต่างกันอย่างมีนัยสำคัญทางสถิติเมื่อเปรียบเทียบโดยวิธี Duncan's New Multiple Range Test ที่ระดับความเชื่อมั่น 95%

การทดลองที่ 1.2.2 ศึกษาผลของ 2,4-D และ picloram ต่อการเกิดแคลลัสจากชิ้นส่วนตายอดจากคัพภะที่มีขนาด 3 มิลลิเมตร ของบัวหลวงพันธุ์มูทริก โดยนำชิ้นส่วนตายอดจากคัพภะของบัวหลวงพันธุ์มูทริกมาชักนำการเกิดแคลลัสบนอาหารแข็งสูตร MS (1962) ที่เติม 2,4-D ที่ระดับความเข้มข้น 0, 13.5, 27.1, 40.7, 54.2 และ 67.8 ไมโครโมลาร์ และ picloram ที่ระดับความเข้มข้น 12.4, 24.8, 37.2, 49.6 และ 62.1 ไมโครโมลาร์ และเพาะเลี้ยงภายใต้แสง เป็นเวลา 16 ชั่วโมงต่อวันนาน 8 สัปดาห์พบว่าการเจริญเติบโตดังนี้

ขนาดแคลลัส

จากการนำชิ้นส่วนตายอดจากคัพภะที่มีขนาด 3 มิลลิเมตร มาเพาะเลี้ยงบนอาหารแข็งสูตร MS (1962) ที่เติมสารควบคุมการเจริญเติบโตชนิดต่างๆ พบว่าค่าเฉลี่ยของขนาดแคลลัส มีความแตกต่างกันอย่างมีนัยสำคัญยิ่งทางสถิติทุกสัปดาห์ของการทดลอง (ตารางที่ 4.4) โดยทั้งในสัปดาห์ที่ 4 และ 8 พบว่า การใช้ picloram ความเข้มข้น 12.4 ไมโครโมลาร์ มีขนาดแคลลัสมากที่สุดเฉลี่ย 0.78 และ 0.84 เซนติเมตร ตามลำดับ ส่วนการใช้ picloram ความเข้มข้น 24.8 ไมโครโมลาร์ มีขนาดแคลลัสรองลงมาเฉลี่ย 0.7 และ 0.72 เซนติเมตร ตามลำดับ และการใช้ 2,4-D ความเข้มข้น 67.8 ไมโครโมลาร์ มีขนาดแคลลัสน้อยที่สุดเฉลี่ย 0.31 และ 0.36 เซนติเมตร ตามลำดับ โดยแคลลัสจะเริ่มเกิดขึ้นในสัปดาห์ที่ 2 ที่บริเวณรอยตัดที่ส่วนฐานของชิ้นส่วนมีลักษณะเป็นเม็ดเกาะกันแน่นจากนั้นจะค่อยๆ เปลี่ยนเป็นสีน้ำตาลเหลืองแต่ส่วนยอดที่เป็นสีเขียวในสัปดาห์ที่ 8 (ภาพที่ 4.4)

จำนวนยอด

จากการนำชิ้นส่วนตายอดจากคัพภะที่มีขนาด 3 มิลลิเมตร มาเพาะเลี้ยงบนอาหารแข็งสูตร MS (1962) ที่เติมสารควบคุมการเจริญเติบโตชนิดต่างๆ พบว่าทั้งในสัปดาห์ที่ 4 และ 8 จำนวนยอดมีความแตกต่างกันอย่างมีนัยสำคัญยิ่งทางสถิติ (ตารางที่ 4.4) โดยทั้งในสัปดาห์ที่ 4 และ 8 มีจำนวนยอดในอาหารสูตรที่มี 2,4-D ที่ระดับความเข้มข้น 13.5, 27.1, 40.7, 54.2 และ 67.8 ไมโครโมลาร์ และ picloram ที่ระดับความเข้มข้น 12.4, 24.8, 37.2, 49.6 และ 62.1 ไมโครโมลาร์ เท่ากันคือ 1 ยอด ซึ่งมีความคงที่ ไม่มีการเปลี่ยนแปลงของจำนวนยอด และมีค่าเฉลี่ยของจำนวนยอดที่เกิดขึ้นสูงที่สุด 1.6 ยอด ในอาหารสูตร MS (1962) ที่ไม่มีสารควบคุมการเจริญเติบโต



ภาพที่ 4.4 ลักษณะยอดที่ได้จากการเพาะเลี้ยงชิ้นส่วนตายอดจากคัพภะที่มีขนาด 3 มิลลิเมตร บนอาหารแข็งสูตร MS (1962) ที่เติม picloram 12.4 ไมโครโมลาร์ (2.56X) เป็นเวลา 8 สัปดาห์

ความยาวยอด

จากการนำชิ้นส่วนตายอดจากคัพภะที่มีขนาด 3 มิลลิเมตร มาเพาะเลี้ยงบนอาหารแข็งสูตร MS (1962) ที่เติมสารควบคุมการเจริญเติบโตชนิดต่างๆ พบว่าความยาวยอดมีความแตกต่างกันอย่างมีนัยสำคัญยิ่งทางสถิติทุกสัปดาห์ของการทดลอง (ตารางที่ 4.4) โดยในทุกสัปดาห์ของการทดลองพบว่าการใช้ picloram ความเข้มข้น 37.2 ไมโครโมลาร์ ทำให้ชิ้นส่วนมีความยาวยอดเพิ่มขึ้นมากที่สุด ในสัปดาห์ที่ 4 มีค่าเฉลี่ยความยาวยอดสูงสุด 1.40 เซนติเมตร และการใช้ picloram ความเข้มข้น 24.8 ไมโครโมลาร์ มีค่าเฉลี่ยความยาวยอดรองลงมา 1.37 เซนติเมตร ส่วนในสัปดาห์ที่ 8 มีค่าเฉลี่ยความยาวยอดสูงสุด 1.51 เซนติเมตร และอาหารสูตร MS (1962) ที่ไม่มีสารควบคุมการเจริญเติบโต มีค่าเฉลี่ยความยาวยอดรองลงมา 1.44 เซนติเมตร

ตารางที่ 4.4 ขนาดของแคลลัส จำนวนยอด และความยาวยอดจากการเพาะเลี้ยงชิ้นส่วนตายอดจากคัพภะที่มีขนาด 3 มิลลิเมตรบนอาหารแข็งสูตร MS (1962) ที่เติมสารควบคุมการเจริญเติบโตชนิดต่างๆ

ความเข้มข้นของสารควบคุมการเจริญเติบโต (ไมโครโมลาร์)	ขนาดแคลลัส (เซนติเมตร)±S.E. ¹		จำนวนยอด±S.E. ¹		ความยาวยอด (เซนติเมตร)±S.E. ¹		
	อายุ (สัปดาห์)		อายุ (สัปดาห์)		อายุ (สัปดาห์)		
	4	8	4	8	4	8	
Control	0.536±0.02e	0.63±0.02cd	1.60±0.18a	1.60±0.18a	0.94±0.03ef	1.44±0.07ab	
2,4-D	13.5	0.57±0.02de	0.62±0.03d	1.00±0.00b	1.00±0.00b	0.97±0.04de	1.22±0.05de
	27.1	0.47±0.02f	0.52±0.03e	1.00±0.00b	1.00±0.00b	0.96±0.03de	1.23±0.08cde
	40.7	0.38±0.00g	0.44±0.01f	1.00±0.00b	1.00±0.00b	0.83±0.03fg	1.00±0.05f
	54.2	0.38±0.01g	0.44±0.04f	1.00±0.00b	1.00±0.00b	0.84±0.04f	1.13±0.09ef
	67.8	0.31±0.01h	0.36±0.03g	1.00±0.00b	1.00±0.00b	0.73±0.03g	0.96±0.01f
picloram	12.4	0.78±0.03a	0.84±0.01a	1.00±0.00b	1.00±0.00b	1.20±0.02c	1.30±0.05b-e
	24.8	0.70±0.02b	0.72±0.02b	1.00±0.00b	1.00±0.00b	1.37±0.04ab	1.40±0.05a-d
	37.2	0.58±0.02de	0.62±0.02d	1.00±0.00b	1.00±0.00b	1.40±0.04a	1.51±0.06a
	49.6	0.67±0.02bc	0.70±0.02bc	1.00±0.00b	1.00±0.00b	1.28±0.04bc	1.42±0.09abc
	62.1	0.63±0.02cd	0.66±0.03bcd	1.00±0.00b	1.00±0.00b	1.05±0.05d	1.14±0.08ef
F-test	**	**	**	**	**	**	
CV (%)	8.2609	9.3076	11.6315	11.6315	7.4636	11.4235	

** มีความแตกต่างกันอย่างมีนัยสำคัญเชิงทางสถิติ

¹ค่าเฉลี่ยที่มีอักษรกำกับต่างกัน ในแนวตั้งมีความแตกต่างกันอย่างมีนัยสำคัญทางสถิติเมื่อเปรียบเทียบโดยวิธี Duncan's New Multiple Range Test ที่ระดับความเชื่อมั่น 95%

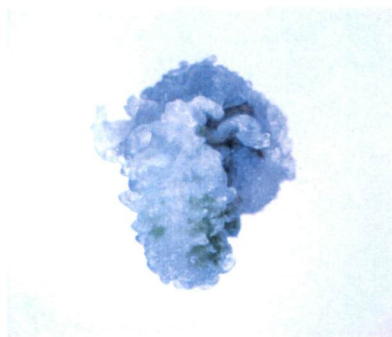
การทดลองที่ 1.2.3 ศึกษาผลของ 2,4-D และ picloram ต่อการเกิดแคลลัสจากชิ้นส่วนเนื้อเยื่อเจริญปลายยอดที่มีขนาด 0.5 มิลลิเมตร ของบัวหลวงพันธุ์อนุชกริก โดยนำชิ้นส่วนเนื้อเยื่อเจริญปลายยอดของบัวหลวงพันธุ์อนุชกริกมาชักนำการเกิดแคลลัสบนอาหารแข็งสูตร MS (1962) ที่เติม 2,4-D ที่ระดับความเข้มข้น 0, 13.5, 27.1, 40.7, 54.2 และ 67.8 ไมโครโมลาร์ และ picloram ที่ระดับความเข้มข้น 12.4, 24.8, 37.2, 49.6 และ 62.1 ไมโครโมลาร์ และเพาะเลี้ยงภายใต้แสง เป็นเวลา 16 ชั่วโมงต่อวันนาน 8 สัปดาห์ พบว่ามีการเจริญเติบโตดังนี้

คะแนนการเจริญเติบโตของแคลลัส

จากการนำชิ้นส่วนเนื้อเยื่อเจริญปลายยอดที่มีขนาด 0.5 มิลลิเมตร มาเพาะเลี้ยงบนอาหารแข็งสูตร MS (1962) ที่เติมสารควบคุมการเจริญเติบโตชนิดต่างๆ พบว่าชิ้นส่วนเริ่มเกิดแคลลัสขึ้นที่บริเวณฐานของชิ้นส่วนในสัปดาห์ที่ 2 และเพิ่มมากขึ้นจนทั่วทั้งชิ้นส่วนจนมีลักษณะเกาะตัวกันอย่างหลวมๆ สีเขียวอ่อน (ภาพที่ 4.5) แคลลัสมีการเจริญเติบโตดีที่สุดในการอาหารสูตรที่มี picloram ความเข้มข้น 24.8 ไมโครโมลาร์ โดยมีค่าเฉลี่ยคะแนนการเจริญเติบโตอย่างมีนัยสำคัญยิ่งทางสถิติในทุกสัปดาห์ของการทดลอง (ตารางที่ 4.5) โดยทั้งในสัปดาห์ที่ 4 และ 8 มีค่าเฉลี่ยคะแนนการเจริญเติบโตสูงที่สุดเท่ากันคือ 3.66 คะแนน ส่วนอาหารสูตร MS (1962) ที่ไม่มีสารควบคุมการเจริญเติบโต มีค่าเฉลี่ยคะแนนการเจริญเติบโตต่ำที่สุด 1.43 คะแนน โดยแคลลัสที่เกิดขึ้นจะเป็นสีเขียวจนถึงสัปดาห์ที่ 6 จากนั้นจะค่อยๆ เปลี่ยนเป็นสีน้ำตาลและตาย

ขนาดแคลลัส

จากการนำชิ้นส่วนเนื้อเยื่อเจริญปลายยอดที่มีขนาด 0.5 มิลลิเมตร มาเพาะเลี้ยงบนอาหารแข็งสูตร MS (1962) ที่เติมสารควบคุมการเจริญเติบโตชนิดต่างๆ พบว่าค่าเฉลี่ยของขนาดแคลลัส มีความแตกต่างกันอย่างมีนัยสำคัญยิ่งทางสถิติทุกสัปดาห์ของการทดลอง (ตารางที่ 4.5) จากการสังเกต พบว่าขนาดแคลลัสมีความคงที่ตั้งแต่สัปดาห์ที่ 4 ของการทดลอง ไม่มีการเปลี่ยนแปลงเพิ่มขนาดขึ้นอีก โดยทั้งในสัปดาห์ที่ 4 และ 8 พบว่า การใช้ picloram ความเข้มข้น 24.8 ไมโครโมลาร์ มีขนาดแคลลัสมากที่สุดเฉลี่ยเท่ากันคือ 0.52 เซนติเมตร ส่วนการใช้ 2,4-D ความเข้มข้น 40.7 ไมโครโมลาร์ มีขนาดแคลลัสรองลงมาเฉลี่ยเท่ากันคือ 0.33 เซนติเมตร และอาหารสูตร MS (1962) ที่ไม่มีสารควบคุมการเจริญเติบโต มีขนาดแคลลัสน้อยที่สุดเฉลี่ยเท่ากันคือ 0.09 เซนติเมตร



ภาพที่ 4.5 ลักษณะแคลลัสที่ได้จากการเพาะเลี้ยงชิ้นเนื้อเยื่อเจริญปลายยอดที่มีขนาด 0.5 มิลลิเมตร บนอาหารแข็งสูตร MS (1962) ที่เติม picloram 24.8 ไมโครโมลาร์ (3.9X) เป็นเวลา 8 สัปดาห์

ตารางที่ 4.5 คะแนนการเจริญเติบโตและขนาดแคลลัสจากการเพาะเลี้ยงชิ้นเนื้อเยื่อเจริญปลายยอดที่มีขนาด 0.5 มิลลิเมตร บนอาหารสูตร MS (1962) ที่เติมสารควบคุมการเจริญเติบโตชนิดต่างๆ

ความเข้มข้นของสารควบคุมการเจริญเติบโต (ไมโครโมลาร์)	คะแนนการเจริญเติบโต±S.E. ¹		ขนาดแคลลัส (เซนติเมตร)±S.E. ¹	
	อายุ (สัปดาห์)		อายุ (สัปดาห์)	
	4	8	4	8
Control	1.43±0.40g	1.43±0.40g	0.09±0.01f	0.09±0.01f
2,4-D	13.5	2.44±0.21de	2.44±0.21de	0.22±0.06de
	27.1	2.29±0.29e	2.29±0.29e	0.26±0.02b-d
	40.7	2.49±0.36cde	2.49±0.36cde	0.33±0.07b
	54.2	2.65±0.21bcd	2.65±0.21bcd	0.31±0.01bc
	67.8	2.76±0.20bc	2.76±0.20bc	0.29±0.01bcd
picloram	12.4	2.80±0.21bc	2.80±0.21bc	0.23±0.01cd
	24.8	3.66±0.21a	3.66±0.21a	0.52±0.05a
	37.2	2.96±0.07b	2.96±0.07b	0.25±0.03b-e
	49.6	2.31±0.35e	2.31±0.35e	0.17±0.02ef
	62.1	1.75±0.23f	1.75±0.23f	0.22±0.01de
F-test	**	**	**	**
CV (%)	5.3815	5.3815	14.3034	14.3034

** มีความแตกต่างกันอย่างมีนัยสำคัญทางสถิติ

¹ค่าเฉลี่ยที่มีอักษรกำกับต่างกันในแต่ละแถวที่มีความแตกต่างกันอย่างมีนัยสำคัญทางสถิติเมื่อเปรียบเทียบโดยวิธี Duncan's New Multiple Range Test ที่ระดับความเชื่อมั่น 95%

เอกสารนี้เป็นเอกสารที่สงวนไว้สำหรับการใช้งานเพื่อการศึกษาเท่านั้น ไม่อนุญาตให้นำไปใช้ประโยชน์ด้านการค้า
ไม่ว่ากรณีใดๆ ทั้งสิ้น อีกทั้งห้ามมิให้ดัดแปลงเนื้อหา และต้องอ้างอิงถึงเจ้าของเอกสารทุกครั้งที่มีการนำไปใช้

4.2 ศึกษาสูตรอาหารที่เหมาะสมต่อการเกิดยอดจากชิ้นส่วนแคลลัสของบัวหลวงพันธุ์ พันธุ์บุณทริก

การทดลองที่ 2 การศึกษาสูตรอาหารที่เหมาะสมต่อการชักนำให้เกิดยอดจากแคลลัสของบัวหลวงพันธุ์บุณทริก

นำชิ้นส่วนตายอดจากคัพพะที่มีขนาด 3 มิลลิเมตร ของบัวหลวงพันธุ์บุณทริก มาชักนำการเกิดแคลลัสบนอาหารแข็งสูตร MS (1962) ที่เติม NAA 40 ไมโครโมลาร์ ร่วมกับ TDZ 0.5 ไมโครโมลาร์ เป็นเวลา 8 สัปดาห์ (ภักวดี ภักดีงาม. 2548) ที่ได้จากการทดลองที่ 1.2.1 แล้วนำมาใช้เป็นชิ้นส่วนเริ่มต้นในการชักนำให้เกิดยอดจากแคลลัสของบัวหลวงพันธุ์บุณทริก โดยนำมาเพาะเลี้ยงบนอาหารสูตร MS (1962) ที่เติม BA ที่ระดับความเข้มข้น 0, 40, 50 และ 60 ไมโครโมลาร์ และเพาะเลี้ยงภายใต้แสง เป็นเวลา 16 ชั่วโมงต่อวันนาน 8 สัปดาห์ พบว่ามีการเจริญเติบโตดังนี้

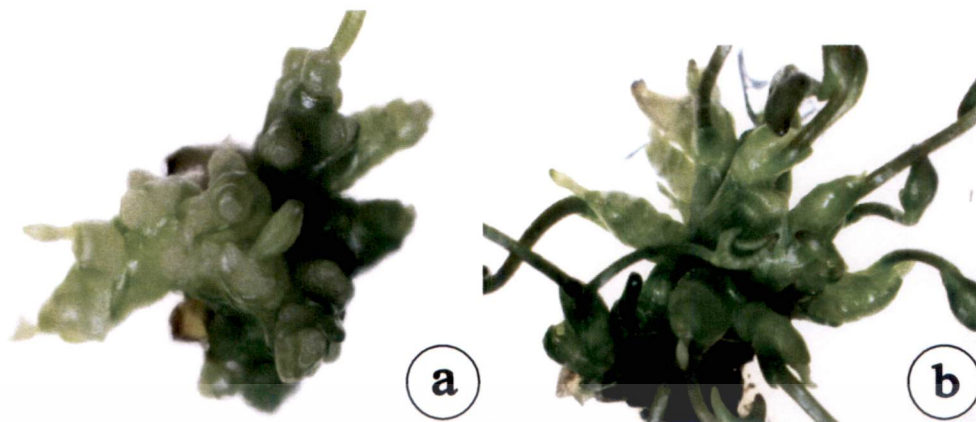
ขนาดเอมบริโอจินิกแคลลัส

จากการนำเอมบริโอจินิกแคลลัสของบัวหลวงพันธุ์บุณทริกมาเพาะเลี้ยงบนอาหารสูตร MS (1962) ที่เติมสารควบคุมการเจริญเติบโตชนิดต่างๆ โดยเริ่มเกิดเอมบริโอจินิกแคลลัสขึ้นในสัปดาห์ที่ 2 ของการทดลอง แล้วจึงเริ่มพัฒนาเป็นยอด พบว่าค่าเฉลี่ยของขนาดเอมบริโอจินิกแคลลัสมีความแตกต่างกันอย่างมีนัยสำคัญทางสถิติในสัปดาห์ที่ 4 (ตารางที่ 4.6) โดยพบว่าการใช้ BA ความเข้มข้น 50 ไมโครโมลาร์ มีขนาดเอมบริโอจินิกแคลลัสมากที่สุดเฉลี่ย 1.19 เซนติเมตร ส่วนการใช้ BA ความเข้มข้น 40 ไมโครโมลาร์ มีขนาดเอมบริโอจินิกแคลลัสรองลงมาเฉลี่ย 0.81 เซนติเมตร ส่วนในสัปดาห์ที่ 8 พบว่าค่าเฉลี่ยของขนาดเอมบริโอจินิกแคลลัสมีความแตกต่างกันอย่างมีนัยสำคัญยิ่งทางสถิติ โดยพบว่าการใช้ BA ความเข้มข้น 50 ไมโครโมลาร์ มีขนาดเอมบริโอจินิกแคลลัสมากที่สุดเฉลี่ย 1.32 เซนติเมตร ส่วนการใช้ BA ความเข้มข้น 40 ไมโครโมลาร์ มีขนาดเอมบริโอจินิกแคลลัสรองลงมาเฉลี่ย 1.19 เซนติเมตร

จำนวนยอด

จากการนำแคลลัสของบัวหลวงพันธุ์บุณทริกมาเพาะเลี้ยงบนอาหารสูตร MS (1962) ที่เติมสารควบคุมการเจริญเติบโตชนิดต่างๆ พบว่าจำนวนยอดไม่มีความแตกต่างกันอย่างมีนัยสำคัญทางสถิติในสัปดาห์ที่ 4 (ตารางที่ 4.6) โดยพบว่าการใช้ BA ความเข้มข้น 50 ไมโครโมลาร์ มีจำนวนยอดมากที่สุดเฉลี่ย 4.33 ยอด ส่วนการใช้ BA ความเข้มข้น 40 ไมโครโมลาร์ มีจำนวนยอดรองลงมาเฉลี่ย 4 ยอด ส่วนในสัปดาห์ที่ 8 พบว่าจำนวนยอดมีความแตกต่างกันอย่างมีนัยสำคัญยิ่งทางสถิติ โดยพบว่าการใช้ BA ความเข้มข้น 50 ไมโครโมลาร์ มีจำนวนยอดมากที่สุดเฉลี่ย 8.67 ยอด ส่วนการใช้ BA ความเข้มข้น 40 ไมโครโมลาร์ มีจำนวนยอดรองลงมาเฉลี่ย 5.07 ยอด โดยเริ่มเกิดยอดขึ้นในสัปดาห์ที่ 4 ของการทดลอง ซึ่งยอดที่เกิดขึ้นจะเริ่มมีลักษณะเป็นกลุ่มยอดเล็กๆ จำนวนมากสีเขียวอ่อน และมีการพัฒนาเป็นยอดสีเขียวที่มีใบเกิดขึ้น (ภาพที่ 4.6)

เอกสารนี้เป็นเอกสารที่สงวนไว้สำหรับการใช้งานเพื่อการศึกษาเท่านั้น ไม่อนุญาตให้นำไปใช้ประโยชน์ด้านการค้า ไม่ว่าจะกรณีใดๆ ทั้งสิ้น อีกทั้งห้ามมิให้ดัดแปลงเนื้อหา และต้องอ้างอิงถึงเจ้าของเอกสารทุกครั้งที่มีการนำไปใช้



ภาพที่ 4.6 ลักษณะยอดที่ได้จากการเพาะเลี้ยงชิ้นส่วนเอ็มบริโอจินิกแคลล์สบนอาหารแข็งสูตร MS (1962) ที่เติม BA 50 ไมโครโมลาร์ a คือลักษณะกลุ่มยอดเล็กๆสีเขียวอ่อนที่เกิดขึ้น (3.33X) b คือยอดสีเขียวที่มีใบเกิดขึ้น (2.78X) เมื่อเพาะเลี้ยงไปเป็นเวลา 8 และ 12 สัปดาห์ ตามลำดับ

ความยาวยอด

จากการนำแคลล์สของบัวหลวงพันธุ์มัทริกาเพาะเลี้ยงบนอาหารสูตร MS (1962) ที่เติมสารควบคุมการเจริญเติบโตชนิดต่างๆ พบว่าค่าเฉลี่ยของความยาวยอดมีความแตกต่างกันอย่างมีนัยสำคัญทางสถิติทุกสัปดาห์ของการทดลอง (ตารางที่ 4.6) โดยทั้งในสัปดาห์ที่ 4 และ 8 พบว่าการใช้ อาหารสูตร MS (1962) ที่ไม่มีสารควบคุมการเจริญเติบโต มีความยาวยอดมากที่สุดเฉลี่ย 0.96 และ 1.02 เซนติเมตร ตามลำดับ ส่วนการใช้ BA ความเข้มข้น 40 ไมโครโมลาร์ มีความยาวยอดรองลงมาเฉลี่ย 0.58 เซนติเมตร ในสัปดาห์ที่ 4 ส่วนในสัปดาห์ที่ 8 พบว่าการใช้ BA ความเข้มข้น 50 ไมโครโมลาร์ มีความยาวยอดรองลงมาเฉลี่ย 0.78 เซนติเมตร

จำนวนใบ

จากการนำแคลล์สของบัวหลวงพันธุ์มัทริกาเพาะเลี้ยงบนอาหารสูตร MS (1962) ที่เติมสารควบคุมการเจริญเติบโตชนิดต่างๆ พบว่าค่าเฉลี่ยของจำนวนใบไม่มีความแตกต่างกันอย่างมีนัยสำคัญทางสถิติทุกสัปดาห์ของการทดลอง (ตารางที่ 4.6) โดยในสัปดาห์ที่ 4 พบว่าการใช้อาหารสูตร MS (1962) ที่ไม่มีสารควบคุมการเจริญเติบโต มีจำนวนใบมากที่สุดเฉลี่ย 3.67 ใบ ส่วนการใช้ BA ความเข้มข้น 50 ไมโครโมลาร์ มีจำนวนใบรองลงมาเฉลี่ย 3.22 ใบ ในสัปดาห์ที่ 8 พบว่าการใช้ BA ความเข้มข้น 50 ไมโครโมลาร์ มีจำนวนใบมากที่สุดเฉลี่ย 4.84 ใบ ส่วนการใช้อาหารสูตร MS (1962) ที่ไม่มีสารควบคุมการเจริญเติบโตมีจำนวนใบรองลงมาเฉลี่ย 3.22 ใบ

ความยาวใบ

จากการนำแคลล์สของบัวหลวงพันธุ์มัทริกาเพาะเลี้ยงบนอาหารสูตร MS (1962) ที่เติมสารควบคุมการเจริญเติบโตชนิดต่างๆ พบว่าค่าเฉลี่ยของความยาวใบมีความแตกต่างกันอย่างมี

นัยสำคัญยิ่งทางสถิติทุกสัปดาห์ของการทดลอง (ตารางที่4.6) โดยทั้งในสัปดาห์ที่ 4 และ 8 พบว่า การใช้อาหารสูตร MS (1962) ที่ไม่มีสารควบคุมการเจริญเติบโต มีความยาวใบมากที่สุดเฉลี่ย 1.49 และ 2.08 เซนติเมตร ตามลำดับ ส่วนการใช้ BA ความเข้มข้น 40 ไมโครโมลาร์ มีความยาวใบ รองลงมาเฉลี่ย 0.57 เซนติเมตร ในสัปดาห์ที่ 4 ส่วนในสัปดาห์ที่ 8 พบว่า การใช้ BA ความเข้มข้น 50 ไมโครโมลาร์ มีความยาวใบรองลงมาเฉลี่ย 0.84 เซนติเมตร



เอกสารนี้เป็นเอกสารที่สงวนไว้สำหรับการใช้งานเพื่อการศึกษาเท่านั้น ไม่อนุญาตให้นำไปใช้ประโยชน์ด้านการค้า
ไม่ว่ากรณีใดๆ ทั้งสิ้น อีกทั้งห้ามมิให้ตัดแปลงเนื้อหา และต้องอ้างอิงถึงเจ้าของเอกสารทุกครั้งที่มีการนำไปใช้

ตารางที่ 4.6 ขนาดเอมบริโอจินิกเซลล์ จำนวนยอด ความยาวยอด จำนวนใบ และความยาวใบ จากการเพาะเลี้ยงชิ้นส่วนเซลล์ที่ได้จากการเพาะเลี้ยงบนอาหารสูตร MS (1962) ที่เติม NAA 40 ไมโครลาร์ ร่วมกับ TDZ 0.5 ไมโครโมลาร์ เป็นเวลา 8 สัปดาห์ แล้วนำมาเพาะเลี้ยงบนอาหารแข็งสูตร MS (1962) ที่เติมสารควบคุมการเจริญเติบโตชนิดต่างๆ

ความเข้มข้นของ BA (ไมโครโมลาร์)	ขนาดเอมบริโอจินิกเซลล์ (เซนติเมตร)±S.E. ¹		จำนวนยอด±S.E. ¹		ความยาวยอด (เซนติเมตร)±S.E. ¹		จำนวนใบ±S.E. ¹		ความยาวใบ (เซนติเมตร)±S.E. ¹	
	อายุ (สัปดาห์)		อายุ (สัปดาห์)		อายุ (สัปดาห์)		อายุ (สัปดาห์)		อายุ (สัปดาห์)	
	4	8	4	8	4	8	4	8	4	8
BA 0	0.63±0.03b	0.64±0.09b	1.00±0.00	1.40±0.16c	0.96±0.15a	1.02±0.09a	3.67±0.61	3.22±0.12	1.49±0.28a	2.08±0.03a
40	0.81±0.06b	1.19±0.11a	4.00±0.85	5.07±0.57b	0.58±0.03b	0.77±0.07b	2.71±0.77	2.55±1.12	0.57±0.12b	0.69±0.28b
50	1.19±0.14a	1.32±0.10a	4.33±1.00	8.67±0.77a	0.56±0.05b	0.78±0.03b	3.22±0.79	4.84±0.68	0.47±0.14b	0.84±0.08b
60	0.79±0.03b	0.82±0.06b	3.13±0.69	3.78±0.70b	0.50±0.04b	0.63±0.02b	2.16±0.12	2.33±0.41	0.41±0.09b	0.57±0.06b
F-test	*	**	ns	**	*	*	ns	ns	**	**
CV (%)	18.1496	17.4148	38.4311	22.6594	19.2252	12.5675	24.0603	34.7109	21.4322	35.4563

ns ไม่มีความแตกต่างกันทางสถิติ

* มีความแตกต่างอย่างมีนัยสำคัญทางสถิติ

** มีความแตกต่างกันอย่างมีนัยสำคัญทางสถิติ

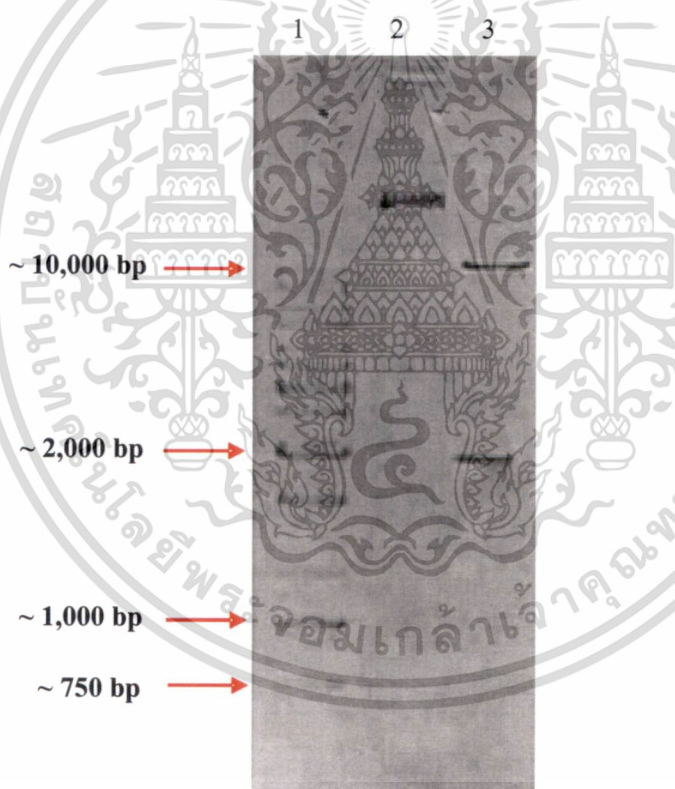
¹ค่าเฉลี่ยที่มีอักษรกำกับต่างกัน ในแนวตั้งมีความแตกต่างกันอย่างมีนัยสำคัญทางสถิติเมื่อเปรียบเทียบโดยวิธี Duncan's New Multiple Range Test ที่ระดับความเชื่อมั่น 95%

4.3 ศึกษาสถานะที่เหมาะสมต่อการถ่ายยีน Antisense Dihydroflavonol 4-Reductase (anti-DFR) เข้าสู่บัวหลวงพันธุ์มูณฑกริก

4.3.1 ผลของการเพิ่มปริมาณพลาสมิด pCAMBIA2301anti-DFR

4.3.1.1 การตรวจสอบพลาสมิดสายผสม pCAMBIA2301anti-DFR โดยใช้ FlavoPrep™ Plasmid DNA Extraction Mini Kit

นำพลาสมิดสายผสม pCAMBIA2301anti-DFR ที่ได้จากการเพิ่มปริมาณมาสกัดพลาสมิดตามวิธีการ 3.4.4.3 โดยทำการตัดด้วยเอนไซม์ตัดจำเพาะ *EcoRI* และ *HindIII* (ภาพที่ 3.6) เมื่อนำมาตรวจสอบความเข้มข้นในเจลอะกาโรส 1 เปอร์เซ็นต์ ได้ผลดังภาพที่ 4.7 พบว่าช่องที่ 3 พบแถบดีเอ็นเอ 2 ชั้นคือ ขนาดประมาณ 2,000 คู่เบส และขนาดประมาณ 10,000 คู่เบส แสดงว่าในพลาสมิด pCAMBIA2301anti-DFR มียีน anti-DFR ซึ่งเป็นพลาสมิดที่ต้องการ



ภาพที่ 4.7 การตรวจสอบพลาสมิด pCAMBIA2301anti-DFR หลังจากการเชื่อมต่อกับการตัดด้วยเอนไซม์ตัดจำเพาะ *EcoRI* และ *HindIII*

ช่องที่ 1 ดีเอ็นเอมาตรฐานชนิด 1 kb DNA ladder

ช่องที่ 2 พลาสมิด pCAMBIA2301anti-DFR

ช่องที่ 3 พลาสมิด pCAMBIA2301anti-DFR ตัดด้วยเอนไซม์ *EcoRI* และ *HindIII* ได้แถบดีเอ็นเอขนาด ประมาณ 2,000 คู่เบส และขนาดประมาณ 10,000 คู่เบส

เอกสารนี้เป็นเอกสารที่สงวนไว้สำหรับการใช้งานเพื่อการศึกษาเท่านั้น ไม่อนุญาตให้นำไปใช้ประโยชน์ด้านการค้าไม่ว่ากรณีใดๆ ทั้งสิ้น อีกทั้งห้ามมิให้ดัดแปลงเนื้อหา และต้องอ้างอิงถึงเจ้าของเอกสารทุกครั้งที่มีการนำไปใช้

การทดลองที่ 3 การศึกษาการถ่ายยีน Antisense Dihydroflavonol 4-Reductase (anti-DFR) ด้วยพลาสมิด pCAMBIA2301anti-DFR เข้าสู่บัวหลวงพันธุ์บุณชกริก โดยแบ่งเป็น 2 การทดลองดังนี้

การทดลองที่ 3.1 การถ่ายยีน anti-DFR ด้วยพลาสมิด pCAMBIA2301anti-DFR เข้าสู่ชิ้นส่วนยอดของบัวหลวงพันธุ์บุณชกริก โดยใช้ชิ้นส่วนที่ได้จากการเพาะเลี้ยงเอ็มบริโอจินิกแคลลัสบนอาหารสูตร MS (1962) ที่เติม BA ความเข้มข้น 50 ไมโครโมลาร์ เป็นเวลา 8 สัปดาห์ ที่ได้จากการทดลองที่ 2

4.3.2 การตรวจสอบต้นพืชที่ได้รับการถ่ายยีนด้วยวิธี Gus histochemical assay แบบ Transient expression

การตรวจสอบการแสดงออกของยีน *GUS* แบบชั่วคราว (transient expression) เป็นการวัดประสิทธิภาพการถ่ายยีนเบื้องต้น ทำตามข้อ 3.4.6.1 ทำการตรวจสอบหลังจากการถ่ายยีนเป็นเวลา 3 วัน โดยนับจำนวนจุดสีน้ำเงินบนเนื้อเยื่อเป้าหมายที่ถูกย้อมด้วยอนุภาคทองคำที่เคลือบด้วยพลาสมิดดีเอ็นเอ pCAMBIA2301anti-DFR พบว่าสภาพการถ่ายยีนที่ทำให้จำนวนจุดสีน้ำเงินมากที่สุดในการถ่ายยีนเข้าสู่ชิ้นส่วนยอดคือ การใช้แรงดันก๊าซฮีเลียมที่ 1,100 ปอนด์ต่อตารางนิ้ว และใช้ระยะห่างของเนื้อเยื่อเป้าหมาย 6 เซนติเมตร โดยมีค่าการแสดงออกของยีน *GUS* แบบ transient expression เฉลี่ย 4.8 จุดต่อชิ้นเนื้อเยื่อ และมีเปอร์เซ็นต์ชิ้นส่วนยอดที่เกิดจุดสีน้ำเงิน 35.71 เปอร์เซ็นต์ ส่วนในสภาพอื่นๆ พบว่าไม่มีการติดสีน้ำเงินของชิ้นส่วน (ตารางที่ 4.7 และภาพที่ 4.8)

ตารางที่ 4.7 การแสดงออกของยีน *GUS* แบบ transient expression ของเนื้อเยื่อส่วนยอดของบัวหลวงพันธุ์บุณชกริกที่ถ่ายยีนด้วยเครื่องยิงอนุภาคแบบ PDS-1000/He

แรงดันก๊าซฮีเลียม (ปอนด์ต่อตารางนิ้ว)	ระยะห่างของเนื้อเยื่อ (เซนติเมตร)	เปอร์เซ็นต์ของจำนวน ชิ้นที่เกิดจุดสีน้ำเงิน	จำนวนจุดสีน้ำเงิน เฉลี่ยต่อชิ้นส่วน
1,100	6	37.1	4.8
	9	0	0
1,350	6	0	0
	9	0	0



ภาพที่ 4.8 การแสดงออกของยีน *GUS* บนชิ้นส่วนยอดของบัวหลวงมูณฑกริก ที่ได้รับการถ่ายยีนด้วยเครื่องยิงอนุภาคแบบ PDS-1000/He ตรวจสอบด้วยวิธี GUS histochemical assay ภายหลังจากการถ่ายยีนเป็นเวลา 3 วัน

หลังจากการถ่ายยีนจึงย้ายชิ้นส่วนมาเลี้ยงบนอาหารคัดเลือกสูตร MS (1962) ที่เติม kanamycin ความเข้มข้น 50 มิลลิกรัมต่อลิตร และ BA ความเข้มข้น 50 ไมโครโมลาร์ เป็นเวลา 8 สัปดาห์ โดยเปลี่ยนอาหารทุก 2 สัปดาห์ จากนั้นนำต้นที่รอดจากการเลี้ยงบนอาหารคัดเลือกมาเลี้ยงในอาหารเหลวบนอาหารแข็งสูตร MS (1962) ที่เติม BA ความเข้มข้น 4.44 ไมโครโมลาร์ ร่วมกับ NAA ความเข้มข้น 0.54 ไมโครโมลาร์ (Shou *et al.* 2008) โดยเปลี่ยนอาหารทุก 4 สัปดาห์ พบว่าการเจริญเติบโตดังนี้

จำนวนยอด

จากการเพาะเลี้ยงชิ้นส่วนยอดบนอาหารคัดเลือกสูตร MS (1962) ที่เติม kanamycin ความเข้มข้น 50 มิลลิกรัมต่อลิตร และ BA ความเข้มข้น 50 ไมโครโมลาร์ เมื่อพิจารณาผลของ Rupture disk พบว่า จำนวนยอดมีความแตกต่างกันอย่างมีนัยสำคัญยิ่งทางสถิติทุกสัปดาห์ของการทดลอง (ตารางที่ 4.9) ทั้งในสัปดาห์ที่ 4 และ 8 พบว่าการใช้ Rupture disk ขนาด 1,100 ปอนด์ต่อตารางนิ้ว ชิ้นส่วนมีจำนวนยอดมากที่สุดเฉลี่ยเท่ากับคือ 4.33 ยอด ส่วนการใช้ Rupture disk ขนาด 1,350 ปอนด์ต่อตารางนิ้ว ชิ้นส่วนมีจำนวนยอดรองลงมาเฉลี่ยเท่ากับคือ 3.58 ยอด

เมื่อพิจารณาผลของระยะห่างของซูดิงกับชิ้นส่วนเป้าหมาย พบว่าจำนวนยอดมีความแตกต่างกันอย่างมีนัยสำคัญยิ่งทางสถิติทุกสัปดาห์ของการทดลอง ทั้งในสัปดาห์ที่ 4 และ 8 พบว่าที่ระยะห่าง 9 เซนติเมตร ชิ้นส่วนมีจำนวนยอดมากที่สุดเฉลี่ยเท่ากับคือ 4.58 ยอด ส่วนที่ระยะห่าง 6 เซนติเมตร ชิ้นส่วนมีจำนวนยอดรองลงมาเฉลี่ยเท่ากับคือ 3.33 ยอด

และเมื่อพิจารณาผลของ Rupture disk ร่วมกับ ระยะห่างของซูดิงกับชิ้นส่วนเป้าหมาย พบว่าจำนวนยอดมีความแตกต่างกันอย่างมีนัยสำคัญยิ่งทางสถิติทุกสัปดาห์ของการทดลอง ทั้งในสัปดาห์ที่ 4 และ 8 พบว่าการใช้ Rupture disk ขนาด 1,100 ปอนด์ต่อตารางนิ้ว ร่วมกับ ระยะห่าง 9

เซนติเมตร มีจำนวนยอดมากที่สุดเฉลี่ยเท่ากับคือ 4.83 ยอด ส่วนการใช้ Rupture disk ขนาด 1,350 ปอนด์ต่อตารางนิ้ว ร่วมกับ ระยะห่าง 9 เซนติเมตร มีจำนวนยอดรองลงมาเฉลี่ยเท่ากับคือ 4.33 ยอด

ความยาวยอด

จากการเพาะเลี้ยงชิ้นส่วนยอดบนอาหารคัดเลือกสูตร MS (1962) ที่เติม kanamycin ความเข้มข้น 50 มิลลิกรัมต่อลิตร และ BA ความเข้มข้น 50 ไมโครโมลาร์ เมื่อพิจารณาผลของ Rupture disk พบว่าความยาวยอดไม่มีความแตกต่างกันอย่างมีนัยสำคัญทางสถิติทุกสัปดาห์ของการทดลอง (ตารางที่ 4.9) ทั้งในสัปดาห์ที่ 4 และ 8 พบว่า การใช้ Rupture disk ขนาด 1,100 ปอนด์ต่อตารางนิ้ว ชิ้นส่วนมีความยาวยอดมากที่สุดเฉลี่ยเท่ากับคือ 0.53 เซนติเมตร ส่วนการใช้ Rupture disk ขนาด 1,350 ปอนด์ต่อตารางนิ้ว ชิ้นส่วนมีความยาวยอดรองลงมาเฉลี่ยเท่ากับคือ 0.39 เซนติเมตร

เมื่อพิจารณาผลของระยะห่างของซูดึงกับชิ้นส่วนเป้าหมาย พบว่าความยาวยอดไม่มีความแตกต่างกันอย่างมีนัยสำคัญทางสถิติทุกสัปดาห์ของการทดลอง ทั้งในสัปดาห์ที่ 4 และ 8 พบว่าที่ระยะห่าง 9 เซนติเมตร ชิ้นส่วนมีความยาวยอดมากที่สุดเฉลี่ยเท่ากับคือ 0.50 เซนติเมตร ส่วนที่ระยะห่าง 6 เซนติเมตร ชิ้นส่วนมีความยาวยอดรองลงมาเฉลี่ยเท่ากับคือ 0.42 เซนติเมตร

และเมื่อพิจารณาผลของ Rupture disk ร่วมกับ ระยะห่างของซูดึงกับชิ้นส่วนเป้าหมาย พบว่าความยาวยอด ไม่มีความแตกต่างกันอย่างมีนัยสำคัญทางสถิติทุกสัปดาห์ของการทดลอง ทั้งในสัปดาห์ที่ 4 และ 8 พบว่า การใช้ Rupture disk ขนาด 1,100 ปอนด์ต่อตารางนิ้ว ร่วมกับ ระยะห่าง 9 เซนติเมตร มีความยาวยอดมากที่สุดเฉลี่ยเท่ากับคือ 0.54 เซนติเมตร ส่วนการใช้ Rupture disk ขนาด 1,100 ปอนด์ต่อตารางนิ้ว ร่วมกับ ระยะห่าง 6 เซนติเมตร มีความยาวยอดรองลงมาเฉลี่ยเท่ากับคือ 0.52 เซนติเมตร

เปอร์เซ็นต์การตายของชิ้นส่วนบนอาหารคัดเลือก

จากการเพาะเลี้ยงชิ้นส่วนยอดบนอาหารคัดเลือกสูตร MS (1962) ที่เติม kanamycin ความเข้มข้น 50 มิลลิกรัมต่อลิตร และ BA ความเข้มข้น 50 ไมโครโมลาร์ เมื่อพิจารณาผลของ Rupture disk พบว่า เปอร์เซ็นต์การตายของชิ้นส่วนไม่มีความแตกต่างกันอย่างมีนัยสำคัญทางสถิติทุกสัปดาห์ (ตารางที่ 4.9) ในสัปดาห์ที่ 8 พบว่า การใช้ Rupture disk ขนาด 1,100 ปอนด์ต่อตารางนิ้ว ชิ้นส่วนมีเปอร์เซ็นต์การตายมากที่สุดเฉลี่ย 30 เปอร์เซ็นต์ ส่วนการใช้ Rupture disk ขนาด 1,350 ปอนด์ต่อตารางนิ้ว ชิ้นส่วนมีเปอร์เซ็นต์การตายรองลงมาเฉลี่ย 28.33 เปอร์เซ็นต์

เมื่อพิจารณาผลของระยะห่างของซูดึงกับชิ้นส่วนเป้าหมาย พบว่าเปอร์เซ็นต์การตายของชิ้นส่วนไม่มีความแตกต่างกันอย่างมีนัยสำคัญทางสถิติ ในสัปดาห์ที่ 8 พบว่าที่ระยะห่าง 6 เซนติเมตร ชิ้นส่วนมีเปอร์เซ็นต์การตายมากที่สุดเฉลี่ย 30 เปอร์เซ็นต์ ส่วนที่ระยะห่าง 9 เซนติเมตร ชิ้นส่วนมีเปอร์เซ็นต์การตายรองลงมาเฉลี่ย 28.33 เปอร์เซ็นต์

และเมื่อพิจารณาผลของ Rupture disk ร่วมกับ ระยะห่างของซูดึงกับชิ้นส่วนเป้าหมาย พบว่าเปอร์เซ็นต์การตายของชิ้นส่วนไม่มีความแตกต่างกันอย่างมีนัยสำคัญทางสถิติ โดยชิ้นส่วนจะ

เริ่มหยุดการเจริญเติบโตหลังจากสัปดาห์ที่ 3 ของการทดลอง และเริ่มเปลี่ยนเป็นสีน้ำตาล ซึ่งในสัปดาห์ที่ 8 พบว่าการใช้ Rupture disk ขนาด 1,100 ปอนด์ต่อตารางนิ้ว ร่วมกับ ระยะห่าง 9 เซนติเมตร และการใช้ Rupture disk ขนาด 1,350 ปอนด์ต่อตารางนิ้ว ร่วมกับ ระยะห่าง 6 เซนติเมตร ขึ้นส่วนมีเปอร์เซ็นต์การตายมากที่สุดเฉลี่ยเท่ากับคือ 33.33 เปอร์เซ็นต์ ส่วนการใช้ Rupture disk ขนาด 1,100 ปอนด์ต่อตารางนิ้ว ร่วมกับ ระยะห่าง 6 เซนติเมตร ขึ้นส่วนมีเปอร์เซ็นต์การตายรองลงมาเฉลี่ย 26.67 เปอร์เซ็นต์



เอกสารนี้เป็นเอกสารที่สงวนไว้สำหรับการใช้งานเพื่อการศึกษาเท่านั้น ไม่อนุญาตให้นำไปใช้ประโยชน์ด้านการค้า
ไม่ว่ากรณีใดๆ ทั้งสิ้น อีกทั้งห้ามมิให้ดัดแปลงเนื้อหา และต้องอ้างอิงถึงเจ้าของเอกสารทุกครั้งที่มีการนำไปใช้

ตารางที่ 4.8 จำนวนยอด ความยาวยอด และเปอร์เซ็นต์การตายของชิ้นส่วน จากการเพาะเลี้ยงชิ้นส่วนแคลลัสที่ได้จากการเพาะเลี้ยงบนอาหารแข็งสูตร MS (1962) ที่เติม BA 50 ไมโครลาร์ เป็นเวลา 8 สัปดาห์ แล้วนำมาเพาะเลี้ยงบนอาหารคัดเลือกสูตร MS (1962) ที่เติม kanamycin 50 มิลลิกรัมต่อลิตร ร่วมกับ BA 50 ไมโครโมลาร์

Treatment		จำนวนยอด±S.E. ¹		ความยาวยอด (เซนติเมตร)±S.E. ¹		เปอร์เซ็นต์การตาย±S.E. ¹
		อายุ (สัปดาห์)		อายุ (สัปดาห์)		อายุ (สัปดาห์)
		4	8	4	8	8
Rupture disk	1,100	4.33±0.02a	4.33±0.02a	0.53±0.02	0.53±0.02	30.00±12.25
ปอนด์ต่อตารางนิ้ว (psi)	1,350	3.58±0.01b	3.58±0.01b	0.39±0.01	0.39±0.01	28.33±11.57
F-test		**	**	ns	ns	ns
ระยะห่างของจุดขึงกับชิ้นส่วนเป้าหมาย	6	3.33±0.01b	3.33±0.01b	0.42±0.01	0.42±0.01	30.00±12.25
เซนติเมตร (cm)	9	4.58±0.02a	4.58±0.02a	0.50±0.02	0.50±0.02	28.33±11.57
F-test		**	**	ns	ns	ns
Rupture disk 1,100 psi	ระยะห่าง 6 cm	3.83±0.17c	3.83±0.17c	0.52±0.15	0.52±0.15	26.67±8.82
	ระยะห่าง 9 cm	4.83±0.17a	4.83±0.17a	0.54±0.04	0.54±0.04	33.33±17.64
Rupture disk 1,350 psi	ระยะห่าง 6 cm	2.83±0.17d	2.83±0.17d	0.31±0.04	0.31±0.04	33.33±6.67
	ระยะห่าง 9 cm	4.33±0.17b	4.33±0.17b	0.46±0.05	0.46±0.05	23.33±8.82
F-test		**	**	ns	ns	ns
CV (%)		6.3158	6.3158	29.7741	29.7741	55.9241

ns ไม่มีความแตกต่างกันทางสถิติ ** มีความแตกต่างกันอย่างมีนัยสำคัญทางสถิติ

¹ค่าเฉลี่ยที่มีอักษรกำกับต่างกันในแต่ละแถวมีความแตกต่างกันอย่างมีนัยสำคัญทางสถิติเมื่อเปรียบเทียบกับวิธี Duncan's New Multiple Range Test ที่ระดับความเชื่อมั่น 95%

4.3.3 การเจริญเติบโตของชิ้นส่วนบนอาหารสูตร MS (1962) ที่เติม BA 4.44 ไมโครโมลาร์ ร่วมกับ NAA 0.54 ไมโครโมลาร์ (Shou *et al.* 2008)

นำชิ้นส่วนยอดที่เพาะเลี้ยงบนอาหารคัดเลือกสูตร MS (1962) ที่เติม kanamycin ความเข้มข้น 50 มิลลิกรัมต่อลิตร และ BA ความเข้มข้น 50 ไมโครโมลาร์ เป็นเวลา 8 สัปดาห์ โดยเปลี่ยนอาหารทุก 2 สัปดาห์ จากนั้นนำต้นที่รอดจากการเลี้ยงบนอาหารคัดเลือกมาเลี้ยงในอาหารเหลวบนอาหารแข็งสูตร MS (1962) ที่เติม BA ความเข้มข้น 4.44 ไมโครโมลาร์ ร่วมกับ NAA ความเข้มข้น 0.54 ไมโครโมลาร์ โดยเปลี่ยนอาหารทุก 4 สัปดาห์พบว่ามีการเจริญเติบโตดังนี้

การเจริญเติบโตของยอด

จากการเพาะเลี้ยงชิ้นส่วนยอดบนอาหารคัดเลือกสูตร MS (1962) ที่เติม kanamycin ความเข้มข้น 50 มิลลิกรัมต่อลิตร และ BA ความเข้มข้น 50 ไมโครโมลาร์ โดยพบว่าในช่วงสัปดาห์แรกจนถึงสัปดาห์ที่ 8 ชิ้นส่วนมีความคงที่ไม่มีการเจริญเติบโตเพิ่มเติมจากการเลี้ยงบนอาหารแข็งสูตร MS (1962) ที่เติม kanamycin ความเข้มข้น 50 กรัมต่อลิตร และมี BA ความเข้มข้น 50 ไมโครโมลาร์ และเริ่มมีการเปลี่ยนแปลงหลังจากสัปดาห์ที่ 12 อย่างช้าๆ

เมื่อพิจารณาผลของ Rupture disk พบว่าคะแนนการเจริญเติบโตไม่มีความแตกต่างกันอย่างมีนัยสำคัญทางสถิติทุกสัปดาห์ของการทดลอง (ตารางที่ 4.10) ทั้งในสัปดาห์ที่ 12 และ 16 พบว่าการใช้ Rupture disk ขนาด 1,100 ปอนด์ต่อตารางนิ้ว ชิ้นส่วนมีคะแนนการเจริญเติบโตมากที่สุดเฉลี่ยเท่ากับคือ 1.65 คะแนน ส่วนการใช้ Rupture disk ขนาด 1,350 ปอนด์ต่อตารางนิ้ว ชิ้นส่วนมีคะแนนการเจริญเติบโตรองลงมาเฉลี่ยเท่ากับคือ 1.25 คะแนน

เมื่อพิจารณาผลของระยะห่างของซูดอิงกับชิ้นส่วนเป้าหมาย พบว่าคะแนนการเจริญเติบโตมีความแตกต่างกันอย่างมีนัยสำคัญทางสถิติทุกสัปดาห์ของการทดลอง ทั้งในสัปดาห์ที่ 12 และ 16 พบว่าที่ระยะห่าง 9 เซนติเมตร ชิ้นส่วนมีคะแนนการเจริญเติบโตมากที่สุดเฉลี่ยเท่ากับคือ 1.73 คะแนน ส่วนที่ระยะห่าง 6 เซนติเมตร ชิ้นส่วนมีคะแนนการเจริญเติบโตรองลงมาเฉลี่ยเท่ากับคือ 1.17 คะแนน

และเมื่อพิจารณาผลของ Rupture disk ร่วมกับ ระยะห่างของซูดอิงกับชิ้นส่วนเป้าหมาย พบว่าคะแนนการเจริญเติบโตไม่มีความแตกต่างกันอย่างมีนัยสำคัญทางสถิติทุกสัปดาห์ของการทดลอง โดยในสัปดาห์ที่ 3 ของการทดลอง ชิ้นส่วนส่วนใหญ่เริ่มเปลี่ยนเป็นสีน้ำตาลและมีการเจริญเติบโตช้ามาก ทั้งในสัปดาห์ที่ 12 และ 16 พบว่าการใช้ Rupture disk ขนาด 1,100 ปอนด์ต่อตารางนิ้ว ร่วมกับ ระยะห่าง 9 เซนติเมตร มีคะแนนการเจริญเติบโตมากที่สุดเฉลี่ยเท่ากับคือ 1.87 คะแนน ส่วนการใช้ Rupture disk ขนาด 1,350 ปอนด์ต่อตารางนิ้ว ร่วมกับ ระยะห่าง 9 เซนติเมตร มีคะแนนการเจริญเติบโตรองลงมาเฉลี่ยเท่ากับคือ 1.60 คะแนน

จำนวนยอด

จากการนำชิ้นส่วนยอดมาเพาะเลี้ยงในอาหารเหลวบนอาหารแข็งสูตร MS (1962) ที่เติม BA ความเข้มข้น 4.44 ไมโครโมลาร์ ร่วมกับ NAA ความเข้มข้น 0.54 ไมโครโมลาร์ เมื่อพิจารณาผลของ Rupture disk ในสัปดาห์ที่ 12 จำนวนยอดมีความแตกต่างกันอย่างมีนัยสำคัญทางสถิติ (ตารางที่ 4.10) พบว่าการใช้ Rupture disk ขนาด 1,100 ปอนด์ต่อตารางนิ้ว ชิ้นส่วนมีจำนวนยอดมากที่สุดเฉลี่ย 4.33 ยอด ส่วนการใช้ Rupture disk ขนาด 1,350 ปอนด์ต่อตารางนิ้ว ชิ้นส่วนมีจำนวนยอดรองลงมาเฉลี่ย 3.58 ยอด ส่วนในสัปดาห์ที่ 16 จำนวนยอดไม่มีความแตกต่างอย่างมีนัยสำคัญทางสถิติ พบว่าการใช้ Rupture disk ขนาด 1,100 ปอนด์ต่อตารางนิ้ว ชิ้นส่วนมีจำนวนยอดมากที่สุดเฉลี่ย 6.48 ยอด ส่วนการใช้ Rupture disk ขนาด 1,350 ปอนด์ต่อตารางนิ้ว ชิ้นส่วนมีจำนวนยอดรองลงมาเฉลี่ย 5.43 ยอด

เมื่อพิจารณาผลของระยะห่างของซูดิงกับชิ้นส่วนเป้าหมาย ในสัปดาห์ที่ 12 จำนวนยอดมีความแตกต่างกันอย่างมีนัยสำคัญทางสถิติ พบว่าที่ระยะห่าง 9 เซนติเมตร ชิ้นส่วนมีจำนวนยอดมากที่สุดเฉลี่ย 4.58 ยอด ส่วนที่ระยะห่าง 6 เซนติเมตร ชิ้นส่วนมีจำนวนยอดรองลงมาเฉลี่ย 3.33 ยอด ส่วนในสัปดาห์ที่ 16 ไม่มีความแตกต่างอย่างมีนัยสำคัญทางสถิติ พบว่าที่ระยะห่าง 9 เซนติเมตร ชิ้นส่วนมีจำนวนยอดมากที่สุดเฉลี่ย 6.75 ยอด ส่วนที่ระยะห่าง 6 เซนติเมตร ชิ้นส่วนมีจำนวนยอดรองลงมาเฉลี่ย 5.17 ยอด

และเมื่อพิจารณาผลของ Rupture disk ร่วมกับ ระยะห่างของซูดิงกับชิ้นส่วนเป้าหมาย ในสัปดาห์ที่ 12 จำนวนยอดมีความแตกต่างกันอย่างมีนัยสำคัญทางสถิติ พบว่าการใช้ Rupture disk ขนาด 1,100 ปอนด์ต่อตารางนิ้ว ร่วมกับ ระยะห่าง 9 เซนติเมตร มีจำนวนยอดมากที่สุด 4.83 ยอด ส่วนการใช้ Rupture disk ขนาด 1,350 ปอนด์ต่อตารางนิ้ว ร่วมกับ ระยะห่าง 9 เซนติเมตร มีจำนวนยอดรองลงมาเฉลี่ย 4.33 ยอด ส่วนในสัปดาห์ที่ 16 ไม่มีความแตกต่างอย่างมีนัยสำคัญทางสถิติ พบว่าการใช้ Rupture disk ขนาด 1,100 ปอนด์ต่อตารางนิ้ว ร่วมกับ ระยะห่าง 9 เซนติเมตร มีจำนวนยอดมากที่สุด 6.87 ยอด ส่วนการใช้ Rupture disk ขนาด 1,350 ปอนด์ต่อตารางนิ้ว ร่วมกับ ระยะห่าง 9 เซนติเมตร มีจำนวนยอดรองลงมาเฉลี่ย 6.63 ยอด

ความยาวยอด

จากการนำชิ้นส่วนยอดมาเพาะเลี้ยงในอาหารเหลวบนอาหารแข็งสูตร MS (1962) ที่เติม BA ความเข้มข้น 4.44 ไมโครโมลาร์ ร่วมกับ NAA ความเข้มข้น 0.54 ไมโครโมลาร์ เมื่อพิจารณาผลของ Rupture disk พบว่าความยาวยอดไม่มีความแตกต่างกันอย่างมีนัยสำคัญทางสถิติทุกสัปดาห์ของการทดลอง (ตารางที่ 4.10) ทั้งในสัปดาห์ที่ 12 และ 16 พบว่าการใช้ Rupture disk ขนาด 1,100 ปอนด์ต่อตารางนิ้ว ชิ้นส่วนมีความยาวยอดมากที่สุดเฉลี่ย 0.53 และ 0.64 เซนติเมตร ตามลำดับ ส่วนการใช้ Rupture disk ขนาด 1,350 ปอนด์ต่อตารางนิ้ว ชิ้นส่วนมีความยาวยอดรองลงมาเฉลี่ย 0.39 และ 0.44 เซนติเมตร ตามลำดับ

เมื่อพิจารณาผลของระยะห่างของชุดยิงกับชิ้นส่วนเป้าหมาย พบว่าความยาวยอดไม่มีความแตกต่างกันอย่างมีนัยสำคัญทางสถิติทุกสัปดาห์ของการทดลอง ทั้งในสัปดาห์ที่ 12 และ 16 พบว่าที่ระยะห่าง 9 เซนติเมตร ชิ้นส่วนมีความยาวยอดมากที่สุดเฉลี่ย 0.50 และ 0.59 เซนติเมตร ตามลำดับ ส่วนที่ระยะห่าง 6 เซนติเมตร ชิ้นส่วนมีความยาวยอดรองลงมาเฉลี่ย 0.42 และ 0.49 เซนติเมตร ตามลำดับ

และเมื่อพิจารณาผลของ Rupture disk ร่วมกับ ระยะห่างของชุดยิงกับชิ้นส่วนเป้าหมาย พบว่าความยาวยอดไม่มีความแตกต่างกันอย่างมีนัยสำคัญทางสถิติทุกสัปดาห์ของการทดลอง ในสัปดาห์ที่ 12 พบว่าการใช้ Rupture disk ขนาด 1,100 ปอนด์ต่อตารางนิ้ว ร่วมกับ ระยะห่าง 9 เซนติเมตร มีความยาวยอดมากที่สุด 0.54 เซนติเมตร ส่วนการใช้ Rupture disk ขนาด 1,100 ปอนด์ต่อตารางนิ้ว ร่วมกับ ระยะห่าง 6 เซนติเมตร มีความยาวยอดรองลงมาเฉลี่ย 0.52 เซนติเมตร ส่วนในสัปดาห์ที่ 16 พบว่าการใช้ Rupture disk ขนาด 1,100 ปอนด์ต่อตารางนิ้ว ร่วมกับ ระยะห่าง 6 เซนติเมตร มีความยาวยอดมากที่สุด 0.65 เซนติเมตร ส่วนการใช้ Rupture disk ขนาด 1,100 ปอนด์ต่อตารางนิ้ว ร่วมกับ ระยะห่าง 9 เซนติเมตร มีความยาวยอดรองลงมาเฉลี่ย 0.62 เซนติเมตร

เปอร์เซ็นต์การรอดชีวิตของชิ้นส่วน

จากการนำชิ้นส่วนยอดมาเพาะเลี้ยงในอาหารเหลวบนอาหารแข็งสูตร MS (1962) ที่เติม BA ความเข้มข้น 4.44 ไมโครโมลาร์ ร่วมกับ NAA ความเข้มข้น 0.54 ไมโครโมลาร์ เมื่อพิจารณาผลของ Rupture disk พบว่าเปอร์เซ็นต์การรอดชีวิตของชิ้นส่วนไม่มีความแตกต่างกันอย่างมีนัยสำคัญทางสถิติ (ตารางที่ 4.10) ในสัปดาห์ที่ 16 พบว่าการใช้ Rupture disk ขนาด 1,100 ปอนด์ต่อตารางนิ้ว ชิ้นส่วนมีเปอร์เซ็นต์การรอดชีวิตมากที่สุดเฉลี่ย 56.67 เปอร์เซ็นต์ ส่วนการใช้ Rupture disk ขนาด 1,350 ปอนด์ต่อตารางนิ้ว ชิ้นส่วนมีเปอร์เซ็นต์การรอดชีวิตรองลงมาเฉลี่ย 45 เปอร์เซ็นต์ ตามลำดับ

เมื่อพิจารณาผลของระยะห่างของชุดยิงกับชิ้นส่วนเป้าหมาย พบว่าเปอร์เซ็นต์การรอดชีวิตของชิ้นส่วนไม่มีความแตกต่างกันอย่างมีนัยสำคัญทางสถิติ ในสัปดาห์ที่ 16 พบว่าที่ระยะห่าง 9 เซนติเมตร ชิ้นส่วนมีเปอร์เซ็นต์การรอดชีวิตมากที่สุดเฉลี่ย 63.33 เปอร์เซ็นต์ ส่วนที่ระยะห่าง 6 เซนติเมตร ชิ้นส่วนมีเปอร์เซ็นต์การรอดชีวิตรองลงมาเฉลี่ย 38.33 เปอร์เซ็นต์

และเมื่อพิจารณาผลของ Rupture disk ร่วมกับ ระยะห่างของชุดยิงกับชิ้นส่วนเป้าหมาย พบว่าเปอร์เซ็นต์การรอดชีวิตไม่มีความแตกต่างกันอย่างมีนัยสำคัญทางสถิติ ในสัปดาห์ที่ 16 พบว่าการใช้ Rupture disk ขนาด 1,100 ปอนด์ต่อตารางนิ้ว ร่วมกับ ระยะห่าง 9 เซนติเมตร และการใช้ Rupture disk ขนาด 1,350 ปอนด์ต่อตารางนิ้ว ร่วมกับ ระยะห่าง 9 เซนติเมตร ชิ้นส่วนมีเปอร์เซ็นต์การรอดชีวิตมากที่สุดเฉลี่ยเท่ากันคือ 63.33 เปอร์เซ็นต์ ส่วนการใช้ Rupture disk ขนาด 1,100 ปอนด์ต่อตารางนิ้ว ร่วมกับ ระยะห่าง 6 เซนติเมตร ชิ้นส่วนมีเปอร์เซ็นต์การรอดชีวิตรองลงมาเฉลี่ย 50 เปอร์เซ็นต์

ตารางที่ 4.9 คะแนนการเจริญเติบโตของชิ้นส่วน จำนวนยอด ความยาวยอด และเปอร์เซ็นต์การรอดชีวิตของชิ้นส่วน จากการเพาะเลี้ยงชิ้นส่วนยอดที่ได้จากการเพาะเลี้ยงบนอาหารคัดเลือกสูตร MS (1962) ที่เติม kanamycin 50 มิลลิกรัมต่อลิตร ร่วมกับ BA 50 ไมโครโมลาร์ เป็นเวลา 8 สัปดาห์ แล้วนำมาเพาะเลี้ยงในอาหารเหลวบนอาหารแข็งสูตร MS (1962) ที่เติม BA 4.44 ไมโครโมลาร์ ร่วมกับ NAA 0.54 ไมโครโมลาร์

Treatment		คะแนนการเจริญเติบโต±S.E. ¹		จำนวนยอด±S.E. ¹		ความยาวยอด (เซนติเมตร)±S.E. ¹		เปอร์เซ็นต์การรอดชีวิต±S.E. ¹
		อายุ (สัปดาห์)		อายุ (สัปดาห์)		อายุ (สัปดาห์)		อายุ (สัปดาห์)
		12	16	12	16	12	16	16
Rupture disk	1,100	1.65±0.07	1.65±0.07	4.33±0.02a	6.48±0.65	0.53±0.02	0.64±0.26	56.67±23.14
ปอนด์ต่อตารางนิ้ว (psi)	1,350	1.25±0.05	1.25±0.05	3.58±0.01b	5.43±0.22	0.39±0.01	0.44±0.18	45.00±18.37
F-test		ns	ns	**	ns	ns	ns	ns
ระยะห่างของซูดยกับชิ้นส่วน เป้าหมาย	6	1.17±0.05b	1.17±0.05b	3.33±0.01b	5.17±0.11	0.42±0.01	0.49±0.20	38.33±15.65
เซนติเมตร (cm)	9	1.73±0.07a	1.73±0.07a	4.58±0.02a	6.75±0.11	0.50±0.02	0.59±0.24	63.33±25.85
F-test		*	*	**	ns	ns	ns	ns
Rupture disk 1,100 psi	ระยะห่าง 6 cm	1.43±0.09	1.43±0.09	3.83±0.17c	6.10±0.83	0.52±0.15	0.65±0.22	50.00±10.00
	ระยะห่าง 9 cm	1.87±0.33	1.87±0.33	4.83±0.17a	6.87±0.39	0.54±0.04	0.62±0.05	63.33±20.28
Rupture disk 1,350 psi	ระยะห่าง 6 cm	0.90±0.06	0.90±0.06	2.83±0.17d	4.23±0.79	0.31±0.04	0.33±0.04	26.67±6.67
	ระยะห่าง 9 cm	1.60±0.12	1.60±0.12	4.33±0.17b	6.63±0.33	0.46±0.05	0.55±0.05	63.33±6.67
F-test		ns	ns	**	ns	ns	ns	ns
CV (%)		22.8444	22.8444	6.3158	21.0386	29.7741	37.9292	42.364

ns ไม่มีความแตกต่างกันทางสถิติ

* มีความแตกต่างอย่างมีนัยสำคัญทางสถิติ

** มีความแตกต่างกันอย่างมีนัยสำคัญยิ่งทางสถิติ

¹ค่าเฉลี่ยที่มีอักษรกำกับต่างกันในแต่ละต้นมีความแตกต่างกันอย่างมีนัยสำคัญทางสถิติเมื่อเปรียบเทียบโดยวิธี Duncan's New Multiple Range Test ที่ระดับความเชื่อมั่น 95%

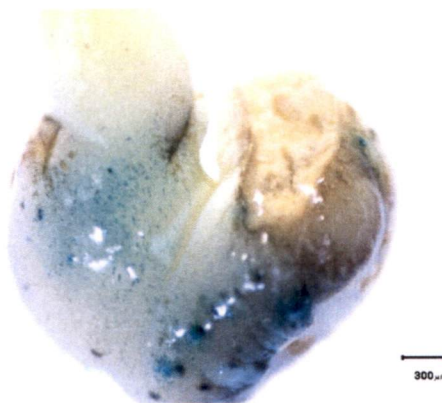
การทดลองที่ 3.2 การถ่ายยีน anti-DFR ด้วยพลาสมิด pCAMBIA2301anti-DFR เข้าสู่ชิ้นส่วนตายออกจากคัพภะที่มีขนาด 3 มิลลิเมตร ของบัวหลวงพันธุ์ภูธริก

4.3.4 การตรวจสอบต้นพืชที่ได้รับการถ่ายยีนด้วยวิธี Gus histochemical assay แบบ Transient expression

การตรวจสอบการแสดงออกของยีน *GUS* แบบชั่วคราว (transient expression) ทำตามข้อ 4.3.2 พบว่าสภาพการถ่ายยีนที่ทำให้จำนวนจุดสีน้ำเงินมากที่สุดในการถ่ายยีนเข้าสู่ชิ้นส่วนตายออกจากคัพภะคือ การใช้แรงดันก๊าซฮีเลียมที่ 1,100 ปอนด์ต่อตารางนิ้ว และใช้ระยะห่างของเนื้อเยื่อเป้าหมาย 6 เซนติเมตร โดยมีค่าการแสดงออกของยีน *GUS* แบบ transient expression เฉลี่ย 26.11 จุดต่อชิ้นเนื้อเยื่อ และมีเปอร์เซ็นต์ชิ้นส่วนตายออกจากคัพภะที่เกิดจุดสีน้ำเงิน 90 เปอร์เซ็นต์ รองลงมาได้แก่ สภาพการใช้แรงดันก๊าซฮีเลียมที่ 1,100 ปอนด์ต่อตารางนิ้ว และใช้ระยะห่างของเนื้อเยื่อเป้าหมาย 9 เซนติเมตร โดยมีค่าการแสดงออกของยีน *GUS* แบบ transient expression เฉลี่ย 3.56 จุดต่อชิ้นเนื้อเยื่อ และมีเปอร์เซ็นต์ชิ้นส่วนตายออกจากคัพภะที่เกิดจุดสีน้ำเงิน 50 เปอร์เซ็นต์ ส่วนสภาพการใช้แรงดันก๊าซฮีเลียมที่ 1,350 ปอนด์ต่อตารางนิ้ว และใช้ระยะห่างของเนื้อเยื่อเป้าหมาย 6 และ 9 เซนติเมตร มีค่าการแสดงออกของยีน *GUS* แบบ transient expression เฉลี่ย 2 และ 1.67 จุดต่อชิ้นเนื้อเยื่อ และมีเปอร์เซ็นต์ชิ้นส่วนตายออกจากคัพภะที่เกิดจุดสีน้ำเงิน 40 และ 30 เปอร์เซ็นต์ ตามลำดับ (ตารางที่ 4.8 และภาพที่ 4.8)

ตารางที่ 4.10 การแสดงออกของยีน *GUS* แบบ transient expression ของเนื้อเยื่อส่วนตายออกจากคัพภะของบัวหลวงพันธุ์ภูธริก ที่ถ่ายยีนด้วยเครื่องยิงอนุภาคแบบ PDS-1000/He

แรงดันก๊าซฮีเลียม (ปอนด์ต่อตารางนิ้ว)	ระยะห่างของเนื้อเยื่อ (เซนติเมตร)	เปอร์เซ็นต์ของจำนวน ชิ้นที่เกิดจุดสีน้ำเงิน	จำนวนจุดสีน้ำเงิน เฉลี่ยต่อชิ้นส่วน
1,100	6	90	26.11
	9	50	3.56
1,350	6	40	2.00
	9	30	1.67



ภาพที่ 4.8 การแสดงออกของยีน *GUS* บนชิ้นส่วนตายอดจากคัพภะของบัวหลวงบุนนฤทธิ์ที่ได้รับ การถ่ายยีนด้วยเครื่องยิงอนุภาคแบบ PDS-1000/He ตรวจสอบด้วยวิธี *GUS* histochemical assay ภายหลังจากถ่ายยีนเป็นเวลา 3 วัน

หลังจากการถ่ายยีน ได้ย้ายชิ้นส่วนมาเลี้ยงบนอาหารคัดเลือกสูตร MS (1962) ที่เติม kanamycin ความเข้มข้น 50 มิลลิกรัมต่อลิตร และ BA ความเข้มข้น 4.44 ไมโครโมลาร์ ร่วมกับ NAA ความเข้มข้น 0.54 ไมโครโมลาร์ เป็นเวลา 8 สัปดาห์ โดยเปลี่ยนอาหารทุก 2 สัปดาห์ จากนั้น นำต้นที่รอดจากการเลี้ยงบนอาหารคัดเลือกมาเลี้ยงในอาหารเหลวบนอาหารแข็งสูตร MS (1962) ที่เติม BA ความเข้มข้น 4.44 ไมโครโมลาร์ ร่วมกับ NAA ความเข้มข้น 0.54 ไมโครโมลาร์ (Shou *et al.* 2008) โดยเปลี่ยนอาหารทุก 4 สัปดาห์ พบว่ามีการเจริญเติบโตดังนี้

จำนวนยอด

จากการเพาะเลี้ยงชิ้นส่วนตายอดจากคัพภะบนอาหารแข็งสูตร MS (1962) ที่เติม kanamycin ความเข้มข้น 50 มิลลิกรัมต่อลิตร และ BA ความเข้มข้น 4.44 ไมโครโมลาร์ ร่วมกับ NAA ความเข้มข้น 0.54 ไมโครโมลาร์ เมื่อพิจารณาผลของ Rupture disk พบว่า จำนวนยอดมีความแตกต่างกันอย่างมีนัยสำคัญทางสถิติทุกสัปดาห์ของการทดลอง (ตารางที่ 4.11) ทั้งในสัปดาห์ที่ 4 และ 8 พบว่าการใช้ Rupture disk ขนาด 1,100 ปอนด์ต่อตารางนิ้ว ชิ้นส่วนมีจำนวนยอดมากที่สุด เฉลี่ยเท่ากับคือ 1.17 ยอด ส่วนการใช้ Rupture disk ขนาด 1,350 ปอนด์ต่อตารางนิ้ว ชิ้นส่วนมีจำนวนยอดรองลงมาเฉลี่ยเท่ากับคือ 0.92 ยอด

เมื่อพิจารณาผลของระยะห่างของชุดยิงกับชิ้นส่วนเป้าหมาย พบว่าจำนวนยอดไม่มีความแตกต่างกันอย่างมีนัยสำคัญทางสถิติทุกสัปดาห์ของการทดลอง ทั้งในสัปดาห์ที่ 4 และ 8 พบว่าที่ ระยะห่าง 9 เซนติเมตร ชิ้นส่วนมีจำนวนยอดมากที่สุดเฉลี่ยเท่ากับคือ 1.11 ยอด ส่วนที่ระยะห่าง 6 เซนติเมตร ชิ้นส่วนมีจำนวนยอดรองลงมาเฉลี่ยเท่ากับคือ 0.98 ยอด

และเมื่อพิจารณาผลของ Rupture disk ร่วมกับ ระยะห่างของชุดยิงกับชิ้นส่วนเป้าหมาย พบว่าจำนวนยอดไม่มีความแตกต่างกันอย่างมีนัยสำคัญทางสถิติทุกสัปดาห์ของการทดลอง ทั้งใน สัปดาห์ที่ 4 และ 8 พบว่าการใช้ Rupture disk ขนาด 1,100 ปอนด์ต่อตารางนิ้ว ร่วมกับ ระยะห่าง 6 เอกสารนี้เป็นเอกสารที่สงวนไว้สำหรับการใช้งานเพื่อการศึกษาเท่านั้น ไม่อนุญาตให้นำไปใช้ประโยชน์ด้านการค้า ไม่ว่าจะกรณีใดๆ ทั้งสิ้น อีกทั้งห้ามมิให้ดัดแปลงเนื้อหา และต้องอ้างอิงถึงเจ้าของเอกสารทุกครั้งที่มีการนำไปใช้

เซนติเมตร มีจำนวนยอดมากที่สุดเฉลี่ยเท่ากับคือ 1.19 ยอด ส่วนการใช้ Rupture disk ขนาด 1,100 ปอนด์ต่อตารางนิ้ว ร่วมกับ ระยะห่าง 9 เซนติเมตร มีจำนวนยอดรองลงมาเฉลี่ยเท่ากับคือ 1.15 ยอด ความยาวยอด

จากการเพาะเลี้ยงชิ้นส่วนตายอดจากคัพเพาะอาหารแข็งสูตร MS (1962) ที่เติม kanamycin ความเข้มข้น 50 มิลลิกรัมต่อลิตร และ BA ความเข้มข้น 4.44 ไมโครโมลาร์ ร่วมกับ NAA ความเข้มข้น 0.54 ไมโครโมลาร์ เมื่อพิจารณาผลของ Rupture disk พบว่าความยาวยอดไม่มีความแตกต่างกันอย่างมีนัยสำคัญทางสถิติทุกสัปดาห์ของการทดลอง (ตารางที่ 4.11) ทั้งในสัปดาห์ที่ 4 และ 8 พบว่าการใช้ Rupture disk ขนาด 1,100 ปอนด์ต่อตารางนิ้ว ชิ้นส่วนมีความยาวยอดมากที่สุดเฉลี่ยเท่ากับคือ 0.83 เซนติเมตร ส่วนการใช้ Rupture disk ขนาด 1,350 ปอนด์ต่อตารางนิ้ว ชิ้นส่วนมีความยาวยอดรองลงมาเฉลี่ยเท่ากับคือ 0.76 เซนติเมตร

เมื่อพิจารณาผลของระยะห่างของชุดยิงกับชิ้นส่วนเป้าหมาย พบว่าความยาวยอดมีความแตกต่างกันอย่างมีนัยสำคัญทางสถิติทุกสัปดาห์ของการทดลอง ทั้งในสัปดาห์ที่ 4 และ 8 พบว่าที่ระยะห่าง 9 เซนติเมตร ชิ้นส่วนมีความยาวยอดมากที่สุดเฉลี่ยเท่ากับคือ 0.86 เซนติเมตร ส่วนที่ระยะห่าง 6 เซนติเมตร ชิ้นส่วนมีความยาวยอดรองลงมาเฉลี่ยเท่ากับคือ 0.73 เซนติเมตร

และเมื่อพิจารณาผลของ Rupture disk ร่วมกับ ระยะห่างของชุดยิงกับชิ้นส่วนเป้าหมาย พบว่าความยาวยอด ไม่มีความแตกต่างกันอย่างมีนัยสำคัญทางสถิติทุกสัปดาห์ของการทดลอง ทั้งในสัปดาห์ที่ 4 และ 8 พบว่าการใช้ Rupture disk ขนาด 1,100 ปอนด์ต่อตารางนิ้ว ร่วมกับ ระยะห่าง 9 เซนติเมตร มีความยาวยอดมากที่สุดเฉลี่ยเท่ากับคือ 0.88 เซนติเมตร ส่วนการใช้ Rupture disk ขนาด 1,350 ปอนด์ต่อตารางนิ้ว ร่วมกับ ระยะห่าง 9 เซนติเมตร มีความยาวยอดรองลงมาเฉลี่ยเท่ากับคือ 0.83 เซนติเมตร

เปอร์เซ็นต์การตายของชิ้นส่วนบนอาหารคัดเลือก

จากการเพาะเลี้ยงชิ้นส่วนตายอดจากคัพเพาะอาหารแข็งสูตร MS (1962) ที่เติม kanamycin ความเข้มข้น 50 มิลลิกรัมต่อลิตร และ BA ความเข้มข้น 4.44 ไมโครโมลาร์ ร่วมกับ NAA ความเข้มข้น 0.54 ไมโครโมลาร์ เมื่อพิจารณาผลของ Rupture disk พบว่า เปอร์เซ็นต์การตายของชิ้นส่วนไม่มีความแตกต่างกันอย่างมีนัยสำคัญทางสถิติ (ตารางที่ 4.11) ในสัปดาห์ที่ 8 พบว่าการใช้ Rupture disk ขนาด 1,100 ปอนด์ต่อตารางนิ้ว ชิ้นส่วนมีเปอร์เซ็นต์การตายมากที่สุดเฉลี่ย 58 เปอร์เซ็นต์ ส่วนการใช้ Rupture disk ขนาด 1,350 ปอนด์ต่อตารางนิ้ว ชิ้นส่วนมีเปอร์เซ็นต์การตายรองลงมาเฉลี่ย 56 เปอร์เซ็นต์

เมื่อพิจารณาผลของระยะห่างของชุดยิงกับชิ้นส่วนเป้าหมาย พบว่าเปอร์เซ็นต์การตายของชิ้นส่วน ไม่มีความแตกต่างกันอย่างมีนัยสำคัญทางสถิติ ในสัปดาห์ที่ 8 พบว่าที่ระยะห่าง 6 เซนติเมตร ชิ้นส่วนมีเปอร์เซ็นต์การตายมากที่สุดเฉลี่ย 58 เปอร์เซ็นต์ ส่วนที่ระยะห่าง 9 เซนติเมตร ชิ้นส่วนเปอร์เซ็นต์การตายรองลงมาเฉลี่ย 56 เปอร์เซ็นต์

เอกสารนี้เป็นเอกสารที่สงวนไว้สำหรับการใช้งานเพื่อการศึกษาเท่านั้น ไม่อนุญาตให้นำไปใช้ประโยชน์ด้านการค้า

ไม่ว่ากรณีใดๆ ทั้งสิ้น อีกทั้งห้ามมิให้ดัดแปลงเนื้อหา และต้องอ้างอิงถึงเจ้าของเอกสารทุกครั้งที่มีการนำไปใช้

และเมื่อพิจารณาผลของ Rupture disk ร่วมกับ ระยะห่างของชุดยิงกับชิ้นส่วนเป้าหมาย พบว่าเปอร์เซ็นต์การตายของชิ้นส่วนไม่มีความแตกต่างกันอย่างมีนัยสำคัญทางสถิติ โดยชิ้นส่วนจะเริ่มหยุดการเจริญเติบโตหลังจากสัปดาห์ที่ 3 ของการทดลอง และเริ่มเปลี่ยนเป็นสีน้ำตาล ซึ่งในสัปดาห์ที่ 8 พบว่าการใช้ Rupture disk ขนาด 1,100 ปอนด์ต่อตารางนิ้ว ร่วมกับ ระยะห่าง 6 เซนติเมตร ชิ้นส่วนมีเปอร์เซ็นต์การตายมากที่สุดเฉลี่ย 62.67 เปอร์เซ็นต์ ส่วนการใช้ Rupture disk ขนาด 1,350 ปอนด์ต่อตารางนิ้ว ร่วมกับ ระยะห่าง 9 เซนติเมตร ชิ้นส่วนมีเปอร์เซ็นต์การตายรองลงมาเฉลี่ย 58 เปอร์เซ็นต์



เอกสารนี้เป็นเอกสารที่สงวนไว้สำหรับการใช้งานเพื่อการศึกษาเท่านั้น ไม่อนุญาตให้นำไปใช้ประโยชน์ด้านการค้า
ไม่ว่ากรณีใดๆ ทั้งสิ้น อีกทั้งห้ามมิให้ตัดแปลงเนื้อหา และต้องอ้างอิงถึงเจ้าของเอกสารทุกครั้งที่มีการนำไปใช้

ตารางที่ 4.11 จำนวนยอด ความยาวยอด และเปอร์เซ็นต์การตายของชิ้นส่วน จากการเพาะเลี้ยงชิ้นส่วนตายอดจากคัพภะที่มีขนาด 3 มิลลิเมตร มาเพาะเลี้ยงบนอาหาร คัดเลือกสูตร MS (1962) ที่เติม kanamycin 50 มิลลิกรัมต่อลิตร และ BA 4.44 ไมโครโมลาร์ ร่วมกับ NAA 0.54 ไมโครโมลาร์

Treatment		จำนวนยอด±S.E. ¹		ความยาวยอด (เซนติเมตร)±S.E. ¹		เปอร์เซ็นต์การตาย±S.E. ¹
		อายุ (สัปดาห์)		อายุ (สัปดาห์)		อายุ (สัปดาห์)
		4	8	4	8	8
Rupture disk	1,100	1.17±0.05a	1.17±0.05a	0.83±0.03	0.83±0.03	58.00±3.68
ปอนด์ต่อตารางนิ้ว (psi)	1,350	0.92±0.04b	0.92±0.04b	0.76±0.03	0.76±0.03	56.00±2.86
F-test		*	*	ns	ns	ns
ระยะห่างของชุดยึงกับชิ้นส่วนเป้าหมาย	6	0.98±0.04	0.98±0.04	0.73±0.03b	0.73±0.03b	58.00±3.68
เซนติเมตร (cm)	9	1.11±0.05	1.11±0.05	0.86±0.04a	0.86±0.04a	56.00±2.86
F-test		ns	ns	*	*	ns
Rupture disk 1,100 psi	ระยะห่าง 6 cm	1.19±0.05	1.19±0.05	0.78±0.01	0.78±0.01	62.67±3.53
	ระยะห่าง 9 cm	1.15±0.07	1.15±0.07	0.88±0.04	0.88±0.04	53.33±2.67
Rupture disk 1,350 psi	ระยะห่าง 6 cm	0.77±0.12	0.77±0.12	0.68±0.09	0.68±0.09	53.33±10.91
	ระยะห่าง 9 cm	1.07±0.15	1.07±0.15	0.83±0.03	0.83±0.03	58.67±4.81
F-test		ns	ns	ns	ns	ns
CV (%)		16.5642	16.5642	9.2362	9.2362	12.3778

ns ไม่มีความแตกต่างกันทางสถิติ

* มีความแตกต่างกันอย่างมีนัยสำคัญทางสถิติ

¹ค่าเฉลี่ยที่มีอักษรกำกับต่างกัน ในแนวตั้งมีความแตกต่างกันอย่างมีนัยสำคัญทางสถิติเมื่อเปรียบเทียบโดยวิธี Duncan's New Multiple Range Test ที่ระดับความเชื่อมั่น 95%

4.3.5 การเจริญเติบโตของชิ้นส่วนบนอาหารสูตร MS (1962) ที่เติม BA ความเข้มข้น 4.44 ไมโครโมลาร์ ร่วมกับ NAA ความเข้มข้น 0.54 ไมโครโมลาร์ (Shou *et al.* 2008)

โดยนำชิ้นส่วนยอดที่เพาะเลี้ยงบนอาหารคัดเลือกสูตร MS (1962) ที่เติม kanamycin ความเข้มข้น 50 มิลลิกรัมต่อลิตร และ BA ความเข้มข้น 4.44 ไมโครโมลาร์ ร่วมกับ NAA ความเข้มข้น 0.54 ไมโครโมลาร์ เป็นเวลา 8 สัปดาห์ โดยเปลี่ยนอาหารทุก 2 สัปดาห์ จากนั้นนำต้นที่รอดจากการเลี้ยงบนอาหารคัดเลือกมาเลี้ยงในอาหารเหลวบนอาหารแข็งสูตร MS (1962) ที่เติม BA ความเข้มข้น 4.44 ไมโครโมลาร์ ร่วมกับ NAA ความเข้มข้น 0.54 ไมโครโมลาร์ โดยเปลี่ยนอาหารทุก 4 สัปดาห์พบว่ามีการเจริญเติบโตดังนี้

การเจริญเติบโตของยอด

จากการเพาะเลี้ยงชิ้นส่วนตายอดจากคัพพะบนอาหารแข็งสูตร MS (1962) ที่เติม kanamycin ความเข้มข้น 50 มิลลิกรัมต่อลิตร และ BA ความเข้มข้น 4.44 ไมโครโมลาร์ ร่วมกับ NAA ความเข้มข้น 0.54 ไมโครโมลาร์ โดยพบว่าในช่วงสัปดาห์แรกจนถึงสัปดาห์ที่ 8 ชิ้นส่วนมีความคงที่ไม่มีการเจริญเติบโตเพิ่มเติมจากการเลี้ยงบนอาหารแข็งสูตร MS (1962) ที่เติม kanamycin ความเข้มข้น 50 ต่อลิตร และมิลลิกรัม BA ความเข้มข้น 50 ไมโครโมลาร์ และเริ่มมีการเปลี่ยนแปลงหลังจากสัปดาห์ที่ 12 อย่างช้าๆ

เมื่อพิจารณาผลของ Rupture disk พบว่าคะแนนการเจริญเติบโตมีความแตกต่างกันอย่างมีนัยสำคัญทางสถิติทุกสัปดาห์ของการทดลอง (ตารางที่ 4.12) ทั้งในสัปดาห์ที่ 12 และ 16 พบว่าการใช้ Rupture disk ขนาด 1,100 ปอนด์ต่อตารางนิ้ว ชิ้นส่วนมีคะแนนการเจริญเติบโตมากที่สุดเฉลี่ยเท่ากับคือ 1.25 คะแนน ส่วนการใช้ Rupture disk ขนาด 1,350 ปอนด์ต่อตารางนิ้ว ชิ้นส่วนมีคะแนนการเจริญเติบโตตรงลงมาเฉลี่ยเท่ากับคือ 1.05 คะแนน

เมื่อพิจารณาผลของระยะห่างของซูดยงกับชิ้นส่วนเป้าหมาย พบว่าคะแนนการเจริญเติบโตมีความแตกต่างกันอย่างมีนัยสำคัญยิ่งทางสถิติทุกสัปดาห์ของการทดลอง ทั้งในสัปดาห์ที่ 12 และ 16 พบว่าที่ระยะห่าง 9 เซนติเมตร ชิ้นส่วนมีคะแนนการเจริญเติบโตมากที่สุดเฉลี่ยเท่ากับคือ 1.27 คะแนน ส่วนที่ระยะห่าง 6 เซนติเมตร ชิ้นส่วนมีคะแนนการเจริญเติบโตตรงลงมาเฉลี่ยเท่ากับคือ 1.03 คะแนน

และเมื่อพิจารณาผลของ Rupture disk ร่วมกับ ระยะห่างของซูดยงกับชิ้นส่วนเป้าหมาย พบว่าคะแนนการเจริญเติบโตมีความแตกต่างกันอย่างมีนัยสำคัญยิ่งทางสถิติทุกสัปดาห์ของการทดลอง โดยในสัปดาห์ที่ 3 ของการทดลอง ชิ้นส่วนส่วนใหญ่เริ่มเปลี่ยนเป็นสีน้ำตาลและมีการเจริญเติบโตช้ามาก ทั้งในสัปดาห์ที่ 12 และ 16 พบว่าการใช้ Rupture disk ขนาด 1,100 ปอนด์ต่อตารางนิ้ว ร่วมกับ ระยะห่าง 9 เซนติเมตร มีคะแนนการเจริญเติบโตมากที่สุดเฉลี่ยเท่ากับคือ 1.33 คะแนน ส่วนการใช้ Rupture disk ขนาด 1,350 ปอนด์ต่อตารางนิ้ว ร่วมกับ ระยะห่าง 9 เซนติเมตร มีคะแนนการเจริญเติบโตตรงลงมาเฉลี่ยเท่ากับคือ 1.20 คะแนน

เอกสารนี้เป็นเอกสารที่สงวนลิขสิทธิ์ไว้เพื่อการศึกษาเท่านั้น ไม่อนุญาตให้นำไปใช้ประโยชน์ด้านการค้า

ไม่ว่ากรณีใดๆ ทั้งสิ้น อีกทั้งห้ามมิให้ดัดแปลงเนื้อหา และต้องอ้างอิงถึงเจ้าของเอกสารทุกครั้งที่มีการนำไปใช้

จำนวนยอด

จากการนำชิ้นส่วนยอดมาเพาะเลี้ยงในอาหารเหลวบนอาหารแข็งสูตร MS (1962) ที่เติม BA ความเข้มข้น 4.44 ไมโครโมลาร์ ร่วมกับ NAA ความเข้มข้น 0.54 ไมโครโมลาร์ เมื่อพิจารณาผลของ Rupture disk พบว่าในสัปดาห์ที่ 12 จำนวนยอดมีความแตกต่างกันอย่างมีนัยสำคัญทางสถิติ (ตารางที่ 4.12) พบว่าการใช้ Rupture disk ขนาด 1,100 ปอนด์ต่อตารางนิ้ว ชิ้นส่วนมีจำนวนยอดมากที่สุดเฉลี่ย 1.17 ยอด ส่วนการใช้ Rupture disk ขนาด 1,350 ปอนด์ต่อตารางนิ้ว ชิ้นส่วนมีจำนวนยอดรองลงมาเฉลี่ย 0.92 ยอด ส่วนในสัปดาห์ที่ 16 ไม่มีความแตกต่างอย่างมีนัยสำคัญทางสถิติ พบว่าการใช้ Rupture disk ขนาด 1,100 ปอนด์ต่อตารางนิ้ว ชิ้นส่วนมีจำนวนยอดมากที่สุดเฉลี่ย 1.65 ยอด ส่วนการใช้ Rupture disk ขนาด 1,350 ปอนด์ต่อตารางนิ้ว ชิ้นส่วนมีจำนวนยอดรองลงมาเฉลี่ย 1.17 ยอด

เมื่อพิจารณาผลของระยะห่างของชุดยิงกับชิ้นส่วนเป้าหมาย พบว่าจำนวนยอดไม่มีความแตกต่างกันอย่างมีนัยสำคัญทางสถิติทุกสัปดาห์ของการทดลอง ทั้งในสัปดาห์ที่ 12 และ 16 พบว่าที่ระยะห่าง 9 เซนติเมตร ชิ้นส่วนมีจำนวนยอดมากที่สุดเฉลี่ย 1.11 และ 1.55 ยอด ตามลำดับ ส่วนที่ระยะห่าง 6 เซนติเมตร ชิ้นส่วนมีจำนวนยอดรองลงมาเฉลี่ย 0.98 และ 1.26 ยอด ตามลำดับ

และเมื่อพิจารณาผลของ Rupture disk ร่วมกับ ระยะห่างของชุดยิงกับชิ้นส่วนเป้าหมาย พบว่าจำนวนยอดไม่มีความแตกต่างกันอย่างมีนัยสำคัญทางสถิติทุกสัปดาห์ของการทดลอง ในสัปดาห์ที่ 12 พบว่าการใช้ Rupture disk ขนาด 1,100 ปอนด์ต่อตารางนิ้ว ร่วมกับ ระยะห่าง 6 เซนติเมตร มีจำนวนยอดมากที่สุด 1.19 ยอด ส่วนการใช้ Rupture disk ขนาด 1,100 ปอนด์ต่อตารางนิ้ว ร่วมกับ ระยะห่าง 9 เซนติเมตร มีจำนวนยอดรองลงมาเฉลี่ย 1.15 ยอด ส่วนในสัปดาห์ที่ 16 พบว่าการใช้ Rupture disk ขนาด 1,100 ปอนด์ต่อตารางนิ้ว ร่วมกับ ระยะห่าง 9 เซนติเมตร มีจำนวนยอดมากที่สุด 1.65 ยอด ส่วนการใช้ Rupture disk ขนาด 1,100 ปอนด์ต่อตารางนิ้ว ร่วมกับ ระยะห่าง 6 เซนติเมตร มีจำนวนยอดรองลงมาเฉลี่ย 1.64 ยอด

ความยาวยอด

จากการนำชิ้นส่วนยอดมาเพาะเลี้ยงในอาหารเหลวบนอาหารแข็งสูตร MS (1962) ที่เติม BA ความเข้มข้น 4.44 ไมโครโมลาร์ ร่วมกับ NAA ความเข้มข้น 0.54 ไมโครโมลาร์ เมื่อพิจารณาผลของ Rupture disk พบว่าความยาวยอดไม่มีความแตกต่างกันอย่างมีนัยสำคัญทางสถิติในสัปดาห์ที่ 12 (ตารางที่ 4.12) พบว่าการใช้ Rupture disk ขนาด 1,100 ปอนด์ต่อตารางนิ้ว ชิ้นส่วนมีความยาวยอดมากที่สุดเฉลี่ย 0.83 เซนติเมตร ส่วนการใช้ Rupture disk ขนาด 1,350 ปอนด์ต่อตารางนิ้ว ชิ้นส่วนมีความยาวยอดรองลงมาเฉลี่ย 0.76 เซนติเมตร ส่วนสัปดาห์ที่ 16 พบว่าความยาวยอดมีความแตกต่างกันอย่างมีนัยสำคัญทางสถิติการใช้ Rupture disk ขนาด 1,100 ปอนด์ต่อตารางนิ้ว ชิ้นส่วนมีความยาวยอดมากที่สุดเฉลี่ย 0.94 เซนติเมตร ส่วนการใช้ Rupture disk ขนาด 1,350 ปอนด์ต่อตารางนิ้ว ชิ้นส่วนมีความยาวยอดรองลงมาเฉลี่ย 0.85 เซนติเมตร

เอกสารนี้เป็นเอกสารที่สงวนไว้สำหรับใช้เพื่อการศึกษาเท่านั้น เมื่ออนุญาตให้นำไปใช้ประโยชน์ด้านการค้า

ไม่ว่ากรณีใดๆ ทั้งสิ้น อีกทั้งห้ามมิให้ดัดแปลงเนื้อหา และต้องอ้างอิงถึงเจ้าของเอกสารทุกครั้งที่มีการนำไปใช้

เมื่อพิจารณาผลของระยะห่างของชุดยิงกับชิ้นส่วนเป้าหมาย พบว่าความยาวยอดมีความแตกต่างกันอย่างมีนัยสำคัญทางสถิติทุกสัปดาห์ของการทดลอง ทั้งในสัปดาห์ที่ 12 และ 16 พบว่าที่ระยะห่าง 9 เซนติเมตร ชิ้นส่วนมีความยาวยอดมากที่สุดเฉลี่ย 0.86 และ 0.95 เซนติเมตร ตามลำดับ ส่วนที่ระยะห่าง 6 เซนติเมตร ชิ้นส่วนมีความยาวยอดรองลงมาเฉลี่ย 0.73 และ 0.84 เซนติเมตร ตามลำดับ

และเมื่อพิจารณาผลของ Rupture disk ร่วมกับ ระยะห่างของชุดยิงกับชิ้นส่วนเป้าหมาย พบว่าความยาวยอดไม่มีความแตกต่างกันอย่างมีนัยสำคัญทางสถิติ ในสัปดาห์ที่ 12 พบว่าการใช้ Rupture disk ขนาด 1,100 ปอนด์ต่อตารางนิ้ว ร่วมกับ ระยะห่าง 9 เซนติเมตร มีความยาวยอดมากที่สุด 0.88 เซนติเมตร ส่วนการใช้ Rupture disk ขนาด 1,350 ปอนด์ต่อตารางนิ้ว ร่วมกับ ระยะห่าง 9 เซนติเมตร มีความยาวยอดรองลงมาเฉลี่ย 0.83 เซนติเมตร ส่วนในสัปดาห์ที่ 16 พบว่าความยาวยอดมีความแตกต่างกันอย่างมีนัยสำคัญทางสถิติ การใช้ Rupture disk ขนาด 1,100 ปอนด์ต่อตารางนิ้ว ร่วมกับ ระยะห่าง 9 เซนติเมตร มีความยาวยอดมากที่สุด 0.97 เซนติเมตร ส่วนการใช้ Rupture disk ขนาด 1,350 ปอนด์ต่อตารางนิ้ว ร่วมกับ ระยะห่าง 9 เซนติเมตร มีความยาวยอดรองลงมาเฉลี่ย 0.92 เซนติเมตร

เปอร์เซ็นต์การรอดชีวิตของชิ้นส่วน

จากการนำชิ้นส่วนยอดมาเพาะเลี้ยงในอาหารเหลวบนอาหารแข็งสูตร MS (1962) ที่เติม BA ความเข้มข้น 4.44 ไมโครโมลาร์ ร่วมกับ NAA ความเข้มข้น 0.54 ไมโครโมลาร์ เมื่อพิจารณาผลของ Rupture disk พบว่าเปอร์เซ็นต์การรอดชีวิตของชิ้นส่วนมีความแตกต่างกันอย่างมีนัยสำคัญยิ่งทางสถิติ (ตารางที่ 4.12) ในสัปดาห์ที่ 16 พบว่าการใช้ Rupture disk ขนาด 1,100 ปอนด์ต่อตารางนิ้ว ชิ้นส่วนมีเปอร์เซ็นต์การรอดชีวิตมากที่สุดเฉลี่ย 30 เปอร์เซ็นต์ ส่วนการใช้ Rupture disk ขนาด 1,350 ปอนด์ต่อตารางนิ้ว ชิ้นส่วนมีเปอร์เซ็นต์การรอดชีวิตรองลงมาเฉลี่ย 21.33 เปอร์เซ็นต์

เมื่อพิจารณาผลของระยะห่างของชุดยิงกับชิ้นส่วนเป้าหมาย พบว่าเปอร์เซ็นต์การรอดชีวิตของชิ้นส่วนมีความแตกต่างกันอย่างมีนัยสำคัญยิ่งทางสถิติ ในสัปดาห์ที่ 16 พบว่าที่ระยะห่าง 9 เซนติเมตร ชิ้นส่วนมีเปอร์เซ็นต์การรอดชีวิตมากที่สุดเฉลี่ย 30.67 เปอร์เซ็นต์ ส่วนที่ระยะห่าง 6 เซนติเมตร ชิ้นส่วนมีเปอร์เซ็นต์การรอดชีวิตรองลงมาเฉลี่ย 20.67 เปอร์เซ็นต์

และเมื่อพิจารณาผลของ Rupture disk ร่วมกับ ระยะห่างของชุดยิงกับชิ้นส่วนเป้าหมาย พบว่าเปอร์เซ็นต์การรอดชีวิตมีความแตกต่างกันอย่างมีนัยสำคัญยิ่งทางสถิติ ในสัปดาห์ที่ 16 พบว่าการใช้ Rupture disk ขนาด 1,100 ปอนด์ต่อตารางนิ้ว ร่วมกับ ระยะห่าง 9 เซนติเมตร ชิ้นส่วนมีเปอร์เซ็นต์การรอดชีวิตมากที่สุดเฉลี่ยเท่ากับคือ 36 เปอร์เซ็นต์ ส่วนการใช้ Rupture disk ขนาด 1,350 ปอนด์ต่อตารางนิ้ว ร่วมกับ ระยะห่าง 9 เซนติเมตร ชิ้นส่วนมีเปอร์เซ็นต์การรอดชีวิตรองลงมาเฉลี่ย 25 เปอร์เซ็นต์

ตารางที่ 4.12 คะแนนการเจริญเติบโตของชิ้นส่วน จำนวนยอด ความยาวยอด และเปอร์เซ็นต์การรอดชีวิตของชิ้นส่วน จากการเพาะเลี้ยงชิ้นส่วนตายนอกจากกัฟกะที่ได้จากการเพาะเลี้ยงบนอาหารคัดเลือกสูตร MS (1962) ที่เติม kanamycin 50 มิลลิกรัมต่อลิตร ร่วมกับ BA 4.44 ไมโครโมลาร์ ร่วมกับ NAA 0.54 ไมโครโมลาร์ เป็นเวลา 8 สัปดาห์ แล้วนำมาเพาะเลี้ยงในอาหารเหลวบนอาหารแข็งสูตร MS (1962) ที่เติม BA 4.44 ไมโครโมลาร์ ร่วมกับ NAA 0.54 ไมโครโมลาร์

Treatment		คะแนนการเจริญเติบโต±S.E. ¹		จำนวนยอด±S.E. ¹		ความยาวยอด (เซนติเมตร)±S.E. ¹		เปอร์เซ็นต์การรอดชีวิต±S.E. ¹
		อายุ (สัปดาห์)		อายุ (สัปดาห์)		อายุ (สัปดาห์)		อายุ (สัปดาห์)
		12	16	12	16	12	16	16
Rupture disk	1,100	1.25±0.05a	1.25±0.05a	1.17±0.05a	1.65±0.07	0.83±0.03	0.94±0.04a	30.00±2.25a
ปอนด์ต่อตารางนิ้ว (psi)	1,350	1.05±0.04b	1.05±0.04b	0.92±0.04b	1.17±0.05	0.76±0.03	0.85±0.04b	21.33±3.71b
F-test		*	*	*	ns	ns	*	**
ระยะห่างของซูดขึงกับชิ้นส่วนเป้าหมาย	6	1.03±0.04b	1.03±0.04b	0.98±0.04	1.26±0.05	0.73±0.03b	0.84±0.04b	20.67±4.40b
เซนติเมตร (cm)	9	1.27±0.05a	1.27±0.05a	1.11±0.05	1.55±0.06	0.86±0.04a	0.95±0.04a	30.67±2.52a
F-test		**	**	ns	ns	*	*	**
Rupture disk 1,100 psi	ระยะห่าง 6 cm	1.16±0.02b	1.16±0.02b	1.19±0.05	1.64±0.01	0.78±0.01	0.91±0.03a	24.00±2.31b
	ระยะห่าง 9 cm	1.33±0.01a	1.33±0.01a	1.15±0.07	1.65±0.21	0.88±0.04	0.97±0.06a	36.00±0.00a
Rupture disk 1,350 psi	ระยะห่าง 6 cm	0.89±0.07c	0.89±0.07c	0.77±0.12	0.88±0.16	0.68±0.09	0.77±0.10b	17.33±2.41c
	ระยะห่าง 9 cm	1.20±0.04b	1.20±0.04b	1.07±0.15	1.45±0.29	0.83±0.03	0.92±0.03a	25.33±3.53b
F-test		**	**	ns	ns	ns	*	**
CV (%)		5.7261	5.7261	16.5642	26.4258	9.2362	6.3355	12.987

ns ไม่มีความแตกต่างกันทางสถิติ

* มีความแตกต่างอย่างมีนัยสำคัญทางสถิติ

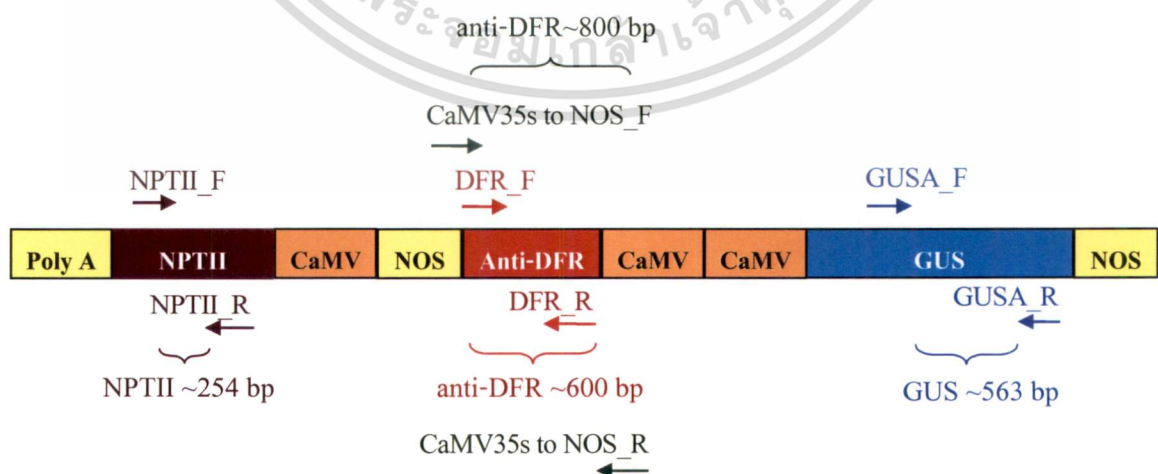
** มีความแตกต่างกันอย่างมีนัยสำคัญยิ่งทางสถิติ

¹ค่าเฉลี่ยที่มีอักษรกำกับต่างกันในแต่ละช่วงมีความแตกต่างกันอย่างมีนัยสำคัญทางสถิติเมื่อเปรียบเทียบโดยวิธี Duncan's New Multiple Range Test ที่ระดับความเชื่อมั่น 95%

4.3.6 การตรวจสอบการมีอยู่ของยีน *NPTII* ยีน *GUS* และยีน *anti-DFR* หลังจากการถ่ายยีน ด้วยวิธี *polymerase chain reaction (PCR)*

หลังจากการถ่ายยีน antisense Dihydroflavonal 4-Reductase (*anti-DFR*) โดยเครื่องยิงอนุภาคแบบ PDS-1000/He โดยมีพลาสมิดทดสอบคือ พลาสมิด pCAMBIA2301*anti-DFR* โดยผ่านการคัดเลือกด้วยสารปฏิชีวนะ kanamycin แล้ว นำต้นบัวหลวงที่สามารถเจริญเติบโตได้ในอาหารคัดเลือก และต้นบัวหลวงปกติที่ไม่ได้รับการถ่ายยีนมาสกัดดีเอ็นเอ แล้วนำดีเอ็นเอที่ได้มาตรวจสอบการมีอยู่ของยีน ด้วยไพรเมอร์ที่มีความจำเพาะต่อยีน *NPTII* ยีน *GUS* และยีน *anti-DFR* ด้วยวิธีพีซีอาร์ โดยใช้ส่วนผสมของปฏิกิริยาและอุณหภูมิของปฏิกิริยาตามรายละเอียดในข้อ 3.4.6.2.2 โดยมีตำแหน่งการจับของคู่ไพรเมอร์ของทั้ง 3 ยีน ดังแสดงในภาพที่ 4.10 จากนั้นนำผลผลิตพีซีอาร์ที่ได้มาแยกขนาดดีเอ็นเอด้วยวิธี electrophoresis ในเจลอะกาโรส 1 เปอร์เซ็นต์ จากผลการตรวจสอบการมีอยู่ของยีน *NPTII* ด้วยชุดไพรเมอร์ที่มีความจำเพาะกับยีน *NPTII* พบว่าเกิดแถบดีเอ็นเอขนาด 254 คู่เบส ของต้นบัวหลวงที่ได้รับการถ่ายยีน ซึ่งมีขนาดเท่ากับแถบดีเอ็นเอที่สังเคราะห์ได้จากพีซีอาร์ของพลาสมิด pCAMBIA2301*anti-DFR* จากการตรวจสอบการมีอยู่ของยีน *GUS* ด้วยชุดไพรเมอร์ที่มีความจำเพาะกับยีน *GUS* พบว่าเกิดแถบดีเอ็นเอขนาด 563 คู่เบส ของต้นบัวหลวงที่ได้รับการถ่ายยีน ซึ่งมีขนาดเท่ากับแถบดีเอ็นเอที่สังเคราะห์ได้จากพีซีอาร์ของพลาสมิด pCAMBIA2301*anti-DFR* (ภาพที่ 4.11)

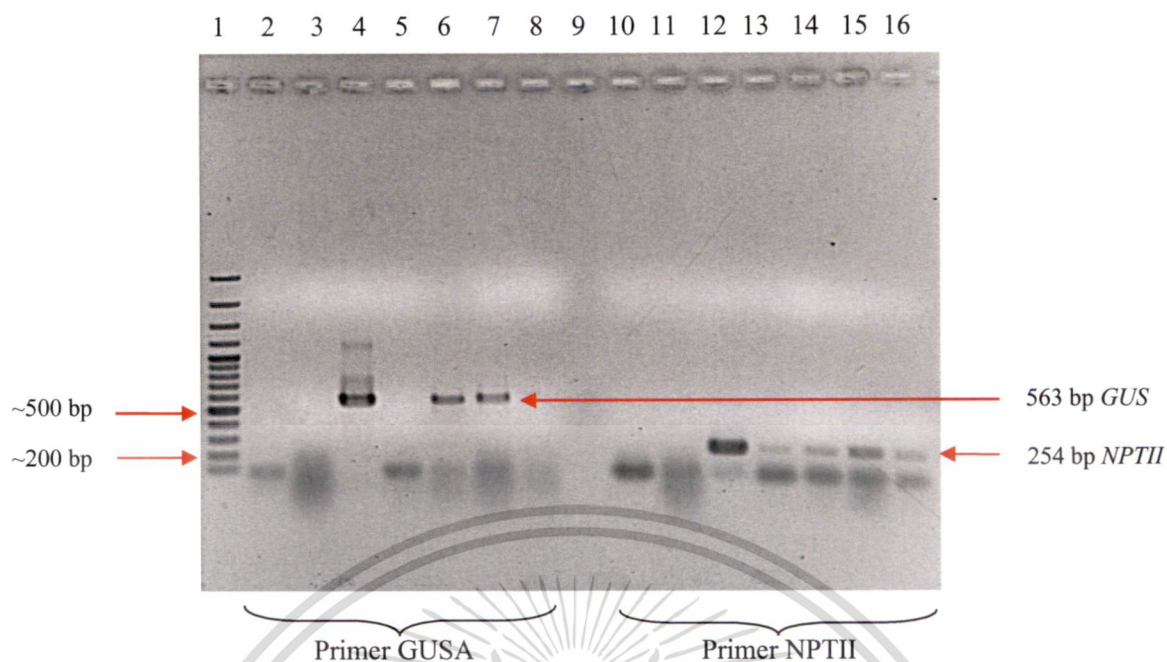
จากการตรวจสอบการมีอยู่ของยีน *anti-DFR* ตั้งแต่บริเวณโปรโมเตอร์ CaMV35S และเทอร์มินเตอร์ NOS ด้วยชุดไพรเมอร์ที่มีความจำเพาะกับยีน *anti-DFR* พบว่าเกิดแถบดีเอ็นเอขนาดประมาณ 800 คู่เบส ของต้นบัวหลวงที่ได้รับการถ่ายยีน ซึ่งมีขนาดเท่ากับแถบดีเอ็นเอที่สังเคราะห์ได้จากพีซีอาร์ของพลาสมิด pCAMBIA2301*anti-DFR* (ภาพที่ 4.12)



ภาพที่ 4.10 ตำแหน่งการเข้าจับของคู่ไพรเมอร์ต่างๆของยีน *NPTII* ยีน *GUS* และยีน *anti-DFR*

ในการทำปฏิกิริยาถูกโซ่พีซีอาร์

เอกสารนี้เป็นเอกสารที่สงวนลิขสิทธิ์ไว้เพื่อการศึกษาเท่านั้น ไม่อนุญาตให้นำไปใช้ประโยชน์ด้านการค้า ไม่ว่าจะกรณีใดๆ ทั้งสิ้น อีกทั้งห้ามมิให้ดัดแปลงเนื้อหา และต้องอ้างอิงถึงเจ้าของเอกสารทุกครั้งที่มีการนำไปใช้



ภาพที่ 4.11 ผลการตรวจสอบการมีอยู่ของยีน โดยใช้ไพรเมอร์ *GUS* และไพรเมอร์ *NPTII*

ช่องที่ 1 คีเอ็นเอมาตรฐานชนิด 100 bp DNA Ladder

ช่องที่ 2 Negative control dH_2O

ช่องที่ 3 Negative control คีเอ็นเอจากต้นบัวหลวงที่ไม่ได้รับการถ่ายยีน

ช่องที่ 4 Positive control คีเอ็นเอจากพลาสมิด pCAMBIA2301DFR

ช่องที่ 5-8 ต้นบัวหลวงที่ได้รับการถ่ายยีนโดยพลาสมิด pCAMBIA2301anti-DFR

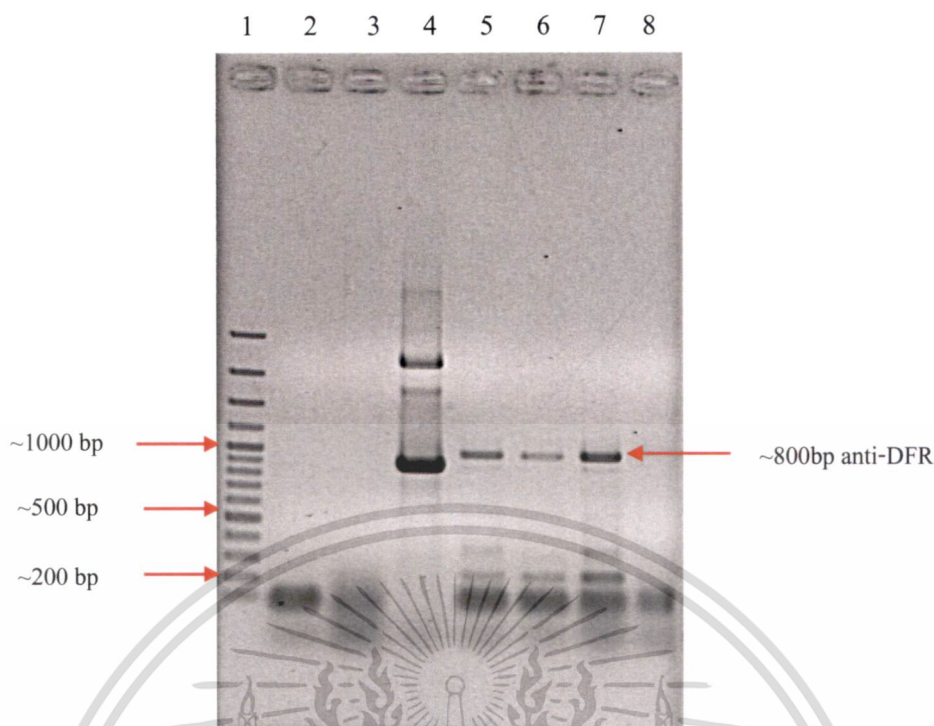
ช่องที่ 10 Negative control dH_2O

ช่องที่ 11 Negative control คีเอ็นเอจากต้นบัวหลวงที่ไม่ได้รับการถ่ายยีน

ช่องที่ 12 Positive control คีเอ็นเอจากพลาสมิด pCAMBIA2301DFR

ช่องที่ 13-16 ต้นบัวหลวงที่ได้รับการถ่ายยีนโดยพลาสมิด pCAMBIA2301anti-DFR

จากการตรวจสอบการมีอยู่ของยีน anti-DFR ตั้งแต่บริเวณโปรโมเตอร์ CaMV35S และเทอร์มินเตอร์ NOS ด้วยชุดไพรเมอร์ที่มีความจำเพาะกับยีน anti-DFR พบว่าเกิดแถบคีเอ็นเอขนาดประมาณ 800 คู่เบส ของต้นบัวหลวงที่ได้รับการถ่ายยีน ซึ่งมีขนาดเท่ากับแถบคีเอ็นเอที่สังเคราะห์ได้จากพีซีอาร์ของพลาสมิด pCAMBIA2301anti-DFR (ภาพที่ 4.12)



ภาพที่ 4.12 ผลการตรวจสอบการมีอยู่ของยีน โดยใช้ไพรเมอร์ CaMV35S และ NOS
 ช่องที่ 1 ดีเอ็นเอมาตรฐานชนิด 100 bp DNA Ladder
 ช่องที่ 2 Negative control dH₂O
 ช่องที่ 3 Negative control ดีเอ็นเอจากต้นบัวหลวงที่ไม่ได้รับการถ่ายยีน
 ช่องที่ 4 Positive control ดีเอ็นเอจากพลาสมิด pCAMBIA2301anti-DFR
 ช่องที่ 5-8 ต้นบัวหลวงที่ได้รับการถ่ายยีน โดยพลาสมิด pCAMBIA2301anti-DFR

จากการตรวจสอบต้นที่ได้รับการถ่ายยีนจากพลาสมิด pCAMBIA2301anti-DFR ที่สามารถเจริญเติบโตได้ในอาหารคัดเลือกที่เติมสารปฏิชีวนะ kanamycin นำมาสกัดดีเอ็นเอเพื่อตรวจสอบการมีอยู่ของยีนด้วยวิธีพีซีอาร์ จากชิ้นส่วนยอด มีจำนวนทั้งสิ้น 29 ต้น จากทั้งหมด 38 ต้น ที่ชักนำได้บนอาหารคัดเลือก (ตารางที่ 4.13) จากนั้นนำยอดที่เกิดขึ้นบนอาหารคัดเลือกมาทำการตรวจสอบ จำนวน 44 โคลน (1 โคลน มาจาก 1 ยอด) พบว่าต้นที่พบการมีอยู่ของยีน *GUS* มีจำนวน 32 โคลน จากทั้งหมด 26 ต้น (ตารางที่ 4.14) ส่วนต้นที่พบการมีอยู่ของยีน *NPTII* มีจำนวน 34 โคลน จากทั้งหมด 28 ต้น ส่วนต้นที่พบการมีอยู่ของยีน anti-DFR จำนวน 31 โคลน จากทั้งหมด 21 ต้น โดยในจำนวนนี้มี 3 โคลน ที่พบ 1 ยีน คือยีน *NPTII* จำนวน 2 โคลน และยีน anti-DFR จำนวน 1 โคลน และมีจำนวน 2 โคลนที่พบการมีอยู่ของยีน 2 ยีน คือยีน *GUS* และ *NPTII* ส่วนต้นที่พบการมีอยู่ของยีนทั้ง 3 ยีน คือยีน *GUS* ยีน *NPTII* และยีน anti-DFR มีจำนวน 30 โคลน จากทั้งหมด 24 ต้น และมีต้นที่ไม่พบทั้ง 3 ยีน จำนวน 10 โคลน

เอกสารนี้เป็นเอกสารที่สงวนไว้สำหรับการใช้งานเพื่อการศึกษาเท่านั้น ไม่อนุญาตให้นำไปใช้ประโยชน์ด้านการค้า ไม่ว่าจะกรณีใดๆ ทั้งสิ้น อีกทั้งห้ามมิให้ดัดแปลงเนื้อหา และต้องอ้างอิงถึงเจ้าของเอกสารทุกครั้งที่มีการนำไปใช้

และจากการตรวจสอบต้นที่ได้รับการถ่ายยีนจากพลาสมิด pCAMBIA2301anti-DFR เข้าสู่ชิ้นส่วนตายออกจากคัพภะที่มีขนาด 3 มิลลิเมตร จากต้นที่สามารถเจริญเป็นยอดได้บนอาหารคัดเลือก จำนวน 6 ต้น ซึ่งมาจากวิธีการถ่ายยีนที่แตกต่างกันคือ การยิงด้วยก๊าซฮีเลียมขนาด 1,100 ปอนด์ต่อตารางนิ้ว โดยใช้ระยะห่างของเนื้อเยื่อเป้าหมาย 6 และ 9 เซนติเมตร อย่างละ 2 ต้น และการยิงด้วยก๊าซฮีเลียมขนาด 1,350 ปอนด์ต่อตารางนิ้ว โดยใช้ระยะห่างของเนื้อเยื่อเป้าหมาย 9 เซนติเมตร จำนวน 2 ต้น เมื่อนำทั้ง 6 ต้นมาตรวจสอบการมีอยู่ของยีน *GUS* ยีน *NPTII* และยีน anti-DFR ด้วยวิธีพีซีอาร์ พบทั้ง 3 ยีน ในทั้งหมด 6 ต้น (ตารางที่ 4.15)

ตารางที่ 4.13 จำนวนต้นบัวหลวงพันธุ์มธุรสที่ชักนำได้จากการถ่ายยีนเข้าสู่เนื้อเยื่อยอด และตายออกจากคัพภะ โดยใช้เครื่องยิงอนุภาคแบบ PDS-1000/He

ความดันก๊าซฮีเลียม (ปอนด์ต่อตารางนิ้ว)	ระยะห่างของเนื้อเยื่อเป้าหมาย (เซนติเมตร)	จำนวนต้นที่ชักนำได้บนอาหารคัดเลือก	
		ยอด	ตายออกจากคัพภะ
1,100	6	8	2
	9	16	2
1,350	6	5	0
	9	11	2
รวม		38	6

ตารางที่ 4.14 ผลการตรวจสอบยีน *GUS* ยีน *NPTII* ยีน anti-DFR ด้วยเทคนิคพีซีอาร์ ที่ชักนำได้จากการถ่ายยีนเข้าสู่เนื้อเยื่อยอด โดยใช้เครื่องยิงอนุภาคแบบ PDS-1000/He

ความดันก๊าซฮีเลียม (ปอนด์ต่อตารางนิ้ว)/ ระยะห่างของเนื้อเยื่อ เป้าหมาย (เซนติเมตร)	จำนวนต้นที่ ตรวจสอบ	จำนวนต้นที่ ตรวจพบยีน <i>GUS</i>	จำนวนต้นที่ ตรวจพบยีน <i>NPTII</i>	จำนวนต้นที่ ตรวจพบยีน anti-DFR
1,100/6	5	4	5	4
1,100/9	13	12	13	10
1,350/6	3	3	3	3
1,350/9	8	7	7	8
รวม	29	26	28	21

เอกสารนี้เป็นเอกสารที่สงวนไว้สำหรับการใช้งานเพื่อการศึกษาเท่านั้น ไม่อนุญาตให้นำไปใช้ประโยชน์ด้านการค้า
ไม่ว่ากรณีใดๆ ทั้งสิ้น อีกทั้งห้ามมิให้ดัดแปลงเนื้อหา และต้องอ้างอิงถึงเจ้าของเอกสารทุกครั้งที่มีการนำไปใช้

ตารางที่ 4.15 ผลการตรวจสอบยีน *GUS* ยีน *NPTII* ยีน *anti-DFR* ด้วยเทคนิคพีซีอาร์ ที่ชักนำได้จากการถ่ายยีนเข้าสู่เนื้อเยื่อตาชอคจากคัพพะ โดยใช้เครื่องยิงอนุภาคแบบ PDS-1000/He

ความดันก๊าซฮีเลียม (ปอนด์ต่อตารางนิ้ว)/ ระยะห่างของเนื้อเยื่อ เป้าหมาย (เซนติเมตร)	จำนวนต้นที่ ตรวจสอบ	จำนวนต้นที่ ตรวจพบยีน <i>GUS</i>	จำนวนต้นที่ ตรวจพบยีน <i>NPTII</i>	จำนวนต้นที่ ตรวจพบยีน <i>anti-DFR</i>
1,100/6	2	2	2	2
1,100/9	2	2	2	2
1,350/6	0	0	0	0
1,350/9	2	2	2	2
รวม	6	6	6	6

4.3.7 การตรวจสอบการแสดงออกของยีน *NPTII* และยีน *anti-DFR* ด้วยวิธี Reversr transcription polymerase chain reaction (RT-PCR)

หลังจากการตรวจสอบการมีอยู่ของยีน *anti-DFR* และยีน *NPTII* ด้วยวิธีพีซีอาร์แล้ว เพื่อเป็นการยืนยันการแสดงออกของยีน *anti-DFR* จึงทำการตรวจสอบด้วยการใช้เทคนิค RT-PCR โดยการสกัด อาร์เอ็นเอของบัวหลวงในต้นที่ได้รับการถ่ายยีน และไม่ได้รับการถ่ายยีน แล้วอาศัยการเปลี่ยน mRNA เป็น complementary DNA โดยเอนไซม์ reverse transcriptase แล้วทำการเพิ่มจำนวนของชิ้นดีเอ็นเอที่ต้องการ โดยการทำให้พีซีอาร์ ตามข้อ 3.4.6.3.2 หลังจากนั้นนำดีเอ็นเอที่เพิ่มปริมาณได้มาตรวจวิเคราะห์ปริมาณของดีเอ็นเอโดยแยกขนาดดีเอ็นเอด้วยวิธี electrophoresis ในเจลอะกาโรส 1 เปอร์เซ็นต์ โดยมีตำแหน่งการเข้าจับของคู่ไพรเมอร์ *NPTII* และ *DFR* ดังภาพที่ 4.10

จากผลการตรวจสอบการแสดงออกของยีน *NPTII* ด้วยชุดไพรเมอร์ที่มีความจำเพาะกับยีน *NPTII* พบว่าเกิดแถบดีเอ็นเอขนาด 254 คู่เบส ของต้นบัวหลวงที่ได้รับการถ่ายยีน ซึ่งมีขนาดเท่ากับแถบดีเอ็นเอที่สังเคราะห์ได้จากพีซีอาร์ของพลาสมิด pCAMBIA2301*anti-DFR* จากการตรวจสอบการแสดงออกของยีน *anti-DFR* ด้วยชุดไพรเมอร์ที่มีความจำเพาะกับยีน *anti-DFR* พบว่าเกิดแถบดีเอ็นเอขนาดประมาณ 600 คู่เบส ของต้นบัวหลวงที่ได้รับการถ่ายยีน ซึ่งมีขนาดเท่ากับแถบดีเอ็นเอที่สังเคราะห์ได้จากพีซีอาร์ของพลาสมิด pCAMBIA2301*anti-DFR* (ภาพที่ 4.14)

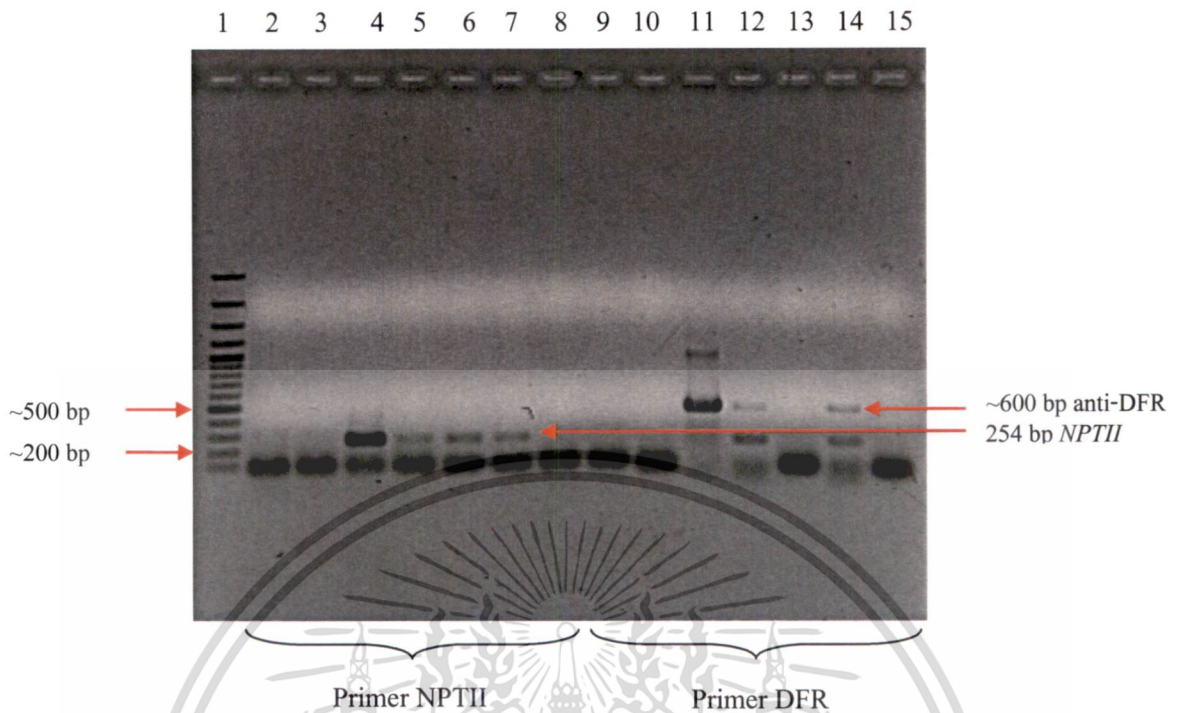
และจากต้นบัวหลวงที่ได้รับการตรวจสอบการมีอยู่ของยีนที่ได้รับการถ่ายยีนจากพลาสมิด pCAMBIA2301*anti-DFR* จากชิ้นส่วนยอด และสามารถนำมาตรวจสอบการแสดงออกของยีนได้ทั้งสิ้น 4 ต้น พบว่าต้นที่พบการแสดงออกของยีน *NPTII* มีจำนวน 3 ต้น ส่วนต้นที่พบการ

แสดงออกของยีน anti-DFR จำนวน 2 ต้น โดยในจำนวนนี้มี 1 ต้นที่พบการแสดงออกเพียง 1 ยีน คือยีน *NPTII* และมีจำนวน 2 ต้นที่พบการแสดงออกของยีน 2 ยีน คือยีน *NPTII* และยีน anti-DFR และมีต้นที่ไม่มีการแสดงออกของยีนเลย จำนวน 1 ต้น โดยสรุปเป็นตารางผลการตรวจสอบการแสดงออกของยีน *NPTII* และยีน anti-DFR ด้วยวิธี RT-PCR ดังตารางที่ 4.16

ตารางที่ 4.16 ผลการตรวจสอบการแสดงออกของ ยีน *NPTII* ยีน anti-DFR ด้วยเทคนิค RT-PCR ที่ชักนำได้จากการถ่ายยีนเข้าสู่เนื้อเยื่อยอด โดยใช้เครื่องยิงอนุภาคแบบ PDS-1000/He

ความดันก๊าซฮีเลียม (ปอนด์ต่อตารางนิ้ว)/ ระยะห่างของเนื้อเยื่อ เป้าหมาย (เซนติเมตร)	จำนวนต้นที่ ตรวจสอบ	จำนวนต้นที่ตรวจพบ ยีน <i>NPTII</i>	จำนวนต้นที่ตรวจพบ ยีน anti-DFR
1,100/6	-	-	-
1,100/9	2	2	1
1,350/6	1	0	0
1,350/9	1	1	1
รวม	4	3	2
-ไม่ได้ตรวจสอบ			

เอกสารนี้เป็นเอกสารที่สงวนไว้สำหรับการใช้งานเพื่อการศึกษาเท่านั้น ไม่อนุญาตให้นำไปใช้ประโยชน์ด้านการค้า
ไม่ว่ากรณีใดๆ ทั้งสิ้น อีกทั้งห้ามมิให้ดัดแปลงเนื้อหา และต้องอ้างอิงถึงเจ้าของเอกสารทุกครั้งที่มีการนำไปใช้



ภาพที่ 4.14 ผลการตรวจสอบการแสดงออกของยีน โดยใช้ไพรเมอร์ NPTII และไพรเมอร์ DFR

ช่องที่ 1 ดีเอ็นเอมาตรฐานชนิด 100 bp DNA Ladder

ช่องที่ 2 Negative control dH₂O

ช่องที่ 3 Negative control ดีเอ็นเอจากต้นบัวหลวงที่ไม่ได้รับการถ่ายยีน

ช่องที่ 4 Positive control ดีเอ็นเอจากพลาสมิด pCAMBIA2301 anti-DFR

ช่องที่ 5-8 ต้นบัวหลวงที่มีการแสดงออกของยีน *NPTII*

ช่องที่ 9 Negative control dH₂O

ช่องที่ 10 Negative control ดีเอ็นเอจากต้นบัวหลวงที่ไม่ได้รับการถ่ายยีน

ช่องที่ 11 Positive control ดีเอ็นเอจากพลาสมิด pCAMBIA2301 anti-DFR

ช่องที่ 12-15 ต้นบัวหลวงที่มีการแสดงออกของยีน anti-DFR

เอกสารนี้เป็นเอกสารที่สงวนไว้สำหรับการใช้งานเพื่อการศึกษาเท่านั้น ไม่อนุญาตให้นำไปใช้ประโยชน์ด้านการค้า
ไม่ว่ากรณีใดๆ ทั้งสิ้น อีกทั้งห้ามมิให้ดัดแปลงเนื้อหา และต้องอ้างอิงถึงเจ้าของเอกสารทุกครั้งที่มีการนำไปใช้

4.4 วิจารณ์ผลการทดลอง

4.4.1 ศึกษาชิ้นส่วนเริ่มต้นและสูตรอาหารที่เหมาะสมต่อการเกิดแคลลัสของบัวหลวงพันธุ์บุญทริก

ผลการศึกษาชิ้นส่วนเริ่มต้นที่เหมาะสมต่อการเกิดแคลลัสของบัวหลวงพันธุ์บุญทริก โดยนำชิ้นส่วนก้านใบจากคัพพะ ชิ้นส่วนตาดยอดจากคัพพะที่มีขนาด 3 มิลลิเมตร และชิ้นส่วนเนื้อเยื่อเจริญปลายยอดที่มีขนาด 0.5 มิลลิเมตร มาเพาะเลี้ยงบนอาหารแข็งสูตร MS (1962) ที่เติมสารควบคุมการเจริญเติบโตชนิดต่างๆ พบว่าชิ้นส่วนก้านใบจากคัพพะสามารถชักนำให้เกิดแคลลัสได้ดีที่สุดเมื่อเพาะเลี้ยงบนอาหารสูตรที่มี 2,4-D ความเข้มข้น 4.52 ไมโครโมลาร์ ร่วมกับ TDZ ความเข้มข้น 0.45 ไมโครโมลาร์ โดยมีเปอร์เซ็นต์การเกิดแคลลัสสูงที่สุด มีคะแนนการเจริญเติบโตสูงที่สุด ซึ่งมีลักษณะสอดคล้องกับการศึกษาการเจริญเติบโต และการเกิดยอดของเอมบริโอจินิกแคลลัส ของกล้วยไม้ *Oncidium (Gower Ramsey)* (Jheng *et al.* 2006) พบว่าชิ้นส่วนปลายยอดที่เพาะเลี้ยงบนอาหารสูตร ½ MS (1962) ที่เติม 2,4-D 4.52 ไมโครโมลาร์ ร่วมกับ TDZ 0.45 ไมโครโมลาร์ สามารถชักนำให้ชิ้นส่วนเกิดแคลลัสได้

ชิ้นส่วนตาดยอดจากคัพพะที่มีขนาด 3 มิลลิเมตร สามารถชักนำให้เกิดแคลลัสได้ โดยแคลลัสสามารถเจริญเติบโตได้ดีที่สุดเมื่อเพาะเลี้ยงบนอาหารสูตรที่มี NAA ความเข้มข้น 40 ไมโครโมลาร์ ร่วมกับ TDZ ความเข้มข้น 0.5 ไมโครโมลาร์ โดยมีเปอร์เซ็นต์การเกิดแคลลัสสูงที่สุด มีขนาดและคะแนนการเจริญเติบโตสูงที่สุด โดยแคลลัสจะมีลักษณะเป็นกลุ่มก้อน สีขาว ซึ่งมีลักษณะตรงข้ามกับการศึกษาของ ภักวดี ภักดีงาม (2548) ซึ่งพบว่าชิ้นส่วนก้านใบจากคัพพะที่เพาะเลี้ยงบนอาหารสูตรที่มี NAA ความเข้มข้น 40 ไมโครโมลาร์ ร่วมกับ TDZ ความเข้มข้น 0.5 ไมโครโมลาร์ สามารถชักนำให้เกิดไซมาติกเอมบริโอได้ดีที่สุด แต่ใกล้เคียงกับการเพาะเลี้ยงชิ้นส่วนใบของกุหลาบพันธุ์ลูกผสมระหว่าง Carl Red และ *Rosa canina* ในอาหารสูตร MS (1962) ที่มี NAA 1.3-26.8 ไมโครโมลาร์ ร่วมกับ TDZ 0.23 ไมโครโมลาร์ พบว่าสามารถชักนำให้เกิดเอมบริโอจินิกแคลลัสได้ดีที่สุด (Visessuwan *et al.* 1997) และสอดคล้องกับการศึกษาของ จิตเกษม เทียงจิตต์ (2545) ที่พบว่าชิ้นส่วนยอดจากคัพพะมีคะแนนการเจริญเติบโตของแคลลัสสูงที่สุดเมื่อเพาะเลี้ยงในอาหารสูตร MS (1962) ที่เติม NAA ความเข้มข้น 50 ไมโครโมลาร์ ร่วมกับ TDZ ความเข้มข้น 0.25 ไมโครโมลาร์ และยังคงสอดคล้องกับการศึกษาของ วิลาสิณี ลิทธิทรัพย์ (2550) ที่พบว่าชิ้นส่วนตาดยอดจากคัพพะที่เพาะเลี้ยงบนอาหารสูตรที่มี NAA ความเข้มข้น 40 ไมโครโมลาร์ ร่วมกับ TDZ ความเข้มข้น 0.5 ไมโครโมลาร์ มีคะแนนการเจริญเติบโตของแคลลัสสูงที่สุด พบว่าหลังจากเพาะเลี้ยงชิ้นส่วนตาดยอดจากคัพพะนาน 4 สัปดาห์ชิ้นส่วนจะสร้างแคลลัสขึ้นที่บริเวณรอยตัด เนื่องจากบริเวณรอยตัดมีการตอบสนองต่อสารต่างๆ ได้ก่อนบริเวณอื่น และมีการแลกเปลี่ยนก๊าซได้ดีกว่าเซลล์ข้างใน (คำบุญ กาญจนภูมิ, 2542) และยังใกล้เคียงกับการศึกษาของ Yang *et al.* (2009) ที่ศึกษาผลของ mannitol, abscisic acid (ABA) และอายุของชิ้นส่วนเริ่มต้น (ขนาด) โดยใช้

เอกล

ไม่ว่ากรณีใดๆ ทั้งสิ้น อีกทั้งห้ามมิให้คัดแปลงเนื้อหา และต้องอ้างอิงถึงเจ้าของเอกสารทุกครั้งที่มีการนำไปใช้

ชิ้นส่วนเอ็มบริโอขนาด น้อยกว่า 3 มิลลิเมตร, 4-5 มิลลิเมตร, 6-8 มิลลิเมตร และ มากกว่า 8 มิลลิเมตร ที่มีผลต่อการเกิดโซมาติกเอ็มบริโอจีนีซิสและการเกิดยอดของ Chinese soybean (*Glycine max* L. Merr.) พบว่าชิ้นส่วนเอ็มบริโอที่มีขนาดน้อยกว่า 3 มิลลิเมตร มีเปอร์เซ็นต์การเกิดแคลลัสและโซมาติกเอ็มบริโอต่ำกว่าชิ้นส่วนที่มีขนาด 4-5 มิลลิเมตร ที่สามารถชักนำให้เกิดโซมาติกเอ็มบริโอได้ดีที่สุด บนอาหารสูตร MS (1962) ที่มี mannitol 3 เปอร์เซ็นต์ ร่วมกับ ABA 5 มิลลิกรัมต่อลิตร อย่างไรก็ตาม ขนาดของเนื้อเยื่อที่เล็กที่สุดที่มีประสิทธิภาพ เป็นสิ่งที่ควรพิจารณาเนื่องจากเนื้อเยื่อเจริญที่มีขนาดเล็กเกินไปอาจโตช้า และไม่ตอบสนองต่อการเพาะเลี้ยงเท่าเนื้อเยื่อที่มีขนาดใหญ่ (รังสฤษฎ์ กาวีตะ. 2540)

ส่วนชิ้นส่วนเนื้อเยื่อเจริญปลายยอดที่มีขนาด 0.5 มิลลิเมตร นั้น สามารถชักนำให้เกิดแคลลัสได้ดีที่สุดเมื่อเพาะเลี้ยงบนอาหารสูตรที่มี picloram 24.8 ไมโครโมลาร์ โดยมีขนาดและคะแนนการเจริญเติบโตสูงที่สุด โดยแคลลัสเกิดขึ้นที่บริเวณรอยตัดของชิ้นส่วน และมีลักษณะเกาะตัวกันอย่างหลวมๆ สีเขียวอ่อนซึ่งแคลลัสที่เกิดขึ้นจะเป็นสีเขียวจนถึงสัปดาห์ที่ 6 จากนั้นจะค่อยๆ เปลี่ยนเป็นสีน้ำตาลและตาย ซึ่งมีลักษณะตรงข้ามกับ การศึกษาการชักนำการเกิดโซมาติกเอ็มบริโอจีนีซิสของ *Alstroemeria* พบว่าแคลลัสที่ได้จากชิ้นส่วนข้อที่เพาะเลี้ยงบนอาหารสูตร MS (1962) ที่เติม IAA 0.5 ไมโครโมลาร์ ร่วมกับ TDZ 10 ไมโครโมลาร์ เมื่อนำไปเพาะเพาะเลี้ยงบนอาหารสูตร MS (1962) ที่เติม picloram 20.8 ไมโครโมลาร์ สามารถชักนำให้ชิ้นส่วนเกิดโซมาติกเอ็มบริโอได้ (Kim *et al.* 2006)

4.4.2 ศึกษาสูตรอาหารที่เหมาะสมต่อการเกิดยอดจากชิ้นส่วนแคลลัสของบัวหลวงพันธุ์บุญทริก

ผลของการศึกษาสูตรอาหารที่เหมาะสมต่อการเกิดยอดของชิ้นส่วนแคลลัสของบัวหลวงพันธุ์บุญทริก โดยนำชิ้นส่วนแคลลัสที่ได้มาจากการเลี้ยงบนอาหารแข็งสูตร MS (1962) ที่เติม NAA ความเข้มข้น 40 ไมโครโมลาร์ ร่วมกับ TDZ ความเข้มข้น 0.5 ไมโครโมลาร์ เป็นเวลา 8 สัปดาห์ มาเลี้ยงบนอาหารแข็งสูตร MS (1962) ที่เติมสารควบคุมการเจริญเติบโตชนิดต่างๆ พบว่าชิ้นส่วนแคลลัสสามารถพัฒนาเป็นยอดได้ดีที่สุดเมื่อเพาะเลี้ยงบนอาหารแข็งสูตร MS ที่เติม BA ความเข้มข้น 50 ไมโครโมลาร์ โดยมีขนาดแคลลัสและจำนวนยอดสูงที่สุด และสอดคล้องกับการศึกษาผลของ BA ต่อการชักนำการเกิดยอดของ *Zantedeschia aethiopica* (Green Goddess) (Kozak and Stelmaszczuk. 2009) พบว่าชิ้นส่วนยอดที่เพาะเลี้ยงบนอาหารสูตร MS (1962) ที่เติม BA 25 และ 50 ไมโครโมลาร์ สามารถชักนำให้ชิ้นส่วนเกิดยอด (axillary shoots) ได้มากที่สุด ซึ่ง BA เป็นสารควบคุมการเจริญเติบโตในกลุ่มไซโตไคนิน ที่นิยมใช้มากในการแก้ไข apical dominance ของหน่อข้าง และในการเพิ่มจำนวนยอด พืชส่วนมากเปลี่ยนแปลงพัฒนาเป็นอวัยวะถ้าได้รับฮอร์โมน 2 กลุ่มคือ ออกซิน และไซโตไคนิน ทั้งนี้ผันแปรขึ้นกับชนิดพืช ระยะการเจริญเติบโตของชิ้นส่วนพืช และระดับหรือสัดส่วนของฮอร์โมนทั้ง 2 ชนิดที่ใช้ในสูตรอาหาร คือ

เอกสารนี้เป็นเอกสารที่สงวนลิขสิทธิ์ไว้เพื่อการศึกษาเท่านั้น เมื่ออนุญาตเห็นใบโฆษณาขึ้นด้านการค้า

ไม่ว่ากรณีใดๆ ทั้งสิ้น อีกทั้งห้ามมิให้ดัดแปลงเนื้อหา และต้องอ้างอิงถึงเจ้าของเอกสารทุกครั้งที่มีการนำไปใช้

ถ้าสัดส่วนของไซโตไคนินต่อออกซินสูงขึ้น (ไซโตไคนินมากกว่าออกซิน) จะกระตุ้นการเกิดยอด ยกเว้นในพืชบางชนิดที่ต้องการไซโตไคนินเพียงอย่างเดียว แต่ถ้าสัดส่วนของออกซินต่อไซโตไคนินสูงขึ้น (ออกซินมากกว่าไซโตไคนิน) จะกระตุ้นการเปลี่ยนแปลงพัฒนา เพื่อกำเนิคราก (รังสฤษฎ์ กาวีต๊ะ. 2540)

4.4.3 ศึกษาสถานะที่เหมาะสมต่อการถ่ายยีน *Antisense Dihydroflavonol 4-Reductase (anti-DFR)* เข้าสู่บัวหลวงพันธุ์อนุชกริก

ผลของการศึกษาชิ้นส่วนเริ่มต้น และวิธีการที่เหมาะสม ต่อการถ่ายยีน โดยเครื่องยิงอนุภาค แบบ PDS-1000/He ที่มีพลาสมิด pCAMBIA2301anti-DFR ในชิ้นส่วนยอดและตายอดจากคัพภะที่มีขนาด 3 มิลลิเมตร โดยชิ้นส่วนยอดได้จากการนำชิ้นส่วนแคลลัสมาเพาะเลี้ยงบนอาหารสูตร MS (1962) ที่เติม BA ความเข้มข้น 50 ไมโครโมลาร์ เป็นเวลา 8 สัปดาห์ จากการตรวจสอบการแสดงออกของยีน *GUS* แบบชั่วคราว (transient expression) โดยวิธี *GUS* histochemical assay พบว่า ชิ้นส่วนยอดที่ให้จำนวนจุดสีน้ำเงินสูงที่สุดคือ การยิงด้วยก๊าซฮีเลียมขนาด 1,100 ปอนด์ต่อตารางนิ้ว โดยใช้ระยะห่างของเนื้อเยื่อเป้าหมาย 6 เซนติเมตร ซึ่งให้จำนวนจุดเฉลี่ย 4.8 จุดต่อชิ้นเนื้อเยื่อ ส่วนการยิงด้วยก๊าซฮีเลียมขนาด 1,100 ปอนด์ต่อตารางนิ้ว โดยใช้ระยะห่างของเนื้อเยื่อเป้าหมาย 9 เซนติเมตร และการยิงด้วยก๊าซฮีเลียมขนาด 1,350 ปอนด์ต่อตารางนิ้ว โดยใช้ระยะห่างของเนื้อเยื่อเป้าหมาย 6 และ 9 เซนติเมตร ไม่เกิดจุดสีน้ำเงินจากการแสดงออกของยีน *GUS* แบบชั่วคราว จากนั้นนำชิ้นส่วนยอดที่เจริญเติบโตได้หลังจากเลี้ยงบนอาหารคัดเลือกเป็นเวลา 8 สัปดาห์ มาตรวจสอบการมีอยู่ของยีน *GUS* ด้วยวิธีพีซีอาร์ กลับพบว่า พบยีน *GUS* ในทุกวิธีการ ซึ่งไม่ตรงกับผลการตรวจสอบด้วยวิธี *GUS* histochemical assay ทั้งนี้เนื่องจากชิ้นส่วนที่นำมาทดสอบด้วยวิธี *GUS* histochemical assay มีจำนวนน้อย จึงมีโอกาสให้ชิ้นส่วนที่นำมาทดสอบนั้นจะเป็นชิ้นส่วนที่ไม่ได้รับการถ่ายยีน ส่วนการตรวจสอบการแสดงออกของยีน *GUS* แบบชั่วคราว (transient expression) โดยวิธี *GUS* histochemical assay ของชิ้นส่วนตายอดจากคัพภะที่มีขนาด 3 มิลลิเมตร พบว่า มีจุดสีน้ำเงินเกิดขึ้นในทุกวิธีการทดลอง และชิ้นส่วนตายอดจากคัพภะที่ให้จำนวนจุดสีน้ำเงินสูงที่สุดคือ การยิงด้วยก๊าซฮีเลียมขนาด 1,100 ปอนด์ต่อตารางนิ้ว โดยใช้ระยะห่างของเนื้อเยื่อเป้าหมาย 6 เซนติเมตร ซึ่งให้จำนวนจุดเฉลี่ย 26.11 จุดต่อชิ้นเนื้อเยื่อ จากนั้นนำชิ้นส่วนตายอดจากคัพภะที่เจริญเติบโตได้บนอาหารคัดเลือกมาตรวจสอบการมีอยู่ของยีน *GUS* ด้วยวิธีพีซีอาร์ พบว่า พบยีน *GUS* ในทุกวิธีการ เช่นเดียวกัน

เมื่อนำชิ้นส่วนยอดและตายอดจากคัพภะที่ได้รับการถ่ายยีนมาเลี้ยงบนอาหารคัดเลือกสูตร MS (1962) ที่เติม kanamycin ความเข้มข้น 50 มิลลิกรัมต่อลิตร และ BA ความเข้มข้น 50 ไมโครโมลาร์ เป็นเวลา 8 สัปดาห์ พบว่าชิ้นส่วนยอดที่มีสภาพการถ่ายยีน โดยใช้แรงดันก๊าซฮีเลียมขนาด 1,100 ปอนด์ต่อตารางนิ้ว และที่ระยะห่างจากเนื้อเยื่อเป้าหมาย 9 เซนติเมตร มีการเจริญเติบโตบนอาหารคัดเลือกได้ดีที่สุด ส่วนชิ้นส่วนตายอดจากคัพภะหลังจากถ่ายยีนนำมาเลี้ยงบนอาหาร

เอกสารนี้เป็นเอกสารที่สงวนไว้สำหรับการใช้งานเพื่อการศึกษาเท่านั้น ไม่อนุญาตให้เผยแพร่หรือใช้เพื่อการค้า

ไม่ว่ากรณีใดๆ ทั้งสิ้น อีกทั้งห้ามมิให้ดัดแปลงเนื้อหา และต้องอ้างอิงถึงเจ้าของเอกสารทุกครั้งที่มีการนำไปใช้

คัดเลือกสูตร MS (1962) ที่เติม kanamycin ความเข้มข้น 50 มิลลิกรัมต่อลิตร BA ความเข้มข้น 4.44 ไมโครโมลาร์ ร่วมกับ NAA ความเข้มข้น 0.54 ไมโครโมลาร์ และ เป็นเวลา 8 สัปดาห์ พบว่า ชี้นส่วนตายออกจากคัพที่มีสภาพการถ่ายยีนโดยใช้แรงดันก๊าซฮีเลียมขนาด 1,100 ปอนด์ต่อตารางนิ้ว และที่ระยะห่างจากเนื้อเยื่อเป้าหมาย 9 เซนติเมตร มีการเจริญเติบโตบนอาหารคัดเลือกได้ดีที่สุด จากนั้นนำต้นที่รอดจากการเลี้ยงบนอาหารคัดเลือกมาเลี้ยงในอาหารเหลวบนอาหารแข็ง สูตร MS (1962) ที่เติม BA ความเข้มข้น 4.44 ไมโครโมลาร์ ร่วมกับ NAA ความเข้มข้น 0.54 ไมโครโมลาร์ (Shou *et al.* 2008) ซึ่งเป็นสูตรอาหารที่เหมาะสมต่อการเกิดยอดของบัวหลวงพันธุ์บุญทริก พบว่าชี้นส่วนยอดที่ได้รับการถ่ายยีนโดยใช้แรงดันก๊าซฮีเลียมขนาด 1,100 ปอนด์ต่อตารางนิ้ว และที่ระยะห่างจากเนื้อเยื่อเป้าหมาย 9 เซนติเมตร ชี้นส่วนมีเปอร์เซ็นต์การรอดชีวิตมากที่สุดเช่นเดียวกัน แต่เนื้อเยื่อส่วนใหญ่ที่ไม่ได้รับการถ่ายยีนจะเริ่มเปลี่ยนเป็นสีน้ำตาลเข้มและตายหลังจากที่เพาะเลี้ยงได้ 8 สัปดาห์ จากการทดลองนี้การถ่ายยีนโดยใช้เครื่องยิงอนุภาค พบว่าสามารถทำให้ประสิทธิภาพการพัฒนาเป็นยอดของชี้นส่วนยอดและตายออกจากคัพภายหลังจากการถ่ายยีนเพียง 31.67 และ 2 เปอร์เซ็นต์ ตามลำดับ (ข้อมูลดังกล่าวได้มาจากการนำจำนวนชี้นส่วนที่สามารถชักนำให้เกิดยอดได้คูณหนึ่งร้อยและหารด้วยจำนวนชี้นส่วนที่ใช้ทั้งหมด) ซึ่งนับว่าน้อย ทั้งนี้อาจเนื่องมาจากปัจจัยต่างๆ ที่มีผลสำเร็จต่อการถ่ายยีน เช่น ขนาดและชนิดของอนุภาค ระดับของ stopping screen ระยะของ gap width เป็นต้น (กิริยา สังข์ทองวิเศษ, 2547) นอกจากนี้ยังพบว่าประสิทธิภาพในการคัดเลือกการต้านทานต่อสารปฏิชีวนะจะเพิ่มขึ้น เมื่อนำชี้นส่วนที่ได้รับการถ่ายยีนมาเลี้ยงบนอาหารสูตรเดิมเป็นระยะเวลาหนึ่ง ก่อนที่จะนำมาเลี้ยงในอาหารคัดเลือกที่มีสารปฏิชีวนะเพื่อลดการตายของชี้นส่วนที่ยังมีขนาดเล็ก (Gondo *et al.* 2009)

ผลการตรวจสอบการมีอยู่ของยีน *GUS* ยีน *NPTII* ยีน anti-DFR ด้วยไพรเมอร์ที่มีความจำเพาะต่อยีน *NPTII* ยีน *GUS* และยีน anti-DFR ด้วยวิธีพีซีอาร์ จากต้นบัวหลวงที่เกิดยอดภายหลังจากคัดเลือกเป็นเวลา 8 สัปดาห์ และนำมาชักนำให้เกิดยอดบนอาหารที่ไม่มีสารคัดเลือกเป็นเวลา 16 สัปดาห์ จากผลการตรวจสอบการมีอยู่ของยีน *NPTII* ด้วยชุดไพรเมอร์ที่มีความจำเพาะกับยีน *NPTII* พบว่าเกิดแถบดีเอ็นเอขนาด 254 คู่เบส จากการตรวจสอบการมีอยู่ของยีน *GUS* ด้วยชุดไพรเมอร์ที่มีความจำเพาะกับยีน *GUS* พบว่าเกิดแถบดีเอ็นเอขนาด 563 คู่เบส และจากการตรวจสอบการมีอยู่ของยีน anti-DFR ตั้งแต่บริเวณโปรโมเตอร์ CaMV35S และเทอร์มินเตอร์ NOS ด้วยชุดไพรเมอร์ที่มีความจำเพาะกับยีน anti-DFR พบว่าเกิดแถบดีเอ็นเอขนาดประมาณ 800 คู่เบส ซึ่งพบการมีอยู่ของยีน *NPTII* เพียงอย่างเดียว จำนวน 2 ตัวอย่าง พบการมีอยู่ของยีน anti-DFR เพียงอย่างเดียว จำนวน 1 ตัวอย่าง พบการมีอยู่ของยีน *NPTII* และยีน anti-DFR แต่ไม่พบการมีอยู่ของยีน *GUS* จำนวน 2 ตัวอย่าง อาจเนื่องจากการถ่ายยีนด้วยเครื่องยิงอนุภาคอาจทำให้บางส่วนของยีนขาดออกจากกัน ส่งผลให้ไม่มีบริเวณลำดับเบสที่ไพรเมอร์ของยีนนั้นสามารถเข้าไปจับ จึงไม่ปรากฏแถบดีเอ็นเอขนาดที่ต้องการ และพบตัวอย่างที่ไม่พบยีน *NPTII* แต่เซลล์มีชีวิตรอดบน

เอกสารนี้เป็นเอกสารที่สงวนไว้สำหรับการใช้งานเพื่อการศึกษาค้นคว้าเท่านั้น ไม่อนุญาตให้นำไปเผยแพร่โดยไม่ได้รับอนุญาต ในการค้า

ไม่ว่ากรณีใดๆ ทั้งสิ้น อีกทั้งห้ามมิให้ดัดแปลงเนื้อหา และต้องอ้างอิงถึงเจ้าของเอกสารทุกครั้งที่มีการนำไปใช้

อาหารคัดเลือกและสามารถพัฒนาเป็นต้นได้นั้น อาจเนื่องจากมีบางเซลล์ในชิ้นส่วนแคลลัส ที่ไม่ได้รับการถ่ายยีนแต่สามารถพัฒนาเป็นยอดได้ เนื่องจากแคลลัสประกอบด้วยเซลล์หลายชั้น และเมื่อนำมาคัดเลือกบนอาหารแข็งที่มีสารปฏิชีวนะ kanamycin จะมีพื้นที่ผิวสัมผัสกับอาหารได้บางส่วน ซึ่งจะได้รับสาร kanamycin เต็มที่ แต่เนื้อเยื่อส่วนที่อยู่เหนือขึ้นไปซึ่งไม่สัมผัสกับอาหารโดยตรง จะได้รับสารปฏิชีวนะ kanamycin โดยการเคลื่อนย้ายขึ้นไปไม่ใช่การสัมผัสโดยตรง และความเข้มข้นของ kanamycin ที่เคลื่อนย้ายเข้าไปในเนื้อเยื่ออาจมีการเจือจางลง ทำให้เซลล์ที่อยู่ด้านในของแคลลัส และส่วนของเนื้อเยื่อที่อยู่ด้านบนของแคลลัสไม่ได้สัมผัสกับสารคัดเลือกในความเข้มข้นที่เหมาะสมจึงมีการเจริญเติบโต และแบ่งเซลล์ได้ตามปกติ (Caltin, 1990)

การตรวจสอบการแสดงออกของยีน *NPTII* และ ยีน *anti-DFR* ด้วยไพรเมอร์ที่มีความจำเพาะต่อยีน *NPTII* และยีน *anti-DFR* ด้วยวิธี RT-PCR จากต้นบัวหลวงที่เกิดยอด ภายหลังจากการคัดเลือกเป็นเวลา 8 สัปดาห์ และนำมาชักนำให้เกิดยอดบนอาหารที่ไม่มีสารคัดเลือกเป็นเวลา 16 สัปดาห์ พบว่าเกิดแถบดีเอ็นเอขนาด 254 คู่เบส ของต้นบัวหลวงที่ได้รับการถ่ายยีนซึ่งมีขนาดเท่ากับแถบดีเอ็นเอที่สังเคราะห์ได้จากพีซีอาร์ของพลาสมิด pCAMBIA2301*anti-DFR* จากการตรวจสอบการแสดงออกของยีน *anti-DFR* ด้วยชุดไพรเมอร์ที่มีความจำเพาะกับยีน *anti-DFR* พบว่าเกิดแถบดีเอ็นเอขนาดประมาณ 600 คู่เบส ของต้นบัวหลวงที่ได้รับการถ่ายยีน ซึ่งมีขนาดเท่ากับแถบดีเอ็นเอที่สังเคราะห์ได้จากพีซีอาร์ของพลาสมิด pCAMBIA2301*anti-DFR* พบว่าการยิงด้วยก๊าซฮีเลียมขนาด 1,100 ปอนด์ต่อตารางนิ้ว โดยใช้ระยะห่างของเนื้อเยื่อเป้าหมาย 9 เซนติเมตร พบการแสดงออกของทั้ง 2 ยีน คือยีน *NPTII* และยีน *anti-DFR* จำนวน 1 ตัวอย่าง โดยเป็นการให้ผลการถ่ายยีนแบบถาวรได้ (stable transformation) จึงเป็นสภาพที่เหมาะสมสำหรับการถ่ายยีนด้วยเครื่องยิงอนุภาคเข้าสู่ชิ้นส่วนยอดของบัวหลวงพันธุ์ภูษธริก พบการแสดงออกของยีน *NPTII* เพียงอย่างเดียว จำนวน 1 ตัวอย่าง และไม่พบการแสดงออกของของทั้ง 2 ยีน จำนวน 1 ตัวอย่าง ซึ่งยีน *anti-DFR* ที่นำมาใช้ในการถ่ายยีนครั้งนี้ได้มาจากดอกปทุมมา เนื่องจากยังไม่มีลำดับเบสของยีน *DFR* ในบัวหลวงพันธุ์ภูษธริกจึงทำให้ไม่สามารถตรวจสอบการยับยั้งการแสดงออกของยีน *anti-DFR* ได้ ในการทำ RT-PCR จึงให้ผลผลิตพีซีอาร์จากยีน *anti-DFR* ของดอกปทุมมาที่ถ่ายเข้าสู่บัวหลวงพันธุ์ภูษธริก ไม่ใช่ยีน *DFR* ที่มีอยู่ในบัวหลวงพันธุ์ภูษธริก จึงสรุปผลได้เพียงว่ามีการแสดงออกของยีน *anti-DFR* คือการถ่ายยีนประสบความสำเร็จ หากต้องการตรวจสอบการยับยั้งการแสดงออกของยีน *anti-DFR* ของบัวหลวงพันธุ์ภูษธริก ควรมีการศึกษาเพิ่มเติมในการออกแบบคู่ไพรเมอร์ของยีน *DFR* จากบัวหลวงพันธุ์ภูษธริก และเทคนิคที่นำมาใช้ในการตรวจสอบเพื่อที่จะทราบปริมาณของยีน *DFR* ของต้นที่ได้รับการถ่ายยีนเปรียบเทียบกับต้นที่ไม่ได้รับการถ่ายยีนต่อไป ซึ่งถ้าพบว่ายีน *DFR* ของบัวหลวงพันธุ์ภูษธริกที่ได้รับการถ่ายยีน *anti-DFR* มีปริมาณลดลง เมื่อเปรียบเทียบกับต้นที่ไม่ได้รับการถ่ายยีน แสดงว่ายีน *DFR* มีการแสดงออกลดลง

เอกสารนี้เป็นเอกสารที่สงวนไว้สำหรับการใช้งานเพื่อการศึกษาเท่านั้น ไม่อนุญาตให้นำไปใช้ประโยชน์ด้านการค้าไม่ว่ากรณีใดๆ ทั้งสิ้น อีกทั้งห้ามมิให้ดัดแปลงเนื้อหา และต้องอ้างอิงถึงเจ้าของเอกสารทุกครั้งที่มีการนำไปใช้

บทที่ 5

สรุปผลการทดลอง

จากการศึกษาชิ้นส่วนเริ่มต้น และสูตรอาหารที่เหมาะสมต่อการเกิดแคลลัสของชิ้นส่วน ก้านใบ ชิ้นส่วนตายอดจากคัพภะที่มีขนาด 3 มิลลิเมตร และชิ้นส่วนเนื้อเยื่อเจริญปลายยอดที่มี ขนาด 0.5 มิลลิเมตร ของบัวหลวงพันธุ์บุณฑริก เป็นเวลานาน 12 สัปดาห์ พบว่าแคลลัสมีการ เจริญเติบโตดีที่สุดในชิ้นส่วนตายอดจากคัพภะที่มีขนาด 3 มิลลิเมตร ในอาหารสูตร MS (1962) ที่ เติมน AA ความเข้มข้น 40 ไมโครโมลาร์ ร่วมกับ TDZ ความเข้มข้น 0.5 ไมโครโมลาร์ สามารถชัก นำให้เกิดเอ็มบริโอจินิกแคลลัสได้ 43.33 เปอร์เซ็นต์ โดยมีค่าเฉลี่ยคะแนนการเจริญเติบโตสูงที่สุด 2.43 คะแนน

จากการศึกษาสูตรอาหารที่เหมาะสมต่อการชักนำให้เกิดยอดจากแคลลัสของบัวหลวงพันธุ์ บุณฑริก เป็นเวลานาน 8 สัปดาห์ พบว่าชิ้นส่วนเอ็มบริโอจินิกแคลลัสที่เลี้ยงบนอาหารสูตร MS (1962) ที่เติม BA ความเข้มข้น 50 ไมโครโมลาร์ มีผลต่อการเกิดยอดของชิ้นส่วนมากที่สุด โดย จำนวนยอดมากที่สุดเฉลี่ย 8.67 ยอด เอ็มบริโอจินิกแคลลัสมีขนาดเพิ่มขึ้นมากที่สุดเฉลี่ย 1.19 เซนติเมตร และมีจำนวนใบมากที่สุดเฉลี่ย 4.84 ใบ ส่วนการใช้อาหาร MS (1962) ที่ไม่มีสารควบคุม การเจริญเติบโต มีผลต่อการเพิ่มความยาวยอดและความยาวใบมากที่สุดเฉลี่ย 1.02 และ 2.08 เซนติเมตร ตามลำดับ

จากการศึกษาสภาวะที่เหมาะสมต่อการถ่ายยีน Antisense Dihydroflavonol 4-Reductase (anti-DFR) เข้าสู่ชิ้นส่วนยอดและตายอดจากคัพภะที่มีขนาด 3 มิลลิเมตร ของบัวหลวงพันธุ์ บุณฑริก ด้วยเครื่องยิงอนุภาคแบบ PDS-1000/He (BioRad) พบว่าชิ้นส่วนยอดที่ให้จำนวนจุดสีน้ำ เงินจากการแสดงออกของยีน *GUS* แบบชั่วคราว (transient expression) คือ การยิงด้วยก๊าซฮีเลียม ขนาด 1,100 ปอนด์ต่อตารางนิ้ว โดยใช้ระยะห่างของเนื้อเยื่อเป้าหมาย 6 เซนติเมตร ซึ่งให้จำนวน จุดเฉลี่ย 4.8 จุดต่อชิ้นเนื้อเยื่อ และมีโคลนที่ตรวจพบการมีอยู่ของยีน *GUS* ยีน *NPTII* และยีน anti-DFR ด้วยเทคนิคพีซีอาร์จำนวน 4 โคลน ส่วนการยิงด้วยก๊าซฮีเลียมขนาด 1,100 ปอนด์ต่อตารางนิ้ว โดยใช้ระยะห่างของเนื้อเยื่อเป้าหมาย 9 เซนติเมตร ไม่เกิดจุดสีน้ำเงินจากการแสดงออกของยีน *GUS* แบบชั่วคราว แต่มีโคลนที่ตรวจพบการมีอยู่ของยีน *GUS* ยีน *NPTII* และยีน anti-DFR ด้วย เทคนิคพีซีอาร์จำนวน 10 โคลน และเมื่อตรวจสอบการแสดงออกของยีน *NPTII* และยีน anti-DFR ด้วยเทคนิค RT-PCR มีโคลนที่ตรวจพบการแสดงออกของยีน *NPTII* และยีน anti-DFR จำนวน 1 โคลน โดยให้ผลการถ่ายยีนแบบถาวรได้ (stable transformation) จึงเป็นสภาวะที่เหมาะสมสำหรับการถ่ายยีนด้วยเครื่องยิงอนุภาคเข้าสู่ชิ้นส่วนยอดของบัวหลวงพันธุ์บุณฑริก ส่วนชิ้นส่วนตา ยอดจากคัพภะที่ให้จำนวนจุดสีน้ำเงินจากการแสดงออกของยีน *GUS* แบบชั่วคราว (transient

เอกสารนี้เป็นเอกสารที่สงวนไว้สำหรับการใช้งานเพื่อการศึกษาเท่านั้น ไม่อนุญาตให้นำไปใช้ประโยชน์ด้านการค้า
ไม่ว่ากรณีใดๆ ทั้งสิ้น อีกทั้งห้ามมิให้ดัดแปลงเนื้อหา และต้องอ้างอิงถึงเจ้าของเอกสารทุกครั้งที่มีการนำไปใช้

expression) สูงที่สุดคือ การยิงด้วยก๊าซฮีเลียมขนาด 1,100 ปอนด์ต่อตารางนิ้ว โดยใช้ระยะห่างของเนื้อเยื่อเป้าหมาย 6 เซนติเมตร ซึ่งให้จำนวนจุดเฉลี่ย 26.11 จุดต่อชิ้นเนื้อเยื่อ และมีโคลนที่ตรวจพบการมีอยู่ของยีน *GUS* ยีน *NPTII* และยีน *anti-DFR* ด้วยเทคนิคพีซีอาร์จำนวน 2 โคลน



เอกสารนี้เป็นเอกสารที่สงวนไว้สำหรับการใช้งานเพื่อการศึกษาเท่านั้น ไม่อนุญาตให้นำไปใช้ประโยชน์ด้านการค้า
ไม่ว่ากรณีใดๆ ทั้งสิ้น อีกทั้งห้ามมิให้ดัดแปลงเนื้อหา และต้องอ้างอิงถึงเจ้าของเอกสารทุกครั้งที่มีการนำไปใช้

บรรณานุกรม

- กลิน สุวตะพันธุ์. 2500. บัวนาพาพันธุ์. พฤษชาติ. 1(1): 40-47
- กิริยา สังข์ทองวิเศษ .2547 .“ระบบการถ่ายยีนที่เหมาะสมสำหรับถั่ว *Stylosanthes hamata* พันธุ์ **Verano.**” วิทยานิพนธ์วิทยาศาสตรมหาบัณฑิต สาขาวิชาเทคโนโลยีชีวภาพเกษตร บัณฑิตวิทยาลัย .มหาวิทยาลัยเกษตรศาสตร์ ,
- กุลวรา จารุพันธุ์ และ จันทิมา วรสัมบูรณ์. 2543. “ผลของสารควบคุมการเจริญเติบโตต่อการเพิ่ม ปริมาณบัวหลวงพันธุ์สัตตบงกชในสภาพปลอดเชื้อ.” ปัญหาพิเศษปริญญาตรี สาขาวิชาพืชสวน คณะเทคโนโลยีการเกษตร. สถาบันเทคโนโลยีพระจอมเกล้าเจ้าคุณทหารลาดกระบัง.
- กณิตา เลขะกุล และคณะ. 2535. บัณฑิตแห่งไม้น้ำ : มุลินธิสวนหลวง ร.9. กรุงเทพฯ : ด่านสุทธาคารพิมพ์.
- คำบุญ กาญจนภูมิ. 2542. การเพาะเลี้ยงเนื้อเยื่อพืช. กรุงเทพฯ : สำนักพิมพ์แห่งจุฬาลงกรณ์มหาวิทยาลัย.
- จรรย์ หอยทอง. 2519. “การศึกษาลักษณะทางพฤกษศาสตร์ของบัวบางชนิดในประเทศไทย.” วิทยานิพนธ์วิทยาศาสตรมหาบัณฑิต สาขาวิชาพฤกษศาสตร์ บัณฑิตวิทยาลัย, มหาวิทยาลัยเกษตรศาสตร์.
- จิตเกษม เทียงจิตต์. 2545. “การศึกษาผลของชิ้นส่วนเริ่มต้นและสารควบคุมการเจริญเติบโตต่อการชักนำแคลลัสของบัวหลวงพันธุ์บุณฑริก.” ปัญหาพิเศษปริญญาโท สาขาวิชาพืชสวน บัณฑิตวิทยาลัย, สถาบันเทคโนโลยีพระจอมเกล้าเจ้าคุณทหารลาดกระบัง.
- จินตนา ไทยลิมทอง และ ลาวัลย์ สุชนมนตรี. 2536. “การใช้ซิลเวอร์ไนโอซัลเฟตก่อนเก็บเกี่ยวเพื่อยืดอายุการปักแจกันของดอกบัวหลวงพันธุ์บุณฑริก.” ปัญหาพิเศษปริญญาตรี สาขาวิชาเทคโนโลยีการผลิตพืช คณะเทคโนโลยีการเกษตร. สถาบันเทคโนโลยีพระจอมเกล้าเจ้าคุณทหารลาดกระบัง.
- ไชยา-ลาวัลย์ (นามแฝง). 2533. การปลูกบัว. พิมพ์ครั้งที่ 2. ม.ป.ท.
- ณราวุฒิ ปิยโชติสกุลชัย. 2539. “ผลของสารควบคุมการเจริญเติบโตที่มีต่อการเพาะเลี้ยงเนื้อเยื่อ บัวหลวง.” วิทยานิพนธ์วิทยาศาสตรมหาบัณฑิต สาขาวิชาพฤกษศาสตร์ บัณฑิตวิทยาลัย, มหาวิทยาลัยเกษตรศาสตร์.
- ณพพร ดำรงศิริ. 2530. พฤษอนุกรมวิธาน. กรุงเทพฯ : นำกัการพิมพ์.
- ดวงภา นิตกรวารกุล. 2552. “ผลของสูตรอาหารพื้นฐานและสารควบคุมการเจริญเติบโตที่มีผลต่อการเพิ่มปริมาณของเอื้องพร้าว *Phaius tancarvilleae* (Bank ex P' Heritier) Blume ใน

เอกสารนี้เป็นเอกสารที่สงวนไว้สำหรับการใช้งานเพื่อการศึกษาเท่านั้น ไม่อนุญาตให้นำไปใช้ประโยชน์ด้านการค้า
ไม่ว่ากรณีใดๆ ทั้งสิ้น อีกทั้งห้ามมิให้ดัดแปลงเนื้อหา และต้องอ้างอิงถึงเจ้าของเอกสารทุกครั้งที่มีการนำไปใช้

สภาพปลอดเชื้อ.” วิทยานิพนธ์วิทยาศาสตร์มหาบัณฑิต สาขาวิชาพืชสวน บัณฑิตวิทยาลัย, สถาบันเทคโนโลยีพระจอมเกล้าเจ้าคุณทหารลาดกระบัง.

ชนพรรณ พร้อมมูล. 2538. “ผลของ IAA และ 2iP ต่อการเพิ่มปริมาณบัวหลวงพันธุ์บุณฑริกในสภาพปลอดเชื้อ.” ปัญหาพิเศษปริญญาโท สาขาวิชาพืชสวน บัณฑิตวิทยาลัย, สถาบันเทคโนโลยีพระจอมเกล้าเจ้าคุณทหารลาดกระบัง.

บุญยืน กิจวิจารณ์. 2540. เทคโนโลยีการเพาะเลี้ยงเนื้อเยื่อพืช. ขอนแก่น : โรงพิมพ์คลังนานาวิทยา. ประศาสตร์ เกื้อมณี. 2538. เทคนิคการเพาะเลี้ยงเนื้อเยื่อพืช. กรุงเทพฯ : ภาควิชาพฤกษศาสตร์ คณะวิทยาศาสตร์ มหาวิทยาลัยเกษตรศาสตร์.

ปริมลภ ชูเกียรติมั่น และ เสริมลภ วสุวัต .2547. บัวประดับในประเทศไทย .กรุงเทพฯ.เนชั่นบุ๊ค .ปริษา ประเทพา .2543. เทคโนโลยีชีวภาพ : การปรับแต่งพันธุกรรมของสิ่งมีชีวิตด้วยเทคโนโลยีพันธุวิศวกรรม. กรุงเทพฯ : มหาวิทยาลัยขอนแก่น.

พรทิพย์ จิรจิตยางกูร. 2537. “ผลของสารควบคุมการเจริญเติบโตบางชนิดต่อการเพิ่มปริมาณบัวหลวงพันธุ์บุณฑริกในสภาพปลอดเชื้อ.” ปัญหาพิเศษปริญญาโท สาขาวิชาพืชสวน บัณฑิตวิทยาลัย, สถาบันเทคโนโลยีพระจอมเกล้าเจ้าคุณทหารลาดกระบัง.

พิศสุวรรณ เขียมสมบัติ. 2545. เอกสารประกอบการฝึกอบรมหลักสูตร:เทคนิคการสร้างพืชตัดแปรพันธุกรรม .ภาควิชาโรคพืช คณะเกษตร มหาวิทยาลัยเกษตรศาสตร์ วิทยาเขตกำแพงแสน. พีรเดช ทองอำไพ. 2529. ฮอร์โมนพืชและสารสังเคราะห์ แนวทางการใช้ประโยชน์ในประเทศไทย. กรุงเทพฯ : วิจัยการพิมพ์.

ภักวดี ภักดีงาม. 2545. “การศึกษาผลของแสงร่วมกับ α -Naphthalene acetic acid และ Benzyladenine ต่อการเกิดไซมาติกเอมบริโอจีสของบัวหลวงพันธุ์บุณฑริก.” ปัญหาพิเศษปริญญาโท สาขาวิชาพืชสวน บัณฑิตวิทยาลัย, สถาบันเทคโนโลยีพระจอมเกล้าเจ้าคุณทหารลาดกระบัง.

ภักวดี ภักดีงาม. 2548. “การศึกษาผลของสารควบคุมการเจริญเติบโตและแสงต่อการเกิดไซมาติกเอมบริโอจีสของบัวหลวงพันธุ์บุณฑริก.” วิทยานิพนธ์ปริญญาโท สาขาวิชาพืชสวน บัณฑิตวิทยาลัย, สถาบันเทคโนโลยีพระจอมเกล้าเจ้าคุณทหารลาดกระบัง.

ภูวดล บุตรรัตน์. 2538. โครงสร้างภายในพืช. กรุงเทพฯ : ไทยวัฒนาพานิช.

มณฑิรา ไชยตะนุกร. 2545. “การชักนำให้เกิดแคลลัสและไซมาติกเอมบริโอจีสของบัวหลวงพันธุ์ตัดบงกช.” วิทยานิพนธ์วิทยาศาสตร์มหาบัณฑิต สาขาวิชาพืชสวน บัณฑิตวิทยาลัย, สถาบันเทคโนโลยีพระจอมเกล้าเจ้าคุณทหารลาดกระบัง.

รังสฤษดิ์ กาวีตะ. 2540 การเพาะเลี้ยงเนื้อเยื่อ : หลักการและเทคนิค. กรุงเทพฯ : ภาควิชาพืชไร่นา คณะเกษตร มหาวิทยาลัยเกษตรศาสตร์.

เอกสารนี้เป็นเอกสารที่สงวนไว้สำหรับการใช้งานเพื่อการศึกษาเท่านั้น ไม่อนุญาตให้นำไปใช้ประโยชน์ด้านการค้า ไม่ว่าจะกรณีใดๆ ทั้งสิ้น อีกทั้งห้ามมิให้ดัดแปลงเนื้อหา และต้องอ้างอิงถึงเจ้าของเอกสารทุกครั้งที่มีการนำไปใช้

วาสนา มิตรานนท์. 2527. “การศึกษาลักษณะทางพฤกษศาสตร์ของพืชสกุลบัวหลวง (*Nelumbo Adams*) ในประเทศไทย.” วิทยานิพนธ์วิทยาศาสตร์มหาบัณฑิต สาขาวิชาพฤกษศาสตร์ บัณฑิตวิทยาลัย, มหาวิทยาลัยเกษตรศาสตร์.

วิลาสินี ลีทวีทรัพย์. 2550. “การศึกษาผลของชิ้นส่วนเริ่มต้นและปัจจัยแสงที่มีผลต่อการเกิดแคลลัสของบัวหลวงพันธุ์มุกตริก และการทดสอบความเข้มข้นสารปฏิชีวนะ kanamycin ที่เหมาะสมสำหรับใช้เป็นสารคัดเลือกในการถ่ายยีน.” ปัญหาพิเศษปริญญาโท สาขาวิชาเทคโนโลยีชีวภาพทางการเกษตร บัณฑิตวิทยาลัย, สถาบันเทคโนโลยีพระจอมเกล้าเจ้าคุณทหารลาดกระบัง.

วิลาสินี ลีทวีทรัพย์. 2554. “การถ่ายยีน Antisense ของ Dihydroflavonol 4-reductase (*DFR*) เข้าสู่บัวหลวงพันธุ์มุกตริก โดยใช้ อะโกรแบคทีเรียเป็นพาหะ.” วิทยานิพนธ์วิทยาศาสตร์มหาบัณฑิต สาขาวิชาเทคโนโลยีชีวภาพทางการเกษตร บัณฑิตวิทยาลัย, สถาบันเทคโนโลยีพระจอมเกล้าเจ้าคุณทหารลาดกระบัง.

สนธิชัย จันทน์เปรม. 2543. “เทคนิคการถ่ายยีนกับการใช้ประโยชน์ในประเทศไทย.” หน้า 109-111. การสัมมนาวิชาการปรับปรุงพันธุ์และขยายพันธุ์พืชครั้งที่ 13 : เทคโนโลยีใหม่พันธุ์พืชใหม่. กรุงเทพฯ : มหาวิทยาลัยเกษตรศาสตร์

สมาคมไม้ประดับแห่งประเทศไทย. 2520. ทะเบียนพันธุ์ไม้ประดับ. กรุงเทพฯ : บริษัทการพิมพ์.

สายชล เกตุษา. 2531. เทคโนโลยีหลังการเก็บเกี่ยวดอกไม้. กรุงเทพฯ : บริษัทสารมวลชน.

สุชาดา ศรีเพ็ญ. 2530. พรรณไม้หน้า. กรุงเทพฯ : มหาวิทยาลัยเกษตรศาสตร์.

สุชาดา ศรีเพ็ญ. 2542. พรรณไม้หน้าในประเทศไทย. กรุงเทพฯ : อัมรินทร์พรินต์ติ้งแอนด์พับลิชชิ่ง.

สุรินทร์ ปิยะโชคณากุล .2548. พันธุ์วิศวกรรมเบื้องต้น. กรุงเทพมหานคร : มหาวิทยาลัยเกษตรศาสตร์

สุเม อรัญนารถ. 2536. เอกสารประกอบการสอน : การเพาะเลี้ยงเนื้อเยื่อของพืชเพื่อการเกษตร.

ภาควิชา พืชสวน คณะเทคโนโลยีการเกษตร สถาบันเทคโนโลยีพระจอมเกล้าเจ้าคุณทหารลาดกระบัง.

สุเม อรัญนารถ. 2537. “ปทุมชาติ บัวตัดดอกที่อนาคตยังสดใส.” ชัยพฤกษ์วิทยาศาสตร์. 291 : 30-32.

สุเมธ อินทมาตย์. 2536. “การศึกษาเบื้องต้นในการเพาะเลี้ยงเนื้อเยื่อบัวหลวงพันธุ์มุกตริก.” ปัญหาพิเศษปริญญาโท สาขาวิชาพืชสวน บัณฑิตวิทยาลัย, สถาบันเทคโนโลยีพระจอมเกล้าเจ้าคุณทหารลาดกระบัง.

เสริมลาภ วสุวัต. 2537. บัว : ไม้ดอกไม้ประดับ. กรุงเทพฯ : อัมรินทร์พรินต์ติ้งแอนด์พับลิชชิ่ง.

ศิริศักดิ์ สุนทรยาตร. 2537. “การศึกษาผลของสารควบคุมการเจริญเติบโตบางชนิดต่อการเพิ่มปริมาณ บัวหลวงพันธุ์สัตตบขันธ์ในสภาพปลอดเชื้อ.” ปัญหาพิเศษปริญญาโท สาขาวิชาพืชสวน บัณฑิตวิทยาลัย, สถาบันเทคโนโลยีพระจอมเกล้าเจ้าคุณทหารลาดกระบัง.

เอกสารนี้เป็นเอกสารที่สงวนไว้สำหรับการใช้งานเพื่อการศึกษาเท่านั้น ไม่อนุญาตให้นำไปใช้ประโยชน์ด้านการค้าไม่ว่ากรณีใดๆ ทั้งสิ้น อีกทั้งห้ามมิให้ดัดแปลงเนื้อหา และต้องอ้างอิงถึงเจ้าของเอกสารทุกครั้งที่มีการนำไปใช้

- Arnold, V.S. and T. Eriksson. 1989. "In vitro studies of adventitious shoot formation in *Pinus contorta*." **Canadian Journal of Botany**. 58: 870-874.
- Al-Juboory, H.K. and J.D. Williams. 1990. "In vitro propagation of Algerian Ivy (*Hedera canariensis* L.)." **HortScience**. 25(9) : 1123-1124.
- Backer, C.A. and R. C. Bakhuizen Van Den Brink. 1963. **Flora of Java**. Netherland (Groningen): N.V.P. Noordhoff.
- Benítez, S.F., J.F.J. Bremont, S.R. Mendoza, G.R.A. Astorga, R.C. Collazo and A.G.A. Solís. 2007. "Genetic transformation of *Agave salmiana* by *Agrobacterium tumefaciens* and particle bombardment." **Plant Cell Tissue Organ Culture**. 91 : 215-224.
- Birch, R. G. and R. Bower. 1994. "Principle of Gene Transfer using Particle Bombardment." 4-37. in Yang, N.S. and P. Christou. **Particle Bombardment Technology for Gene Transfer**. Oxford : Oxford University Press
- Burkill, I.H. 1996. **A Dictionary of the Economic Products of the Malay Peninsula**. Vol. 11. Ministry of Agriculture and Cooperative. Kuala Lumpur.
- Caltin, D.W. 1990. "The effect of antibiotics on the inhibition of induction and plant regeneration from cotyledons of sugar-beet (*Beta vulgaris* L.)" **Plant Cell Report**. 9: 285-288.
- Compton, M.E. and D.J. Gray. 1993. "Somatic Embryogenesis and Plant Regeneration from Immature Cotyledons of Watermelon." **Plant Cell Reports**. 12(2) : 61-65.
- Core, L.E. 1955. **Plant Taxonomy**. New Jersey : Englewood Cliffs, Prentice-Hall, Inc.
- Davies, K.M. and K.E. Schwinn. 1997. "Flower colour pp." 259-294. in Geneve, R.L., J.E. Preece and S.A. Merkle. **Biotechnology of Ornamental Plants**. UK University Press
- Dipali, G. 2001. "Tridiazuron induced regeneration in *Cuminum cyminum* L." **Journal of Plant Biochemistry and Biotechnology**. 10(1) : 61-62.
- Dixon, R.A. and R.A. Gonzales. 1994. **Plant Cell Culture : A Practical Approach**. New York : TRL Press.
- Dodds, M.S. and W.R. Roberts. 1995. **Experiments in Plant Tissue Culture**. New York : Cambridge University Press.
- Gill, R. and P.K. Saxena. 1993. "Somatic embryogenesis in *Nicotiana Tabacum* L. : Induction by Tridiazuron of direct embryo differentiation from cultured leaf discs." **Plant Cell Reports**. 12 : 154-159.
- Gillbert, S. 1982. "The culture of Water Lilies and Water Lotuses." **Horticulture**. August : 16-23.

เอกสารนี้เป็นเอกสารที่สงวนไว้สำหรับการใช้งานเพื่อการศึกษาเท่านั้น ไม่อนุญาตให้นำไปใช้ประโยชน์ด้านการค้า
ไม่ว่ากรณีใดๆ ทั้งสิ้น อีกทั้งห้ามมิให้ดัดแปลงเนื้อหา และต้องอ้างอิงถึงเจ้าของเอกสารทุกครั้งที่มีการนำไปใช้

- Giridhar, P., E.P. Indu, G.A. Ravishankar, and A. Ghandrasekar. 2004. "Influence of Triacantanol on somatic embryogenesis in *Coffea Arabica* L. And *Coffea Canephora* P. EX FR. **In Vitro Cellular & Developmental Biology-Plant**. 40 : 200-203.
- Gondo, T., J. Matsumoto, S.I. Tsuruta, M. Yoshida, A. Kawakami, F. Terami, M. Ebina, T. Yamada and R. Akashi. 2009. "Particle Inflow gun-mediated transformation of multiple-shoot clumps in rhodes grass)*Chloris gayana*." **Plant Physiology**. 166 : 435-441.
- Jheng, F.Y., Y.Y. Do, Y.W. Liauh, J.P. Chung and P.L. Huang.2006. "Enhancement of growth and regeneration efficiency from embryogenic callus cultures of oncidium (Gower Ramsey) by Adjusting Carbohydrate Sources." **Plant Science**. 170 : 1133-1140.
- Karami, O., A. Deljou, and A.M. Pour. 2006. "Repetitive Somatic Embryogenesis in Carnation on Picloram Supplemented Media." **Plant Growth and Development**.
- Kaur, P. and S.L. Kothari. 2004. "*In vitro* culture of Kodo Millet : Influence of 2,4-D and Picloram in Combination with Kinetin on Callus Initiation and Regeneration." **Plant Cell, Tissue and Organ Culture**. 77 : 73-79.
- Kim, S., M.L. Binzel, S. Park, K.S. Yoo and L.M. Pike. 2004. "In activation of *DFR* (Dihydroflavonol 4-reductase) gene transcription result in blockage of anthocyanin production in onions (*Allium cepa*)." **Molecular breeding**. 14 : 253-263.
- Kim, J.B., C.J.J.M. Raemakers, E. Jacobsen and R.G.F. Visser. 2006. "Efficient somatic embryogenesis in *Alstroemeria*." **Plant Cell and Organ Culture**. 86(2): 233-238.
- Kozak, D. and M. Stelmazczuk. 2009. "The effect of benzyladenine on shoot regeneration *in vitro* of *Zantedeschia aethiopica* 'Green Goddess'." **Horticultura**. 19(1): 14-18
- Kuai, B., S. Perret, S.M. Wan, S.J. Dalton, A.J.E Bettany and P. Morris. 2001. "Transformation of oat and inheritance of bar gene expression." **Plant Cell Tissue and Organ Culture**. 66 : 79-88 .
- Lee, W.S., J.A. You, H. Chung, Y.H. Lee, N.I. Baek, J.S. Yoo and Y.D. park. 2008. "Molecular cloning and biochemical analysis of dihydroflavovol 4 –reductase (DFR) from *Brassica rapa* ssp. *pekinensis* (Chinese cabbage) using a heterologous system." **Plant Biology**. 51(1): 42-47.
- Lin, H.S., C. Van der Toorn, K.J.J.M. Raemakers, R.G.F. Visser, M.J. De Jeu and E. Jacobsen. 2000a. "Development of a plant regeneration system based on Friable Embryogenic Callus in the Ornamental *Alstroemeria*." **Plant Cell Reports**. 19 : 529-534.

- Lin, H. S., C.V.D. Toorn, K.J.J.M. Raemakers, R. G.F. Visser, M.J. De Jeu and E. Jacobsen. 2000b. "Genetic transformation of *Alstroemeria* using particle bombardment." **Molecular Breeding**. 6 : 369-377.
- Mitra, G.C., R.N. Prasad and R.A. Choudhury. 1976. "Inorganic salts and differentiation of protocorms in seed callus of orchid correlative changes in its free amino acid content." **Indian Journal Experimental Biology**. 14 : 350-351.
- Murashige, T. and F. Skoog. 1962. "A Revised Medium for Rapid Growth and Bioassays with Tobacco Tissue Cultures." **Physiologia Plantarum**. 15(3) : 473-497.
- Murashige, T. and D.P.H. Tucker. 1962. "Growth factor requirement of citrus tissue culture." **Proceedings of the first international citrus symposium**. 3 : 1155-1161.
- Murthy, B.N.S. 1996. "Induction of high-frequency somatic embryogenesis in geranium (*Pelargonium hortorum* Bailey cv. Ringo Rose) Cotyledonary Cultures." **Plant Cell Reports**. 15(6) : 423-426.
- Murthy, B.N.S. and Saxena, P.K. 1998. "Somatic embryogenesis and plant regeneration of neem (*Azadirachta indica* A. Jass)." **Plant Cell Reports**. 17(6-7) : 469-475.
- Nakayama, T., K. Yonekura-Sakakibara, T. Sato, S. Kikuchi, Y. Fukui, M. Fukuchi-Mizutani, T. Ueda, M. Nakao, Y. Tanaka, T. Kusumi and T. Nishino. 2000. "Aureusidin synthase : a polyphenol oxidase homolog responsible for flower coloration." **Science**. 290(5490): 1163-6.
- Neuman, C.M. 1993. "Somatic embryogenesis and callus production from cotyledon explants of Eastern Black Walnut." **Plant Cell, Tissue and Organ Culture**. 32 : 9-18.
- Neill, S. O. 2002. "The functional role of anthocyanin in leaves." Ph.D. Thesis of University of Auckland.
- Provost, G.L., R. Herrera, J.A. Paiva, P. Chaumeil, F. Salin and C. Plomion. 2007. "A micromethod for high throughput RNA extraction in Forest trees." **Biological Research**. 40: 291-297.
- Przetakiewicz, A., Orczyk, W. And Nadolska-Orczyk, A. 2003."The effect of auxin on plant regeneration of Wheat, Barley and Triticale." **Plant Cell, Tissue and Organ Culture**. 73 : 245-256.
- Ravindra, B.M., S.M. Gangadhar and K. Nataraja. 2005. "Micropropagation of *Dendrobium nobile* from shoot tip sections." **Journal of Plant Physiology**. 162 : 473-478.

- Ries, S.K., V.F. Wert, C.C. Sweeley and R.A. Leavitt. 1977. "Triacontanol : A new natural occurring plant growth regulator." **Science**. 195 : 1339-1341.
- Rosati, C., P. Simoneau, D. Treutter, P. Poupard, Y. Cadots, A. Cadic and M. Duroni. 2003. "Engineering of flower color in forsythia by expression of two independently-transformed dihydroflavonol 4-reductase and anthocyanidin synthase genes of flavonoid pathway." **Molecular Breeding**. 12 : 197-208.
- Sambrook, J., E.F. Fritschi and T. Maniatis. 1989. **Molecular Cloning : A Laboratory Manual**. New York. Cold Spring Harbor Laboratory Press.
- Singh, G. 2004. **Plant System and Intergrated Approach**. United Kingdom: Science Publishers.
- Shou, S.Y., L.X. Miao, W.S. Zai, X.Z. Huang and D.P. Guo. 2008. "Factors influencing shoot multiplication of lotus (*Nelumbo nucifera*.)" **Biologia Plantarum**. 52(3): 529-532.
- Stefanello, S. Dal Vesco, L.L., Ducroquet, J.P.H.J., Nodari, R.O. and Guerra, M.P. 2005. "Somatic embryogenesis from floral tissues of Feijoa (*Feijoa sellowiana* Berg.)" **Scientia Horticulturae**. 105 : 117-126.
- Sunnichan, V.G. 1998. "Micropropagation of Gum Karaya (*Sterculia urens*) by adventitious shoot formation and somatic embryogenesis." **Plant Cell Reports**. 17(12) : 951-956.
- Tantos, A., A. Meszaros and J. Kissimon. 1999. "The effect of triacontanol on micropropagation of balm, *Melissa officinalis* L." **Plant Cell Reports**. 19 : 88-91.
- Tsuda, S., Y. Fukui, N. Nakamura, Y. Katsumoto, K. Y. Sakakibara, M.F. Mizutani, K. Ohira, Y. Ueyama, H. Ohkawa, T.A. Holton, T. Kusumi and Y. Tanaka. 2004. "Flower color modification of *Petunia hybrida* commercial varieties by metabolic engineering." **Plant Biotechnology**. 21(5): 377-386.
- Um, M.K., T.I. Park, Y.K. Kim, H.Y. Seo, J.G Kim, S.Y. Kwon, S.S. Kwak, D.J. Yun and S.J. Yun. 2007. "Particle bombardment-mediated transformation of barley with an *Arabidopsis* NDPK2 cDNA." **Plant Biotechnology Report**. 1 :71-77.
- Van der Krol. A.R., L. A. Mur, M. Beld, J.N.M. Mol and A.R. Stuitje. 1990. "Flavonoid genes in petunia: addition of a limited number of gene copies may lead to a suppression of gene expression." **The Plant Cell**. 2 : 291-299.
- Visessuwan, R., Kawai, T and Mii, M. 1997. "Plant regeneration system from leaf segment culture through embryogenic callus formation of *Rosa Hybrida* and *R. canina*." **Breeding Science**. 47 : 217-222.

- Visser, C., Qureshi, J.A., Gill, R and Saxena, P.K. 1992. "Morphoregulatory role of tridiazuron substitution of auxin and cytokinin requirement for the induction of somatic embryogenesis hypocotyl cultures." **Plant Physiology**. 99 : 1704-1707.
- Visarada, K.B.R.S. and N.P. Sarma. 2004. "Transformation of indica rice through particle bombardment : factors influencing transient expression and selection." **Biologia Plantarum**. 1 : 25-31.
- Yao, J.L., J.H. Wo, A.P. Gleave and B.A.M. Morris. 1996. "Transformation of citrus embryogenic cells using particle bombardment and production of transgenic embryos." **Plant Science**. 113 : 175-183.
- Yang C., T. Zhao, D. Yu and J. Gai. 2009. "Somatic embryogenesis and plant regeneration in Chinese soybean (*Glycine max* L. Merr.) impacts of mannitol, abscisic acid and explants age." **In Vitro Cellular and Developmental Biology-Plant**. 45 : 180-188.
- Yong, W.T.L. and J.O. Abdullah. 2009. "Agrobacterium-mediated transformation of *Melastoma malabathricum* and *Tibouchina semidecandra* with sense and antisense dihydroflavonol 4-reductase (DFR) genes." **Plant Cell Tissue and Organ Culture**. 96 : 59-67.



ภาคผนวก

เอกสารนี้เป็นเอกสารที่สงวนไว้สำหรับการใช้งานเพื่อการศึกษาเท่านั้น ไม่อนุญาตให้นำไปใช้ประโยชน์ด้านการค้า
ไม่ว่ากรณีใดๆ ทั้งสิ้น อีกทั้งห้ามมิให้ดัดแปลงเนื้อหา และต้องอ้างอิงถึงเจ้าของเอกสารทุกครั้งที่มีการนำไปใช้

ภาคผนวก ก

ตารางที่ 1 ปริมาณสารเคมีในสูตรอาหารพื้นฐานของ Murashige and Skoog (1962)

สารเคมี	ปริมาณ (มิลลิกรัมต่อลิตร)
NH_4NO_3	1,650
KNO_3	1,900
$\text{CaCl}_2 \cdot 2\text{H}_2\text{O}$	440
$\text{MgSO}_4 \cdot 7\text{H}_2\text{O}$	370
KH_2PO_4	170
H_3BO_3	6.2
$\text{MnSO}_4 \cdot 4\text{H}_2\text{O}$	22.3
$\text{ZnSO}_4 \cdot 7\text{H}_2\text{O}$	8.6
KI	0.83
$\text{Na}_2\text{MoO}_4 \cdot 2\text{H}_2\text{O}$	0.25
$\text{CuSO}_4 \cdot 5\text{H}_2\text{O}$	0.025
$\text{CoCl}_2 \cdot 6\text{H}_2\text{O}$	0.025
$\text{FeSO}_4 \cdot 7\text{H}_2\text{O}$	27.8
Na_2EDTA	37.8
Myo-inositol	100
Nicotinic acid	0.5
Pyridoxine HCl	0.5
Thiamine HCl	0.1
Glycine	2.0
Sucrose	30,000
pH	5.5-5.7

เอกสารนี้เป็นเอกสารที่สงวนไว้สำหรับการใช้งานเพื่อการศึกษาเท่านั้น ไม่อนุญาตให้นำไปใช้ประโยชน์ด้านการค้า
ไม่ว่ากรณีใดๆ ทั้งสิ้น อีกทั้งห้ามมิให้ดัดแปลงเนื้อหา และต้องอ้างอิงถึงเจ้าของเอกสารทุกครั้งที่มีการนำไปใช้

ภาคผนวก ข

1. อาหารเลี้ยงเชื้อสูตร LB (Luria-Bertani)

Bacto tryptone	10	กรัมต่อลิตร
Bacto yeast extract	5	กรัมต่อลิตร
NaCl	10	กรัมต่อลิตร

ปรับ pH เป็น 7.0

(หากเป็นอาหารแข็ง ให้เติม Agar 15 กรัมต่อลิตร)

2. Histochemical staining for GUS activity

การเตรียม GUS staining solution

80 mM sodium phosphate buffer [pH 7.0]

0.4 mM potassium ferricyanide

0.4 mM potassium ferrocyanide

8 mM EDTA

0.05% Triton X-100

0.8 mg/l 5-bromo-4-chloro-3-indolyl- β -D-glucuronide

2.1 การเตรียม stock

0.1 M NaPO ₄	ปริมาตร 100 ml	ชั่งสาร 13.799 g
0.1 M potassium ferricyanide	ปริมาตร 10 ml	ชั่งสาร 3.2925 g
20 mM potassium ferrocyanide	ปริมาตร 50 ml	ชั่งสาร 4.2239 g
0.2 M Na ₂ EDTA	ปริมาตร 10 ml	ชั่งสาร 3.7224 g

2.2 การเตรียมสารละลาย Buffer

H ₂ O	ปริมาตรดูดจากstock 8.4 ml
50 mM NaH ₂ (PO ₄)	ปริมาตรดูดจากstock 10 ml
0.5 mM	ปริมาตรดูดจากstock 0.1 ml
0.5 mM potassium ferrocyanide	ปริมาตรดูดจากstock 0.5 ml
10 M Na ₂ EDTA	ปริมาตรดูดจากstock 1.0 ml
total	ปริมาตรดูดจากstock 20 ml

Filter-sterilize using 0.2 micro filter. เก็บไว้ในที่มืด 4°C

2.3 เตรียม X-gluc substrate โดยชั่งสาร 5-bromo-4-chloro-3-indolyl- β -D-glucuronide จำนวน 5 mg ละลายใน dimethylformamide 50 μ l เตรียมใหม่ทุกครั้งหรือเก็บ stock ไว้ที่ -20°C

2.4 เติม X-gluc substrate ที่ได้จากข้อ 3 ลงในสารละลาย buffer ในข้อ 2 ปริมาตร 8 ml

2.5 เติม Triton X-100 ปริมาตร 2 μ l ลงในสารละลายที่เตรียมได้ เก็บไว้ในที่มืดในน้ำแข็ง

ไม่ว่ากรณีใดๆ ทั้งสิ้น อีกทั้งห้ามมิให้ดัดแปลงเนื้อหา และต้องอ้างอิงถึงเจ้าของเอกสารทุกครั้งที่มีการนำไปใช้

2.6 นำมาทดสอบในเนื้อเยื่อโดยหยดสารละลายให้ท่วมเนื้อเยื่อที่ทดสอบ บ่มที่ 37⁰c เป็นเวลา 24 ชั่วโมง ดูการเกิดสีน้ำเงิน

2.7 ล้างเนื้อเยื่อด้วย 70% ethanol

3. ส่วนประกอบของบัฟเฟอร์ชนิดต่างๆที่ใช้ในการทดลอง

3.1 บัฟเฟอร์สำหรับการสกัดดีเอ็นเอจากพืช

Extraction buffer 50 ml

Tris-HCl pH 8.0	100 mM
EDTA	50 mM
NaCl	500 mM
20% SDS	3.5 ml
β -mercaptoethanol	35 μ l

3.2 บัฟเฟอร์สำหรับการสกัดอาร์เอ็นเอจากพืช

2% CTAB	
2% polyvinylpurrolidone (PVP) K-30 (soluble)	
Tris-HCl pH 8.0	100 mM
EDTA	25 mM
NaCl	2 M
Spermidine (free base)	0.5 g/l
2% β -mercaptoethanol	

3.3 STE buffer

Tris-HCl pH 8.0	10 mM
EDTA	1 mM
NaCl	100 mM

4. การสกัดดีเอ็นเอออกจากเจล

นำไปสกัดแยกดีเอ็นเอออกจากเจล และทำให้บริสุทธิ์ด้วย Gel extraction kit (Geneaid) โดยตัดเจลตามขนาดที่ต้องการ แล้วนำไปชั่งปริมาณ 300 มิลลิกรัม ใส่ในหลอดไมโคร เซนทรีฟิวจ ขนาด 1.5 มิลลิลิตร เติมบัฟเฟอร์ DF ปริมาตร 500 ไมโครลิตร บ่มที่อุณหภูมิ 55 องศาเซลเซียส เป็นเวลา 10 นาที หรือจนกว่าเจลจะละลายหมด จากนั้นเปิดสารละลายดีเอ็นเอใส่ใน DF column นำไปปั่นเหวี่ยงที่ความเร็ว 6,000 รอบต่อนาที เป็นเวลา 1 นาที ทิ้งของเหลวที่อยู่ภายใน collection tube ขนาด 2 มิลลิลิตร จากนั้นเติมบัฟเฟอร์ W1 ปริมาตร 400 ไมโครลิตร ใน DF column ตั้งทิ้งไว้ 5 นาที นำไปปั่นเหวี่ยงที่ความเร็ว 6,000 รอบต่อนาที เป็นเวลา 1 นาที ทิ้งของเหลวที่อยู่ภายใน collection tube เติมบัฟเฟอร์ Wash ปริมาตร 600 ไมโครลิตร ตั้งทิ้งไว้ 5 นาที นำไปปั่นเหวี่ยงที่

ความเร็ว 13,000 รอบต่อนาที เป็นเวลา 1 นาที จากนั้นย้าย DF column ไปใส่หลอดไมโครเซนตริฟิวจ์หลอดใหม่ ทิ้งไว้ที่อุณหภูมิห้องประมาณ 20 นาที จึงเติมบัฟเฟอร์ EB ปริมาตร 40 ไมโครลิตร ตั้งทิ้งไว้ที่อุณหภูมิห้องเป็นเวลา 10 นาที จึงนำไปปั่นเหวี่ยงที่ความเร็ว 13,000 รอบต่อนาที เป็นเวลา 5 นาที



เอกสารนี้เป็นเอกสารที่สงวนไว้สำหรับการใช้งานเพื่อการศึกษาเท่านั้น ไม่อนุญาตให้นำไปใช้ประโยชน์ด้านการค้า
ไม่ว่ากรณีใดๆ ทั้งสิ้น อีกทั้งห้ามมิให้ดัดแปลงเนื้อหา และต้องอ้างอิงถึงเจ้าของเอกสารทุกครั้งที่มีการนำไปใช้

ประวัติผู้เขียน

ชื่อ	นางสาววิรัช บัวทอง
วัน/เดือน/ปี เกิด	1 สิงหาคม 2527
ที่อยู่	880 จรัญสนิทวงศ์ 57 แขวงบางบำหรุ เขตบางพลัด กทม. 10700
ปี พ.ศ. 2546-2549	ศึกษาระดับปริญญาตรี วท.บ. สาขาวิชาพืชสวน สถาบันเทคโนโลยีพระจอมเกล้าเจ้าคุณทหารลาดกระบัง
ปี พ.ศ. 2550-2553	ศึกษาระดับปริญญาโท วท.ม. สาขาวิชาเทคโนโลยีชีวภาพทางการเกษตร สถาบันเทคโนโลยีพระจอมเกล้าเจ้าคุณทหารลาดกระบัง



เอกสารนี้เป็นเอกสารที่สงวนไว้สำหรับการใช้งานเพื่อการศึกษาเท่านั้น ไม่อนุญาตให้นำไปใช้ประโยชน์ด้านการค้า
ไม่ว่ากรณีใดๆ ทั้งสิ้น อีกทั้งห้ามมิให้ดัดแปลงเนื้อหา และต้องอ้างอิงถึงเจ้าของเอกสารทุกครั้งที่มีการนำไปใช้